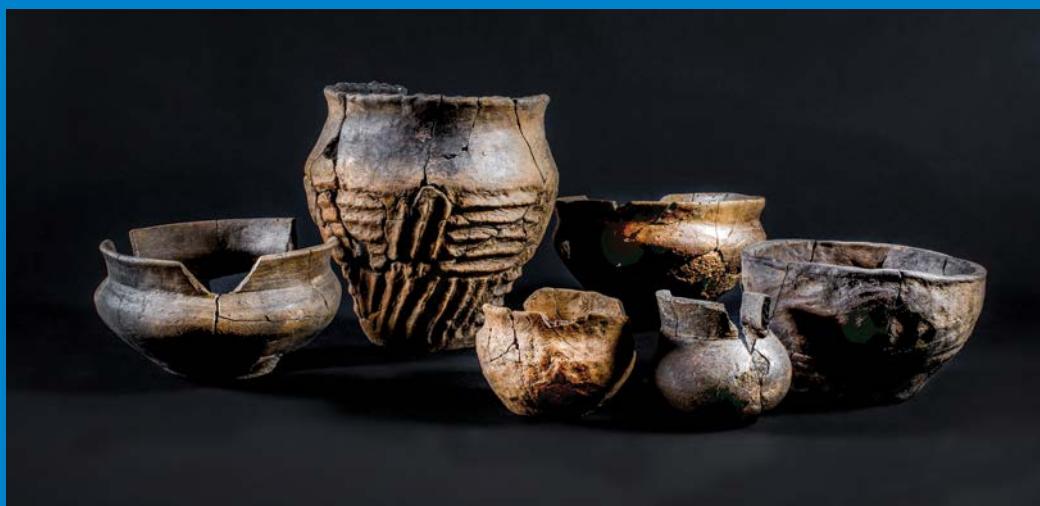


SOLVA

regio | project | partner

LEDE KLEINE KOUTERREDE

ARCHEOLOGISCH ONDERZOEK



INTERGEMEENTELIJKE SAMENWERKING VOOR STREEKONTWIKKELING IN
ZUID-OOST-VLAANDEREN

GENTSESTEENWEG 1 B
9520 SINT-LIEVENS-HOUTEM
TEL 053 64 65 20

INFO@SO-LVA.BE
WWW.SO-LVA.BE

LEDE KLEINE KOUTERREDE

ARCHEOLOGISCH ONDERZOEK

SOLVA ARCHEOLOGIE RAPPORT 191

AUTEURS: CATELINE CLEMENT, VERONIQUE GUILLAUME & BART CHERRETTÉ

COLOFON

PROJECT

Archeologisch onderzoek: Opgraving
Lede Kleine Kouterrede (12-LED-KK)

DOSSIERNUMMER VERGUNNING

2013/380

OPDRACHTGEVER



CONTACT

Gemeente Lede
Markt 1, 9340 Lede
Tel 053 60 68 00

OPDRACHTHOUDER



SOLVA - Intergemeentelijk samenwerkingsverband voor ruimtelijke
ordening en socio-economische expansie
Gentsesteenweg 1B
9520 Sint-Lievens-Houtem

PROJECTTEAM

Cateline Clement (vergunninghouder)
Veronique Guillaume, Jana Van Nuffel, Hans Vandendriessche, Nele
Vanholme, Sarah Dalle en Stijn Van Cauwenbergh (archeologen)
Bart Cherretté (coördinatie)
Harry Bonnarens, Sam Depetter, Wahidullah Khogyani, Diederik Raes
en Wim Scheerlinck (technische assistenten)

TERMIJN TERREINWERK: 01/04/2013- 30/10/2013

WETTELIJK DEPOTNUMMER

D/2021/12.857/2

COPYRIGHT

Niets uit deze uitgave mag worden vermenigvuldigd en/of openbaar
gemaakt door middel van druk, fotokopie, microfilm of op welke andere
wijze ook zonder voorafgaande schriftelijke toestemming van **SOLVA**.

Foto voorblad: © Dirk Wollaert

Alle foto's, tenzij anders vermeld: © **SOLVA**

INHOUDSTAFEL

01	DANKWOORD	19
02	INLEIDING	23
03	BESCHRIJVING VAN DE VINDPLAATS	27
	3.1. VINDPLAATSgegevens	29
	3.2. TOPOGRAFISCHE, LANDSCHAPPELIJKE, BODEMKUNDIGE SITUERING	30
04	ARCHEOLOGISCHE EN HISTORISCHE SITUERING	37
	4.1 HISTORISCHE SITUERING	39
	4.1.1. HISTORIEK VAN LEDE	39
	4.1.2. CARTOGRAFISCHE OMKADERING	39
	4.2. ARCHEOLOGISCHE SITUERING	42
	4.2.1. ARCHEOLOGISCHE KENNIS VAN DE REGIO	42
05	ONDERZOEKSOPDRACHT	45
	5.1. VRAAGSTELLING	47
	5.2. RANDVOORWAARDEN	48
06	WERKWIJZE EN OPGRAVINGSSTRATEGIE	51
	6.1. METHODOLOGIE TERREINWERK	53
	6.2. METHODOLOGIE VERWERKING	54
	6.3. MOTIVATIE VAN DE SELECTIE VAN MATERIAAL EN STAALNAME	56
07	BESCHRIJVING VAN HET ARCHEOLOGISCH ONDERZOEK	57
	7.1. STEENTIJDEN (H. VANDENDRIESSCHE)	59
	7.1.1. LITHISCHE ARTEFACTEN	59
	7.1.2. ARCHEOLOGISCHE SPOREN	61
	7.1.2.1. KUIL/SILO: CONTEXT I-A-310	61
	7.2. METAALTIJDEN	65
	7.2.1. ZONE I	65
	7.2.1.1. BRONSTIJD	66
	7.2.1.1.1. MIDDEN BRONSTIJD A	66
	7.2.1.1.1.1. GEBOUW: STRUCTUUR I-A-244	66
	7.2.1.1.1.2. KUIL: CONTEXT I-A-436	70

7.2.1.1.2. MIDDEN BRONSTIJD B	71
7.2.1.1.2.1. GEBOUW: STRUCTUUR I-A-5	71
7.2.1.1.3. LATE BRONSTIJD	73
7.2.1.1.3.1. KUIL: CONTEXT I-A-344	73
7.2.1.1.4. BESPREKING VAN DE GEBOUWPLATTEGRONDEN	75
7.2.1.2. IJZERTIJD	79
7.2.1.2.1. VROEGE IJZERTIJD	79
7.2.1.2.1.1. KUIL: CONTEXT I-A-308	79
7.2.1.2.1.2. KUIL: CONTEXT I-A-311	81
7.2.1.2.1.3. KUIL: CONTEXT I-A-188	86
7.2.1.2.1.4. KUIL: CONTEXT I-A-454	89
7.2.1.2.2. LATE IJZERTIJD	90
7.2.1.2.2.1. KUIL: CONTEXT I-A-466	90
7.2.1.2.2.2. KUIL: CONTEXT I-A-52	92
7.2.1.2.2.3. KUIL: CONTEXT I-A-185	93
7.2.1.2.2.4. GEBOUW: SPIEKER I-A-128	95
7.2.1.2.2.5. GEBOUW: SPIEKER I-A-318	96
7.2.1.3. OVERIGE SPOREN	98
7.2.1.3.1. KUILEN, PAALSPOREN EN EEN SPIEKER IN HET OOSTEN VAN ZONE I	98
7.2.1.3.2. KUILEN EN EEN BOOMVAL IN HET ZUIDEN VAN ZONE I	103
7.2.1.3.3. PALENCLUSTERS CENTRAAL IN ZONE I	105
7.2.1.3.4. KUILEN, PAALSPOREN EN PALENCLUSTERS IN HET NOORDEN VAN ZONE I	108
7.2.1.3.5. GREPPEL: CONTEXT I-A- -CD-4	110
7.2.2. ZONE II	110
7.2.2.1. GREPPEL: CONTEXT II-A-218	110
7.2.3. BESLUIT	111
7.3. ROMEINSE PERIODE	115
7.3.1. ZONE I	115
7.3.1.1. GRAF-CREMATIE: CONTEXTEN I-A-102, I-A-103 EN I-A-104	116
7.3.1.2. GRAF-CREMATIE: CONTEXTEN I-A-226 EN I-A-258	118
7.3.1.3. GRAF-CREMATIE: CONTEXT I-A-101	120
7.3.1.4. GRAF-CREMATIE: CONTEXT I-A-277	121
7.3.1.5. GRAF-CREMATIE: CONTEXTEN I-A-296 EN I-A-297	121

7.3.1.6. GRAF-CREMATIE CONTEXTEN I-A-174, I-A-176 EN I-A-180	122
7.3.1.7. GRAF-CREMATIE: CONTEXT I-A-187	127
7.3.1.8. GRAF-CREMATIE: CONTEXTEN I-A-401, I-A-416 EN I-A-417	128
7.3.1.9. GRAF-CREMATIE CONTEXTEN I-A-168 EN I-A-298	131
7.3.1.10. OVERIGE SPOREN	131
7.3.1.10.1. PAALSPoor: CONTEXT I-A-191	131
7.3.1.10.2. GREPPEL: CONTEXT I-A-228	133
7.3.2. ZONE II	133
7.3.2.1. WEG: STRUCTUUR II-A-129	133
7.3.2.2. GRAF-CREMATIE: CONTEXT II-A-257	134
7.3.3. FYSISCH ANTROPOLOGISCH ONDERZOEK	135
7.3.4. BESLUIT	136
7.3.5. VERGELIJKINGSMATERIAAL IN EEN LOKAAL KADER	137
7.3.6. VERGELIJKINGSMATERIAAL IN EEN REGIONAAL KADER	138
7.4. MIDDELEEUWEN	141
7.4.1. ZONE I	142
7.4.1.1. GREPPEL: CONTEXT I-A-81	142
7.4.1.2. WEG: STRUCTUUR I-A-1	143
7.4.2. ZONE II	144
7.4.2.1. GEBOUWEN (FIG. 141)	144
7.4.2.1.1. STRUCTUUR II-A--WX-4	144
7.4.2.1.2. STRUCTUUR II-A-289	149
7.4.2.1.3. STRUCTUUR II-A-89	152
7.4.2.1.4. STRUCTUUR II-A-10	155
7.4.2.1.5. STRUCTUREN II-A-59 EN II-A-184	157
7.4.2.1.6. INTERPRETATIE EN DISCUSSIE	161
7.4.2.2. WATERKUIL	163
7.4.2.2.1. STRUCTUUR II-A-174-AB-1	163
7.4.2.3. WATERPUTTEN	167
7.4.2.3.1. STRUCTUUR II-A-295	167
7.4.2.3.2. STRUCTUREN II-A-47-TU-2 EN II-A-53	171
7.4.2.3.3. STRUCTUUR II-A-196	179
7.4.2.4. POELEN	183

7.4.2.4.1. STRUCTUUR II-A-272	183
7.4.2.4.2. STRUCTUUR II-A-398	189
7.4.2.5. GREPPELS EN GRACHTEN	197
7.4.2.5.1. FASE 1	198
7.4.2.5.1.1. CONTEXT II-A--MN-4	198
7.4.2.5.1.2. CONTEXTEN II-A-94 EN II-A-280	198
7.4.2.5.2. FASE 2	201
7.4.2.5.2.1. STRUCTUUR II-A-47-OP-2	201
7.4.2.5.3. FASE 3	208
7.4.2.5.3.1. CONTEXTEN II-A- -BA-5, II-A-47-BA-2, II-A-45, II-A-50, II-A-56 EN II-A-459	208
7.4.2.5.4. FASE 4	211
7.4.2.5.4.1. CONTEXTEN II-A- -ST-3, II-A-47-BA-1, II-A-52, II-A-107 EN II-A-212-EF-1	211
7.4.2.5.5. FASE 5	216
7.4.2.5.5.1. CONTEXTEN II-A-212-AB-1, II-A-212-PA-1 EN II-A-76	216
7.4.2.5.6. OVERIGE GRACHTEN EN GREPPELS (FIG. 261)	218
7.4.2.6. KUILEN EN PAALSPOREN	220
7.4.2.6.1. VOLLE MIDDELEEUWEN	220
7.4.2.6.1.1. SPORENCONCENTRATIE T.H.V. HET GEBOUW, STRUCTUUR II-A- -WX-4	220
7.4.2.6.1.2. SPORENCONCENTRATIE CENTRAAL IN HET VLAK (FIG. 264: AANGEDUID IN GROEN)	223
7.4.2.6.2. LATE MIDDELEEUWEN	227
7.4.2.6.2.1. SPORENCONCENTRATIE T.H.V. HET GEBOUW, STRUCTUUR II-A-10	227
7.4.2.6.2.2. SPOREN TEN OOSTEN VAN DE WEG, STRUCTUUR II-A-47-OP-2	231
7.4.2.6.2.3. SPOREN CENTRAAL IN HET TERREIN (FIG. 264: AANGEDUID IN ROOD)	232
7.4.2.6.3. MIDDELEEUWEN	237
7.4.2.6.3.1. SPORENCONCENTRATIE TER HOOGTE VAN DE WEG, STRUCTUUR II-A-47-OP-2	237
7.4.2.6.4. INTERPRETATIE EN DISCUSSIE	242
7.4.3. BEWONINGSGESCHIEDENIS ZONE II	242
7.4.3.1. VOLLE MIDDELEEUWEN (FASE 1)	243
7.4.3.2. VOLLE EN LATE MIDDELEEUWEN (FASE 2)	245
7.4.3.3. LATE MIDDELEEUWEN (FASE 3 EN 4)	248
7.4.3.4. LATE EN POSTMIDDELEEUWEN (FASE 5)	251
7.4.4. VERGELIJKING IN EEN LOKAAL EN REGIONAAL KADER	254
7.4.5. BESLUIT	257

08	ASSESSMENT EN BASISANALYSE VAN DE VONDSTEN EN STALEN	261
09	SYNTHESE	265
10	BIBLIOGRAFIE	271
	10.1. GESCHREVEN BRONNEN	273
	10.2. ELEKTRONISCHE BRONNEN	277
11	BIJLAGEN	279
	11.1. HANDLEIDING BIJ HET RAADPLEGEN VAN DE BIJLAGEN	281
	11.2. LIJSTEN	283
	11.3. GRONDPLAN	283

LIJST VAN FIGUREN

Fig. 1. Luchtfoto met aanduiding van zone I en zone II; bron AGIV en SOLVA, digitaal aangemaakt op 16/06/2020.	25
Fig. 2. Situering Lede; bron AGIV en SOLVA, digitaal aangemaakt op 16/06/2020.	30
Fig. 3. Topografische kaart en bodemkaart met aanduiding van de zones van het archeologische onderzoek; bron AGIV en SOLVA, digitaal aangemaakt op 6/06/2020.	30
Fig. 4. Zone I profiel YZ met recente-, oudere ploeglaag en moederbodem.	31
Fig. 5. Zone I profiel MN met recente-, oudere ploeglaag, verbruining en moederbodem.	32
Fig. 6. Zone I profiel GH met ploeglaag, B-horizont en moederbodem.	32
Fig. 7. Zicht op sporen I-A-413, 437-439 in zone I, grondplan A.	33
Fig. 8. Coupe WX op spoor I-A-413.	33
Fig. 9. Zicht op context II-A-281 in zone II grondplan A.	34
Fig. 10. Zone II profiel GH met ploeglaag, colluvium, context II-A-281 en moederbodem.	35
Fig. 11. Zone II profiel UV met ploeglaag, colluvium, context II-A-BA-3 en onderliggende sporen.	35
Fig. 12. Zone I en II geprojecteerd op de kaart van Ferraris (1771-1777) (mogelijk met afwijking op de georeferentie); bron AGIV en SOLVA, digitaal aangemaakt op 2/04/2020.	40
Fig. 13. Zone I en II geprojecteerd op de Atlas Der Buurtwegen (1841) (mogelijk met afwijking op de georeferentie); bron AGIV en SOLVA, digitaal aangemaakt op 2/04/2020.	40
Fig. 14. Zone I en II geprojecteerd op de Poppkaart (1842-1879) (mogelijk met afwijking op de georeferentie); bron AGIV en SOLVA, digitaal aangemaakt op 2/04/2020.	41
Fig. 15. Zone I en II geprojecteerd op de kadasterkaart; bron AGIV en SOLVA, digitaal aangemaakt op 2/04/2020.	42
Fig. 16. Overzicht van de opgravingen en vondsten in het centrum van Lede, bron: De Swaef & Van Langenhoven, 1999.	42
Fig. 17. Fragment van een gepolijste bijl.	60
Fig. 18. Dwarspijl.	60
Fig. 19. Bladvormige pijlpunt.	61
Fig. 20. Bladvormige pijlpunt.	61
Fig. 21. Geveugelde pijlpunt.	61
Fig. 22. Grondplan A met aanduiding van context I-A-310 in het paars.	62
Fig. 23. Coupetekening AB van context I-A-310.	62
Fig. 24. Coupetekening CD van context I-A-310.	63
Fig. 25. Coupe AB op context I-A-310.	63
Fig. 26. Zone I grondplan A met aanduiding van de besproken structuren en contexten, schaal 1/750.	66
Fig. 27. Zicht op structuur I-A-244 op grondplan A.	67
Fig. 28. Zicht op structuur I-A-244 op grondplan A.	68
Fig. 29. Structuur I-A-244, schaal 1/100.	69
Fig. 30. Coupe AB op context I-A-244.	70
Fig. 31. Coupe AB op context I-A-395.	70
Fig. 32. Coupe AB op context I-A-436.	71
Fig. 33. Zicht op structuur I-A-5 op grondplan A.	72
Fig. 34. Structuur I-A-5, schaal 1/50.	72
Fig. 35. Coupe AB op context I-A-499.	73
Fig. 36. Coupe AB op context I-A-344.	73
Fig. 37. Detail van aardewerk <i>in situ</i> .	74
Fig. 38. Aardewerk uit context I-A-344.	74
Fig. 39. Ontbrekend figuur.	78
Fig. 40. Zone I grondplan A met aanduiding van de besproken structuren en contexten, schaal 1/750.	79
Fig. 41. Coupe AB op context I-A-308.	80
Fig. 42. Aardewerk uit context I-A-308.	80
Fig. 43. Coupetekening van context I-A-311 (AB).	81
Fig. 44. Aardewerk <i>in situ</i> .	81
Fig. 45. Aardewerk <i>in situ</i> .	82
Fig. 46. Aardewerk uit context I-A-311.	83
Fig. 47. Aardewerk uit context I-A-311.	83
Fig. 48. Aardewerk uit context I-A-311.	84
Fig. 49. Aardewerk uit context I-A-311.	85
Fig. 50. Foto van een selectie van het aardewerk uit context I-A-311.	86
Fig. 51. Coupe AB op context I-A-308.	86
Fig. 52. Aardewerk uit context I-A-188.	87
Fig. 53. Aardewerk uit context I-A-188.	88
Fig. 54. Coupe AB op context I-A-454 met aardewerk <i>in situ</i> .	89
Fig. 55. Aardewerk uit context I-A-454.	89
Fig. 56. Coupe CD op context I-A-466.	90
Fig. 57. Aardewerk uit context I-A-466.	91
Fig. 58a. Coupe AB op context I-A-52.	92
Fig. 58b. Aardewerk uit context I-A-52.	92
Fig. 59. Geconserveerd scheermes uit context I-A-52 (copyright Erfpunt Onroerend Erfgoed Waasland).	93
Fig. 60. Coupe AB op context I-A-185 met aardewerk en maalsteenfragmenten <i>in situ</i> .	93
Fig. 61. Aardewerk uit context I-A-185.	94
Fig. 62. Maalstenen <i>in situ</i> .	95
Fig. 63. Zicht op structuur I-A-128.	96
Fig. 64. Structuur I-A-128, schaal 1/100.	96
Fig. 65. Zicht op structuur I-A-318 op grondplan A.	97
Fig. 66. Structuur I-A-318, schaal 1/100.	97

Fig. 67. Zone I grondplan A met aanduiding van de besproken contexten en structuren, schaal 1/750.	98
Fig. 68. Coupe AB op context I-A-12.	99
Fig. 69. Coupe AB op context I-A-13.	99
Fig. 70. Zicht op de cluster paalsporen op grondplan A.	100
Fig. 71. Coupe AB op contexten I-A-360 en I-A-361.	100
Fig. 72. Coupe AB op context I-A-362.	100
Fig. 73. Coupe AB op context I-A-364.	101
Fig. 74. Aardewerk <i>in situ</i> .	101
Fig. 75. Zicht op structuur I-A-142 op grondplan A.	102
Fig. 76. Structuur I-A-142, schaal 1/100.	102
Fig. 77. Coupe AB op context I-A-169.	103
Fig. 78. Coupe AB op context I-A-386.	103
Fig. 79. Coupe AB op context I-A-214.	103
Fig. 80. Coupe AB op context I-A-243.	104
Fig. 81. Coupe AB op context I-A-245.	104
Fig. 82. Coupe AB op context I-A-68.	105
Fig. 83. Coupe AB op context I-A-219.	105
Fig. 84. Coupe AB op context I-B-2.	105
Fig. 85. Coupe AB op context I-A-64 met aardewerk <i>in situ</i> .	105
Fig. 86. Context I-B-2 op grondplan B met aardewerk <i>in situ</i> .	106
Fig. 87. Coupe AB op context I-B-2 met silex <i>in situ</i> .	106
Fig. 88. Structuren I-A-116, I-A-326 en I-A-330, schaal 1/100.	106
Fig. 89. Coupe AB op context I-A-117.	107
Fig. 90. Coupe AB op context I-A-326.	107
Fig. 91. Coupe AB op context I-A-388.	107
Fig. 92. Coupe AB op context I-A-231.	108
Fig. 93. Coupe AB op context I-A-406.	109
Fig. 94. Kwadrant EC op context I-A-444.	109
Fig. 95. Zone II grondplan A met aanduiding van de besproken context, schaal 1/750.	110
Fig. 96. Coupe CD op context I-A-218.	111
Fig. 97. Zone I grondplan A met aanduiding van de besproken contexten, schaal 1/750.	115
Fig. 98. Zicht op contexten I-A-102, I-A-103 en I-A-104 op grondplan A.	116
Fig. 99. Coupe AB op context I-A-102.	117
Fig. 100. Coupe AB op context I-A-103.	117
Fig. 101. Coupe AB op context I-A-104.	117
Fig. 102. Aardewerk uit context I-A-104.	118
Fig. 103. Coupe CD op context I-A-226.	118
Fig. 104. Coupe AB op context I-A-258.	119
Fig. 105. Beker uit context I-A-258.	119
Fig. 106. Aardewerk uit context I-A-258.	120
Fig. 107. Coupe AB op context I-A-101.	120
Fig. 108. Aardewerk uit context I-A-101.	121
Fig. 109. Coupe AB op context I-A-296.	121
Fig. 110. Coupe AB op context I-A-297.	122
Fig. 111. Coupe AB op context I-A-174.	122
Fig. 112. Coupe AB op context I-A-180.	122
Fig. 113. Coupe AB op context I-A-176.	123
Fig. 114. Aardewerk <i>in situ</i> in context I-A-176.	123
Fig. 115. Beker uit context I-A-176.	124
Fig. 116. Aardewerk uit context I-A-176.	124
Fig. 117. Aardewerk <i>in situ</i> in context I-A-180.	125
Fig. 118. Beker uit context I-A-180.	125
Fig. 119. Aardewerk uit context I-A-180.	126
Fig. 120. <i>Fibula</i> uit context I-A-180 na conservatie (copyright Erfpunt).	126
Fig. 121. Coupe AB op context I-A-187.	127
Fig. 122a. Aardewerk uit context I-A-187.	127
Fig. 122b. Fragmenten van een houten kam uit context I-A-187.	128
Fig. 123. Coupe AB op context I-A-401.	128
Fig. 124. Aardewerk <i>in situ</i> in context I-A-401.	128
Fig. 125a. Glazen kraal uit context I-A-401.	129
Fig. 125b. Fragment van een glazen armband uit context I-A-401.	129
Fig. 126. Coupe AB op context I-A-416.	129
Fig. 127. Coupe AB op context I-A-417.	129
Fig. 128. Kom met een handgreep uit context I-A-417.	130
Fig. 129. Aardewerk uit context I-A-417.	130
Fig. 130. Coupe AB op context I-A-168.	131
Fig. 131. Coupe AB op context I-A-298.	131
Fig. 132. Coupe AB op context I-A-191.	132
Fig. 133. Coupe AB op context I-A-189.	132
Fig. 134. Zone II grondplan A met aanduiding van de besproken context en structuur, schaal 1/750.	133
Fig. 135. Coupe AB op context I-A-324.	134
Fig. 136. Coupe FG op context II-A-257.	135
Fig. 137. Zone I grondplan A met aanduiding van de besproken context en structuur, schaal 1/750.	142

Fig. 138. Zicht op structuur I-A-1 op grondplan A.	143
Fig. 139. Coupes EF en GH op structuur I-A-1.	143
Fig. 140. Zone I en II grondplan A geprojecteerd op de kaart van Ferraris (afwijking is mogelijk).	144
Fig. 141. Zone II grondplan A met aanduiding van de besproken structuren, schaal 1/750.	145
Fig. 142. Zicht op structuur II-A- -WX-4 op grondplan A.	145
Fig. 143. Coupe AB op contexten I-A-322 en I-A-323.	146
Fig. 144. Coupe AB op context I-A-320.	146
Fig. 145. Structuur II-A- -WX-4, schaal 1/100.	147
Fig. 146. Structuur II-A- -WX-4 op grondplan A, in combinatie met de nabijgelegen kuilen, op grondplan B, schaal 1/100.	147
Fig. 147. Zicht op de cluster kuilen ten noordoosten van structuur II-A- -WX-4 op grondplan B.	148
Fig. 148. Zicht op structuur II-A-289 op grondplan A.	149
Fig. 149. Coupe AB op context I-A-308.	150
Fig. 150. Coupe AB op contexten I-A-345 en I-A-347.	150
Fig. 151. Structuur II-A-289, schaal 1/100.	151
Fig. 152. Zicht op structuur II-A-89 op grondplan A.	153
Fig. 153. Coupe AB op context II-A-240.	153
Fig. 154. Coupe AB op context II-A-239.	153
Fig. 155. Structuur II-A-89, schaal 1/100.	154
Fig. 156. Zicht op structuur II-A-10 op grondplan A.	156
Fig. 157. Coupe AB op context I-A-25.	156
Fig. 158. Coupe AB op context I-A-17.	157
Fig. 159. Structuur II-A-10, schaal 1/100.	157
Fig. 160. Zicht op structuur II-A-184 op grondplan A.	158
Fig. 161. Coupe AB op context II-A-200.	158
Fig. 162. Structuur II-A-184, schaal 1/100.	159
Fig. 163. Zicht op structuur II-A-59 in grondplan A.	160
Fig. 164. Coupe AB op context II-A-200.	160
Fig. 165. Coupe AB op context II-A-62.	161
Fig. 166. Structuur II-A-184, schaal 1/100.	161
Fig. 167. Zone II grondplan A met aanduiding van de besproken structuren, schaal 1/750.	164
Fig. 168. Structuur II-A-174-AB-1 op grondplan A, schaal 1/100.	164
Fig. 169. Structuur II-A-174-AB-1 op grondplan B, schaal 1/100.	164
Fig. 170. Zicht op grondplan D van structuur II-A-174-AB-1 met houten palen <i>in situ</i> .	165
Fig. 171. Coupe EF op structuur II-A-174-AB-1.	165
Fig. 172. Coupetekening EF op structuur II-A-174-AB-1.	166
Fig. 173. Detail van de spoelbandjes in coupe EF op structuur II-A-174-AB-1.	166
Fig. 174. Aardewerk uit structuur II-A-174-AB-1.	166
Fig. 175. Coupetekening CD op grondplan A in combinatie met coupe AB op grondplan B, met aanduiding van de contexten.	167
Fig. 176. Kwadrantcoupe FG op structuur II-A-295.	168
Fig. 177. Zicht op structuur II-A-295 op grondplan B.	168
Fig. 178. Structuur II-A-295 op grondplan B met aanduiding van de contexten, schaal 1/100.	169
Fig. 179. Structuur II-A-295 op grondplan C met aanduiding van de contexten, schaal 1/100.	169
Fig. 180. Zicht op structuur II-A-295 op grondplan D met een plank van de bodem van de waterput.	169
Fig. 181. Structuur II-A-295 op grondplan D met aanduiding van de contexten, schaal 1/100.	169
Fig. 182. Coupe AB vanop grondplan B met zicht op de houten schacht van de waterput.	170
Fig. 183. Coupe AB vanop grondplan B na gedeeltelijke ontmanteling van de schacht van de waterput.	170
Fig. 184. Coupetekening ZO op grondplan A in combinatie met coupe AB op grondplan B, met aanduiding van de contexten.	171
Fig. 185. Coupe ZO op structuren II-A-47-TU-2 en II-A-53 vanop grondplan A.	171
Fig. 186. Zicht op structuren II-A-47-TU-2 en II-A-53 op grondplan B.	172
Fig. 187. Structuren II-A-47-TU-2 en II-A-53 op grondplan B met aanduiding van de contexten, schaal 1/100.	172
Fig. 188. Coupe AB op structuren II-A-47-TU-2 en II-A-53 vanop grondplan B.	173
Fig. 189. Detail van de houten schacht, context II-B-79-AB-3.	173
Fig. 190. Detail van de houten schacht, context II-B-79-AB-3.	174
Fig. 191. Coupe AB op structuur II-A-53 vanop grondplan B, na gedeeltelijke ontmanteling van de schacht van de waterput.	174
Fig. 192. Detail van houten kom met metalen beslag.	175
Fig. 193. Zicht op structuren II-A-47-TU-2 en II-A-53 op grondplan C, de tweede helft.	175
Fig. 194. Structuren II-A-47-TU-2 en II-A-53 op grondplan C met aanduiding van de contexten, schaal 1/100.	176
Fig. 195. Coupe CD op structuren II-A-47-TU-2 en II-A-53 vanop grondplan C.	176
Fig. 196. Coupe CD op structuren II-A-47-TU-2 en II-A-53 vanop grondplan C, na de gedeeltelijke ontmanteling van de schacht van structuur II-A-53 en het vlechtwerk van II-A-47-TU-2.	176
Fig. 197. Detail van de emmer <i>in situ</i> .	177
Fig. 198. Aardewerk uit structuur II-A-174-AB-1.	177
Fig. 199. Aardewerk uit structuur II-A-53.	178
Fig. 200. Aardewerk uit structuur II-A-53.	178
Fig. 201. Coupetekening CD vanop grondplan A met aanduiding van de contexten.	180
Fig. 202. Coupe CD op structuur II-A-196 vanop grondplan A.	180
Fig. 203. Zicht op structuur II-A-196 op grondplan B.	180
Fig. 204. Structuur II-A-196 op grondplan B met aanduiding van de contexten.	181
Fig. 205. Coupe CD op structuur II-A-196 vanop grondplan B.	181
Fig. 206. Aardewerk uit structuur II-A-196.	182
Fig. 207. Zone II grondplan A met aanduiding van de besproken structuren, schaal 1/750.	183
Fig. 208. Zicht op structuur II-A-272 op grondplan A.	184
Fig. 209. Coupetekening WX op contexten II-A-212-AB-1, II-A-212-EF-1 en II-A-272.	184
Fig. 210. Kwadrant CY op structuur II-A-272.	185

Fig. 211. Kwadrant GF structuur II-A-272.	185
Fig. 212. Kwadrant WG van coupe WX met oversnijding tussen contexten II-A-212-EF-1 en II-A-272.	185
Fig. 213. Detail van de vullingspakketten met spoelbandjes.	186
Fig. 214. Zicht op de dump van natuurstenen op de bodem van de poel in kwadrant CYX.	186
Fig. 215. Coupe WX met zicht op de natuurstenen op de bodem van de poel.	187
Fig. 216. Aardewerk uit structuur II-A-272.	187
Fig. 217. Aardewerk uit structuur II-A-272.	188
Fig. 218. Aardewerk uit structuur II-A-272.	188
Fig. 219. Zicht op structuur II-A-398 op grondplan A.	189
Fig. 220. Zicht op structuur II-A-398 op grondplan A.	190
Fig. 221. Structuur II-A-398 op grondplan A met aanduiding van de besproken sporen, schaal 1/100.	190
Fig. 222. Structuur II-A-398 op grondplan B met aanduiding van de besproken contexten, schaal 1/100.	191
Fig. 223. Coupetekening YZ op structuur II-A-398.	192
Fig. 224. Kwadrant XE van coupe WX op structuur II-A-398.	192
Fig. 225. Kwadrant EZ van coupe YZ structuur II-A-398.	192
Fig. 226. Detail van de vullingspakketten van structuur II-A-398.	193
Fig. 227. Aardewerk uit structuur II-A-398.	194
Fig. 228. Aardewerk uit structuur II-A-398.	195
Fig. 229. Aardewerk uit structuur II-A-398.	196
Fig. 230. Aardewerk uit structuur II-A-398.	196
Fig. 231. Zone II grondplan A allesporenplan, schaal 1/750.	197
Fig. 232. Zone II grondplan A met aanduiding van de grachten en greppels uit Fase 1 en de besproken contexten in relatie tot de grachten en greppels uit Fase 1, schaal 1/750.	199
Fig. 233. Zicht op contexten II-A--MN-4 en II-A-94 op grondplan A.	199
Fig. 234. Context II-A--MN-4 in profiel MN.	200
Fig. 235. Coupe AB op context II-A-94.	200
Fig. 236. Coupe AB op context II-A-280.	200
Fig. 237. Zone II grondplan A met aanduiding van de grachten en greppels uit Fase 2, schaal 1/750.	202
Fig. 238. Zicht op structuur II-A-47-OP-2 op grondplan A.	202
Fig. 239. Coupetekening LK en AB op structuur II-A-47-OP-2.	203
Fig. 240. Coupe AB op contexten II-A-363-AB-1, II-A-363-AB-3 en II-A-363-AB-4, of de oostelijke gracht.	203
Fig. 241. Coupe CD op paalspoor, context II-A-363-CD-2, en de aanzet van gracht, context II-A-363-AB-1.	203
Fig. 242. Coupe KL op contexten II-A-47-OP-2, II-A-47-OP-3, II-A-261-AB-3, II-A-261-GH-5, of de westelijke gracht, gespiegeld in fig. 239.	203
Fig. 243. Coupe AB op contexten II-A-47-OP-2, II-A-47-OP-3, II-A-261-AB-3, II-A-261-GH-5, of de westelijke gracht.	205
Fig. 244. Coupe FG contexten II-A-47-OP-2 en II-A-47-OP-3, of de westelijke gracht die het Romeinse brandrestengraf, context II-A-257, oversnijdt.	205
Fig. 245. Zicht op structuur II-A-47-OP-2 op grondplan B, ter hoogte van de poel, structuur II-A-398.	205
Fig. 246. Zicht op context II-A-47-OP-3 op grondplan B ter hoogte van de poel, structuur II-A-398, coupe WX.	206
Fig. 247. Coupe YZ op de poel, structuur II-A-398, en de greppel, context II-A-47-OP-3.	206
Fig. 248. Zone II grondplan A met aanduiding van de grachten en greppels van Fase 3 en de besproken structuren in relatie tot de grachten en greppels uit Fase 3, schaal 1/750.	208
Fig. 249. Coupe AB op contexten II-A-47-BA-1 (zwart) en II-A-47-BA-2 (wit).	208
Fig. 250. Coupe AB op context II-A--BA-5.	209
Fig. 251. Coupe QR op (van links naar rechts) contexten II-A-52, II-A-56, II-A-45 en II-A-50.	209
Fig. 252. Coupe AB op contexten II-A-56 en II-A-50.	209
Fig. 253. Coupe AB op contexten II-A-459.	210
Fig. 254. Zone II grondplan A met aanduiding van de grachten en greppels uit Fase 4, schaal 1/750.	212
Fig. 255. Profiel ST op context II-A--ST-3.	212
Fig. 256. Coupe AB op context II-A-212-EF-1.	213
Fig. 257. Coupetekening PA op contexten II-A-212-EF-1, II-A-212-AB-1 en II-A-212-PA-1.	213
Fig. 258. Zone II grondplan A met aanduiding van de grachten en greppels uit Fase 5, schaal 1/750.	216
Fig. 259. Coupe GH op context II-A-212-EF-1.	217
Fig. 260. Coupe AB op context II-A-212-PA-1.	217
Fig. 261. Zone II grondplan A met aanduiding van de besproken overige grachten en greppels, schaal 1/750.	219
Fig. 262. Profiel CD op context II-A--CD-3.	219
Fig. 263. Profiel CD op contexten II-A--CD-3 en II-A--CD-8.	219
Fig. 264. Zone II grondplan A met aanduiding van de sporenconcentraties, schaal 1/750.	220
Fig. 265. Zone II grondplan A met aanduiding van de besproken contexten, schaal 1/750.	221
Fig. 266. Grondplan B met aanduiding van de besproken contexten, schaal 1/100.	221
Fig. 267. Coupe AB op contexten II-A-332-AB-2 en II-A-333-CD-1.	222
Fig. 268. Coupe AB op context II-A-332-AB-1.	222
Fig. 269. Kwadrant DEA van coupe AB en CD op context II-A-350.	222
Fig. 270. Zicht op de centrale sporenconcentratie op grondplan A.	223
Fig. 271. Coupe AB op context II-A-171.	224
Fig. 272. Coupe AB op context II-A-61.	224
Fig. 273. Kwadrant JH van coupe JI op context II-A-35.	224
Fig. 274. Aardewerk uit context II-A-35.	226
Fig. 275. Zone II grondplan A met aanduiding van de besproken contexten, schaal 1/750.	227
Fig. 276. Zicht op de sporenconcentratie in het zuiden van het vlak op grondvlak A.	228
Fig. 277. Coupe EF op contexten II-A--BA-5 (gracht fase 3, cf. supra) en II-A-98.	228
Fig. 278. Coupe AB op context II-A-113.	229
Fig. 279. Grondplan B op context II-A-43-AB-1.	229
Fig. 280. Coupe AB op context II-A-117.	229
Fig. 281. Kwadrant EF van coupe AB op contexten II-A-282 en II-A-283.	231
Fig. 282. Zicht op de oostelijke sporenconcentratie op grondplan A, ter hoogste van de weg, structuur II-A-47-OP-2.	238
Fig. 283. Zicht op context II-A-429 op grondplan B.	238

Fig. 284. Kwadrant EA van coupe AB op context II-A-365.	239
Fig. 285. Coupe AB op context II-A-451.	239
Fig. 286. Zone II grondplan A interpretatief totaalplan, schaal 1/750.	243
Fig. 287. Zone II grondplan A met aanduiding van de contexten en structuren die tot de volle middeleeuwen behoren, schaal 1/750.	243
Fig. 288. Zone II grondplan A met aanduiding van de contexten en structuren die tot de volle en late middeleeuwen behoren, schaal 1/750.	246
Fig. 289. Zone II met aanduiding van de contexten en structuren die tot de volle, late middeleeuwen behoren, geprojecteerd op de kaart van Ferraris.	247
Fig. 290. Zone II met aanduiding van de contexten en structuren die tot de volle, late middeleeuwen behoren, geprojecteerd op de Atlas Der Buurtwegen.	247
Fig. 291. Zone II met aanduiding van de contexten en structuren die tot de volle, late middeleeuwen behoren, geprojecteerd op de kaart van Popp.	248
Fig. 292. Zone II grondplan A met aanduiding van de contexten en structuren die tot de late middeleeuwen behoren, schaal 1/750.	248
Fig. 293. Zone II met aanduiding van de contexten en structuren die tot de late middeleeuwen behoren, geprojecteerd op de kaart van Ferraris.	249
Fig. 294. Zone II met aanduiding van de contexten en structuren die tot de late middeleeuwen behoren, geprojecteerd op de Atlas Der Buurtwegen.	250
Fig. 295. Zone II met aanduiding van de contexten en structuren die tot de late en postmiddeleeuwen behoren, schaal 1/750.	251
Fig. 296. Zone II met aanduiding van de contexten en structuren die tot de late en postmiddeleeuwen behoren, geprojecteerd op de kaart van Ferraris.	252
Fig. 297. Zone II met aanduiding van de contexten en structuren die tot de late en postmiddeleeuwen behoren, geprojecteerd op de Atlas Der Buurtwegen.	253
Fig. 298. Zone II met aanduiding van de contexten en structuren die tot de late en postmiddeleeuwen behoren, geprojecteerd op de kaart van Popp.	253

LIJST VAN TABELLEN

tabel 1: Procentuele weergave van de vertegenwoordiging van het fijnwandige versus het grofwandige aardewerk per context.	113
tabel 2: Greppels en grachten fase 2: Overzicht per context van de hoeveelheid aardewerk per technische groep.	207
tabel 3: Greppels en grachten fase 3: Overzicht per context van de hoeveelheid aardewerk per technische groep.	210
tabel 4: Greppels en grachten fase 4: Overzicht per context van de hoeveelheid aardewerk per technische groep.	214
tabel 5: Greppels en grachten fase 5: Overzicht per context van de hoeveelheid aardewerk per technische groep.	218
tabel 6: Kuilen en paalsporen volle middeleeuwen: Overzicht per context van de hoeveelheid aardewerk per technische groep.	225
tabel 7: Kuilen en paalsporen late middeleeuwen: Overzicht per context van de hoeveelheid aardewerk per technische groep.	232
tabel 8: Kuilen en paalsporen middeleeuwen: Overzicht per context van de hoeveelheid aardewerk per technische groep.	241

CHRONOLOGIE

<input type="checkbox"/> Paleolithicum	<input type="checkbox"/> Oud	1.000.000/500.000 - 250.000 BP
	<input type="checkbox"/> Midden	250.000 - 38.000 BP
	<input type="checkbox"/> Jong	38.000 - 14.000 BP
	<input type="checkbox"/> Finaal	14.000 - 12.000 BP
<input type="checkbox"/> Mesolithicum	<input type="checkbox"/> Vroeg	ca. 9500 - 7700 BC
	<input type="checkbox"/> Midden	7700 - 7000/6500 BC
	<input type="checkbox"/> Laat	ca. 7000 - ca. 5000 BC
	<input type="checkbox"/> Finaal	ca. 5000 - ca. 4000 BC
<input checked="" type="checkbox"/> Neolithicum	<input type="checkbox"/> Vroeg	5300 - 4800 BC
	<input checked="" type="checkbox"/> Midden	4500 - 3500 BC
	<input checked="" type="checkbox"/> Laat	3500 - 3000 BC
	<input checked="" type="checkbox"/> Finaal	3000 - 2000 BC
<input checked="" type="checkbox"/> Bronstijd	<input type="checkbox"/> Vroege	2100/2000 - 1800/1750 BC
	<input checked="" type="checkbox"/> Midden A	1800/1750 - 1500 BC
	<input checked="" type="checkbox"/> Midden B	1500 - 1050 BC
	<input checked="" type="checkbox"/> Late	1050 - 800 BC
<input checked="" type="checkbox"/> IJzertijd	<input checked="" type="checkbox"/> Vroege	800 - 475/450 BC
	<input checked="" type="checkbox"/> Late	475/450 - 57 BC
<input checked="" type="checkbox"/> Romeinse Tijd	<input type="checkbox"/> Vroeg	56 BC - 100 AD
	<input checked="" type="checkbox"/> Midden	101 - 300 AD
	<input type="checkbox"/> Laat	301 - 400 AD
<input checked="" type="checkbox"/> Middeleeuwen	<input type="checkbox"/> Vroege / Frankisch	401 - 500 AD
	<input type="checkbox"/> Vroege / Merovingisch	501 - 750 AD
	<input type="checkbox"/> Vroege / Karolingisch	751 - 900 AD
	<input checked="" type="checkbox"/> Volle	901 - 1200 AD
	<input checked="" type="checkbox"/> Late	1201 - 1500 AD
<input checked="" type="checkbox"/> Postmiddeleeuwen	<input type="checkbox"/> Nieuwe Tijden	1501 - 1800 AD
	<input type="checkbox"/> Nieuwste Tijden	1801 - heden

KEYWORDS

Onderwerpen		Vondsten	Post-excavation onderzoek
<input checked="" type="checkbox"/> Landelijke context	<input type="checkbox"/> Voedselproductie	<input checked="" type="checkbox"/> Lithisch materiaal	<input type="checkbox"/> Gebruikssporenanalyse
<input type="checkbox"/> Stedelijke context	<input type="checkbox"/> Keramiekproductie	<input checked="" type="checkbox"/> Botmateriaal	<input type="checkbox"/> Materiaalstudie
	<input type="checkbox"/> Metallurgie	<input checked="" type="checkbox"/> Keramiek	<input checked="" type="checkbox"/> C14-datering
<input type="checkbox"/> Commercieel gebouw	<input type="checkbox"/> Artisanaat	<input checked="" type="checkbox"/> Staalname	<input type="checkbox"/> Archeomagnetisch
<input type="checkbox"/> Religieus gebouw		<input checked="" type="checkbox"/> Bouwmateriaal	<input checked="" type="checkbox"/> Dendrochronologisch
<input checked="" type="checkbox"/> Openbaar gebouw	<input checked="" type="checkbox"/> Begruving	<input checked="" type="checkbox"/> Metaal	<input type="checkbox"/> Optisch gestimuleerde luminescentie
<input type="checkbox"/> Militair gebouw	<input checked="" type="checkbox"/> Funeraire structuur	<input checked="" type="checkbox"/> Glas	<input type="checkbox"/> Biochemisch analytisch
		<input checked="" type="checkbox"/> Hout	<input type="checkbox"/> Fysico-chemisch analytisch
<input checked="" type="checkbox"/> Bewoning		<input type="checkbox"/> Kunststof	<input type="checkbox"/> Diatomeeën
<input checked="" type="checkbox"/> Woonhuis		<input type="checkbox"/> Textiel	<input type="checkbox"/> Palynologisch
<input type="checkbox"/> Villa		<input type="checkbox"/> Leder	<input checked="" type="checkbox"/> Zaden en vruchten
<input checked="" type="checkbox"/> Agrarisch gebouw		<input checked="" type="checkbox"/> Natuursteen	<input type="checkbox"/> Hout
		<input checked="" type="checkbox"/> Technisch aardewerk	<input type="checkbox"/> Anthracologisch
<input checked="" type="checkbox"/> Agrarische structuur		<input type="checkbox"/> Touw	<input type="checkbox"/> Gewervelde diersoorten
<input type="checkbox"/> Haard			<input type="checkbox"/> Insecten en mijten
<input checked="" type="checkbox"/> Kuil			<input type="checkbox"/> Malacologisch
<input checked="" type="checkbox"/> Weg			<input checked="" type="checkbox"/> Bodemkundig
<input checked="" type="checkbox"/> Waterwinning			<input checked="" type="checkbox"/> Fysisch antropologisch
<input checked="" type="checkbox"/> Afwateringsgracht			<input type="checkbox"/> Geografisch
<input checked="" type="checkbox"/> Perceelsgracht			<input type="checkbox"/> Geomorfologisch
<input checked="" type="checkbox"/> Extractie			<input type="checkbox"/> Geologisch
			<input checked="" type="checkbox"/> Conservatie
<input type="checkbox"/> Megalithische structuur			<input type="checkbox"/> Restauratie

01 | DANKWOORD





1. DANKWOORD

Graag wensen we alle partners bij dit project te bedanken voor de vlotte samenwerking. In de eerste plaats gaat onze dank uit naar de gemeente Lede en de gemeentelijke diensten en het Agentschap Onroerend Erfgoed, alsook naar de firma's Tavernier en Canty.

Dr. Koen De Grootte (Agentschap Onroerend Erfgoed), Dr. Guy De Mulder (UGent) en Johan Deschieter (Provinciaal Archeocentrum Velzeke) bedanken wij voor de hulp bij de determinatie van het aardewerk.

Tevens zijn we alle studenten, collega's en voormalige collega's dankbaar, voor hun enthousiasme, inzet en hard werk op het terrein in de meest uiteenlopende weersomstandigheden, in het bijzonder Veronique Guillaume. Tenslotte willen we ook André De Grauwe bedanken voor alle bezoeken en foto's.

02 | INLEIDING





2. INLEIDING

De aanleiding van het project is de woonverkaveling door de gemeente Lede in een plangebied ten zuidwesten van het Domein Mesen. Het projectgebied van ca. 3 ha is ingesloten door Burgtrede in het noorden, Kleine Kouterrede in het westen, Kluisberg, Poortseweg en Hollestraat in het zuiden en de spoorweg in het oosten. Een evaluatie van de archeologische waarde van de terreinen op een boogscheut van het centrum van Lede drong zich op. Het Agentschap R-O Vlaanderen (heden Agentschap Onroerend Erfgoed) adviseerde een vooronderzoek met proefsleuven, uitgevoerd door All-Archeo in oktober 2012 (dossiernummer: 2012/380). Hierbij kwamen verscheidene goed bewaarde archeologische sporen uit de Romeinse en middeleeuwse periode aan het licht.

Op basis van deze bevindingen adviseerde het Agentschap R-O Vlaanderen (heden Agentschap Onroerend Erfgoed) en de Dienst Monumentenzorg en Cultuurpatrimonium van de Provincie Oost-Vlaanderen een vlakdekkende opgraving in twee zones (samen ca. 1,7 ha groot). Het archeologisch onderzoek is vervolgens uitgevoerd door SOLVA in de periode van 8 april t.e.m. 31 oktober 2014.

De eerste opgravingszone (**zone I**) is aangelegd in het noordwesten van het terrein tussen de Kluisberg, Kleine Kouterrede, Burgtrede en Spoorstraat (12.282m²). De tweede zone (**zone II**) bevindt zich in het zuidoosten van het terrein tussen de Holleweg, Poortseweg en Spoorstraat (4362m²) (Fig. 1). De afbakening van de tweede zone is tijdens de opgraving enigszins gewijzigd, dit in samenspraak en overleg met Inge Zeebroek van het Agentschap (cf. infra). Een groter dan verwachte concentratie sporen in het oosten van het vlak noopte tot een uitbreiding, hetgeen gecompenseerd is door een gedeelte met dezelfde oppervlakte in het westen van zone II niet open te leggen (zie werfverslagen dd. 03 en 17/07/2013).



Fig. 1. Luchtfoto met aanduiding van zone I en zone II; bron AGIV en SOLVA, digitaal aangemaakt op 16/06/2020.

De resultaten van deze opgraving zijn beschreven in dit rapport. Hoofdstuk 3 en 4 plaatsen de gemeente Lede respectievelijk in haar geografisch/bodemkundige en archeologisch/historische context. Ook de reeds uitgevoerde archeologische onderzoeken in de onmiddellijke omgeving komen hierbij aan bod. Vervolgens komen de vraagstelling en de toegepaste methodologie tijdens het terreinwerk en de verwerking aan bod. De resultaten van de opgraving beslaan het grootste deel van dit rapport. De meest relevante contexten en structuren zijn beschreven, geïnterpreteerd en gedateerd, met bijhorende vondsttekeningen (schaal 1/3). Tenslotte komt een samenvatting van de resultaten aan bod, waarbij de bevindingen worden geplaatst in een ruimer geografisch en historisch kader. Tenslotte volgt de bibliografie. De bijlagen zijn gebundeld in een apart document. Dit bevat een DVD met de opgravingsdata, omgezet in lijsten gegenereerd door de databank van SOLVA. De lijsten bieden een overzicht van de aangetroffen sporen, gebundeld in contexten en structuren, alsook van het vondstmateriaal, de foto's en plannen die gekoppeld zijn aan de sporen. Ook de rapporten van het uitgevoerde natuurwetenschappelijk onderzoek en de conservatie van vondsten is opgenomen onder de bijlagen.

03 | BESCHRIJVING VAN DE VINDPLAATS



12-LED-001 2019/122
ZONE I
GPL A
PROFIEL YZ



3. BESCHRIJVING VAN DE VINDPLAATS

3.1. VINDPLAATSgegevens

ADMINISTRatieve GEGEVENS	
Opdrachtgever:	SOLVA, Intergemeentelijk samenwerkingsverband voor streekontwikkeling in Zuid-Oost-Vlaanderen Maatschappelijke zetel: Industrielaan 25B, 9320 Erembodegem Exploitatiedadres: Gentssteenweg 1B, 9520 Sint-Lievens-Houtem
Uitvoerder:	SOLVA, Intergemeentelijk samenwerkingsverband voor streekontwikkeling in Zuid-Oost-Vlaanderen Maatschappelijke zetel: Industrielaan 25B, 9320 Erembodegem Exploitatiedadres: Gentssteenweg 1B, 9520 Sint-Lievens-Houtem
Vergunninghouder:	Cateline Clement
Beheer en plaats opgravingsarchief:	SOLVA Dienst Archeologie Industrielaan 25B, 9320 Erembodegem
Beheer en plaats vondsten en stalen:	SOLVA Dienst Archeologie Industrielaan 25B, 9320 Erembodegem
Projectcode:	12-LED-KK (2013/112)
Vindplaatsnaam:	Lede - Kleine Kouterrede
Locatie:	Lede, Kleine Kouterrede, Burgtrede, Kluisberg, Poortseweg en Hollestraat
Lambertcoördinaat 1:	X: 123339,8280; Y: 184174,1490
Lambertcoördinaat 2:	X: 123408,6680; Y: 184245,5920
Lambertcoördinaat 3:	X: 123680,0170; Y: 184011,1550
Lambertcoördinaat 4:	X: 123687,1320; Y: 184037,9170
Kadaster:	Lede, Afd. 1, percelen 111a (partim), 110x2, 110d3 (partim), 153, 154, 157a, 158d, 159d (partim), 162r (partim), 162n (partim), 139l (partim), 140f (partim), 143f (partim), afdeling 1, sectie B
Termijn:	1 april 2013 – 30 oktober 2013
ONDERZOEKSOPDRACHT	
Verwijzing naar de bijzondere voorwaarden:	Bijzondere voorwaarden bij de vergunning voor een archeologische opgraving: Lede, Kleine Kouterrede
Omschrijving archeologische verwachtingen:	Zie 4.2
Wetenschappelijke vraagstelling:	Zie 5.1
Oorzaak voor de ingreep in de bodem:	Aanleg woonverkeveling
Eventuele randvoorwaarden:	Bijzondere voorwaarden bij de vergunning voor een archeologische opgraving: Lede, Kleine Kouterrede
RAADPLEGING VAN SPECIALISTEN	
Omschrijving van de inbreng als hun advies werd ingewonnen bij substantiële staalname:	/
Omschrijving van de inbreng als zij betrokken worden bij de conservatie:	Natalie Cleeren: conservatie aardewerk Erfpunt: conservatie metalen vondsten
Omschrijving van de algemene wetenschappelijke advisering door externe personen:	BLAX Consult: archeobotanische waardering en analyse Van Daalen Dendrochronologie: dendrochronologisch onderzoek Stichting LAB: fysisch antropologisch onderzoek Jari Mikkelsen: bodemkundig advies

3.2. TOPOGRAFISCHE, LANDSCAPPELIJKE, BODEMKUNDIGE SITUERING

Lede, gesitueerd tussen Aalst en Gent (Fig. 2), ligt op de grens van het Midden-Vlaams glooiend zandleemdistrict (zuiden) en het Pleistoceen riviervalleiendistrict van de Schelde (noorden) (Fig. 3).¹ Gelegen op een heuvel (maximale hoogte 40m TAW) neemt Lede een vrij dominante plaats in het landschap in (Fig. 3). Deze heuvel is de laatste duidelijke verhevenheid vooraleer men naar het noorden toe de vlakte van de Scheldevallei bereikt.² De naamgeving van de plaats, afkomstig van het Germaanse *hlitha*, hetgeen heuvel/helling betekent, spreekt voor zich.³ Het projectgebied is gelegen op de oostelijke flank van de heuvel (ter hoogte

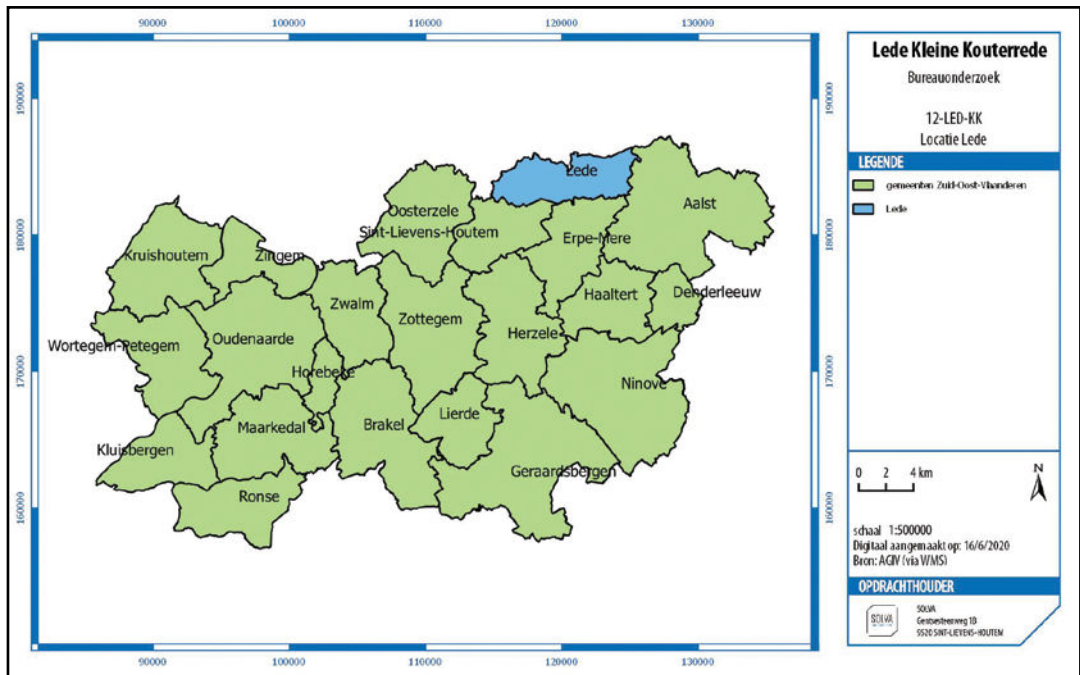


Fig. 2. Situering Lede; bron AGIV en SOLVA, digitaal aangemaakt op 16/06/2020.

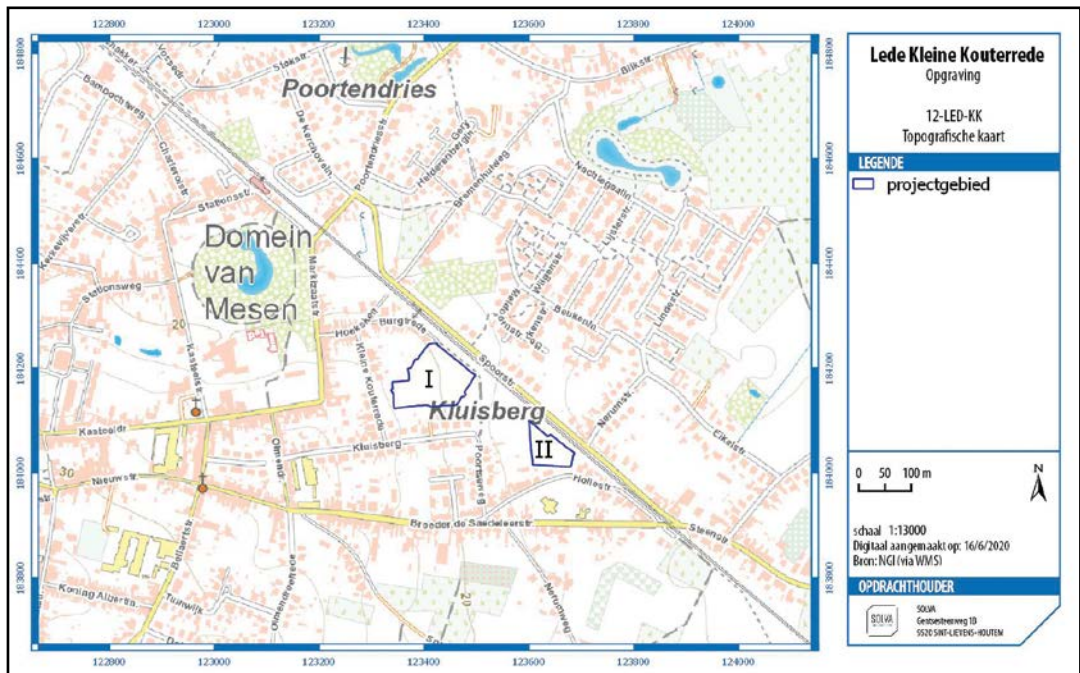


Fig. 3. Topografische kaart en bodemkaart met aanduiding van de zones van het archeologische onderzoek; bron AGIV en SOLVA, digitaal aangemaakt op 6/06/2020.

¹ Voor een definitie van de ecodistricten zie: In 't Ven & De Clercq, 2005, 21-23.

² De Ceukelaire, 1993, 28.

³ Gysseling, 1995, 11.

van de 20m hoogtelijn) en kent een vrij groot verval van ongeveer 8m, van het westen naar het oosten. Het domein en de onmiddellijke omgeving staan op de bodemkaart gekarteerd als bodemtype OB (bebouwde zones). Rondom de dorpskern komen overwegend bodems van het type Lba (droge zandleembodem) en Lca (vochtige zandleembodem) voor (Fig. 3: aangeduid met een ster).

In volgende paragrafen volgt een summier bespreking van de geologische opbouw van zone I en zone II. Een bodemkundig fenomeen in zone II is geanalyseerd door bodemkundige J. Mikkelsen. In addendum is een uitgebreid rapport over de bodemopbouw van de site in het algemeen en het bodemkundig fenomeen in zone II raadpleegbaar (bijlage 1).⁴

We hebben in **zone I** te maken met een bodemkundige opbouw die het afgraven tot op de moederbodem enigszins bemoeilijkt: twee ploeglagen, verbruining, uitgesproken B-horizonten en lokale depressies. In grote lijnen omvat de bodemopbouw op het terrein uit een recente, donkerbruine teelaarde die grotendeels een oudere, blekere bruingrijze ploeglaag afdekt (Fig. 4 en 5). Deze oudere ploeglaag rust doorgaans onmiddellijk op de moederbodem, die overwegend bestaat uit roestbruine zandleem met ijzerconcreties, lokaal afgewisseld met zand. Deze moederbodem, of het quartair zandlemig pakket, is soms sterk uitgeloozd en varieert in dikte varieert van 50 tot 80cm). Onder deze laag, bevindt zich het tertiair substraat, ook de *Formatie van Lede* genoemd. Dit laatste is voornamelijk samengesteld uit sterk gelaagd grijsgeel fijn zand, soms afgewisseld met laagjes klei en keien en banken kalkzandsteen. J. Mikkelsen schrijft: “Het tertiaire substraat bestaat uit zandige en kleiige facies. Ter hoogte van de tertiaire getuigenheuvel van Lede, in de nabijheid van de site, komt het Bartoon en het Lediaan voor (Louis, 1961B; tabel 1). Tijdens de laatste glaciële periode werd de tertiaire oppervlakte bedekt met niveo-fluviaal lemig zandig materiaal en niveo-eolisch zandleem. Op de getuigenheuvel van Lede is het Pleistocene dek dun of zelfs afwezig⁵.” Zowel het zand als het kalkzandsteen zijn in het verleden ontgonnen⁶.



Fig. 4. Zone I profiel YZ met recente-, oudere ploeglaag en moederbodem.

4 Bijlage 1.

5 Bijlage 1.

6 De Ceukelaire, 1993, 27, 32, 33 en 36.



Fig. 5. Zone I profiel MN met recente-, oudere ploeglaag, verbruining en moederbodem.

Context I-A- -CD-3

Tijdens het openleggen in het noordwestelijke gedeelte van zone I constateerden we een sterke aanwezigheid van een B-horizont (ca. 10m op 20m langsheen de noordwestelijke sleufwand). De heterogene, sterk gebioturbeerde grijsbruine laag bevat verscheidene vondsten, zoals aardewerk en silex. Initieel is, bij het openleggen van het archeologische vlak, afgegraven tot op deze laag. De vondstenconcentraties bleken een indicatie te zijn voor onderliggende archeologische sporen. Aangezien op dit niveau deze sporen zeer moeilijk af te lijnen waren, is er vervolgens lokaal manueel verdiept. Verscheidene veronderstelde archeologische sporen bleken evenwel na het couperen eerder restanten te zijn van deze B-horizont. Het vondsmateriaal geeft voor deze context een zeer brede datering in de metaaltijden en de Romeinse periode. Ter verduidelijking van de bodemopbouw in dit gedeelte van zone I registreerden we de profielen CD, EF en GH (Fig. 6).



Fig. 6. Zone I profiel GH met ploeglaag, B-horizont en moederbodem.

Sporen I-A-413, 437-439

In het noorden van het opgravingsvlak lokaliseerden we een omvangrijk, langwerpig 'spoor' (max. 42,6 x 8,2m). Enkele coupes met de hand en met de kraan brachten meer duidelijkheid en toonden aan dat we hier te maken hebben met moederbodem (Fig. 7). Door, momenteel onduidelijke, bodemprocessen vertoont de moederbodem lokaal een ander textuur en bevat ze andere inclusies. Zo toont spoor I-A-413 in coupe zich als een afwisseling van lagen, gecompecteerd en rijk aan mangaan- en ijzerconcreties. Spoor I-A-438 is eveneens mangaanrijk.

De reeds vermelde specifieke topografie van het terrein, met een uitgesproken helling in oostelijke tot zuidoostelijke richting, resulteerde in de aanwezigheid van een vrij dik pakket colluvium in **zone II** (context II-A- -BA-2). Bij het afgraven is zowel de ploeglaag, als dit colluvium verwijderd (Fig. 10 en 11). De moederbodem in dit gedeelte van het terrein bestond uit geel-oranje zandleem, hetgeen contrasteerde met de vulling van de archeologische sporen die hier aan het licht kwamen. De bodemopbouw in zone II was vrij eenvoudig, met uitzondering van twee lokale fenomenen.



Fig. 7. Zicht op sporen I-A-413, 437-439 in zone I, grondplan A.



Fig. 8. Coupe WX op spoor I-A-413.

Context II-A-281'

In het noordelijke uiteinde van de zone stelden we in grondplan een bleke, grijswitte verkleuring, met een hoge kwantiteit aan mangaaninclusies vast (context II-A-281) (max. 35 op 28,7m). Tijdens het openleggen met de kraan is afgegraven tot op deze 'laag' (Fig. 9). Deze gevlekte bodem bleek doorsneden te zijn door enkele greppels en grachten, en leverde aardewerkfragmenten en silexvondsten op. Om meer inzicht te krijgen in de aard van deze bodem zijn vijf profielputten geregistreerd (Fig. 10). De profielen toonden aan dat het vermoedelijk om een natuurlijk bodemproces gaat, hetgeen na een bodemkundig onderzoek door Jari Mikkelsen werd bevestigd en is toegelicht. De grijswitte verkleuring blijkt deel uit te maken van de moederbodem en de hieruit voortkomende vondsten zijn hoogstwaarschijnlijk afkomstig uit de bovenliggende H3-E- horizont. "Deze bleke ondergrond die vooral het lager deel van de site domineert, is vooral het resultaat van oxido-reductie. Dit betreft een natuurlijk bodemproces dat afhankelijk is van de zuurstofconcentratie in de bodem. Bij langere periodes van zuurstofgebrek, door bijvoorbeeld waterverzadiging van de bodem, raakt de zuurstof aanwezig in de poriën van de bodem, uitgeput en wordt dit gecompenseerd door het onttrekken van zuurstof uit verschillende oxides zoals verbindingen waarin mangaan en ijzer zit. Deze mineralen worden hierbij mobiel en kunnen zich verplaatsen in de bodem tot waar er voldoende zuurstof aanwezig is. Hoogstwaarschijnlijk was de bodem voor het aanleggen van de spoorweg niet zo bleek als vandaag, maar de spoorweg houdt de natuurlijke boven- en ondergrondse laterale waterstroom tegen. Het resultaat is dat het regenwater gemakkelijk draineert tot het laagste deel van de archeologische site waar het water vervolgens lang zal blijven staan tot het via verdamping of via de ondergrond kan draineren. De huidige situatie is dus niet representatief voor de situatie vóór de komst van de spoorweg." Tenslotte is in dit gedeelte van zone II met de kraan verdiept tot onder deze laag, zodanig dat, aanvankelijk onzichtbare, sporen alsnog geregistreerd konden worden. Er kwamen evenwel geen oudere sporen meer aan het licht.



Fig. 9. Zicht op context II-A-281 in zone II grondplan A.



Fig. 10. Zone II profiel GH met ploeglaag, colluvium, context II-A-281 en moederbodem.

Context II-A- -BA-3

Het afgraven ving aan centraal, in het zuiden van het terrein. Tijdens het aanleggen van het eerste archeologische grondplan bemerkten we ter hoogte van de zuidelijke sleufwand, lokaal een donkergrijze laag met vrij veel houtskool- en verbande leem inclusies (content II-A- -BA-3). Aanvankelijk is afgegraven tot op deze laag, maar vrij snel is verder verdiept met de kraan tot onder deze laag. Later bleek deze laag zich te situeren ter hoogte van een gebouwtje, structuur II-A-1, een reeks kuilen met een gelijkaardige vulling, allen met een laatmiddeleeuwse datering. Ter verduidelijking van de bodemopbouw op deze locatie is een profiel (UV) geregistreerd (Fig. 11). Het aardewerk dateert de context eveneens in de late middeleeuwen, meer bepaald de 14de eeuw. Mogelijk betreft het een opgave- of afvallaag, die de hier aanwezige kuilen en paalsporen opvulde en afdekte.



Fig. 11. Zone II profiel UV met ploeglaag, colluvium, context II-A- -BA-3 en onderliggende sporen.

04 | ARCHEOLOGISCHE EN HISTORISCHE SITUERING



DORFENDRIESCH

Chia = de Sede



4. ARCHEOLOGISCHE EN HISTORISCHE SITUERING

4.1 HISTORISCHE SITUERING

Dit onderdeel schetst in grote lijnen de geschiedenis van Lede. Hierbij is zelf geen historisch onderzoek uitgevoerd en is gebruik gemaakt van de beschikbare literatuur en het historisch kaartmateriaal.

4.1.1. Historiek van Lede

Het dorp Lede is voor het eerst vermeld in een oorkonde uit circa 1025 als *leita*. In ietwat recentere bronnen uit 1036 en 1065 spreekt men reeds van ‘Lede’. Uit de oorkonde van 1025 blijkt dat Lede, of een deel ervan althans, in die periode toebehoorde aan de Sint-Baafsabdij te Gent. In de tweede helft van de 11de eeuw zijn enkele erfgoederen van het Land van Aalst, o.a. Lede, overgeheveld naar het graafschap Henegouwen, om vervolgens in het bezit van de graaf van Vlaanderen te komen.⁸

Het vroegste bronnenmateriaal, voornamelijk administratief en rechterlijk, duidt aan dat het grondgebied Lede meerdere heerlijkheden en lenen omvatte, zo ook de *heerlijkheid Lede*.⁹ “Een heerlijkheid is een deel van een territoriaal vorstendom, waarover iemand (de heer) uit eigen naam zekere overheidsrechten of justitierechten uitoefent onder het hooggezag van de vorst”.¹⁰ Tot de *heerlijkheid Lede* behoorde een variërend aantal *achterlenen*, gronden geleend van de heer tegen bepaalde voorwaarden.¹¹ Van de 12de eeuw tot in het begin van de 16de eeuw was de heerlijkheid door erfenis, huwelijk of koop in het bezit van een lange lijst van heren van Lede.¹² In het begin van de 17de eeuw is de heerlijkheid tot baronie verheven, om niet veel later tot markizaat te worden gepromoveerd.¹³ De heerlijkheid van Lede was in handen van een adellijke familie en dit tot de algemene afschaffing van heerlijkheden door de wetten van de Franse Republiek op het einde van de 18de eeuw. Het huidige Domein Mesen met centraal kasteel is het meest duidelijk zichtbare element in het landschap dat getuigt van deze geschiedenis.

4.1.2. Cartografische omkadering

Daar waar het historisch onderzoek ons weinig kan vertellen over de geschiedenis van het onderzoeksgebied, biedt het historisch kaartmateriaal verrassende resultaten. Zo zijn de postmiddeleeuwse kaarten interessant gebleken voor de interpretatie van de middeleeuwse sporen in zone II. Hun belang bekijken we in detail in het hoofdstuk dat handelt over de bewoningsgeschiedenis van zone II.

Op de kabinetskaart van de Oostenrijkse Nederlanden, ingetekend op initiatief van graaf Ferraris (1771-1778), ligt het projectgebied ten zuidoosten van het *Chateau de Lede* (het huidige Domein Mesen) (Fig. 12). Ten zuiden van het domein is reeds de huidige Olmendreef opgetekend, die uitkomt in de Broeder de Saedeleerstraat, met in het verlengde de huidige Hollestraat. Het landschap ten oosten van het domein is ingetekend als landbouwgebied, van noord naar zuid doorsneden door een weg, die aantakt op de Broeder de Saedeleerstraat.

8 De Potter & Broeckaert, 1897, 17-19.

9 De Brouwer, 1983, 15-16.

10 De Brouwer, 1983, 15.

11 De Brouwer, 1983, 19.

12 De Brouwer, 1983, 27-30.

13 De Brouwer, 1983, 30-33 en 35.

Binnen het projectgebied is deze tot op heden bewaard in het landschap als een voetwegel, met in het verlengde de huidige Poortseweg. Binnen het landbouwgebied zijn verschillende percelen aangeduid d.m.v. arceringen, op het eerste zicht gekenmerkt door een noord-oost, zuid-west oriëntatie. Tenslotte vestigen we de aandacht op een kleine bewoningskern en wegel ten noordoosten van zone II. Deze wegel valt deels samen met de huidige Nerumstraat.



Fig. 12. Zone I en II geprojecteerd op de kaart van Ferraris (1771-1777) (mogelijk met afwijking op de georeferentie); bron AGIV en SOLVA, digitaal aangemaakt op 2/04/2020.

Op de Atlas der Buurtwegen uit 1841 merken we op dat de terreinen nog steeds onbebouwd zijn en van elkaar gescheiden zijn door dezelfde weg ('chemin') (Fig. 13). Ter hoogte van zone I vertoont het landschap een doorgedreven percelering met een overwegend noord-zuid, oost-west oriëntatie. In zone II wijkt de oriëntatie lichtjes af t.o.v. de omliggende percelen.

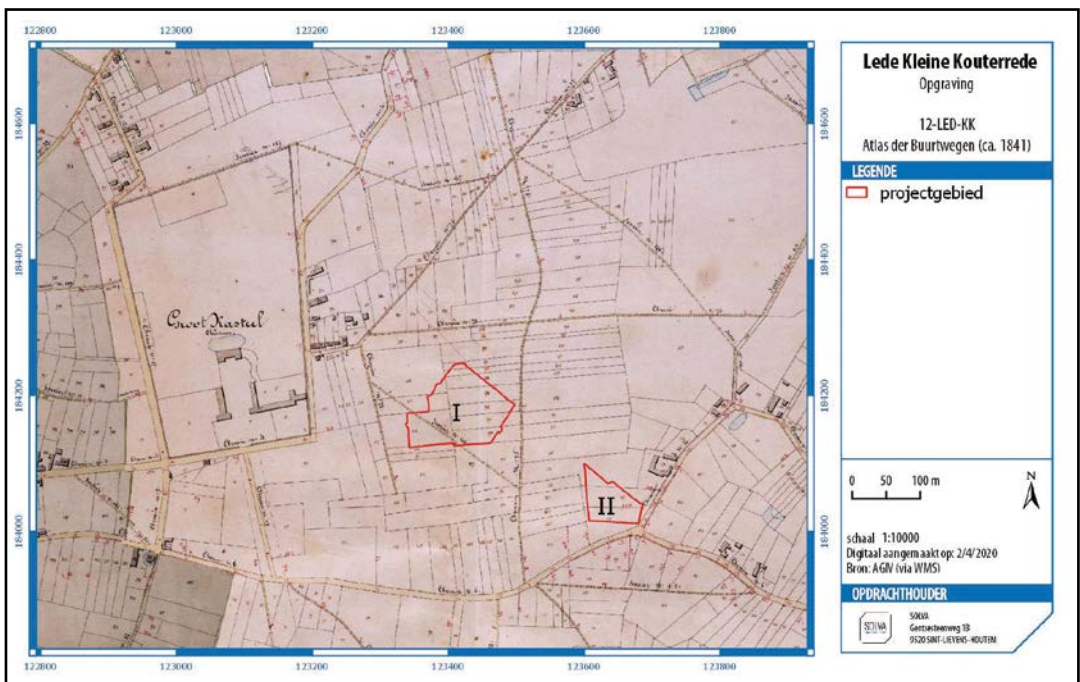


Fig. 13. Zone I en II geprojecteerd op de Atlas Der Buurtwegen (1841) (mogelijk met afwijking op de georeferentie); bron AGIV en SOLVA, digitaal aangemaakt op 2/04/2020.

Het wegennetwerk rondom zone I en II is verder uitgebreid en gewijzigd. We herkennen de huidige Kleine Kouterrede t.h.v. zone I en het vervolg van de Broeder de Saedeleerstraat ten zuiden van de huidige Hollestraat t.h.v. zone II. Zo ook loopt een weg diagonaal over de noordwestelijke percelen in zone I, die vandaag de dag evenwel niet meer bestaat. De bewoningskern ten noordoosten van zone II is quasi verdwenen, op één vierkantshoeve na. Het kasteeldomein ten noordwesten van het onderzoeksgebied is nu aangegeven als *Groot Kasteel*.

Op de *Poppkaart* (1842-1879) is de situatie grotendeels dezelfde als op de *Atlas der Buurtwegen* (Fig. 14). De voornaamste wijziging is de aanleg van de spoorweg ten noordoosten van zone I en II, dwars door alle percelen en door de Nerumstraat. De vierkantshoeve aan de overkant van de spoorweg is hier gereduceerd tot één vleugel. De lichtjes afwijkende oriëntatie van de percelen op de *Atlas der Buurtwegen* in zone II is op de *Poppkaart* bovendien nog iets meer uitgesproken.

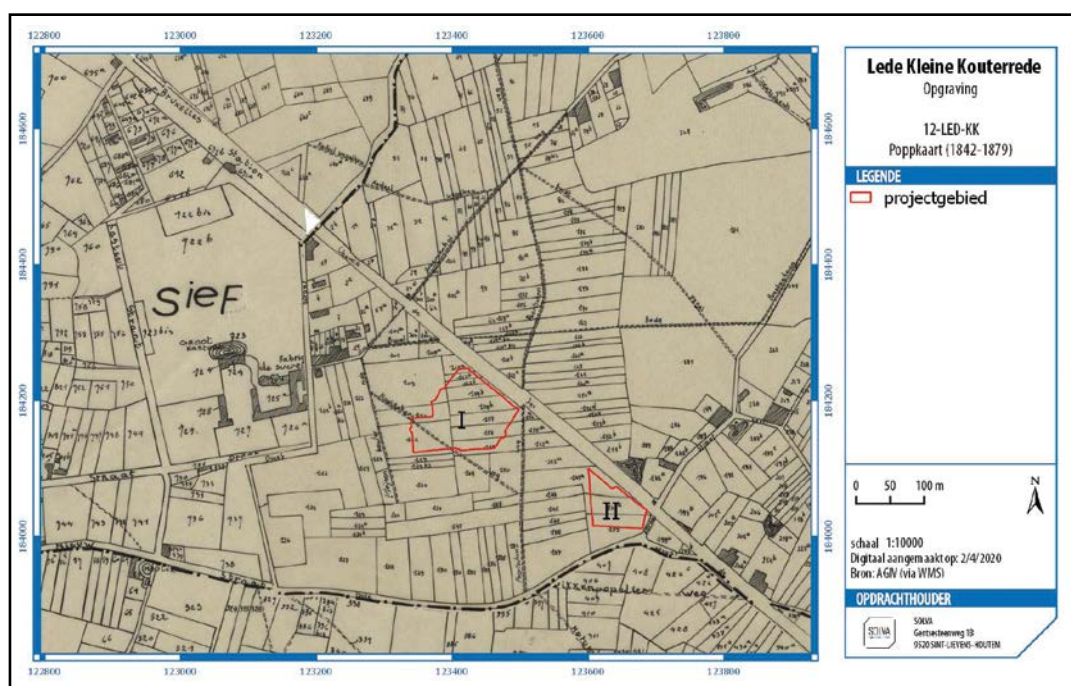


Fig. 14. Zone I en II geprojecteerd op de *Poppkaart* (1842-1879) (mogelijk met afwijking op de georeferentie); bron AGIV en SOLVA, digitaal aangemaakt op 2/04/2020.

In de situatie, voorafgaand aan de opgraving, was de oriëntatie van de percelen in zone I en II ongewijzigd en waren de terreinen nog steeds onbebouwd (Fig. 15.). De landwegel schuin door zone I is verdwenen. De noord-zuid georiënteerde weg tussen zone I en II was tot op het moment van de verkavelingswerken nog steeds in gebruik als een wegel. Ten zuiden van de terreinen is de weg bestendig in het landschap in de vorm van de huidige Poortseweg. De hoeve aan de overkant van spoorweg, nabij zone II is hersteld in zijn oorspronkelijke vorm, zoals te zien is op de kaarten van Ferraris en de *Atlas der Buurtwegen*.

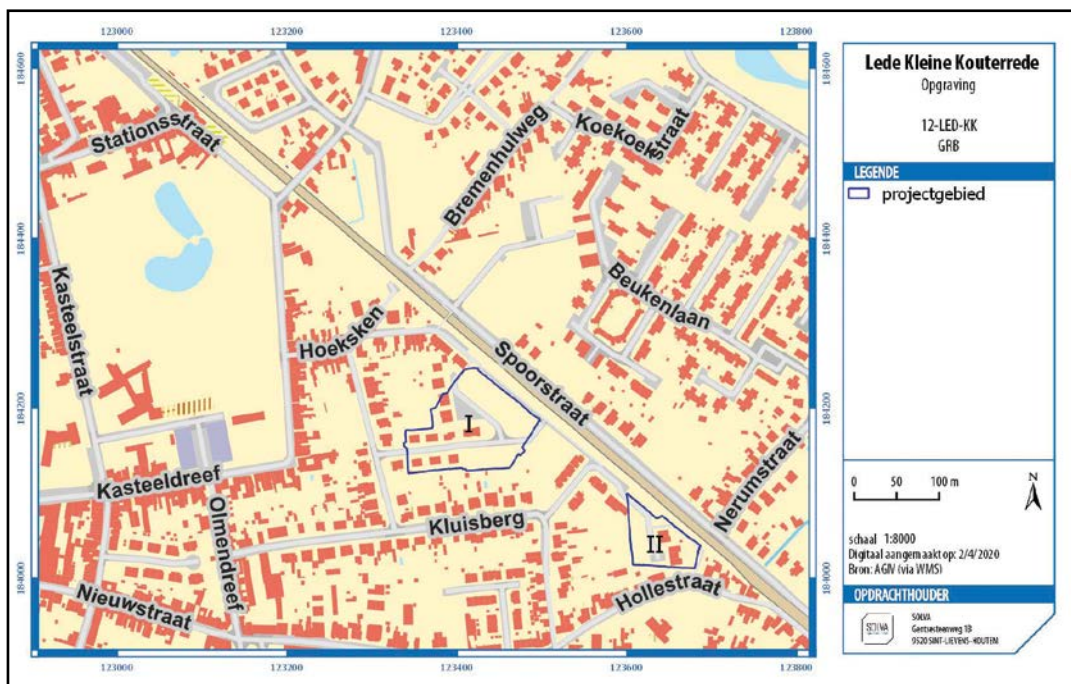


Fig. 15. Zone I en II geprojecteerd op de kadasterkaart; bron AGIV en SOLVA, digitaal aangemaakt op 2/04/2020.

4.2. ARCHEOLOGISCHE SITUERING

4.2.1. Archeologische kennis van de regio

Een beknopt overzicht van het archeologisch onderzoek in Lede is geschreven door Walter De Swaef en Bart Van Langenhoven in hun publicatie ‘Lede Ondersteboven’.¹⁴ In onderstaand overzicht bespreken we echter alleen de opgravingen en vondstmeldingen die ons toelaten het archeologische onderzoek op Kleine Kouterrede in een ruimer kader te plaatsen (Fig. 16).

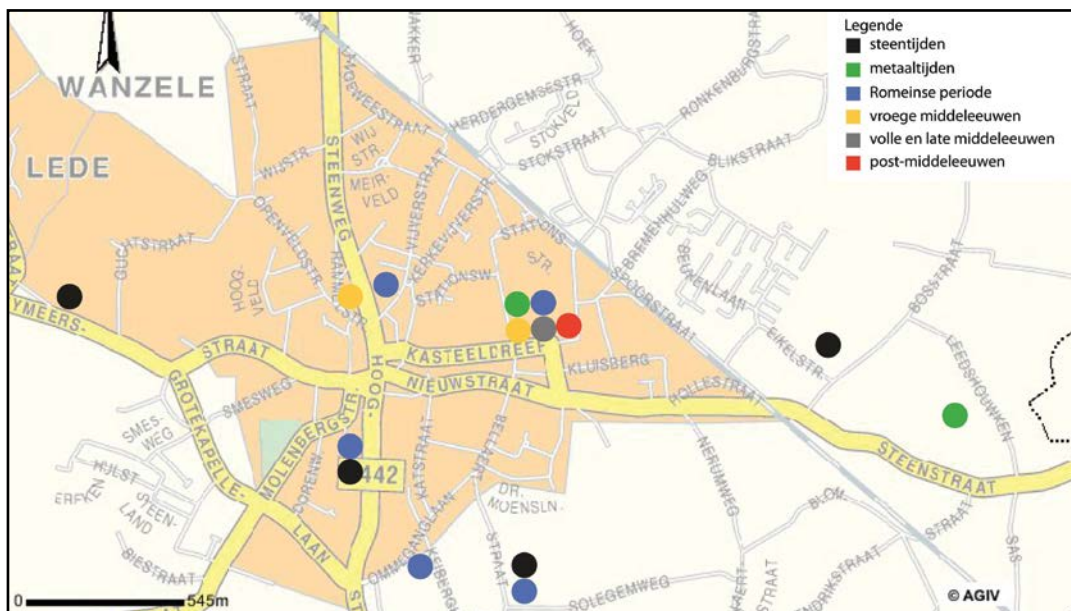


Fig. 16. Overzicht van de opgravingen en vondsten in het centrum van Lede, bron: De Swaef & Van Langenhoven, 1999.

Het vroegste “archeologisch onderzoek” te Lede gaat terug tot de 19de eeuw. In 1846 werd tijdens de aanleg van de Wichelsesteenweg een Merovingisch grafveld uit de 2de helft

van de 6de en de 7de eeuw aangesneden. Deze ontdekking was zodanig belangrijk dat ze tot een “opgraving” leidde tussen 1846 en 1848, geheel volgens de mode van die tijd. Het onderzoek concentreerde zich op het recupereren van mooie vondsten. Dhr. Schayes, conservator van het Brusselse Koninklijke museum, publiceerde destijds wel enkele artikels over het vondstmateriaal, maar over de site zelf komen we niets te weten. Zeker is dat het een rijk grafveld moet geweest zijn, dat vermoedelijk op of rond een ouder, Romeins grafveld gelegen is. Het vondstmateriaal is immers voornamelijk Merovingisch, maar zou ook enkele Romeinse voorwerpen omvatten. De vondsten - aardewerk, glazen vaatwerk, juwelen in goud en zilver, gespen, munten en wapens, bevinden zich thans ten dele in het Koninklijk museum voor Kunst en Geschiedenis te Brussel.¹⁵

In 1849 voerde diezelfde Schayes een opgraving uit op de Bellaert waarbij een Romeinse steenbouw (villa?) werd aangetroffen. Opnieuw is er bijzonder weinig concrete informatie over de opbouw van de site of het verloop van het onderzoek. Wat wel geweten is, is dat er aardewerk, munten en maalstenen zijn gevonden, evenwel heden ten dage niet meer bewaard. Een munt zou een denarius van Vittelius zijn geweest, uitgegeven in Rome in 69 n. Chr.¹⁶

Een belangrijke figuur in het archeologisch onderzoek te Lede is de Ledenaar Jean Moens. Deze advocaat had een uitgesproken belangstelling voor het verleden. Als amateur-archeoloog verzamelde hij in 1895 tijdens de bouw van het stadshuis van Lede aardewerk, door hem toegeschreven aan de Romeinse periode. In 1992 lieten bouwwerken op het terrein van het politiegebouw archeologen toe Moens' bevinding te controleren. In tegenstelling tot Jean Moens vonden ze geen Romeins, maar middeleeuws materiaal in een ophogingslaag tot ca. 2m onder het straatniveau. Het aardewerk suggereerde een datering in de 13de tot 15de eeuw.¹⁷ Tevens tekende hij prehistorische vondsten op, op de Bellaert, de Keiberg, de Molenbergstraat, de Reymeersstraat en de Bosstraat.¹⁸

In 1984 en in 1986 werd onder leiding van Walter De Swaef archeologisch onderzoek uitgevoerd op het Leedshouwken. Men trof er onder meer een cirkelvormige vlechtwerken waterput aan, die op basis van het vondstmateriaal (Jogasse-aardewerk) kan geplaatst worden in het begin van de late ijzertijd, omstreeks 450 v. Chr.¹⁹

In 1992 lokaliseerde Bart Van Langenhoven tijdens de opvolging van funderingswerken aan de Ommeganglaan, in de nabijheid van de Bellaert waar Schayes een Romeinse steenbouw zou aangetroffen hebben, Romeins aardewerk. Het betrof *terra sigillata* en gewoon grijs aardewerk, te dateren tussen 50 en 250 n. Chr.²⁰

Tot slot voerde de Archeologische Dienst van SOLVA in 2009 en 2010 een opgraving uit op de site “Domein Mesen”. Hier zijn bewoningssporen uit de vroege ijzertijd, de Romeinse periode en de volle- en late middeleeuwen aangetroffen, alsook funeraire sporen uit de Romeinse periode. De postmiddeleeuwen zijn eveneens vertegenwoordigd in de vorm van de funderingen van de bijgebouwen van het kasteel van de heren van Lede tijdens de Markizaatsperiode.²¹

15 De Swaef & Van Langenhoven, 1999, 5-6.

16 De Swaef & Van Langenhoven, 1999, 17.

17 De Swaef & Van Langenhoven, 1999, 5-6; De Swaef, Van Langenhoven & De Grauwe, 1999, 3 en 6.

18 De Swaef & Van Langenhoven, 1999, 7.

19 De Swaef 1984, 23-24, De Swaef & Van Langenhoven, 1999, 11-15.

20 De Swaef, Van Langenhoven & De Grauwe, 1999, 8; De Swaef & Van Langenhoven, 1999, 17.

21 Clement et al., 2013.

05 | ONDERZOEKSOPDRACHT





5. ONDERZOEKSOPDRACHT

5.1. VRAAGSTELLING

De geplande werkzaamheden in Lede impliceren grondwerken die de hier aanwezige archeologische sporen vergraven. Het vooronderzoek toonde de archeologische waarde van het terrein aan: naast sporen uit de late middeleeuwen zijn er ook aanwijzingen voor een Romeinse occupatie. Ook voorgaand archeologisch onderzoek wees reeds op een Romeinse aanwezigheid op verschillende locaties (cf. supra). Het terrein is bovendien slechts in beperkte mate geroerd door recente en historische bouwactiviteiten. De goede bewaring van de archeologische sporen aangetroffen in het vooronderzoek bevestigde dit.²² Het archeologisch onderzoek biedt dus een uitgelezen kans om op een vrij grote oppervlakte onderzoek te doen in één van de historische kernen van Lede.

Voorafgaand aan het archeologisch onderzoek zijn in de bijzondere voorwaarden van het Agentschap Onroerend Erfgoed volgende onderzoeksvragen gesteld:

Wat is de archeologisch relevante geologische en bodemkundige opbouw? In hoeverre is de bodemopbouw intact? Is er sprake van bodemdegradatie en/of erosie, en wat vertelt dit over de intactheid van de sporen?

Wat is de aard, datering, spreiding en onderlinge samenhang van de sporen?

Kan er een periodisering in het sporenbestand vastgesteld worden? Is er sprake van chronologische continuïteit? Kunnen er per periode diverse fasen in het gebruik van het terrein onderscheiden worden?

In welke mate weerspiegelde het beperkte zicht van de proefsleuven de archeologische realiteit zoals die tevoorschijn kwam na de vlakdekkende afgraving? Zijn er in dit opzicht methodologische aanbevelingen te maken?

Kan de omvang, begrenzing en ruimtelijke structuur van de site vastgesteld worden per periode/fase? Welke argumenten kunnen hiervoor aangereikt worden?

Welke uitspraken kunnen er worden gedaan met betrekking tot de aangetroffen funeraire sporen?

Waardoor worden deze contexten gekenmerkt? Is er sprake van waarneembare verschillen inzake grafgebruik? Waaraan kunnen deze verschillen toegeschreven worden?

Komen de funeraire resten in aanmerking voor onderzoek voor bijkomend natuurwetenschappelijk onderzoek?

Kunnen er uitspraken worden gedaan met betrekking tot bepaalde typen plattegronden en functionele en constructieve aspecten? Is er sprake van herstelfasen? Zijn er aanwijzingen voor interne organisatie binnen de gebouwen?

Tot welke vondsttypen of vondstcategorieën behoren de vondsten? Wat is de conserveringsgraad en de vondstdichtheid?

Wat kan er op basis van het organische en anorganische vondstmateriaal gezegd worden over de datering van de funeraire contexten en de nederzettingssporen?

Kunnen er op basis van het vondstmateriaal uitspraken gedaan worden over materiële cultuur, bestaanseconomie, handelscontacten,... ?

Wat is de relatie tussen de ligging van (onderdelen van) de archeologische sporen en hun landschappelijke omgeving?

Wat kan er gezegd worden over de inrichting en vegetatie in de nabije en ruimere omgeving van de vindplaats en de verbouwde gewassen?

Welke analyses dienen uitgevoerd om een inzicht te krijgen in de landschappelijke context van de site en de datering van de aangetroffen structuren/artefacten?

Hoe verhouden de resultaten van dit onderzoek zich ten opzichte van de resultaten van het archeologisch onderzoek van het domein Mesen? Kan er een relatie tussen beide sites geponeerd worden? Op basis van welke argumenten?

Hoe verhouden de resultaten van dit onderzoek zich ten opzichte van onderzoek op gelijkaardige sites in de Oost-Vlaamse zandleemstreek. Zijn er specifieke verschillen, gelijkenissen, nieuwe inzichten,...?

5.2. RANDVOORWAARDEN

De bijzondere voorwaarden bevinden zich in bijlage.

06 | WERKWIJZE EN OPGRAVINGSSTRATEGIE





12 LED KK 2018/22
ZONE I
GPL B
SPoor 74 78
COUPE 8H

SOLVA
Dienst Archeologie

6. WERKWIJZE EN OPGRAVINGSSTRATEGIE

6.1. METHODOLOGIE TERREINWERK

Het archeologisch onderzoek vatte aan op 8 april 2013 in de hoger gelegen zone I. Zone I is opengelegd in vijf alternerende stroken van quasi gelijke omvang (ca. 2400 m²), parallel met de proefsleuven. De afgegraven grond is steeds aan weerszijden gestockeerd. De keuze om open te leggen in alternerende stroken impliceerde de kans op het missen van een verband tussen sporen in verschillende vlakken. Daarom is, met het oog op het begrijpen van de samenhang tussen sommige sporen, soms geopteerd om een gedeelte van een strook open te laten.

De aanleg van zone II gebeurde in één beweging, met het verwijderen van zowel de teelaarde als het colluvium. De sporen onder het colluvium waren niet alleen zeer duidelijk, ze waren ook bijzonder talrijk (op grondplan A registreerden we 523 sporen op een oppervlakte van 4362 m²).

Het proefsleuvenonderzoek had reeds aangegeven dat zone II een hogere densiteit aan sporen bevatte, voornamelijk uit de late middeleeuwen. Het opgravingsvlak bevestigde deze vaststelling, maar toonde ook het volgende aan:

- De densiteit van de sporen is zeer hoog.
- De sporen vertonen een afnemende densiteit naar het westen toe.
- De sporen komen sterk geclusterd voor, soms zonder duidelijke oversnijdingen.
- Een geheel van sporen in het zuidoosten van het vlak bevindt deels in het vlak en deels buiten het vlak.
- Een aantal sporen is van grote omvang, waaronder vier waterputten,

Deze vaststellingen, en vooral de concentratie van sporen t.h.v. de oostelijke sleufwand van zone II, is beproven met Inge Zeebroek van het Agentschap Onroerend Erfgoed. In samenspraak is beslist om de oostelijke grens van het opgravingsvlak te verleggen naar het oosten. Deze uitbreiding van zone II naar het oosten is gerealiseerd mits een beperking van het opgravingsvlak in het westen en het noordwesten.

Voor het terreinwerk in Lede voorzag SOLVA initieel drie archeologen en 3 technisch assistenten. In de loop van de maand augustus vervoegden twee technisch assistenten de bestaande ploeg.

Het machinaal afgraven van de teelaarde en de verstoorde lagen tot op het gewenste archeologische niveau geschiedde steeds onder begeleiding van de archeologen. Het bekomen vlak werd vervolgens schoongemaakt en gefotografeerd, de verschillende sporen aangeduid en het verkregen grondplan digitaal ingetekend op schaal 1/50. Dit alles met vermelding van voldoende dieptes van de sporen en het grondvlak. Alle sporen kregen een uitvoerige, digitale beschrijving, indien mogelijk met vermelding van hun onderlinge relaties. Vervolgens volgde het couperen van de sporen, dit om meer duidelijkheid te bieden naar interpretatie toe. Elke coupe werd schoongemaakt, gefotografeerd, afgelijnd, ingetekend op schaal 1/20, beschreven en waar nodig bemonsterd. De vondsten in de sporen kregen steeds een nummer overeenkomstig de laag waarin ze waren gevonden.

Het wassen van het aardewerk en andere vondsten gebeurde grotendeels tijdens de opgraving op het terrein zelf. Het zeven van de monsters gebeurde achteraf.

Het terrein te Lede is opgedeeld in twee zones, telkens benoemd met een Romeins cijfer: zone I en II. Het eerste grondvlak, op het ongestoorde niveau, is telkens beschreven als 'grondplan A' of 'GPL A'. Daar waar er onduidelijkheid bestond omtrent de aard van de sporen en hun onderlinge relatie, werd een tweede opgravingsniveau of 'grondplan B'/'GPL B' aangelegd. In zone I en voornamelijk in zone II is lokaal afgegraven tot een grondplan B, zeer occasioneel een grondplan C. De aanleg van deze grondplannen gebeurde zowel handmatig als machinaal. Indien er onder een spoor, op bijvoorbeeld grondplan A, een nieuw spoor tevoorschijn kwam of hetzelfde spoor van vorm veranderde, is dit opnieuw ingetekend. Doorgaans gebeurde dit digitaal. Hoewel het hier niet gaat om een nieuw intentioneel aangelegd vlak, bevindt het spoor zich toch op een ander niveau dan GPL A en is dit bijgevolg ook aangegeven in de nummering.

In de individuele zones kreeg per grondplan, elk spoor of onderdeel van een spoor (bijvoorbeeld bij verschillende opvullingslagen) een individueel spoornummer. Wanneer een zone meerdere opgravingsniveaus had, begon het nummeren per grondplan (bv. GPL A, GPL B en GPL C in zone II) telkens opnieuw vanaf '1' en dit in de mate van het mogelijke van jong naar oud.

Een spoornummer bestaat uit een Romeins cijfer, namelijk de verwijzing naar de zone, een hoofdletter, namelijk de verwijzing naar het grondplan en vervolgens een individueel nummer. Zo krijgt bijvoorbeeld een kuil met nummer 5, in zone I en op grondplan A de benaming: I-A-5.

Coupes op sporen en profielen zijn op het grondplan aangeduid met haakjes en benoemd met hoofdletters. Deze haakjes geven aan welke helft of welk kwadrant van een spoor is uitgegraven. Wanneer we bijvoorbeeld de coupe van kuil I-A-5 zouden bekijken en deze blijkt te bestaan uit twee verschillende opvullingslagen, dan krijgen deze lagen respectievelijk de spoornummers I-A-5-AB-1 en I-A-5-AB-2, waarbij 'AB' verwijst naar de coupe op de kuil, aangeduid op het grondplan met 'A' en 'B'. Het spreekt voor zich dat kuil I-A-5 in grondplan en de opvullingslaagjes I-A-5-AB-1 en I-A-5-AB-2 in coupe tot dezelfde context behoren, want ze behoren tot dezelfde kuil. Contexten groeperen m.a.w. één- of meerdere sporen en krijgen eveneens een nummer, namelijk het eerste spoornummer dat tot deze context behoort. In het geval van de aangehaalde kuil wordt het contextnummer dus I-A-5. Deze contextnummers vormen verder in de tekst de leidraad bij de bespreking van de verschillende contexten.

6.2. METHODOLOGIE VERWERKING

Het gebruik van **gestandaardiseerde fiches** en een gestandaardiseerde nummering van de sporen, de lagen in een spoor en alles wat daarmee samenhangt (foto's, plannen, vondsten), heeft niet alleen te maken met het stroomlijnen van de registratie op het veld, maar ook met de verwerking van deze gegevens tijdens de rapportage.

De dienst archeologie van SOLVA heeft namelijk in de loop van 2009 de ontwikkeling van een **databank** geïnitieerd. Deze databank heeft tot doel alle gegevens – velddata en externe informatie – zowel te kunnen invoeren en opslaan, als te kunnen raadplegen en beheren in één systeem. Daarenboven is het de opzet om met de databank overzichtelijke lijsten te kunnen genereren, die als bijlagen kunnen dienen in de rapporten. Deze databank is geen star gegeven, maar een *ongoing* project, te meer nu ook de stap is gezet naar een volledig digitale registratie op het terrein.

De absolute basis van de databank, de kleinste atomaire eenheid als het ware, is het **spoor** (cf. supra). Dit omvat elk spoor, elk onderdeel van een spoor, alsook elke actie die in het verleden

haar sporen in de ondergrond naliet. Deze kleinste eenheid valt uiteen in zeven types: 'laag', 'muur', 'vloer', 'skelet', 'hout', 'vertical feature interface' of 'VFI' en 'horizontal feature interface' of 'HFI'. Voor elk type spoor bestaat één gestandaardiseerde fiche, oorspronkelijk op papier en nu letterlijk getranscribeerd in de databank. Aan deze kleinste eenheid is alles gekoppeld: plannen, foto's én vondsten. Bovendien worden op dit niveau de eerste relaties gelegd tussen de sporen onderling: een spoor 'is recenter dan', 'is ouder dan', 'is gelijktijdig met' of 'hetzelfde als' een ander spoor. Hierbij spelen de spoortypes VFI en HFI een belangrijke rol omdat ze ons toelaten elke actie in het verleden te registreren.

Op een tweede niveau in de databank staan de **contexten**. Contexten groeperen één- of meerdere sporen. Elke context krijgt een individueel nummer, namelijk het nummer van het eerste spoor dat tot deze context behoort. Het is evenwel zo dat niet elk spoor noodzakelijk deel uitmaakt van een context. Verstoringen en wat wij 'negatieve sporen' noemen, sporen die na couperen geen of een natuurlijk spoor blijken te zijn, worden niet tot het niveau van een context gebracht, maar bestaan enkel tot op het spoorniveau. De tekeningen, foto's en vondsten die gekoppeld zijn aan een spoor worden door de databank automatisch verbonden aan de context waartoe ze behoren. Vanuit dit contextniveau kan men dus makkelijk navigeren in de verschillende sporen van die context en waaraan de vondsten, tekeningen en foto's verbonden zijn. Op dit niveau laat de databank eveneens toe chronologische/stratigrafische relaties te leggen tussen de contexten onderling. Het is op dit niveau dat we de Harris matrix genereren.

Het derde niveau in de databank bevat de **structuren**. Structuren groeperen op hun beurt één of meerdere contexten. Ook zij krijgen een individueel nummer, met name het eerste contextnummer dat tot deze structuur behoort. Indien bijvoorbeeld een gebouwplattegrond (structuurniveau) is vastgesteld, bestaande uit verschillende paalsporen (contextniveau), dan zal deze gebouwplattegrond het nummer dragen van de eerste context (een paalspoor) die deel uitmaakt van deze structuur. Elk paalspoor (contextniveau) kan op zijn beurt bestaan uit een paalkern (spoorniveau) en een insteek (spoorniveau). Opnieuw is het zo dat niet elke context tot een structuur hoeft te behoren. De databank groepeert onder een structuur telkens de tekeningen, foto's en vondsten die gekoppeld zijn aan de contexten die deel uitmaken van de structuur. Opnieuw is vanuit het structuurniveau gemakkelijk te navigeren tussen de verschillende contexten die ertoe behoren. Op dit niveau kunnen eveneens chronologische/stratigrafische relaties gelegd worden tussen structuren.

Het zijn de contextnummers en, indien gegroepeerd onder een structuur, de structuurnummers die verder in de tekst de leidraad vormen.

Wat de **vondsten** en **staalnames** betreft, wensen we mee te geven dat de databank een uitgebreide mogelijkheid tot determinatie en datering voorziet. Beide gebeuren zoals vermeld op het spoorniveau. Hieraan zijn de verschillende inventarisnummers van de vondsten gekoppeld. Bij het ingeven van de vondsten wordt automatisch een datering gegenereerd, maar deze kan manueel overschreven worden. Dit geldt op spoor-, context- en structuurniveau. De databank laat eveneens toe de vondstgegevens te bevragen en te gebruiken, dit laatste onder meer door middel van grafieken. Bovendien is er een logboek aanwezig voor eventuele behandelingen van bepaalde vondstcategorieën. Dit laat een efficiënte opvolging van de *archaeologica* toe.

Tenslotte bevat de databank alle relevante documenten m.b.t. het project; deze kunnen geraadpleegd worden onder een map '**bijlagen**'. Hierin komen de administratieve gegevens van het project terecht, net als het definitieve rapport, bijzondere voorschriften, overzichtsplannen, overzichtsfoto's, eventuele rapporten van natuurwetenschappelijk onderzoek, enz....

6.3. MOTIVATIE VAN DE SELECTIE VAN MATERIAAL EN STAALNAME

De inzameling van artefacten verliep volledig handmatig tijdens het verdiepen en couperen met schop of truweel. Bij de recuperatie van aardewerk is in functie van datering en interpretatie gestreefd naar volledigheid. Het stratigrafisch uitgraven van belangrijke sporen ging gepaard met het systematisch doorzoeken van de vulling in de kruiwagen. De inzameling van andere vondsten geschiedde op dezelfde wijze.

De brandrestengraven zijn integraal bemonsterd en gezeefd op een zeef met maaswijdte van 0,5 mm. Bepaalde sporen met houtskoolrijke of organische lagen zijn eveneens bemonsterd en dit steeds met minstens 10 liter bodemstaal. Waar mogelijk is houtskool, organisch materiaal en/of (verbrand) bot ingezameld voor ¹⁴C-datering. Uit diverse sporen zijn daarnaast ook enkele pollen- en macrorestenstalen genomen. Eveneens is het constructiehout van de waterputten bemonsterd met het oog op dendrochronologisch onderzoek en houtdeterminatie.

07 | BESCHRIJVING VAN HET ARCHEOLOGISCH ONDERZOEK





12 LED KR 2018/20
ZONE II
GPH A
SPOR 34
COUPE KL

1M

7. BESCHRIJVING VAN HET ARCHEOLOGISCH ONDERZOEK

In het volgende hoofdstuk bespreken we de resultaten van het archeologisch onderzoek per chronologische periode. Dit betekent grotendeels dat zone I en zone II afzonderlijk aan bod komen.

Op basis van het vondstmateriaal is het mogelijk om de contexten en structuren, zoals gedefinieerd tijdens de verwerking, hoofdzakelijk aan drie periodes toe te wijzen: de metaaltijden, de Romeinse periode en de middeleeuwen. De steentijden en de postmiddeleeuwen zijn eveneens, maar in mindere mate, vertegenwoordigd.

Na een korte bespreking van de sporen en vondsten uit de steentijden, gaan we in op de sporen uit de metaaltijden. Hierbij overlopen we de relevante contexten en structuren die tot de bronstijd en de ijzertijd behoren afzonderlijk, met aandacht voor zowel de meer specifiek als de eerder algemeen gedateerde sporen. Hoewel deze sporen uitsluitend uit nederzettingssporen bestaan, kunnen we geen gewag maken van een duidelijk af te bakenen bewoning. De erosie van het terrein (cf. supra), de leesbaarheid en de bewaringsgraad van de sporen kan hiertoe hebben bijgedragen. Vervolgens komen de hoofdzakelijk funeraire sporen uit de Romeinse periode aan bod. Het merendeel van de sporen uit deze periodes zijn gelokaliseerd in zone I. Voor de middeleeuwse periode zoomen we in essentie in op zone II. De hier aangetroffen nederzettingssporen worden opgesplitst in drie fases: de volle middeleeuwen, de overgang van de volle- naar de late middeleeuwen en de late middeleeuwen. Tenslotte komt ook de postmiddeleeuwse periode, als de vierde fase, aan bod.

Samenvattend worden de resultaten van het archeologisch onderzoek, per periode op een lokaal niveau bekeken; m.a.w. in relatie tot eerder uitgevoerd onderzoek te Lede. Evenzo bekijken we de resultaten in een ruimer regionaal kader, met name het werkingsgebied van SOLVA en bij uitbreiding België.

7.1. STEENTIJDEN (H. VANDENDRIESSCHE)

7.1.1. Lithische artefacten

De opgraving leverde een beperkte hoeveelheid lithische artefacten op (n=80), waarvan n=46 en n=34 respectievelijk op zone I en zone II aangetroffen werden. Het merendeel van de assemblage is afkomstig uit de opvulling van recentere sporen en kan bijgevolg als residueel bestempeld worden. Enkele vondsten werden verspreid over beide zones in de moederbodem aangetroffen en vervolgens in 3-D geregistreerd. Tenslotte recupereerden we vier artefacten uit een bleekgrijze, witte bodemvormingshorizont (context II-A-281, cf. supra), rijk aan mangaanconcreties, die zich aan de noordwestelijke zijde van zone II uitspreidde.

Het ensemble bestaat quasi volledig uit vuurstenen artefacten. Slechts één artefact, een fragment van een hardstenen gepolijste bijl (inv.-nr. 966) (Fig. 17) werd niet uit vuursteen vervaardigd. De grondstoffen aangewend voor de productie van de vuurstenen artefacten zijn zeer divers. Ongeveer 23% is opgemaakt uit mijnsilex of andersoortige geïmporteerde vuursteen. Onder deze noemer tellen we naast drie varianten lichtgrijze tot witte vuursteen, vermoedelijk afkomstig uit de mijncentra van Spiennes, ook een meer fijnkorrelige, redelijk homogene donkerbruine vuursteen en een lichtbruine grofkorrelige vuursteen met lichtgrijze inclusies. Dit laatste vuursteentype is mogelijk een gepatineerde versie van de lichtgrijze vuurstenen uit Spiennes. Daarnaast komen artefacten uit sterk variërende soorten

vuursteen voor, gaande van zeer fijnkorrelig donkergrijze vuursteen, tot eerder matte, fijnkorrelig bruingrijze en lichtbruine vuursteen. Vier exemplaren werden in de typische donkergrijze, matig grofkorrelige vuursteen met lichtgrijze inclusies en gerolde cortex vervaardigd, die eerder al te Ruien - Rosalinde²³ en Zottegem - Spelaan²⁴ vastgesteld werd. Tenslotte zijn slechts enkele stukken vervaardigd uit vuursteen van inferieure kwaliteit, vermoedelijk afkomstig uit lokaal dagzomend kwartair basisgrind.

Werktuigen domineren het typologische spectrum en vormen maar liefst 46,25 % van het lithische materiaal. De resterende artefacten bestaan hoofdzakelijk uit debitage materiaal (40 %). Kernen (2,5 %) zijn in tegenstelling slecht vertegenwoordigd. Niet gedetermineerde brokstukken en vorstafslagen vervolledigen de assemblage. Onder de werktuigen bevinden zich voornamelijk gepolijste afslagen en fragmenten van gepolijste bijlen (27,02 %), artefacten met versplinterde boorden of *pièces esquillées* (13,51 %) en pijlbewapeningselementen (10,81 %). Ook geretoucheerde (micro)klingen en schrabbers (waaronder een massief schrabberfragment uit mijnsilex) zijn goed vertegenwoordigd (beide 8,11 %).

Verder werden een afslagbijl (inv.-nr. 382), een brede neolithische kling, een mes met afgestompte boord, een steker op afknotting, een artefact met verbrijzelde boorden, twee geretoucheerde afslagen, evenals vijf onbepaalde werktuigfragmenten gedocumenteerd. Bij de pijlbewapening betreft het meer specifiek een dwarspijl (Fig. 18) (inv.-nr. 244), een bladvormig pijlpunt (Fig. 19) (inv.-nr. 240), een vermoedelijk bladvormig pijlpunt (Fig. 20) (inv.-nr. 807) waarvan de basis ontbreekt en een gesteeld en gevleugeld pijlpunt (Fig. 21) (inv.-nr. 259)

Op basis van deze elementen kunnen we de steentijdvondsten van Lede - Kleine Kouterrede in het neolithicum plaatsen. Gelet op de aanwezigheid van artefacten uit mijnsilex in combinatie met de gepolijste bijlfragmenten, het hardstenen bijlfragment, een afslagbijl, de eerder massieve schrabber en de bladvormige pijlpunten stellen we een meer specifieke datering in het midden-neolithicum voor. Daarbij vormt het gesteelde en gevleugelde pijlpunt een indicatie voor een eventuele, maar vermoedelijk eerder verwaarloosbare laat-/finaal-neolithische bijmenging.



Fig. 17. Fragment van een gepolijste bijl.



Fig. 18. Dwarspijl.

²³Verbrugge et al., te verschijnen SOLVA Archeologierapport.
²⁴Klinkenborg et al., te verschijnen SOLVA Archeologierapport.



Fig. 19. Bladvormige pijlpunt.



Fig. 20. Bladvormige pijlpunt.



Fig. 21. Gevleugelde pijlpunt.

7.1.2. Archeologische sporen

Zoals reeds gesteld, zijn de meeste lithische artefacten afkomstig uit de vulling van sporen, met dateringen in de metaaltijden en de Romeinse periode, en zijn ze bijgevolg als residueel te beschouwen. Slechts één archeologisch spoor dat nauwelijks aardewerk bevatte, is aan de hand van een ¹⁴C-datering in het finaal-neolithicum te plaatsen.

7.1.2.1. Kuil/silo: context I-A-310

Beschrijving en interpretatie

Kuil, context I-A-310, ligt in het westen van het vlak, nabij de sleufwand en enkele andere sporen met dateringen in de metaaltijden. Dit spoor was relatief duidelijk zichtbaar in het grondvlak en heeft een cirkelvormige aflijning. De coupes tonen ons een vrij onduidelijke uitgraving met een opvallende vorm: concave wanden en een platte bodem (1,9m breed aan de bodem en top, en 1,35m en 1,65m in het midden) (Fig. 22 en 23). De heterogene, maar quasi steriele pakketten bestaan uit versmeten moederbodem (Fig. 24). Op basis van de kenmerkende zandlopervorm interpreteren we deze kuil als een voorraadkuil of silo. De vulling laat vermoeden dat de kuil zorgvuldig geleegd is, vooraleer ze, waarschijnlijk in één beweging, gedempt is. Het macrobotanische onderzoek van twee bodemstalen bevestigt dit (cf. infra).

Vondsten en datering

Ondanks de omvang van de kuil leveren de lagen slechts 22 scherven op: 14 grofwandig niet gedetermineerde stuks, vier grofwandig geëffende exemplaren en drie grofwandig geëffende scherven, waarvan één rand. Waar mogelijk is houtskool gerecupereerd. Aanvullend zijn bodemstalen genomen van alle lagen en zijn alle lagen bemonsterd d.m.v. pollenbakken.

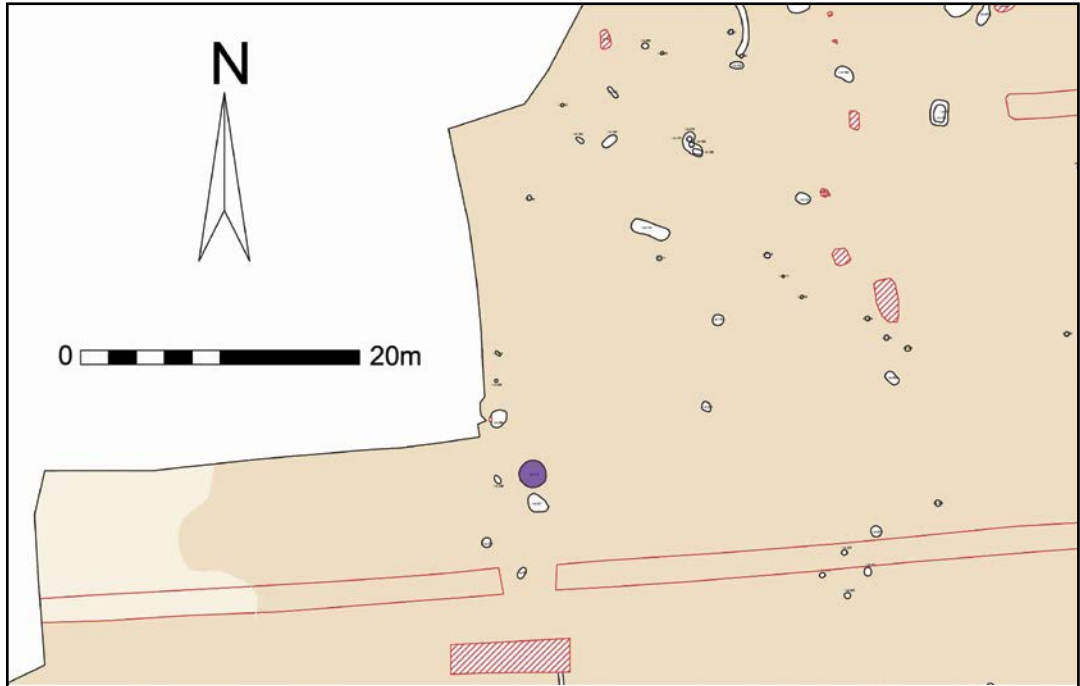


Fig. 22. Grondplan A met aanduiding van context I-A-310 in het paars.

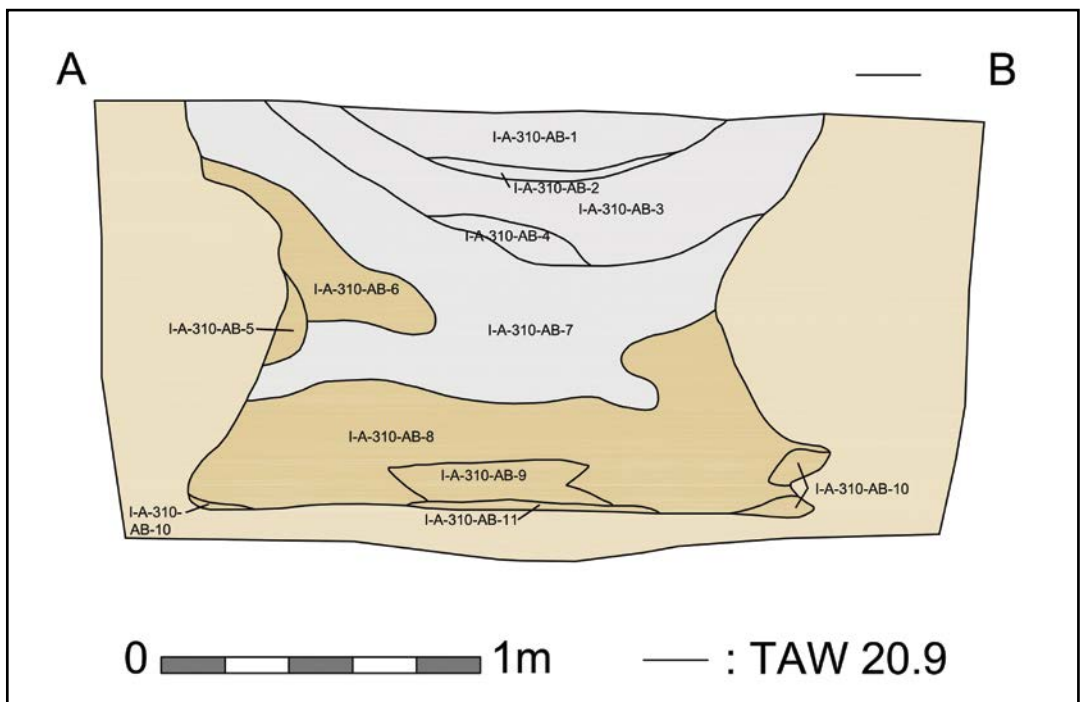


Fig. 23. Coupetekening AB van context I-A-310.

Twee bodemstalen van 10 liter, afkomstig van de onderste twee lagen (sporen I-A-310-AB-10 en 11), zijn door BIAx Consult archeobotanisch onderzocht.²⁵ De botanische resten in beide stalen zijn geïnventariseerd en gewaardeerd, maar de resultaten lieten een verdere analyse niet toe. Beide stalen leverden immers elk slechts één verkoolde macrorest op, één hazelnoot en mogelijk één graankorrel.

Ter datering van dit spoor is één van twee houtskoolstalen ingediend bij het KIK voor een ¹⁴C-datering. Dit leverde echter geen resultaat op, daar het staal te weinig houtskool bevatte.

Vervolgens is geopteerd om de verkoolde hazelnoot uit het macrorestenresidu aan te wenden voor een ¹⁴C-datering. Dit resulteerde, met een zekerheid van 95,4%, in een datering in het finaal-Neolithicum (2910 – 2680 v. Chr.).²⁶

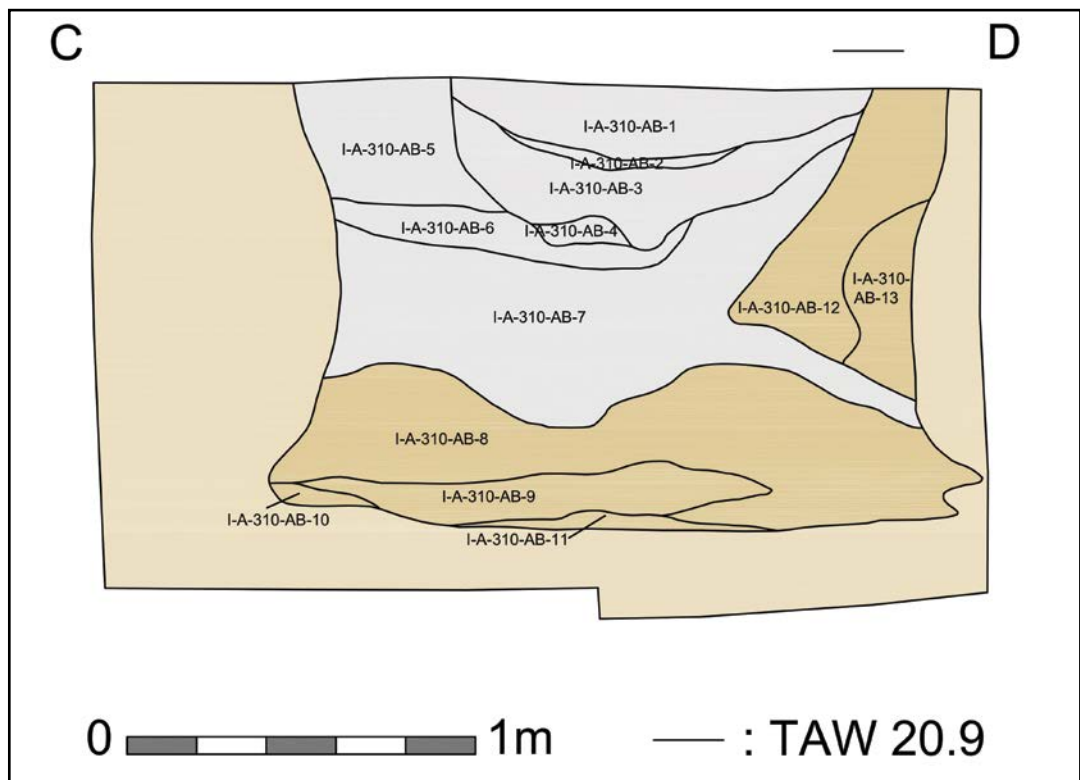


Fig. 24. Coupetekening CD van context I-A-310.



Fig. 25. Coupe AB op context I-A-310.



7.2. METAALTIJDEN

7.2.1. Zone I

De totaliteit van de archeologische sporen uit de metaaltijden komt sterk verspreid in het vlak voor (Fig. 26). Zoals reeds geschreven, zijn de sporen te interpreteren als nederzettingssporen, zonder dat we een duidelijke nederzetting kunnen afbakenen. Desalniettemin is het wetenschappelijk belang van het archeologisch onderzoek in zone I net vervat in de aanwezigheid van deze bewoningssporen uit de metaaltijden. Het betreft immers sporen uit zowel de bronstijd als de ijzertijd, waarbinnen het toch mogelijk is twee gebouwen (structuren I-A-5 en I-A-244), drie bijgebouwen (structuren I-A-128, I-A-142 en I-A-318) en zeven palenclusters (structuren I-A-63, I-A-116, I-A-325, I-A-330, I-A-353, I-A-463 en I-A-474) te herkennen. Aanvullend levert het onderzoek verscheidene kuilen met bijzondere aardewerkassemblage op (contexten I-A-52, I-A-185, I-A-188, I-A-308, I-A-311, I-A-466). Deze contexten kunnen gelden als referentie-contexten voor zowel de Halstatt als La Tène periode.

De dateringen van de sporen, op basis van de aardewerkvondsten en/of ¹⁴C-dateringen, lopen sterke uiteen. Alle periodes uit de metaaltijden zijn vertegenwoordigd door één- of meerdere contexten. De lage densiteit, de weide verspreiding en de uiteenlopende dateringen van de sporen maken het moeilijk om voor een bepaalde periode een woonzone af te bakenen. Desalniettemin merken we wel enkele 'clusters' van sporen in zone I. Bij het chronologisch overlopen van de resultaten bespreken we soms sporen vanuit hun geclusterd voorkomen, maar zonder te veronderstellen dat dit wijst op een opzettelijke organisatie of oorzakelijke concentratie van sporen. Het is immers duidelijk dat we hier geen nederzetting kunnen afbakenen.

We geven tenslotte mee dat de individuele sporen veelal onduidelijk waren in grondvlak en bijgevolg moeilijk af te bakenen. Meermaals is het nodig gebleken om stukjes van het terrein opnieuw op te schaven, zodat moeilijk zichtbare sporen of vermoede sporen (bv. door de aanwezigheid van aardewerk in het vlak) duidelijker werden. Ook in coupe waren de sporen niet altijd even duidelijk. Veel sporen bleken bij nader inzicht van natuurlijke oorsprong te zijn en de antropogene sporen hadden veelal een vulling die sterk natuurlijk leek: heterogeen, uitgeloogd en gebioturbeerd. De kans is reëel dat bepaalde sporen uit de metaaltijden, door de aard van deze sporen, aan ons opmerkingsvermogen zijn voorbij gegaan. Zo is ook tijdens het proefsleuvenonderzoek de aanwezigheid van sporen uit deze periode over het hoofd gezien; en dit in tegenstelling tot de duidelijke Romeinse brandrestengraven.

7.2.1.1. Bronstijd

De sporen uit de bronstijd zijn in mindere mate aanwezig dan de sporen uit de ijzertijd. Ze tonen zich evenwel als twee duidelijke gebouwstructuren en enkele kuilen met kenmerkend aardewerk of kenmerkende vorm.

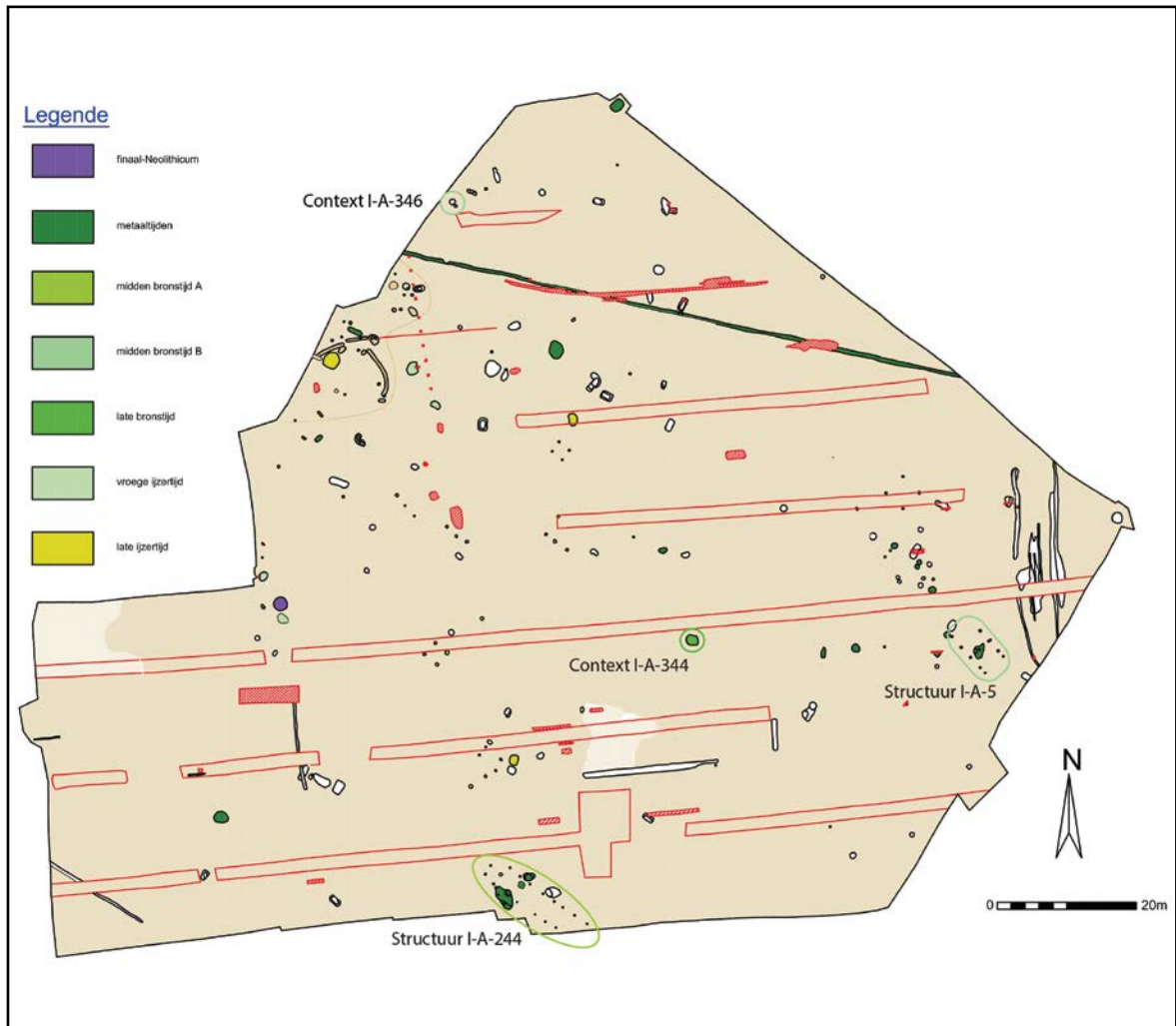


Fig. 26. Zone I grondplan A met aanduiding van de besproken structuren en contexten, schaal 1/750.

7.2.1.1.1. Midden bronstijd A

7.2.1.1.1.1. Gebouw: structuur I-A-244

Beschrijving en interpretatie

In het uiterste zuiden van het opgravingsvlak, grenzend aan- en vermoedelijk verder lopend voorbij de sleufwand, registreerden we een onvolledige gebouwplattegrond (Fig. 27 en 28). Zeventien paalsporen (contexten I-A-244, I-A-246, I-A-248, I-A-249, I-A-250, I-A-251, I-A-252, I-A-253, I-A-390, I-A-392, I-A-393, I-A-395, I-A-404, I-A-405, I-A-419, I-A-420, I-A-535), verdeeld over twee palenrijen, vormen een eenschepig gebouw met een afgeronde korte noordwestelijke zijde (Fig. 29). Zoals de overige structuren in zone I (cf. infra) heeft het gebouw een noordwest-zuidoostelijke oriëntatie. De plattegrond, voor zover bewaard, is in de lengte ca. 16m en in de breedte 3,1 tot 3,3m. De variatie in de afstand tussen de paalsporen is veel groter, van 1,5 tot 2,3m. Bovendien lijken de palen van de twee palenrijen in de noordwestelijke helft parallel t.o.v. elkaar te liggen, terwijl ze in de zuidoostelijke helft verspringen t.o.v. elkaar. In doorsnede zijn de paalsporen klein en ondiep bewaard, met eenzelfde grijze tot lichtgrijze vulling met mangaanspikkels en occasioneel houtskool spikkels (Fig. 30 en 31).



Fig. 27. Zicht op structuur I-A-244 op grondplan A.



Fig. 28. Zicht op structuur I-A-244 op grondplan A.

In een eerste oogopslag lijkt de gebouwplattegrond aan te sluiten bij de Noord-West-Europese traditie van de drieschepige woonstalhuizen. Dit in de veronderstelling dat het gebouw oorspronkelijk opgebouwd was uit vier palenrijen, waarbij hier enkel de binnenste, dieper gefundeerde palenrijen zijn bewaard. Deze stelling zou van kracht kunnen zijn, zeker gezien de beperkte diepte van de bewaarde paalsporen. Anderzijds konden we binnen het werkingsgebied van SOLVA op meerdere sites gelijkaardige eenschepige gebouwplattegronden vaststellen, met datering in de midden bronstijd A en B; en ook net buiten het werkingsgebied kwam een parallel aan het licht. In die zin hebben we hier te maken met een ander plattegrondtype dat op zich staat en dus niet past binnen de traditie van de drieschepige woonstalhuizen. Deze theorie is uitgewerkt door collega A. De Graeve in het kader van de rapportage van de opgraving te Ronse-Pont West (cf. infra).²⁷

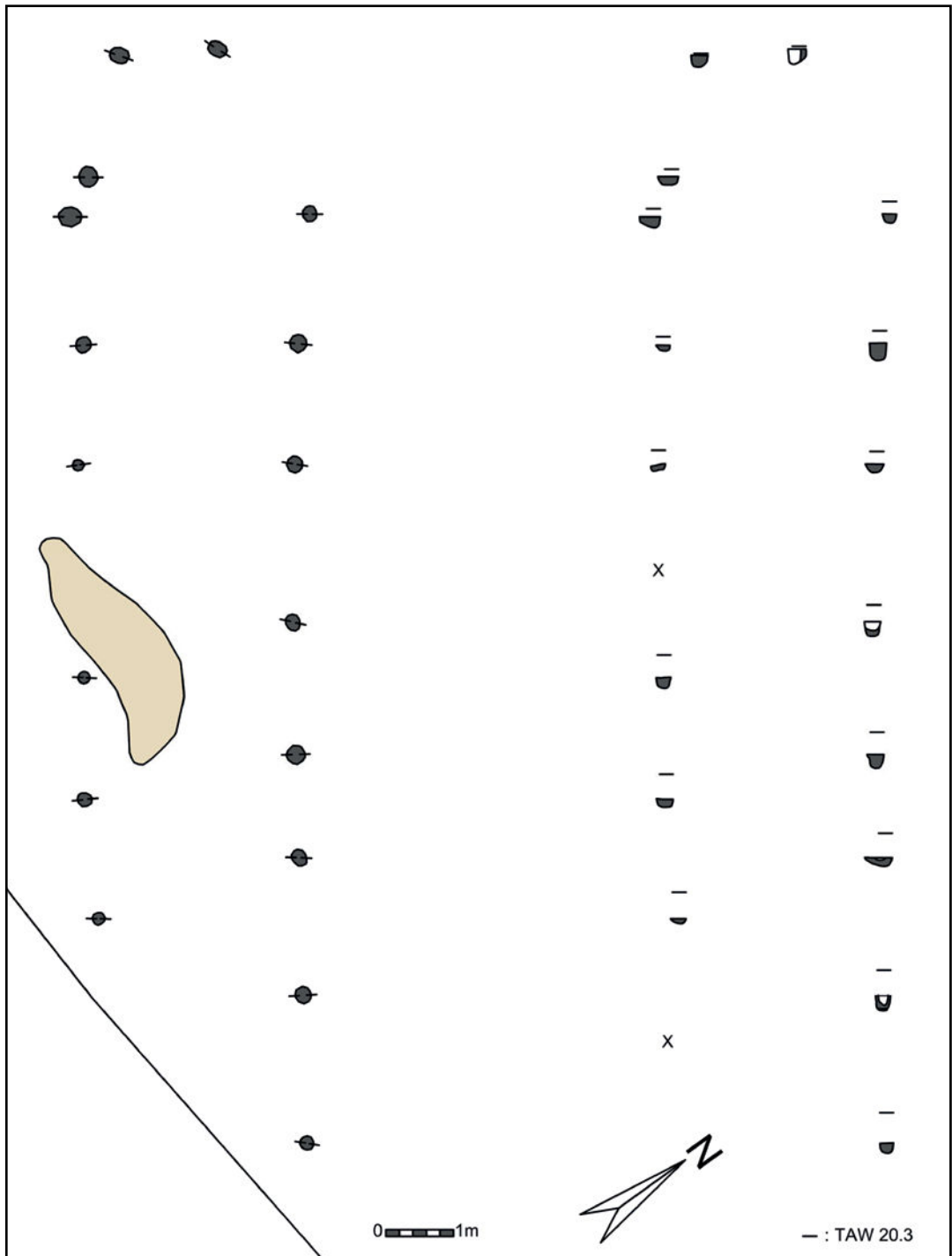


Fig. 29. Structuur I-A-244, schaal 1/100.



Fig. 30. Coupe AB op context I-A-244.



Fig. 31. Coupe AB op context I-A-395.

Vondsten en datering

Slechts twee paalsporen (contexten I-A-249 en I-A-419) leverden een kleine hoeveelheid aardewerk op. Deze contexten bevatten twee grofwandig onversierde wandscherven en één grofwandig geëffend onversierd exemplaar. Aangezien er geen diagnostische scherven aanwezig zijn, is de datering algemeen in de metaaltijden geplaatst. Voor deze gebouwplattegrond is ingezet op de ¹⁴C-datering van twee houtskoolstalen uit de paalsporen I-A-248²⁸ (1630 – 1490 v. Chr.) en I-A-249 (1620 – 1450 v. Chr.)²⁹. Met een zekerheid van 94,5% plaatsen de complementaire dateringen het gebouw in de **midden bronstijd A** (1800/1750 - 1500 v.C.) en de overgang naar de midden bronstijd B (1500 - 1050 v.Chr.):

7.2.1.1.2. Kuil: context I-A-436

Beschrijving en interpretatie

In het uiterste noorden van het terrein, nabij de sleufwand, tekenen we kuil, context I-A-436, op. De omliggende sporen zijn eerder twijfelachtig en anders qua vulling. De kuil lijkt hier geheel geïsoleerd te liggen, zoals wel meerdere sporen uit de metaaltijden in zone I. In coupe is kuil goed bewaard (60cm diep) met licht afgeronde bodem en rechte wanden, en opgevuld met een afwisseling van witgrijze, sterke uitgeloopte lagen en zwarte, houtskoolrijke lagen met een summiere hoeveelheid verbrande leem (Fig. 32).

Vondsten en datering

Het grootste houtskoolpakket bevat de meeste vondsten: zeven wandscherven van het grofwandig geëffend onversierd type, waarvan de grotere scherven duidelijk sporen van verbranding tonen, 25 grofwandig niet gedetermineerde stuks en één grofwandig geruwd fragment. Opmerkelijk is de verschraving van het aardewerk van drie grofwandige scherven met silex. Een datering in de bronstijd is mogelijk, aldus prof. G. De Mulder.

Daarnaast is een afslag in mijnsilex, een zwaar verbrande afslag en een quasi intacte gesteelde en gevleugelde pijlpunt gevonden (Fig. 21). Deze laatste kent een datering in het laat-/finaal-neolithicum.

²⁸Bijlage 2. RICH-21910 (12-LED-KK-138): 3278±30BP.

²⁹Bijlage 2. RICH-21911 (12-LED-KK-139): 3262±32BP.



Fig. 32. Coupe AB op context I-A-436.

Het ontbreken van diagnostische scherven leidde tot een ¹⁴C-datering van een houtskoolstaal. Met een zekerheid van 94,5% plaatst het resultaat de context in midden bronstijd A (1700-1520 v. Chr.).³⁰ Dit is het enigste spoor in zone I dat, qua datering aansluit bij het gebouw I-A-244.

7.2.1.1.2. Midden bronstijd B

7.2.1.1.2.1. Gebouw: structuur I-A-5

Beschrijving en interpretatie

Bij de aanleg van het eerste grondplan en de registratie van de aangeduide sporen, werd aanvankelijk gedacht dat we hier te maken hadden met een groot, langwerpig eenschepig gebouw, in het midden doorsneden door een proefsleuf. Bij het couperen van de veronderstelde sporen werd duidelijk dat veel sporen, negatief waren of onderling sterk verschilden en het gebouw een stuk kleiner was dan verondersteld. Zo bestaat de uiteindelijke structuur uit negen paalsporen, verdeeld over twee palenrijen met een noordwest-zuidsoostelijke oriëntatie. Samen vormen ze een eenschepig gebouw met een maximaal bewaarde lengte van 7,1m en een breedte van 3,6m (Fig. 33 en 34). De onderling lengteafstand tussen de paalsporen bedraagt ca. 2m, met een afstand van ca. 1m tussen de laatste twee zuidoostelijke palen. Het paalspoor van de noordoostelijke hoek van het gebouw is verdwenen ten gevolge van een boomval. In coupe tonen de palen zich als ondiep bewaarde sporen, die in doorsnede sterk gelijken op deze van structuur I-A-244 (cf. supra): rechte wanden en een platte bodem, met een grijze tot lichtgrijze vulling. Op twee paalsporen na zijn een kern en insteek niet te onderscheiden (Fig. 35).

Vondsten en datering

De vulling van de paalsporen leverde geen vondsten op. Ter datering van deze structuur is ingezet op de ¹⁴C-datering van twee houtskoolstalen afkomstig uit twee paalsporen: contexten I-A-9 en I-A-498. Beide resultaten sluiten aan bij elkaar en plaatsen met een zekerheid van 95,4% het gebouw in de **midden bronstijd B**: 1400-1120 v. Chr.³¹ Dit betekent dat de structuur niet gelijktijdig in gebruik was met gebouw I-A-244.

³⁰ Bijlage 2. RICH-21959 (12-LED-KK-259): 3333±32BP.

³¹ Bijlage 2. RICH-21912 (12-LED-KK-283): 3026±32BP (context I-A-9) en RICH-21915 (12-LED-KK-291): 3010±32BP (context I-A-498).

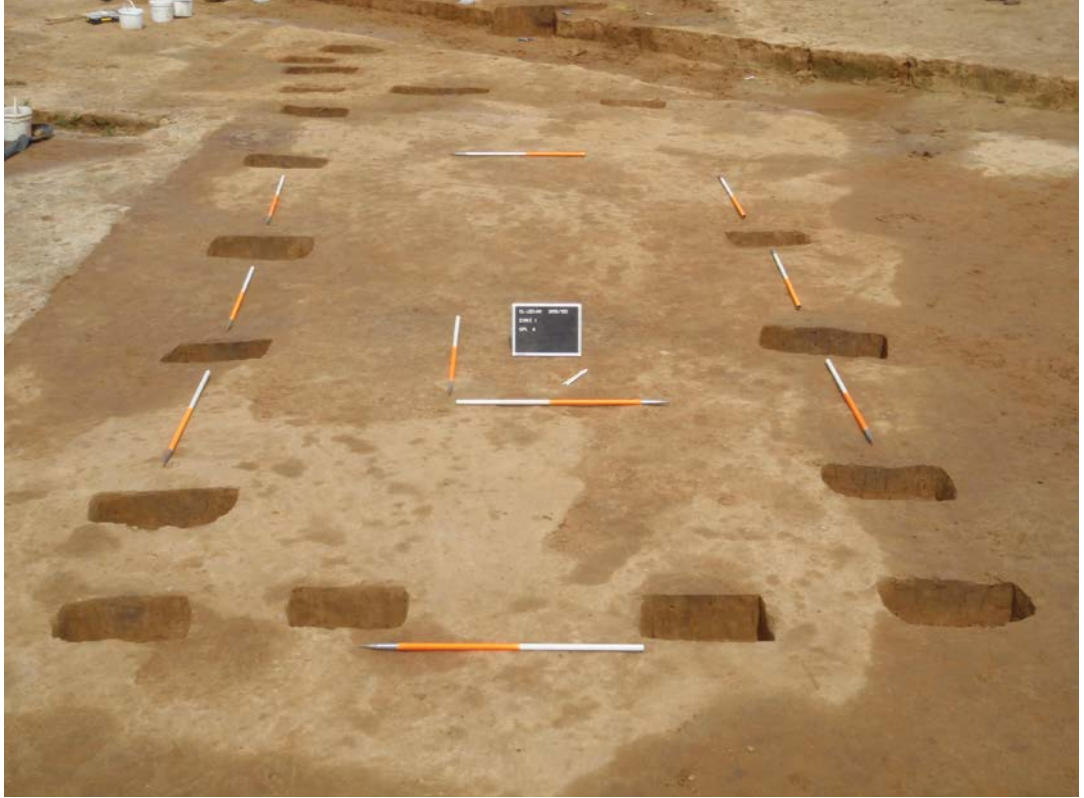


Fig. 33. Zicht op structuur I-A-5 op grondplan A.

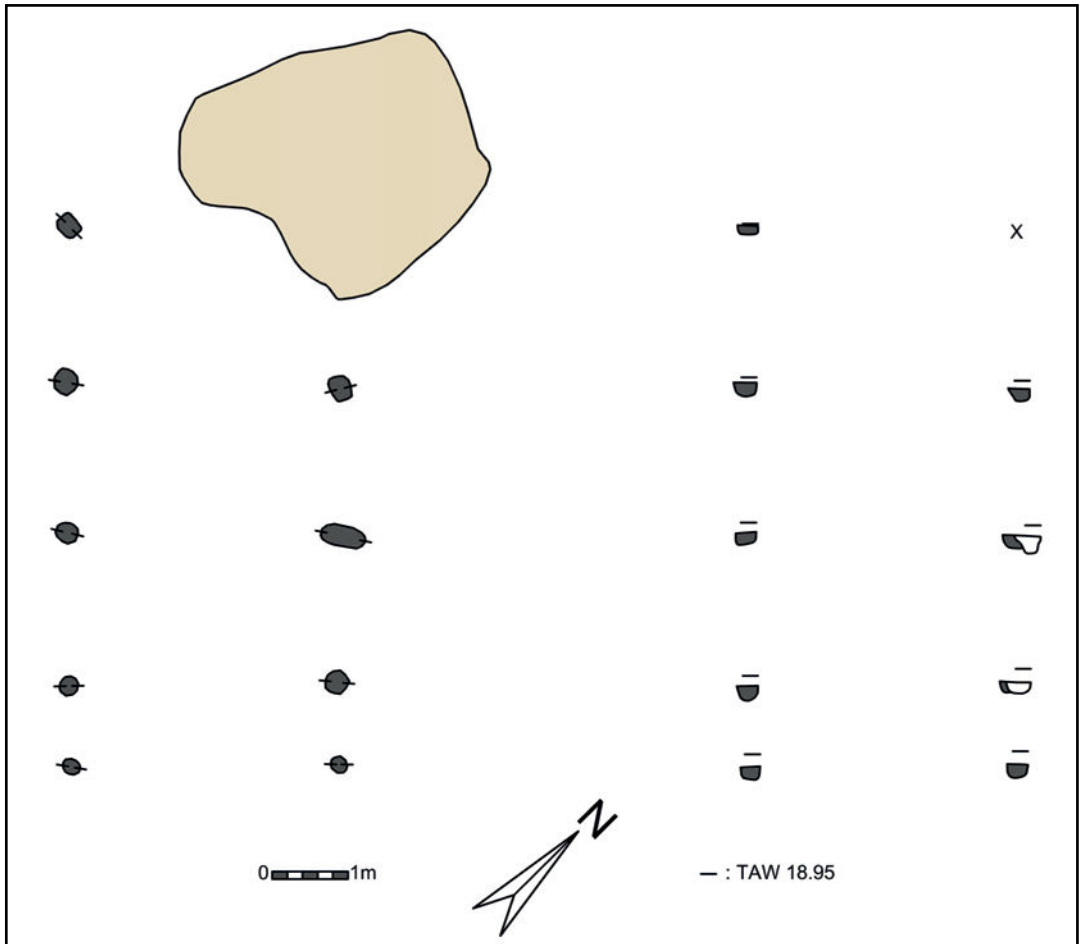


Fig. 34. Structuur I-A-5, schaal 1/50.



Fig. 35. Coupe AB op context I-A-499.

7.2.1.1.3. Late bronstijd

7.2.1.1.3.1. Kuil: context I-A-344

Beschrijving en interpretatie

Deze kuil ligt geïsoleerd, ongeveer centraal in het terrein (Fig. 26). In het grondvlak is de uitgraving afgelijnd als een duidelijke, vrij circulaire vorm met een heterogene licht bruingrijze vulling met witgrijze vlekjes. Tijdens het couperen kwam een concentratie scherven aan het licht in de tweede laag (Fig. 37). De kuil toont een brede aanzet om dan centraal, smaller te verdiepen (Fig. 36).



Fig. 36. Coupe AB op context I-A-344.



Fig. 37. Detail van aardewerk *in situ*.

Vondsten en datering

Het aardewerk omvat 16 grofwandig onversierde scherven, waarvan 15 tot dezelfde pot behoren (Fig. 38:1) en één scherf een oorfragment is (Fig. 38:2). Ter hoogte van de knik, op de overgang van de hals naar de buik van de pot zijn twee indrukken aangebracht. Op de binnenkant van de scherven leek het residu van voedsel bewaard te zijn. Prof. G. De Mulder plaatst het aardewerk in de late bronstijd, met de opmerking dat het oorfragment mogelijk op de overgang naar de vroege ijzertijd is te plaatsen.

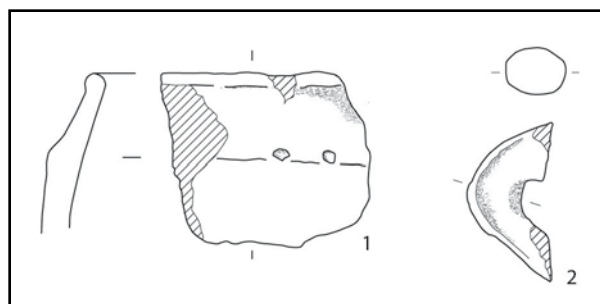


Fig. 38. Aardewerk uit context I-A-344.

In eerste instantie is een ¹⁴C-datering uitgevoerd op een houtskoolstaal uit de bovenste laag. Dit resulteerde in een datering met 95,4% zekerheid in de late bronstijd (1010-840 v. Chr.)³², conform de datering door prof. G. De Mulder. In het kader van een onderzoeksproject naar voedselresidu's in het KIK, kwam de context in aanmerking voor een aanvullende ¹⁴C-datering én een isotopenanalyse van het residu. De ¹⁴C-datering van het residu gaf

echter een afwijkende datering in de vroege ijzertijd (met 95,4% zekerheid 750-390 v. Chr.).³³ Bij nader onderzoek van dit ‘residu’ is gebleken dat het ‘bijna of geen vetten’ bevat, zoals gecommuniceerd door M. Boudin van het KIK. Bijgevolg kunnen we deze datering en de isotopenanalyse niet als betrouwbaar beschouwen.

7.2.1.1.4. Bespreking van de gebouwplattegronden

Op het grondgebied van Lede zijn tot op heden geen andere sites met sporen uit de bronstijd vastgesteld. Parallellen voor de besproken contexten en structuren zijn te beschouwen in een ruimer, regionaal kader.

Met betrekking tot de twee gebouwplattegronden uit de midden bronstijd A en B, wensen we te argumenteren dat deze niet in een ruimere Noord-West-Europese bouwtraditie van woonstalhuizen passen, maar dat we te maken hebben met een volwaardig apart type, dat reeds meermaals is vastgesteld binnen het werkingsgebied van SOLVA, maar ook daarbuiten. Collega A. De Graeve werkte deze these uit in het rapport van het archeologisch onderzoek te Ronse - Pont West en publiceerde hieromtrent een artikel in Lunula. Ik citeer dan ook zijn woorden:³⁴

“In de afgelopen jaren zijn door het intergemeentelijk samenwerkingsverband SOLVA diverse grote landelijke projecten uitgevoerd in het zuiden van de provincie Oost-Vlaanderen (België). Op verschillende opgravingen werd daarbij eenzelfde type gebouwplattegrond aangetroffen. De structuren kenmerken zich door een zeer uniforme constructiewijze, zelfde oriëntatie en beperkte chronologische spreiding. Op basis van een reeks 14C-dateringen bleken deze plattegronden zich op de overgang van de midden-bronstijd A naar de midden-bronstijd B te bevinden.”[...]

“In dit artikel worden zes plattegronden van vijf verschillende sites uit het zuiden van Oost-Vlaanderen overlopen. Vier plattegronden zijn inzake oriëntatie, afmeting en datering sterk gelijklopend (tabel 1). Twee plattegronden (Lede-Kleine Kouterrede gebouw 2 en Leeuwergem-Spelaan) wijken enigszins af van de voorgaande inzake afmeting en datering, maar vormen desalniettemin een belangrijke aanvulling in de discussie.”[...]

“De eerste vier besproken plattegronden (Ronse-Pont West, Aalst-Rozendreef, Lede-Kleine Kouterrede gebouw 1 & Aalst-Siesegemkouter) vertonen een sterke gelijkenis inzake datering, oriëntatie, lay-out en vorm en bewaring van de paalsporen.

Site	Datering	Lengte	Breedte	Oriëntatie
Ronse-Pont West	RICH-22250: 3287±31 BP RICH-22846: 3407±31 BP	Min. 10m	3,3m	NW-ZO
Aalst-Rozendreef	RICH-22732: 3315±33 BP	10m	3,2m	NW-ZO
Lede-Kleine Kouterrede (gebouw 1)	RICH-21910: 3278±30 BP RICH-21911: 3262±32 BP	Min. 15m	3,2m	NW-ZO
Aalst-Siesegemkouter	RICH-22713: 3190±33 BP	10m	3,4m	NW-ZO
Lede-Kleine Kouterrede (gebouw 2)	RICH-21912: 3026±32 BP RICH-21915: 3010±32 BP	7m	3,5m	NW-ZO
Leeuwergem-Spelaan	RICH-21596: 3319±33 BP RICH-21612: 3422±36 BP	4m	3,2m	NW-ZO

Tabel 1: Overzicht niet-gekalibreerde dateringen en voornaamste afmetingen van de aangetroffen plattegronden. Alle dateringen zijn uitgevoerd door Mathieu Boudin en Mark Van Strydonck van het Laboratorium voor Koolstofdatering, Koninklijk Instituut voor het Kunstpatrimonium, Brussel (KIK). De weergegeven afmetingen zijn steeds genomen van het middelpunt van de paalsporen.

³³ Bijlage 2. RICH-22066 (12-LED-KK-1008): 2410±33BP.

³⁴ De Graeve et al., 2018.

Het gaat om eenvoudige, éénschepige rechthoekige plattegronden. In bepaalde gevallen is er aan de korte noordwestelijke zijde een kleine apsis gevormd door één of twee palen die een weinig uit de loodlijn van de korte zijde staan.

De plattegronden Lede-Kleine Kouterrede gebouw 2 en Leeuwegem-Spelaan wijken enigszins af van de standaard gezet door de andere plattegronden. De plattegrond van Lede-Kleine Kouterrede is een stuk jonger (midden-bronstijd B), en heeft een afwijkende afmeting. De plattegrond van Leeuwegem-Spelaan is wel gelijktijdig met de andere plattegronden (midden-bronstijd A), en ook op vlak van oriëntatie en breedte is de structuur volledig gelijklopend met de overige. Het grootste verschil tussen deze en de andere plattegronden is de korte lengte ervan.”[...]

“De plattegronden situeren zich op de ruime overgang van de midden-bronstijd A naar de midden-bronstijd B. Deze overgang wordt voor het zuiden van Nederland, België en het noordoosten van Frankrijk rond 3300 BP gesitueerd (Bourgeois & Talon 2009: 39). De plattegronden uit Ronse-Pont West, Aalst-Rozendreef en Leeuwegem-Spelaan dateren in de midden-bronstijd A. Het gebouw Lede-Kleine Kouterrede gebouw 1 dateert op de overgangszone tussen de midden-bronstijd A en midden-bronstijd B. De gebouwplattegrond uit Aalst-Siesegemkouter en gebouw 2 uit Lede-Kleine Kouterrede dateren in de midden-bronstijd B (fig. 8).”

“Chronologisch zijn de parallellen voor Vlaanderen beperkt.”[...]

“Bij opgravingen in Sint-Amandsberg (Gent) is wel eenzelfde eenschepig type als de gepresenteerde plattegronden opgegraven. Het gebouw meet 10,5m in lengte, en 3m in de breedte. Uit het gebouw zelf is slechts één niet nauwkeurig te dateren wandscherf gevonden. In een kuil die in de palenrij ligt, komt wel bronstijaardewerk voor dat te plaatsen is op het einde van de vroege bronstijd tot de midden bronstijd (Vanholme et al. 2016: 34). Wegens een gebrek aan dateerbaar materiaal, is geen 14C-datering uitgevoerd. We zien eenzelfde plattegrond met twee parallelle rijen palen, opgegraven te Retie-Veldenstraat. Deze dateert op de overgang van de late bronstijd naar de vroege ijzertijd (De Raymaecker & Smeets 2016: 95:). De auteurs citeren eenzelfde type gebouw in onder meer BilzenSpelverstraat, Someren-Hoge Akkers, ... die allen dateren in de vroege ijzertijd, maar waarvan een deel slechts typo-chronologisch is gedateerd. In Kampenhout zijn verschillende plattegronden uit de midden-bronstijd opgegraven. Deze hebben eenzelfde oriëntatie en palenzetting maar blijken een stuk langer dan de plattegronden uit het zuiden van Oost-Vlaanderen. Er zijn verschillende gelijkenissen te noteren: zo heeft “gebouw 1” dezelfde breedte (3,2m) en heeft deze gebouwplattegrond ook een kuil die als haardplaats wordt geïnterpreteerd (Hazen 2013: 35). Er zijn geen 14C-dateringen uitgevoerd op deze plattegronden. Er zijn wel verschillende scherven teruggevonden die waarschijnlijk uit het beginstadium van het Hilversum-aardewerk komen (1850 – 1600 v. Chr.).

Het zuiden van Oost-Vlaanderen wordt gesitueerd op de rand van twee verschillende bouwmethodes (Bradley et al. 2016: 193, fig. 5.11). In Noordwest-Europa wordt er tijdens de midden-bronstijd B gewoond in een (driebeukig) (woonstal) huis, daar waar men in Noord-Frankrijk steeds meer ronde huizen herkent. De plattegronden uit het zuiden van Oost-Vlaanderen lijken dus eerder aan te sluiten bij een meer noordelijke traditie (Leroy-Langelin et al. 2017: 173; Lorin 2012: 120). Het aantal gekend gebouwplattegronden uit de middenbronstijd A is voor de beide gebieden zeer klein.” [...]

“Alle besproken plattegronden hebben een gelijkaardige layout: smalle, rechthoekige gebouwen, al dan niet met gebogen noordwestelijke zijde (fig. 9)³⁵. Drie plattegronden

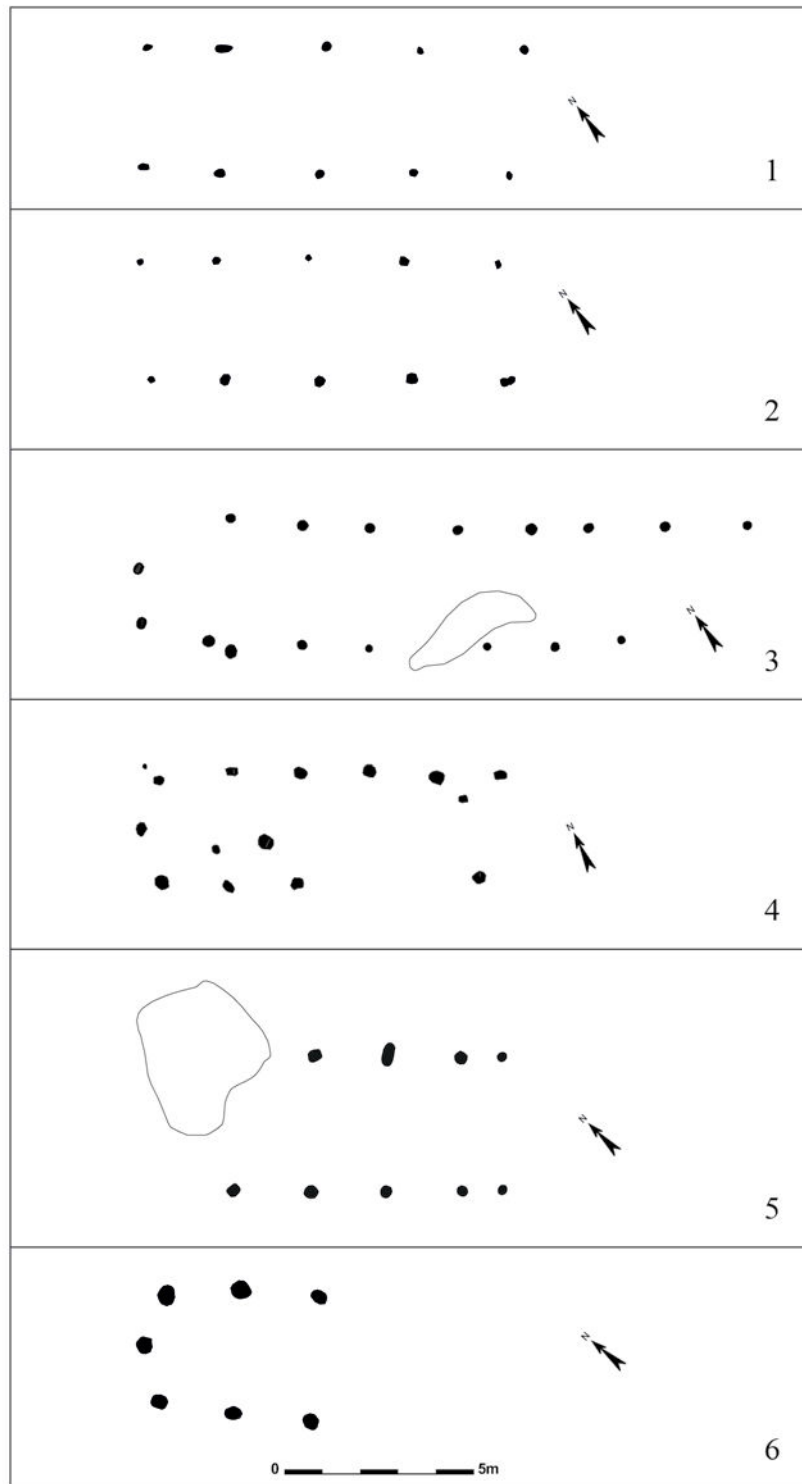


Fig. 9 Overzicht van de plattegronden. 1. Ronse – Pont West. 2. Aalst – Rozendreef. 3. Lede – Kleine Kouterrede gebouw 1. 4. Aalst – Siesegemkouter. 5. Lede – Kleine Kouterrede gebouw 2. 6. Leeuwergem – Spelaan.

hebben een lengte van 10m, waarbij de exemplaren uit Aalst-Rozendreef en Ronse-Pont West zelfs nagenoeg kopieën zijn van elkaar. Het langste gebouw, Lede Kleine-Kouterrede gebouw 1, is met zijn 15m bijna vier keer langer dan de plattegrond uit Leeuwergem-Spelaan. Aangezien de andere parameters - palenzetting, oriëntatie, breedte - allemaal net hetzelfde zijn, kan afgeleid worden dat lengte geen determinerende factor was bij de aanleg van een structuur, maar waarbij de lengte kon aangepast worden naar gelang de noden.

De plattegronden hebben zonder uitzondering een NWZO oriëntatie. Deze oriëntatie is zo kenmerkend dat ze kan gelden als een van de belangrijkste karakteristieken van de bouwtraditie voor zowel de midden-bronstijd A als de midden-bronstijd B in de regio.

De lengte van de traveeën vertoont in bijna alle gevallen een sterkte variatie. In eenzelfde gebouwplattegrond kan de lengte van de traveeën van 1,5 tot 2,5m verschillen. Deze onregelmatige palenzetting is in tegenspraak met wat op andere sites wordt aangetroffen e.g. Weelde (Annaert 2006), waar steeds een regelmatige gestructureerde inplanting van de wandpalen wordt genoteerd. Deze vaststelling is ook voor onderzoek in Nederland gemaakt, in die mate zelfs dat de onderzoekers de regelmatigheid van de palenzetting aanhalen als een van de belangrijkste elementen in het herkennen van plattegronden uit de midden-bronstijd (-B) (Arnoldussen 2008: 31).

De variëteit in de lengte van de traveeën staat echter in contrast met de gestandaardiseerde breedte van de gebouwen. Deze bedroeg, met uitzondering van twee plattegronden telkens 3,2m. Hoewel dit een pak minder breed is als aangegeven voor de midden-bronstijd huizen in Nederland, waar de gemiddelde breedte tussen de 5,5 en 6m ligt (Arnoldussen 2008: 31), getuigt dit van een geplande en gestructureerde aanpak. De twee plattegronden (Lede-Kleine Kouterrede gebouw 2 en Aalst-Siesegemkouter), die het meeste afwijken van deze 3,2m breedte, dateren bovendien een stuk jonger, in de midden-bronstijd B.

De gebouwen hebben aan de noordwestelijke zijde ofwel een rechte zijde, ofwel zorgt een paal in het midden van de korte zijde voor een licht afgeronde kant. Deze afgeronde zijde be vindt zich steeds in de noordwestelijke zijde, zoals ook te zien is bij gebouw 1 te Sint- Gillis-Waas-Kluizenmolen (Lauwers et al. 2011: 28). De rechte zijde wordt daar gelinkt aan een zadeldak, daar waar voor het absidiale uiteinde een schilddak wordt gesuggereerd. De gebouwen te Sint-Gillis-Waas hebben ook allemaal het absidiale uiteinde aan de noordwestelijke zijde.

Deze opgegraven plattegronden kunnen het resultaat zijn van verschillende constructiemethodes. Het idee dat de gebouwen slechts éénschepig waren, en dat de aangetroffen paalsporen de palen van de zijwanden zijn, lijkt gezien de beperkte breedte onwaarschijnlijk (infra)." [...]

"Een mogelijke verklaring voor de gegeven palenzetting, is dat er geen palen ontbreken, maar dat het gaat om een driebeukig gebouw waarbij geen standpalen zijn gebruikt in de wand (= type A1 Arnoldussen (Arnoldussen 2008: 195 fig. 5.14)). Dit type plattegrond combineert een pi-constructie met wanden die steunen op een funderingsbalk dewelke niet is ingegraven in de bodem (Buche 2012: 114). Verder stelt Arnoldussen een gemiddelde breedte van 5,5 tot 6m vast bij bronstijdplattegronden in Nederland. De breedte van de hier gepresenteerde structuren was steeds 3,2m (zie tabel 1), wat aanzienlijk minder is dan de bronstijduizen in Nederland. Deze breedte komt evenwel overeen met de spanwijdte van de traveeën van de middelste beuk. Deze bevinden zich tussen de 2,6-3,4m (Arnoldussen 2008: 220). Dit staft het idee dat de kern van het gebouw hetzelfde is, maar dat de opbouw van de buitenbeuken sterk verschilde. Mogelijk speelt hier ook een chronologische evolutie, waarbij er een verschuiving is van het gebruik van dragende wanden met funderingsbalk naar het gebruik van wandpalen."

7.2.1.2. IJzertijd

7.2.1.2.1. Vroege ijzertijd

De vroege ijzertijd in Lede - Kleine Kouterrede is vertegenwoordigd door vier contexten, meer bepaald vier kuilen in het westen en het noordwesten van het terrein, geclusterd per twee: I-A-308 en I-A-311 versus I-A-188 en I-A-454.

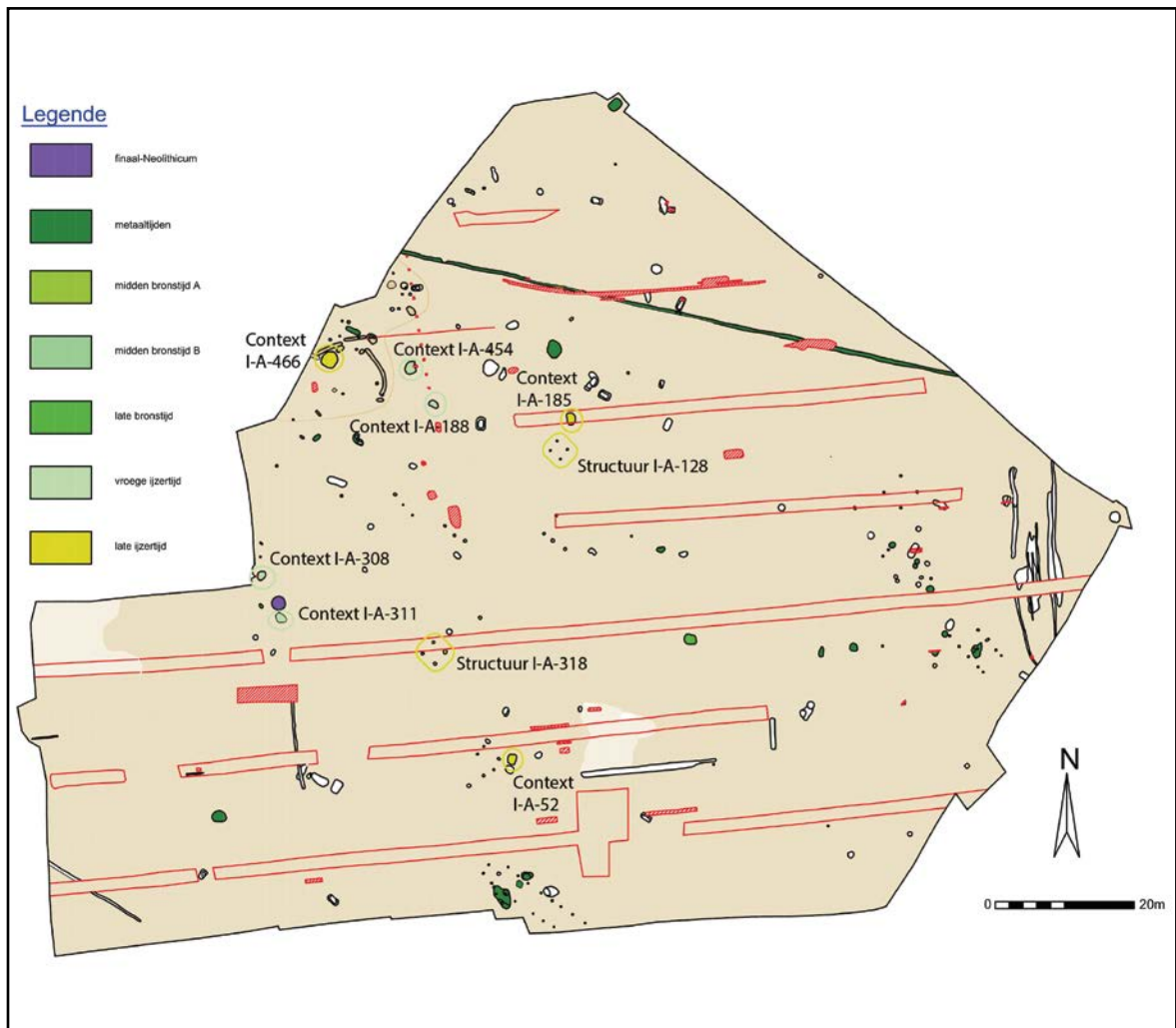


Fig. 40. Zone I grondplan A met aanduiding van de besproken structuren en contexten, schaal 1/750.

7.2.1.2.1.1. Kuil: context I-A-308

Beschrijving en interpretatie

Deze kuil is vrij duidelijk in grondplan en is in coupe ondiep bewaard met een platte bodem (Fig. 41). Op basis van het aardewerk kunnen we stellen dat de kuil aansluit bij en mogelijk gelijktijdig is met context I-A-311.

Vondsten en datering

Het aardewerk is afkomstig uit de onderste laag en is door prof. G. De Mulder gedateerd in de vroege ijzertijd, en meer bepaald in de late Hallstatt (650-475 v. Chr.). Het aardewerk bevat in zijn geheel 75 scherven, met een component mooi geëffend materiaal (32 scherven) en een component besmeten materiaal (22 scherven). In het geheel van scherven zijn minstens drie individuen te onderscheiden: een Harpstedt voorraadpot, met rand versierd met vingertopindrukken, waarvan de scherven onderhevig waren aan sterke verhitting (Fig. 42:1) (van de vier aanwezige randen versierd met vingertopindrukken is één rand getekend),



Fig. 41. Coupe AB op context I-A-308.

een nog niet scherp geknikte schaal in fijnwandig geglad aardewerk (Fig. 42:2), en een pot/kom met lichte knik in besmeten grofwandig aardewerk (Fig. 42:3). De schouderpartij van een pot/kom vertoont eveneens een lichte knik en had oorspronkelijk een kort uitstaand randje. De lichte knikken in het aardewerk zijn de aanleiding om de context eerder in de late fase van de vroege ijzertijd te dateren.

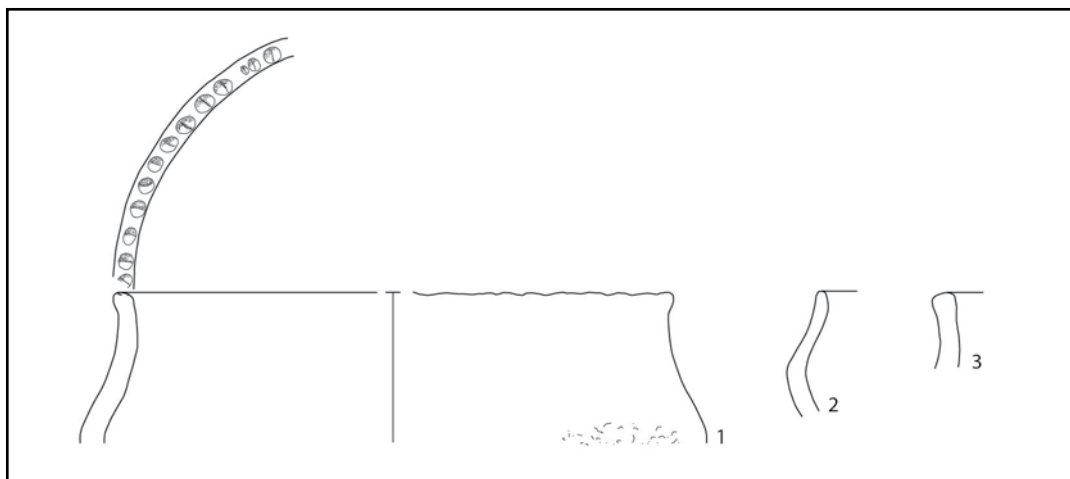


Fig. 42. Aardewerk uit context I-A-308.

Naast aardewerk bevat de context een kleine hoeveelheid ongedetermineerd verbrand bot, twee werktuigen in silex, waaronder een gepolijste afslag, en kleine fragmenten verbrande natuursteen, mogelijk afkomstig van een maalsteen.

Wat het aardewerk betreft, is de site Sint-Gillis-Waas - Reepstraat een referentie voor deze context. Naast twee grafheuvels uit de bronstijd, zijn hier sporen van een nederzetting uit de ijzertijd aangetroffen. Meerdere gebouwen en bijgebouwen vertonen een patroon en oriëntatie dat overeenstemt met andere sites uit de (late bronstijd en) vroege ijzertijd. Een bevestiging van deze datering vindt men in het weinig aardewerk, met randen in Harpstedt

traditie³⁶ én de afwezigheid van geknikt aardewerk. De 14C-datering (2390 ± 50 BP) van een waterput met houten beschoeiing stemt overeen met de gesuggereerde datering in de vroege ijzertijd.³⁷

7.2.1.2.1.2. Kuil: context I-A-311

Beschrijving en interpretatie

Zoals de meeste sporen uit de metaaltijden in Zone I was context I-A-311 vrij onduidelijk in het grondvlak, alsook in coupe. Enigszins D-vormig, was de kuil in doorsnede vrij ondiep en komvormig bewaard (Fig. 43). Van de twee opvullingslagen is de bovenste duidelijk af te lijnen, in tegenstelling tot de onderste sterk uitgeloogde laag, die aanvankelijk niet was vastgesteld. Beide lagen, en bij uitstek de bovenste laag, bevatten bijzonder veel en bijzonder kwalitatief aardewerk (Fig. 44 en 45). Deze context is qua aardewerk de rijkste context uit de metaaltijden op de site.

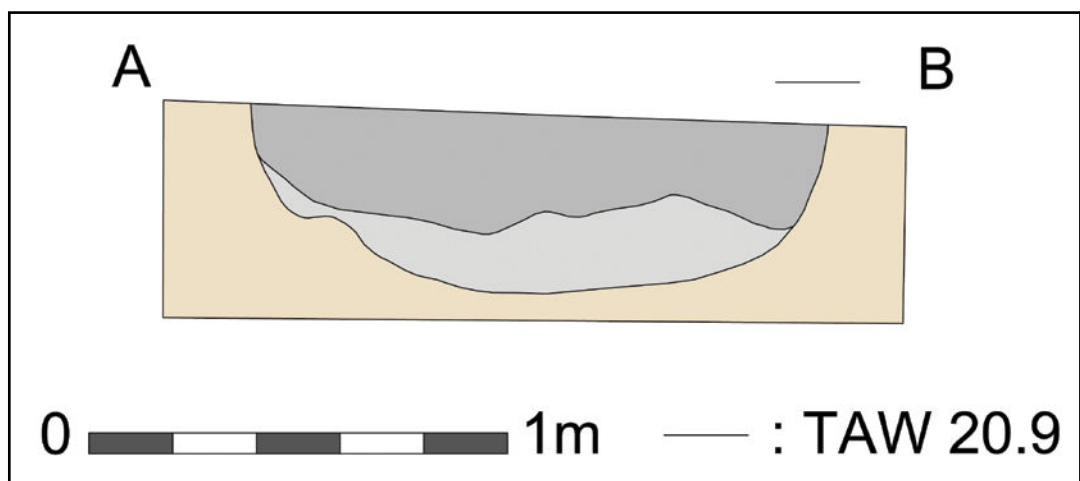


Fig. 43. Coupetekening van context I-A-311 (AB).



Fig. 44. Aardewerk *in situ*.

³⁶ Bourgeois et al., 1996, fig. 2: 4.

³⁷ Bourgeois et al., 1993. Bourgeois et al., 1996.



Fig. 45. Aardewerk *in situ*.

Vondsten en datering

Het aardewerk uit deze context (278 scherven) is door prof. G. De Mulder gedateerd in de vroege ijzertijd, meer bepaald in Hallstatt C, met neiging naar Hallstatt D (ca. 800-475 v. C.). Deze datering is gebaseerd op de aanwezigheid van kommetjes, die een evolutie tonen van *Schräggrand*-urnen naar bredere vormen en kortere, scherpere knikken (Fig. 46:2, 4), Kalenderberg-aardewerk (fig. 47), kleine eivormige bekertjes of *gobelets en bulbe d'ognion*, waarvan één met een *omphalos* bodem (fig. 46:1, 5) en grote voorraadpot met hoge rand (fig. 49:4). Dit in combinatie met de aanwezigheid van Harpstedtachtige vormen (fig. 48:6-9), potten met S-vormige profielen (fig. 48:4, 5), een schaal versierd met nagelindrukken (fig. 49:3) en een kom met schuine vingerstrepen op de wand en lichtjes uitgeknepen bodem (fig. 46:3). Opvallend is het veelvuldig gebruik van versiering d.m.v. vingertopindrukken op de randen (Fig. 48:1-3, 6-9). Een kleine beker met uitstaande rand met vingertopindrukken en ronde schouder is in deze periode minder frequent aanwezig en heeft een oudere datering in de eindfase van de late bronstijd (fig. 48:1).

Het aardewerkensemble van context I-A-311 is bijzonder gevarieerd qua vormtypologie en kent geen vergelijk op de site. Zo zijn de twee eivormige bekertjes uniek voor deze kuil. In vergelijking met het aardewerk van de gelijktijdige contexten, bevat dit ensemble tevens beduidend minder besmeten vormen (2 scherven besmeten aardewerk, versus 149 scherven geëffend aardewerk).

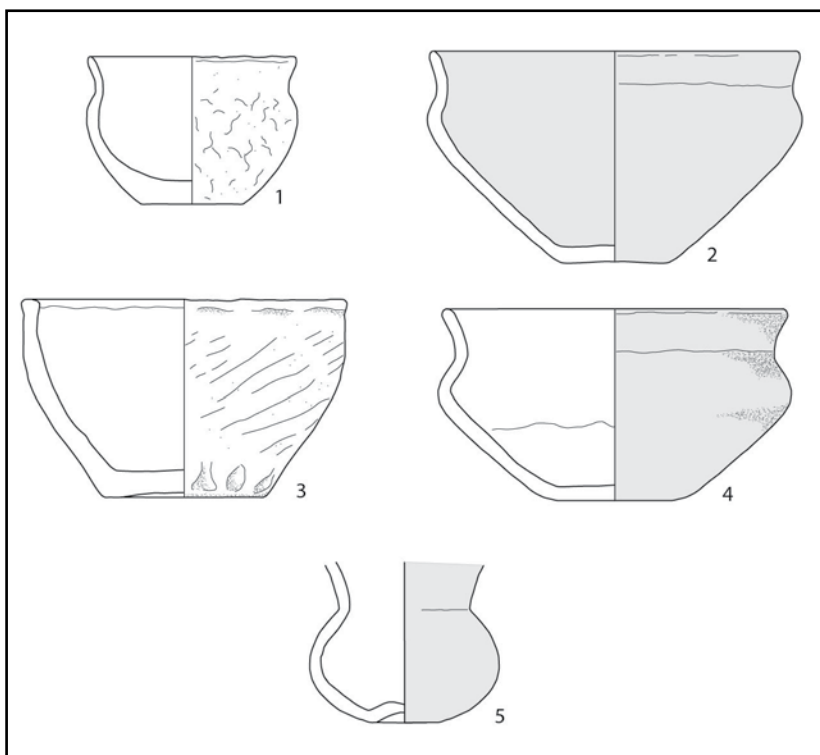


Fig. 46. Aardewerk uit context I-A-311.

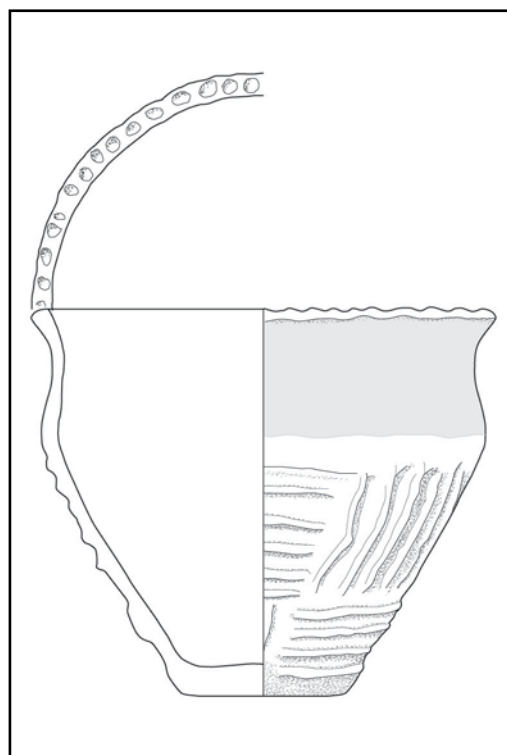


Fig. 47. Aardewerk uit context I-A-311.

Vijf individuen zijn door Natalie Cleeren - Archeologische Conservatie geconserveerd (fig. 50)³⁸.

Overige vondsten betreffen een kleine hoeveelheid verbrand ongedetermineerd bot en twee keien, die mogelijk werktuigen zijn: één ronde kei heeft gebruikssporen aan één zijde, de andere kei heeft een duidelijk vlakke, gegladde zijde. Enkele kleine fragmenten verbrande natuursteen zijn mogelijk afkomstig van een maalsteen.

In België vindt het aardewerk meer aansluiting bij vondsten uit Wallonië en Centraal-België. We verwijzen hierbij naar de sites Denderbelle - Fonteintje en Kruishoutem - Wijkhuis:

Het aardewerk uit de site Denderbelle - Fonteintje toont overeenkomsten met context I-A-311, enerzijds wat betreft het gebruik van versiering met vingertopindrukken³⁹ en de Kalenderbergversiering⁴⁰, en anderzijds wat betreft de vormen: de geknikte kommen in het fijne aardewerk⁴¹ en de potten in de traditie van het S-vormige profiel (fig. 48: 2-5)⁴². Eveneens zijn in bepaalde contexten natuurstenen met een effen, gepolijste zijde gevonden, geïnterpreteerd als wrijfstenen of als maalstenen⁴³. De site dateert evenwel recenter, in de 4de en 3de eeuw v. Chr., maar sluit typo-chronologisch aan bij Noord-Frankrijk en in mindere mate bij Henegouwen en Zuid-Nederland.⁴⁴

Het aardewerk uit de site Kruishoutem - Wijkhuis vertoont eveneens parallellen, meer bepaald de potten met S-vormig profiel in fijn- en dikwandig aardewerk⁴⁵, gedateerd in de vroege ijzertijd of "Ha C/D".

38 Bijlage 3. Inventarisnummer 169.

39 De Clerq et al., 2005, 243, 10: 20-23, 30

40 De Clerq et al., 2005, 243, fig. 11: 14, fig. 16, fig. 17: 13.

41 De Clerq et al., 2005, fig. 10: 4-8, fig. 12: 23, fig. 17: 10, 12.

42 De Clerq et al., 2005, fig. 10: 23-25, fig. 12: 1.

43 De Clerq et al., 2005, 245, 248.

44 De Clerq et al., 2005, 248-249

45 Bourgeois et al., 1984, 35-36

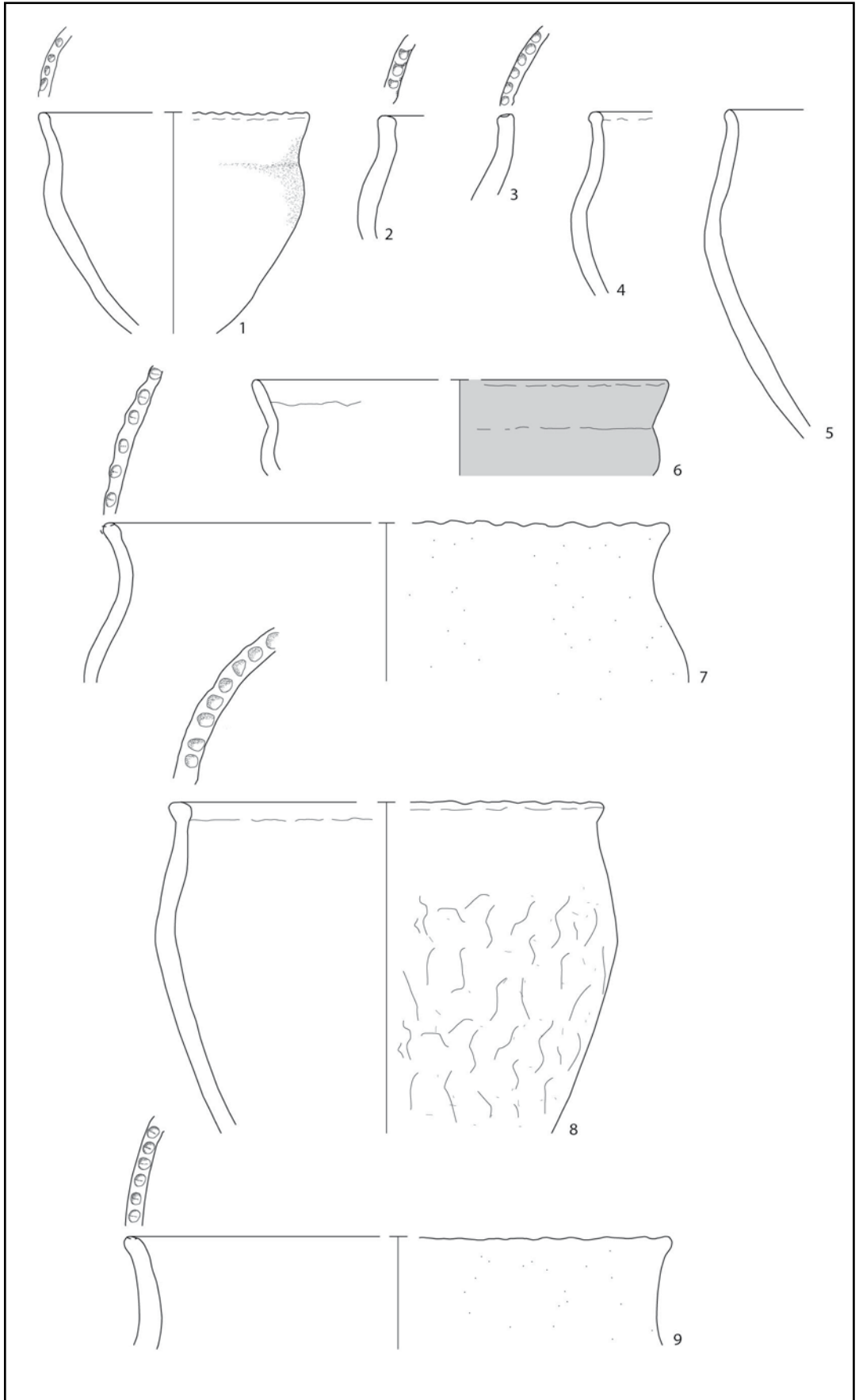


Fig. 48. Aardewerk uit context I-A-311.

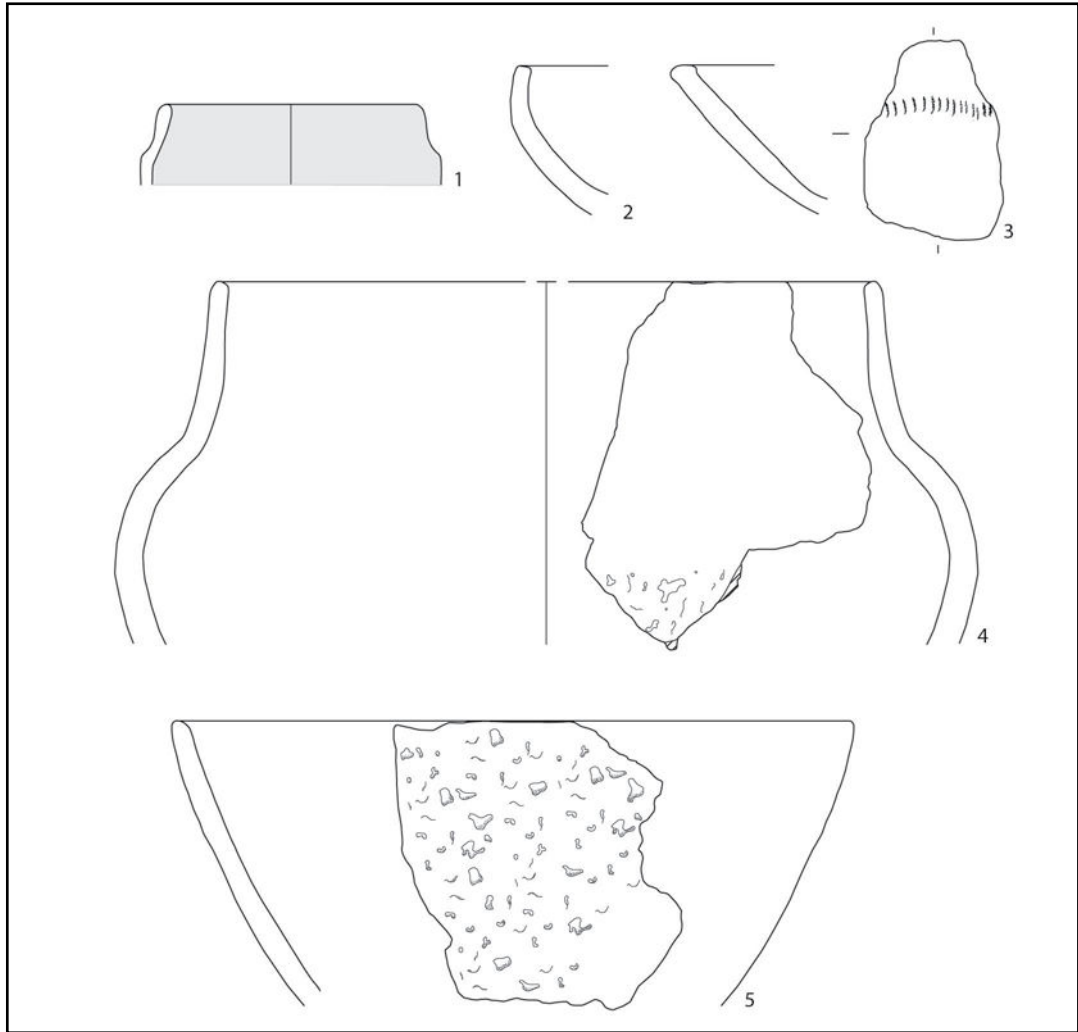


Fig. 49. Aardewerk uit context I-A-311.

Wat de kommen met bredere vorm en scherpere knik betreft uit context I-A-311, verwijzen we tenslotte nog specifiek naar het urnengravelveld van Destelbergen - Eenbeekeinde, met dateringen voor de graven waarin deze aardewerkvorm is aangetroffen, in Hallstatt C en D.⁴⁶

Eveneens vermelden we voor zandig Vlaanderen de opgraving in Mortsel-Drabstraat, waar in twee afvalkuilen aardewerk is aangetroffen met een datering in de Halstatt C/D periode. Zoals context I-A-311 omvatte het aardewerk uit Mortsel-Drabstraat onder meer Harpstedtpotten met vingertopindrukken op de rand, een open schaal, *Schräggrand*-urnen en een eierbekertje. De gevonden wandscherven zijn overwegend besmeten.⁴⁷

Tenslotte vestigen we de aandacht op bepaalde vormen in context I-A-311, meer bepaald de eivormige bekertjes⁴⁸, de kommen⁴⁹, de grote voorraadpot met hoog opstaande rand⁵⁰ en de potten met S-vormige profielen⁵¹. Deze vertonen namelijk overeenkomsten met voorbeelden uit Hallstatt grafvelden, zoals dat te Court-Saint-Etienne, gedateerd in het begin van de ijzertijd (Hallstatt C en D). De kenmerkende *gobelets* en *bulbe d'ognion* treffen we ook aan in twee zones in het zuiden van België (Henegouwen) en het noordwesten van Frankrijk, zoals gedefinieerd door Alain Henton: enerzijds de zone Schelde-Dender-Hene en anderzijds de

46 De Laet et al., 1986, fig. 30: t8-1, "Ha D", fig. 32: t19:1, "Ha D", fig. 36: t74, "Ha D".

47 Annaert, 2007, 107-108, fig. 1 en 2.

48 Mariën, 1958, fig. 29:61, "phase Ha B"; fig. 34: 60, 62, "trouvailles isolées, provenant probablement de tombes plates".

49 Guillaume, 2003, fig. 3:2, "Ha C".

50 Guillaume, 2003, fig. 4:2, "Ha D", maar met scherpere overgang van de hals naar het lichaam. Mariën, fig. 30:64/B.1588, "trouvailles isolées, provenant probablement des tombes plates et de date tardive" fig. 33:37, "urnes provenant probablement de tombes plates de date tardive".

51 Guillaume, 2003, fig. 4:3, "Ha D".

zone tussen Schelde en *la Manche*. Beide zones maken deel uit van een typologisch en technologisch geheel, respectievelijk de *Groupe des Ardennes*⁵² en *Manche Mer-du-Nord* of *MNM*⁵³. Binnen de zone Schelde-Dender-Hene treffen we tevens de kommen met kortere scherpere knikken aan, gedateerd in *Hallstatt ancien/moyen*, tussen 800 en 550 v. Chr. (Ha C en D).⁵⁴ Tenslotte zien we ook voor de beker met uitstaande rand met vingertopindrukken een parallel in Noord-Frankrijk, evenwel met een oudere datering in de finale bronstijd (*MNM*).⁵⁵



Fig. 50. Foto van een selectie van het aardewerk uit context I-A-311.

7.2.1.2.1.3. Kuil: context I-A-188

Beschrijving en interpretatie

Bij de aanleg van het vlak is context I-A-188 gelokaliseerd o.b.v. de aanwezigheid van aardewerk aan het oppervlak. Deze kuil was bijzonder onduidelijk in grondvlak, met een eerder D-vormige afbakening. In coupe blijkt de kuil iets duidelijker, ze is vrij ondiep bewaard (ca. 30cm) met een komvormige bodem en drie opvullingslagen, waarvan de tweede laag het merendeel van de vondsten bevatte.



Fig. 51. Coupe AB op context I-A-308.

52 Henton, 2013, fig. 7: B, "Bronze final IIIb", fig. 12: C, "Bronze final IIIb", en fig. 12: E, "Hallstatt ancien/moyen".

53 Henton, 2013, fig. 9: K, fig. 12: D, "Bronze final IIIb".

54 Henton, 2013, fig. 12: E, "Hallstatt ancien/moyen".

55 Henton, 2013, fig. 9: K, fig. 12 D, "Bronze final de tradition Atlantique".

Vondsten en datering

Het aardewerkensemble (197 scherven) uit context I-A-188 is door Prof. G. De Mulder gedateerd in de late bronstijd - vroege ijzertijd. Deze context is m.a.w. enigszins ouder dan de andere ijzertijd contexten. Een aantal diagnostische scherven, zoals een recht uitstaande rand met aanzet van een scherpe knik (fig. 53:2), een kom met groefversiering (fig. 52:1), de wand van een bekervorm versierd met twee groeven (fig. 52:5), de randen versierd met vingertopindrukken (fig. 53:3-7) en een wandscherf met stafbandversiering (fig. 53:1) gelden als elementen die verwijzen naar de bronstijd. De Harpstedtachtige vormen (Fig. 53:5), de potten met S-vormig profielen (fig. 53:4, 6, 7) en de bodem van een eivormig bekertje (Fig. 52:6) verwijzen naar de ijzertijd, zo ook een brede schaal (fig. 52:5). Een schaal met duidelijke vingerstrepen op de wand (fig. 52:2) is weinig diagnostisch, evenals de hoge schaal versierd met zachte vingerstrepen (Fig. 52:4). Het ensemble vertoont opvallend minder besmeten aardewerk dan de andere besproken ijzertijd contexten, maar is eveneens matig tot sterk verbrand.

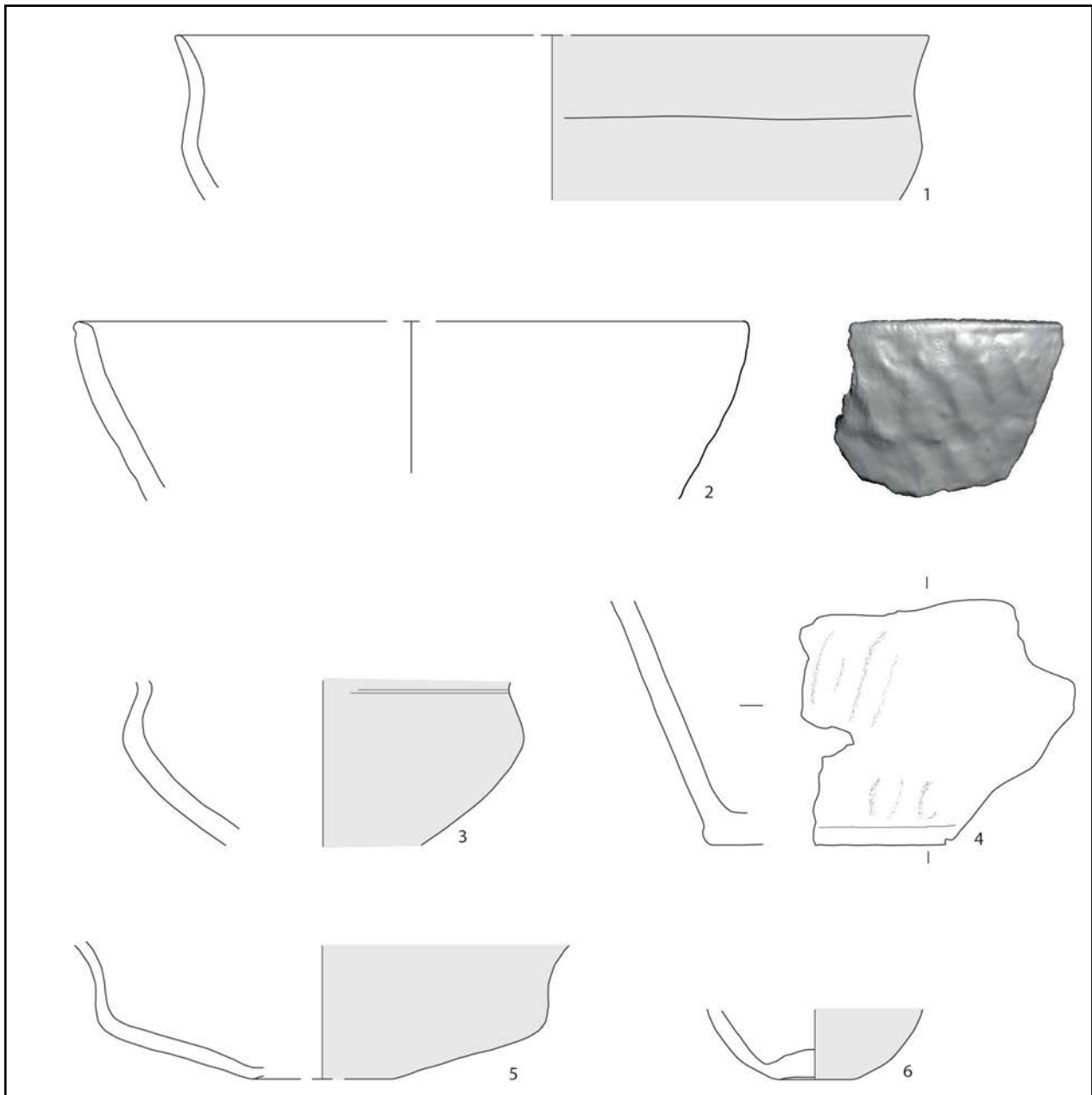


Fig. 52. Aardewerk uit context I-A-188.

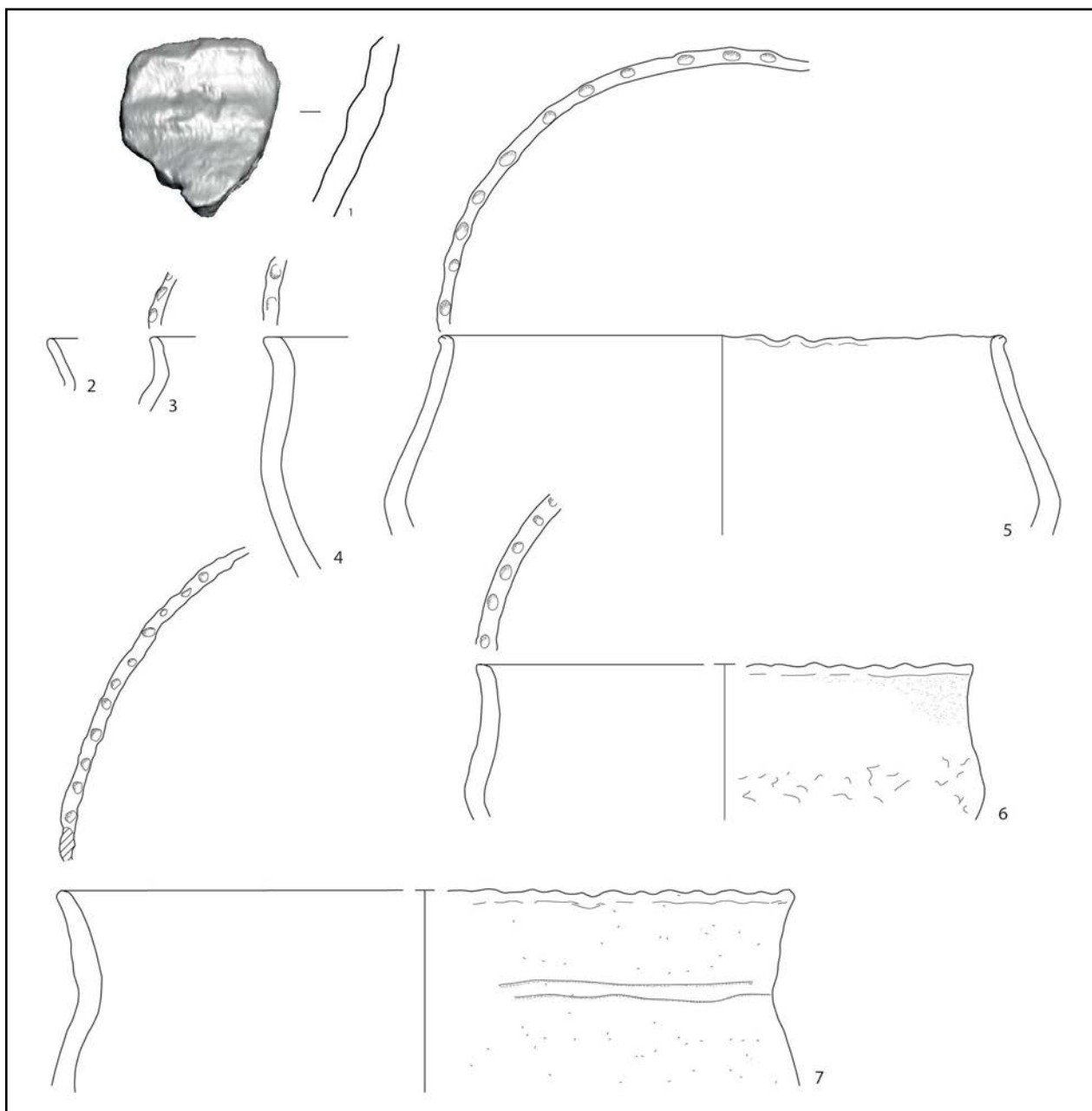


Fig. 53. Aardewerk uit context I-A-188.

Daarnaast kwamen ook veel kleine fragmenten verbande natuursteen, mogelijk afkomstig van een maalsteen, en een brokstuk silex (mogelijk mijnsilex of witte patina) aan het licht.

Indicatief voor de iets oudere datering is de wandscherf met stafband. Het gebruik van dit type versiering gaat terug op de Hilversum-traditie, maar komt nog sporadisch voor in de late bronstijd en de vroege ijzertijd. Voorbeelden treffen we aan in Sint-Gillis-Waas - Reepstraat met een datering in de late bronstijd⁵⁶ en in Sint-Denijs-Westrem - Vliegveld met een datering de late Bronstijd en ten laatste in de vroege ijzertijd.⁵⁷

⁵⁶ Bourgeois et al., 1996, 29-31, fig. 29: 1, 5

⁵⁷ Bourgeois & Bauters, 1993, 146

7.2.1.2.1.4. Kuil: context I-A-454

Beschrijving en interpretatie

De kuil is relatief duidelijk in grondvlak en heeft opnieuw een D-vormige aflijning. In doorsnede toont de kuil een komvormige uitgraving met twee opvullingslagen.



Fig. 54. Coupe AB op context I-A-454 met aardewerk *in situ*.

Vondsten en datering

In vergelijking met de andere contexten, is deze kuil iets jonger. Het aardewerk (118), quasi gelijkmatig verdeeld over de twee opvullingslagen (Fig. 55), is door Prof. G. De Mulder gedateerd in de late fase van de vroege ijzertijd, meer bepaald in de 6de en 5de eeuw v. Chr. Het aardewerk bevat o.a. twee potten met naar binnen gebogen rand (fig. 55:1, 2) en drie Harpstedtachtige vormen, met rand versierd met vingertopindrukken (fig. 55:3-5). De gesloten vormen zijn bepalend voor de datering in de vroege ijzertijd, alsook de afwezigheid van geknikte schalen. Het aardewerk is, naast een aandeel geëffend (29 scherven), voornamelijk besmeten (51 scherven), weinig versierd en, m.u.v. één bodem, niet verbrand.

Naast het aardewerk levert de context een onvolledige wetsteen met rechthoekige doorsnede, een kleine hoeveelheid brokken verbrande leem en een zwaar verbrand brokstuk in silex. Vrij veel kleine fragmenten verbrande natuursteen zijn mogelijk afkomstig van een maalsteen.

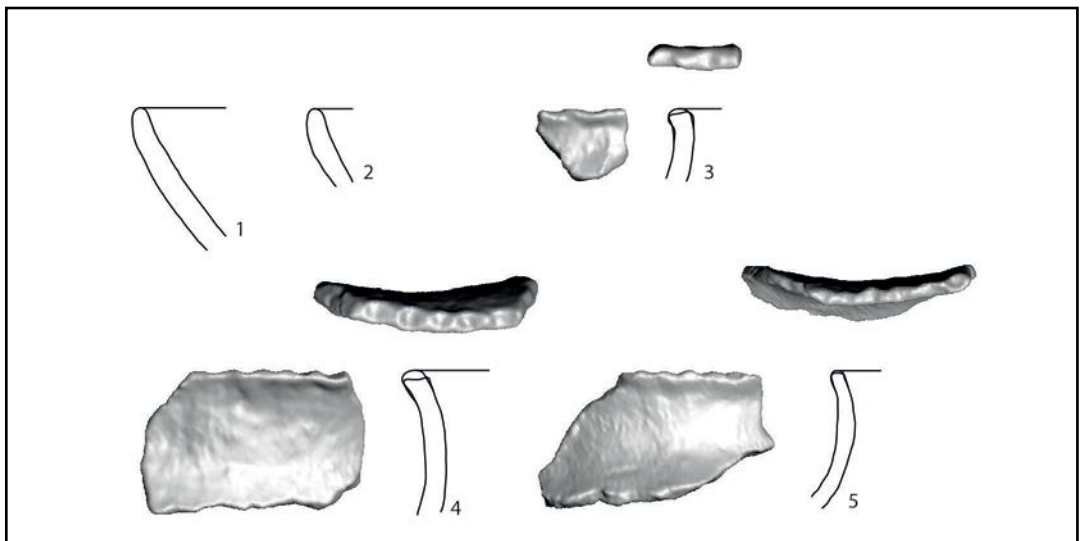


Fig. 55. Aardewerk uit context I-A-454.

Een concrete parallel bevindt zich nabij Lede - Kleine Kouterrede: de opgraving Lede-Leedshouwen. Men trof er onder meer een cirkelvormige waterput in vlechtwerk aan, die op basis van het vondstmateriaal kan geplaatst worden in het begin van de late ijzertijd, omstreeks 450 v. Chr. Grote potten met naar binnen gebogen rand komen veelvuldig voor, veelal versierd met vingertopindrukken op de rand.⁵⁸ Het aandeel besmeten aardewerk is aanzienlijk, met voornamelijk potten met een besmeten buik en gegladde schouder, veelal in combinatie met vingertopindrukken op de rand, schatplichtig is aan de Harpstedt traditie.⁵⁹

7.2.1.2.2. Late ijzertijd

De late ijzertijd in Kleine Kouterrede is vertegenwoordigd door twee spiekers en drie kuilen (Fig. 40). Eén spieker en een kuil liggen vlak naast elkaar, de overige sporen liggen verspreid over het vlak. De dateringen o.b.v. het aardewerk en 14C-dateringen plaatsen de spiekers en twee kuilen, in grote lijnen, in de 4de en 3de eeuw v. Chr. Eén van de kuilen daarentegen is iets ouder gedateerd in de 5de eeuw v. Chr.

7.2.1.2.2.1. Kuil: context I-A-466

Beschrijving en interpretatie

Ter hoogte van de zone met een B-horizont (cf. supra), grenzend aan de noordwestelijke sleufwand, ligt een cirkelvormige kuil met een doorsnede van ca. 2m. Het spoor is gecoupeerd d.m.v. kwadranten. Tijdens het verdiepen leek de vorm van de kuil te veranderen en is in één kwadrant, een tussentijds grondplan B aangelegd. Zowel in grondplan als in doorsnede is de afbakening van deze kuil niet scherp (fig. 56). Ze is gekenmerkt door een platte bodem en ingekalfde wanden waardoor de kuil ogenschijnlijk concaaf lijken (ca. 80cm diep bewaard). De vulling van de kuil omvatte enkele lagen met houtskool en grote brokken verbrande leem en leverde een grote hoeveelheid ceramiek op. In tegenstelling tot de andere contexten uit de ijzertijd, geïnterpreteerd als afvalkuilen, lijkt deze context ons eerder een silo of voorraadkuil te zijn.



Fig. 56. Coupe CD op context I-A-466.

Vondsten en datering

Het aardewerkensemble uit de context I-A-466 (245 scherven) is gedateerd door prof. G. de Mulder in de late ijzertijd, meer bepaald de 4de eeuw, en dit omwille van de minder scherpe knikken in de profielen en de afwezigheid van *situlae* vormen, beide eigen aan de 5de eeuw. Kenmerkend voor de context zijn de versieringen (groeven, ribbels, vingertop- en nagelindrukken) (fig. 57: 2, 3, 8, 10), de zacht geknikte kommen/schalen (Fig. 57: 4, 5, 7

⁵⁸De Swaef 1984, 23-24, De Swaef & Van Langenhoven 1999, 11-15; De Swaef en Bourgeois, 1986, 20, fig. 12 en 13: 1-8.

⁵⁹De Swaef en Bourgeois, 1986, 24.

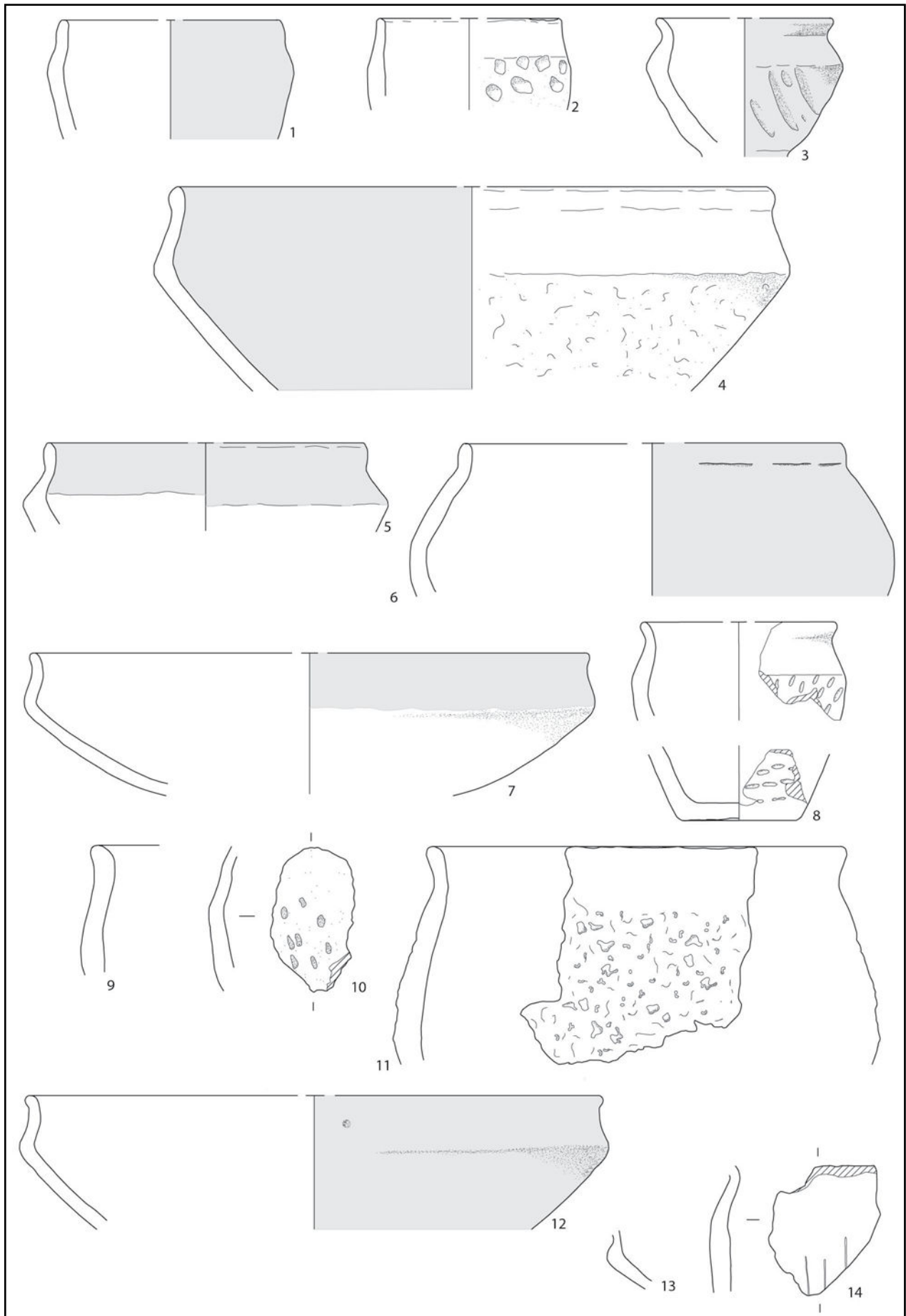


Fig. 57. Aardewerk uit context I-A-466.

en 12) en de Kalenderbergpot (fig. 57: 8). Tenslotte vermelden we een fragment technisch aardewerk, meer bepaald van een zoutcontainer, de geelachtige variant. Het aardewerk is zeer goed bewaard, onverbrand en kent meerdere vormen. In totaliteit vormt het ensemble een homogeen geheel, zonder afwijkingen.

Overige vondsten bestaan uit vele brokken verbrande leem, vier fragmenten van een maalsteen en weinig niet nader gedetermineerd verbrand bot.

7.2.1.2.2.2. Kuil: context I-A-52

Beschrijving en interpretatie

Naast de palencluster ligt een kuil, context I-A-52. De kuil vertoont een afgeronde, rechthoekige vorm in het grondvlak en is gevuld met drie lagen (fig. 58a.). Tijdens het couperen is een tweede grondvlak aangelegd omdat het leek dat we te maken hadden met een nis (spoor I-B-2) en depositie (spoor I-B-3). Sporen I-B-2 en 3 zijn uiteindelijk niet geïnterpreteerd als nis, maar als paalspoor, context I-B-2 (cf. infra), oversneden door de kuil I-A-52.

Vondsten en datering



Fig. 58a. Coupe AB op context I-A-52.

Voor de context I-A-52 is weinig diagnostisch materiaal voorhanden (41 scherven in totaal). Qua wandfragmenten merken we vooral geëffend aardewerk op (13 scherven) en de wand van een schaal met knik (fig. 58b.:1). De zachtere aard van deze knik verwijst, zoals geldt voor context I-A-466, eerder naar de 4de eeuw. Wat de randen betreft zien we een randje van een fijne vorm (fig. 58b.:2) en twee randen van voorraadpotten (fig. 58b.:3, 4), waaronder één met naar binnen afgeschuinde rand. Prof. G. De Mulder dateert het geheel in de vroege La Tène periode (La Tène IB) (4de -3de eeuw v. Chr.).

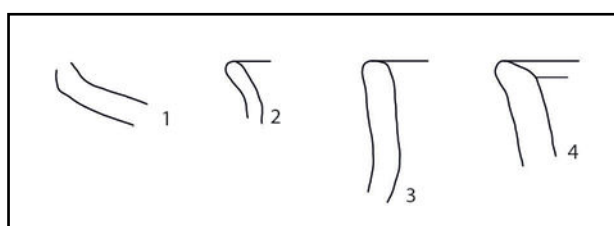


Fig. 58b. Aardewerk uit context I-A-52.

De kuil bevatte ook enkele metalen objecten, waaronder twee onvolledige ijzeren spijkers en vier fragmenten van een onbekend ijzeren object. Deze vier fragmenten zijn op basis van de röntgenopname geselecteerd voor conservatie. Erfpunt Onroerend Erfgoed Waasland voerde de conservatie uit, wat een sikkelmanvormig voorwerp met afgeronde uiteindes ("lunula") aan het licht bracht (Fig. 59)⁶⁰. Het is flinterdun bewaard. Mogelijk is een deel van



Fig. 59. Geconserveerd scheermes uit context I-A-52 (copyright Erfpunt Onroerend Erfgoed Waasland).

het metaal weg gecorrodeerd. De afwezigheid van perforaties maakt het onwaarschijnlijk dat dit object gehecht was aan een drager en bv. deel uitmaakte van de opsmuk van paardentuig of van een kledingstuk. Prof. Guy De Mulder bevestigt een interpretatie als scheermes.

Referentiecontexten waarin eveneens een scheermes is aangetroffen, zijn funerair van aard. Binnen het werkingsgebied van SOLVA

zijn op de site Ronse – Pont West twee contexten met een fragment van een scheermes aangetroffen. Eén context is vermoedelijk een vergraven graf, de andere context is met zekerheid een beenderpakgraf. De eerste context bevat enkel het lemmet, de tweede context het lemmet en de aanzet van het heft. Beide contexten zijn eveneens gedateerd in de late ijzertijd, het beenderpakgraf meer specifiek in de 2de - 1ste eeuw v. Chr.⁶¹

Andere parallellen situeren zich in Wallonië: verspreid over acht grafvelden zijn reeds 14 scheermessen gevonden, evenwel ouder gedateerd in de Hallstatt periode.⁶² Vooral het scheermes uit een begraving in een grafheuvel in Morimoine (Limal) lijkt sterk op dat aangetroffen in context I-A-52.⁶³

7.2.1.2.2.3. Kuil: context I-A-185

Beschrijving en interpretatie

In de noordelijke helft van het vlak vinden we de kuil, context I-A-185. Deze kuil was in grondplan vrij onduidelijk en vertoont een eerder D-vormige aflijning. In doorsnede is ze 45cm diep bewaard, met drie vullingslagen. Tijdens het proefsleuvenonderzoek is een deel van de bovenste laag verwijderd, niettemin levert de kuil wederom een bijzonder ensemble aardewerk, voornamelijk afkomstig uit de onderste laag.



Fig. 60. Coupe AB op context I-A-185 met aardewerk en maalsteenfragmenten *in situ*.

61 Mondeling mededeling A. De Graeve.

62 Guillaume, 2003, 119-122 en 129-130, fig. 6.

63 Mariën, 1958, 196-198, 222-224, fig. 43:1: "Ha C".

Vondsten en datering

Prof. G. De Mulder dateert op basis van het aardewerk deze context (186 scherven) in de vroege La Tène periode, meer bepaald de 4de en 3de eeuw v. Chr. In vergelijking met de overige kuilen met een datering in de ijzertijd, is deze context jonger. Dit kunnen we stellen op basis van een bodemfragment van een hoge opstaande beker, die opkomt in de 4de eeuw en karakteristiek zijn voor La Tène II (280-250 v. Chr.) (Fig. 61:8) en de minder scherp geknikte schalen (Fig. 61:9-11). De aanwezigheid van enkele de Harpstedtachtige potten met typische knik, de geëffende schouder en besmeten wanden (fig. 61:3) en het gebruik van de vinger- en nagelindrukken als versiering (fig. 61:6, 7), dragen bij tot de datering in de late ijzertijd. Overigens merken we *situla*-achtige potten met verdikte lip (Fig. 61:2) en een versierde rand met vingertopindrukken en functionele doorboring (Fig. 61:5). Verder bevat de context ook een eenvoudig volledig potje (Fig. 61:4), evenwel niet diagnostisch voor de context, en enkele scherven technisch aardewerk. Opvallend is dat het aardewerk matig tot sterk verbrand is.

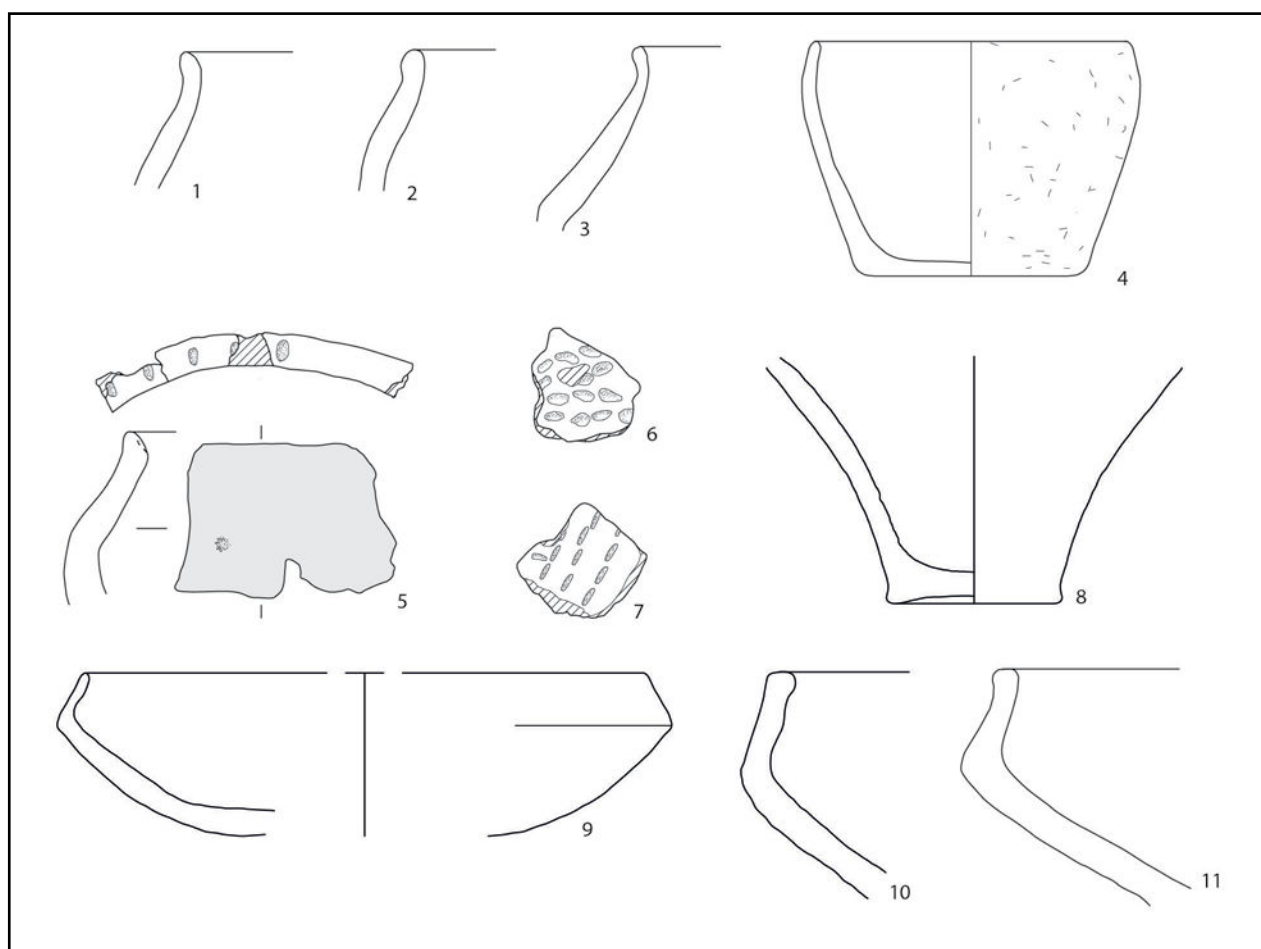


Fig. 61. Aardewerk uit context I-A-185.

Naast aardewerk zijn ook andere vondsten aangetroffen. Zo valt de context op door de aanwezigheid van zeven grote brokken natuursteen, waarvan verscheidene een glad of gepolijst oppervlak vertonen en mogelijk fragmenten van maalstenen zijn (fig. 62).

Ter onderbouwing van de datering kijken we naar referentiesite de Kimmelberg, met gelijkaardige grote schalen (met minder scherpe knik) en een hoog opstaande beker.⁶⁴ Het geheel vindt tevens aansluiting bij het aardewerk van Denderbelle - Fonteintje, zo wel qua vormen ("potten met zwakke schouderknik, convexe gepolijste hals en licht aangegeven

⁶⁴Van Doorselaer et al., 1987, fig. 1: 4, fig. 3: c, fig. 91: 17, 19, 23, fig. 50: 262 (?).



Fig. 62. Maalstenen *in situ*.

lip, soms voorzien van vingertopindrukken op de rand”⁶⁵ en “tot bijna-S-vorm geëvolueerde potten”⁶⁶) als qua versiering”⁶⁷, met een datering in de 4de en 3de eeuw v. Chr., bevestigd door 14C-dateringen.⁶⁸

Voor context I-A-185 is een 14C-datering op houtskool uitgevoerd. Het resultaat (390-200 v. Chr. met een zekerheid van 95,4%⁶⁹) bevestigt de vooropgestelde datering in de vroege La Tène, een datering die bovendien perfect aansluit bij deze van twee spiekers, structuren I-A-128 en I-A-318 (cf. infra):

7.2.1.2.2.4. Gebouw: spieker I-A-128

Beschrijving en interpretatie

Structuur I-A-128 ligt slechts 3m ten zuiden van de kuil I-A-185 (fig. 40). Het gebouw bestaat uit vier kleine en ondiep bewaarde paalsporen (contexten I-A-128/129/130/222), zonder kern en insteek. De palen vormen een bijna rechthoekig spieker van 1,7 op 1,9m met een noordwest-zuidoostelijke oriëntatie.

Vondsten en datering

Twee contexten (I-A-129 en I-A-222) van structuur I-A-128 bevatten aardewerk, maar danig schaars en weinig diagnostisch, dat enkel kan geopperd worden dat de vondsten aansluiten bij het overige materiaal uit de ijzertijd. Bijgevolg is ook voor deze structuur ingezet op de 14C-datering van een houtskoolstaal. Het resultaat, met een zekerheid van 95,4%, plaatst de structuur in de late ijzertijd (360-100 v. Chr.)⁷⁰, een datering die bovendien overeenkomt met de datering van context I-A-185.

65 De Clercq et al., 2005, 243, fig. 10: 18-21.

66 De Clercq et al., 2005, 243, fig. 10: 23-25.

67 De Clercq et al., 2005, 252-253, fig. 15 en 16.

68 De Clercq et al., 2005, 236-238.

69 Bijlage 2. RICH-21961 (12-LED-KK-87): 2233±30BP

70 Bijlage 2. RICH-21960 (12-LED-KK-110): 2160±30BP



Fig. 63. Zicht op structuur I-A-128.

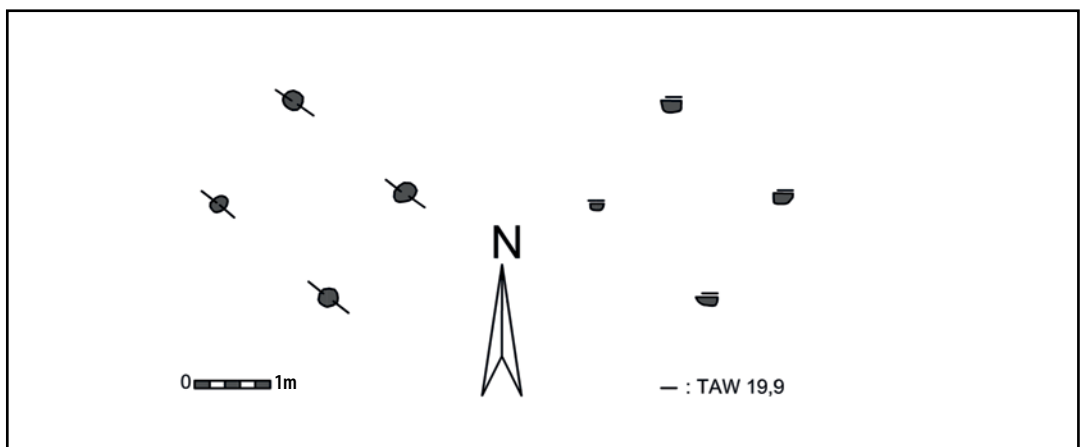


Fig. 64. Structuur I-A-128, schaal 1/100.

7.2.1.2.2.5. Gebouw: spieker I-A-318

Beschrijving en interpretatie

Structuur I-A-318 is samengesteld uit vier paalsporen (contexten I-A-318/320/321/422) die een vierkant vormen van ongeveer 2,25 op 2,25m (fig. 40). Drie paalsporen zijn vrij diep bewaard en hebben een duidelijk kern en insteek. Een vierde paalspoor, context I-A-422, is reeds gecoupeerd tijdens het proefsleuvenonderzoek en is een stuk minder goed bewaard, gezien de diepte van de afgraving in de proefsleuf t.o.v. het omliggende vlak. De structuur is wederom noordwest-zuidoost georiënteerd.



Fig. 65. Zicht op structuur I-A-318 op grondplan A.

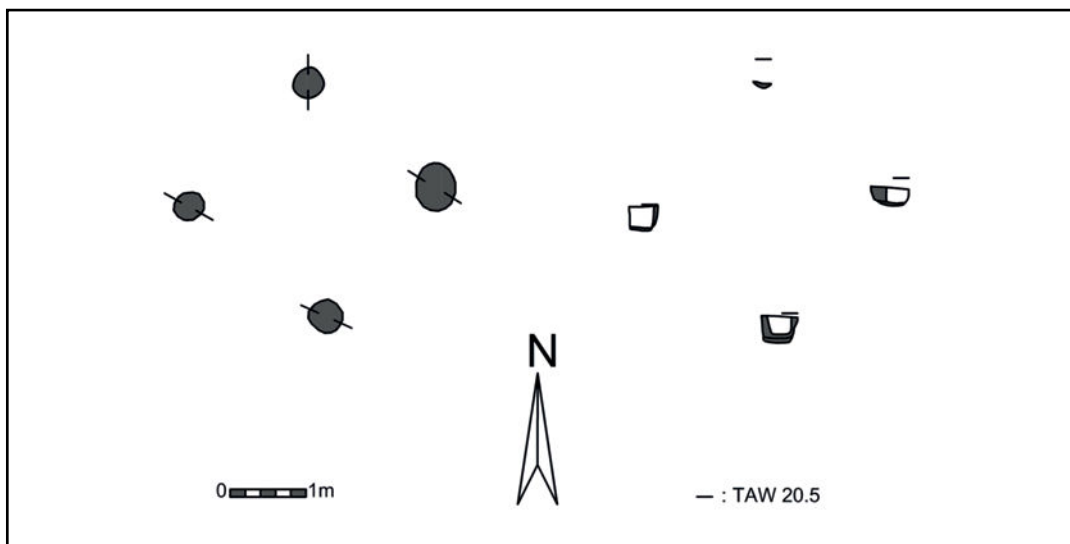


Fig. 66. Structuur I-A-318, schaal 1/100.

Vondsten en datering

Voor deze structuur is er slechts één context (I-A-320) met vondsten: vier fragmenten grofwandig geëffend onversierd aardewerk van een pot en zeven grote brokken verbrande leem. Mogelijk maken de verbrande leembrokken deel uit van een vuurbok. Hoewel het aardewerk te weinig diagnostisch is om een specifieke datering geven, kan wel gesteld worden dat het lijkt aan te sluiten bij het overige materiaal met een duidelijke datering in de ijzertijd.

Daar dergelijke constructies meermaals voorkomen op het terrein, in de nabijheid van zowel sporen uit de metaaltijden als uit de Romeinse periode, is geopteerd om in te zetten op de ¹⁴C-datering van twee van deze structuren. Zoals structuur I-A-128, kreeg ook structuur I-A-318 een datering in de ijzertijd, meer bepaald in de late ijzertijd (360-100 v. Chr. met een zekerheid van 95,4%).⁷¹

7.2.1.3. Overige sporen

De contexten en structuren die duidelijk gedateerd zijn in de bronstijd of ijzertijd, o.b.v. het aardewerk of 14C-dateringen, vormen de minderheid. Een aantal sporen leverde aardewerk op, maar danig weinig of niet diagnostisch genoeg, dat slechts een datering in de metaaltijden kan vooropgesteld worden (fig. 67). Voor deze sporen lijkt het aardewerk aan te sluiten bij het duidelijk herkende ijzertijdaardewerk, maar aangezien ook de bronstijd vertegenwoordigd is, kunnen we dit slechts onder voorbehoud suggereren. Een deel van de sporen in zone I blijft evenwel ongedateerd. Met uitzondering van de brandrestengraven uit de Romeinse periode, zijn deze sporen naar ons aanvoelen te situeren in de metaaltijden, en dit naar analogie met de vorm en de vulling in grondplan en in doorsnede van de gedateerde sporen. We overlopen enkele van deze sporen, en waar mogelijk, in relatie tot reeds besproken contexten en structuren.

7.2.1.3.1. Kuilen, paalsporen en een spieker in het oosten van zone I

In de **oostelijk hoek** van het terrein treffen we, in de directe omgeving van het gebouw I-A-5, een reeks sporen aan, waaronder kuilen en paalsporen, met onder meer een spieker, structuur I-A-142. Slechts enkele sporen konden vrij algemeen gedateerd worden in de metaaltijden, het merendeel blijft echter ongedateerd. Dit betekent dan een aantal sporen mogelijk in verband staan met de structuur I-A-5, maar we daarover geen zekerheid hebben; te meer daar de overheersend noordwest-zuidoostelijke oriëntatie geldt voor de gebouwen en palenclusters uit zowel de bronstijd als de ijzertijd.

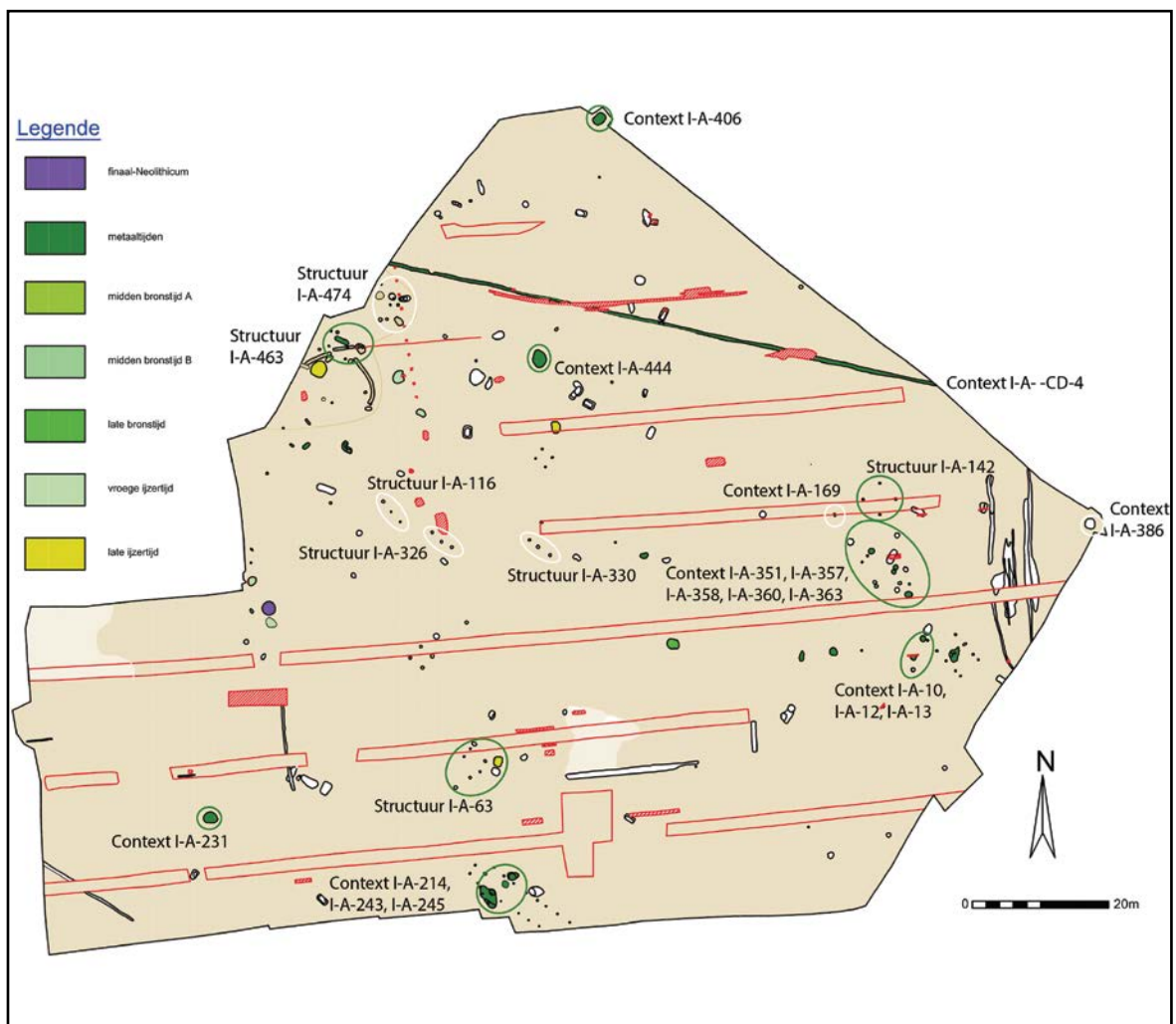


Fig. 67. Zone I grondplan A met aanduiding van de besproken contexten en structuren, schaal 1/750.

Beschrijving en interpretatie

Direct ten westen van het gebouw I-A-5 liggen drie kuilen (contexten I-A-10, I-A-12 (Fig. 68), I-A-13 (Fig. 69)) met een gelijkaardige vorm en vulling, maar zonder verdere duidelijke organisatie (fig. 67).



Fig. 68. Coupe AB op context I-A-12.



Fig. 69. Coupe AB op context I-A-13.

Dit geldt ook voor een cluster palen en kuilen ongeveer zeven meter ten noordwesten van het gebouw I-A-5 (Fig. 67, 70). Hierbij merken we op dat een aantal contexten, I-A-351, I-A-357, I-A-358, I-A-360, I-A-361, I-A-362 en I-A-363, in coupe overeenkomsten tonen qua vorm en vulling (Fig. 71, 72). Context I-A-364 heeft een enigszins andere vulling, met een onderste donkerbruine, humeuze vulling met spikkels verband bot (Fig. 73). Enkele contexten lijken per twee te liggen: kuilen I-A-360 en 361, I-A-362 en 363, en paalsporen I-A-357 en 358. Mogelijk zijn deze sporen in feite allen paalsporen en behoorden ze ooit tot een structuur. Het is evenwel niet mogelijk om in dit geheel van sporen een plattegrond te herkennen.



Fig. 70. Zicht op de cluster paalsporen op grondplan A.



Fig. 71. Coupe AB op contexten I-A-360 en I-A-361.

Contexten I-A-10 (Fig. 74), I-A-12, I-A-354, I-A-360, I-A-361 zijn op basis van een kleine hoeveelheid aardewerk gedateerd in de metaaltijden. Kuil I-A-364 leverde iets meer aardewerk op, maar onderhevig aan sterke verhitting konden de scherven niet meer gedetermineerd worden door Prof. G. De Mulder. Waarschijnlijk gaat het om fragmenten van een grote voorraadpot.



Fig. 72. Coupe AB op context I-A-362.



Fig. 73. Coupe AB op context I-A-364.



Fig. 74. Aardewerk *in situ*.

De structuur I-A-142 daarentegen is een vierpalige spieker van ca. 3,3 op 3,25m met een noordwest-zuidoostelijke oriëntatie (van de zes paalsporen in grondplan, bleken er twee negatief te zijn). De paalsporen hebben in coupe allen hetzelfde uitzicht: ondiep bewaard met een grijze tot lichtgrijze, uitgeloopte en gebioturbeerde vulling.

De structuur leverde geen aardewerk op, maar ligt wel in de nabijheid van enerzijds een cluster sporen met dateringen in de metaaltijden en anderzijds een gebouw uit de midden bronstijd B (cf. supra) met eenzelfde oriëntatie; zoals ook de andere spiekers op het terrein die, op basis van aardewerk of ¹⁴C-dateringen, in de ijzertijd gedateerd zijn. We vermoeden daarom dat deze spieker ook thuishoort in de metaaltijden. Anderzijds kunnen we niet uitsluiten dat dit gebouwtje eventueel geassocieerd is met de twee nabijgelegen Romeinse brandrestengraven, contexten I-A-168 en I-A-298.

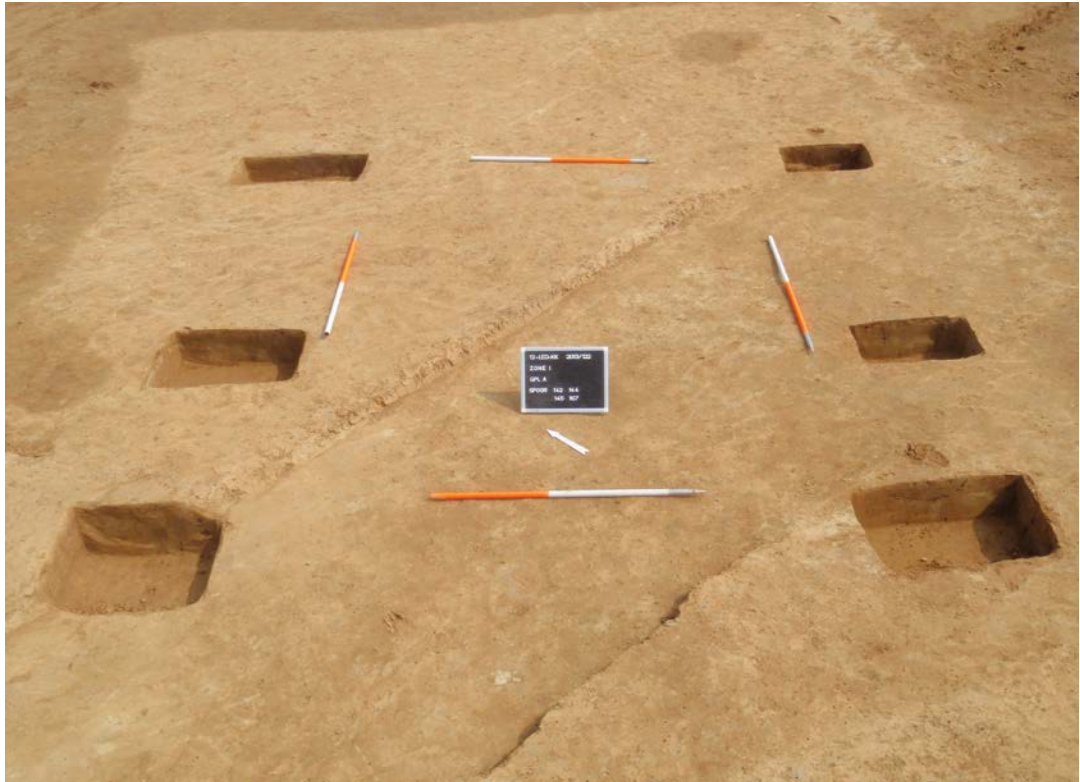


Fig. 75. Zicht op structuur I-A-142 op grondplan A.

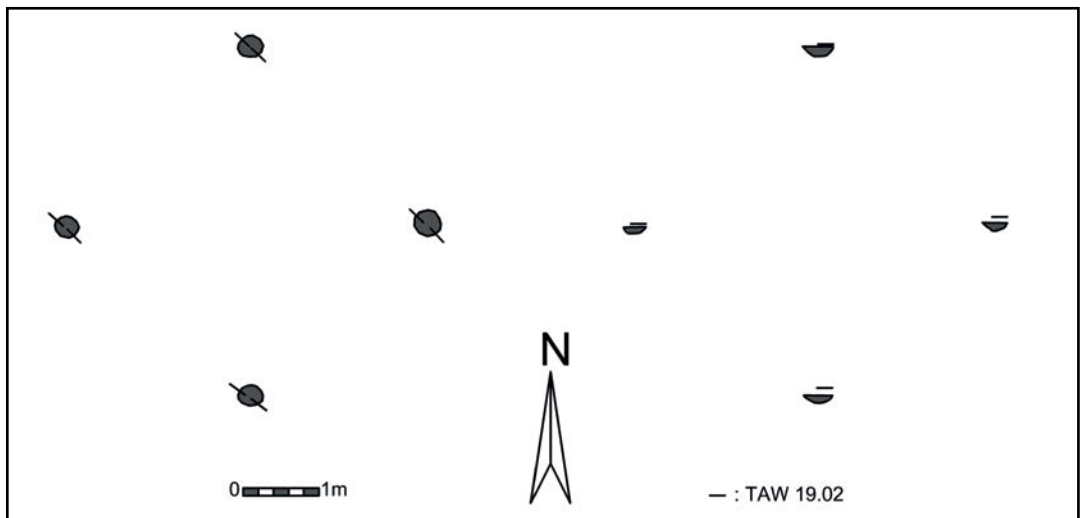


Fig. 76. Structuur I-A-142, schaal 1/100.

Nabij de spieker vinden we nog een klein kuiltje, context I-A-169 (fig. 67), met een gelaagde vulling van, door verbranding, rood verkleurde leembodem met vrij veel houtskoolspikkel en vrij veel aardewerk (fig. 77). Hoewel de vulling mogelijk afkomstig is van een haardje, is het aardewerk zelf niet verbrand. De hoge graad van fragmentatie resulteerde in de ruime datering in de metaaltijden.

Tenslotte vermelden we de kuil, context I-A-386, grenzend aan de oostelijke sleufwand (fig. 67) In doorsnede is de kuil wederom vrij ondiep en komvormig bewaard, met een vulling die sterk gelijkt op de reeds besproken ijzertijdkuilen (fig. 78). Er is geen aardewerk voorhanden om een datering te specificeren.



Fig. 77. Coupe AB op context I-A-169.



Fig. 78. Coupe AB op context I-A-386.

7.2.1.3.2. Kuilen en een boomval in het zuiden van zone I

In het **zuiden** van het terrein wijzen we op drie contexten ter hoogte van het gebouw, structuur I-A-244: I-A-241, I-A-243 en I-A-245 (fig. 67).

Beschrijving en interpretatie

Context I-A-214 bleek in coupe een boomval te zijn (fig. 79). Haar aanwezigheid, ter hoogte van één van beide palerijen van het gebouw, verklaart waarom we minstens een paalspoor ontbreken. Het aanwezige aardewerk is naar alle waarschijnlijkheid dan ook afkomstig van het gebouw.



Fig. 79. Coupe AB op context I-A-214.

De kuil, context I-A-243, valt op om omwille van zijn vulling (fig. 80): naast houtskool bevat de kuil ook wat verbrande leem en verbrand bot, het fragment van een silex kern en een gepolijste afslag. Mogelijk gaat het om een afvalkuiltje waarin de resten van een vuur, haard of oven zijn gedeponeerd. Of dit spoor te associëren met de gebruiksfase van het gebouw is onzeker. Het aangetroffen aardewerk is dan ook algemeen gedateerd in de metaaltijden.



Fig. 80. Coupe AB op context I-A-243.

Context I-A-245 tenslotte is eveneens een kuil ter hoogte van de andere palenrij (fig. 81). Deze vergraaft evenwel geen paalsporen van het gebouw, maar bevat, naast verbrande leem en het fragment van een gepolijste bijl, enkele scherven aardewerk uit de metaaltijden.



Fig. 81. Coupe AB op context I-A-245.

7.2.1.3.3. Palenclusters centraal in zone I

Centraal in het terrein zien we de overheersende noordwest-zuidoostelijke oriëntatie herhaalt in enkele palenclusters, samengesteld uit een variërend aantal paalsporen (fig. 67). De definitie ‘palencluster’ betekent dat we veronderstellen dat deze paalsporen samen horen, zonder dat ze een duidelijke organisatie of patroon vertonen. Het is niet uit te sluiten dat ze ooit deel uitmaakten van een grotere constellatie.

Beschrijving en interpretatie

Ten noorden van het gebouw I-A-244 vinden we een eerste palencluster, structuur I-A-63 (fig. 67). Deze bestaat uit zeven relatief ondiep bewaarde paalsporen (contexten I-A-63, I-A-64, I-A-68, I-A-219; I-A-220, I-A-221 en I-B-2) (fig. 82, 83). Onder voorbehoud kunnen we stellen dat de oriëntatie noordwest-zuidoost is. Paalspoor I-B-2 is aanvankelijk geïnterpreteerd als een nis van de kuil, context I-A-52 (cf. supra), maar lijkt ons bij nader inzicht geen deel uit te maken van de kuil, maar van de palencluster. De vulling oogt evenwel iets anders en meer natuurlijk door de sterke uitloging (fig. 84). Paalspoor I-A-64 leverde enkele wandscherven op (fig. 85), en in paalspoor I-B-2 zijn 16 stuks van een incomplete schaal uit fijnwandig onversierd aardewerk gevonden (fig. 86). Bovendien bedekten de scherven een horizontaal gepositioneerde proximale silexafslag (fig. 87). De schikking van het aardewerk en de silex lijkt niet toevallig, maar bewust op deze manier gepositioneerd. We kunnen spreken van een intentionele depositie.



Fig. 82. Coupe AB op context I-A-68.



Fig. 83. Coupe AB op context I-A-219.



Fig. 84. Coupe AB op context I-B-2.



Fig. 85. Coupe AB op context I-A-64 met aardewerk *in situ*.



Fig. 86. Context I-B-2 op grondplan B met aardewerk *in situ*.



Fig. 87. Coupe AB op context I-B-2 met silex *in situ*.

Meer naar het centrum van het opgravingsvlak merken we nog drie kleine palenclusters op: structuren I-A-116, I-A-326 en I-A-330 (fig. 67). Deze structuren liggen redelijk centraal in het vlak, in elkaars nabijheid, en nabij de vierpalige spiekers I-A-128 en I-A-318 (cf. supra). De drie structuren bestaan telkens uit drie paalsporen, in elkaars verlengde, met een noordwest-zuidoost oriëntatie en met respectievelijk een lengte van 3,9m, 3,6m en 3,8m (fig. 88). In coupe tonen de paalsporen allen een gelijkaardige uitgeloogde grijze tot lichtgrijze vulling, rijk aan mangaanspikkels (fig. 89-91); doorgaans hebben de palen rechte wanden en een eerder platte bodem. Slechts één paalspoor toonde een kern en insteek.

De structuren I-A-116, I-A-226 en I-A-330 ontbreken aardewerk, waardoor geen datering kan worden gespecificeerd. Voorlopig zijn geen 14C-datering voorzien, maar voor elke structuur zijn één of twee houtskoolstalen voorhanden. Op basis van hun oriëntatie, parallel met de in de late ijzertijd gedateerde spiekers, en hun ligging centraal in het vlak, omgeven door sporen die dateren in de metaaltijden en overwegend in de ijzertijd, opperen we voor deze palenclusters eveneens een datering in de ijzertijd.

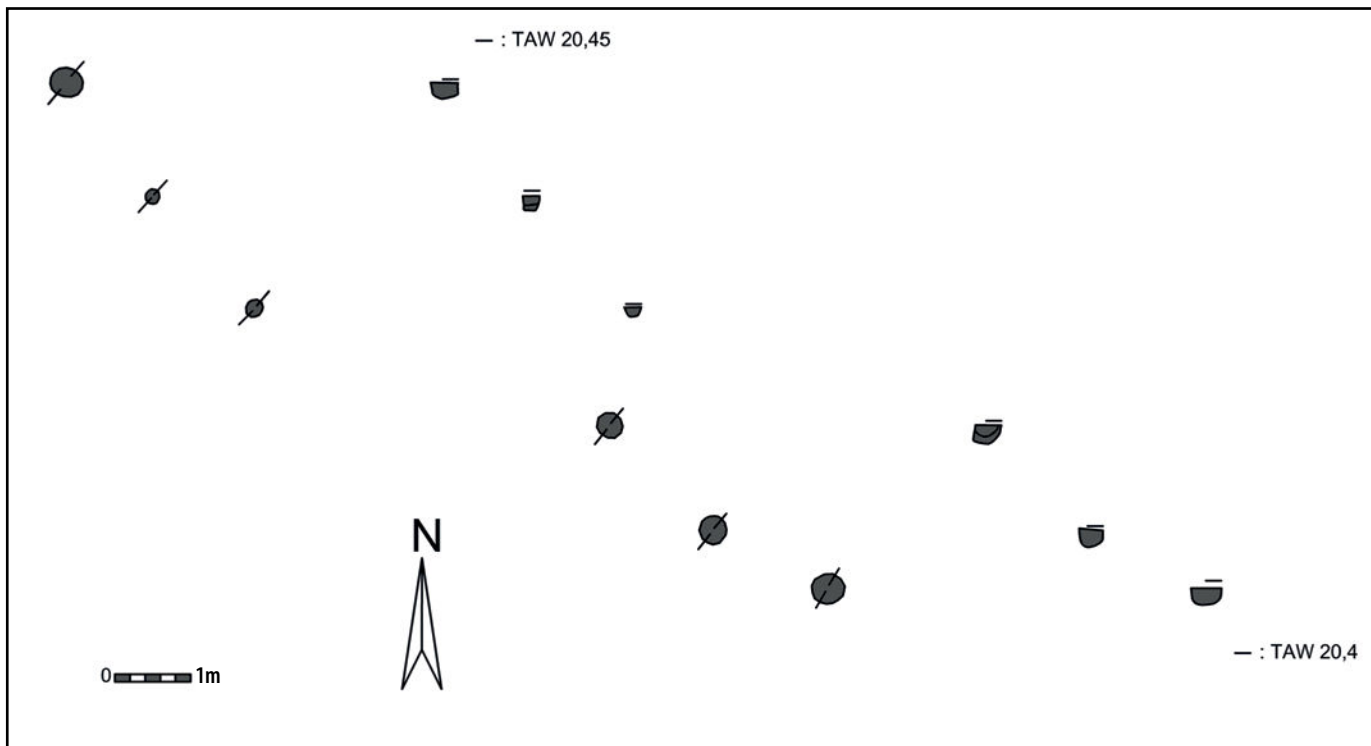


Fig. 88. Structuren I-A-116, I-A-326 en I-A-330, schaal 1/100.

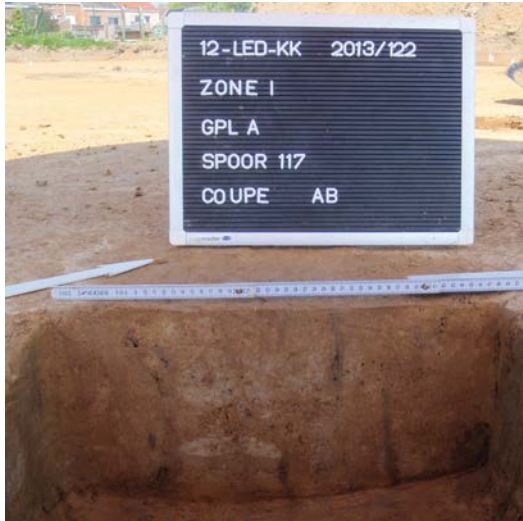


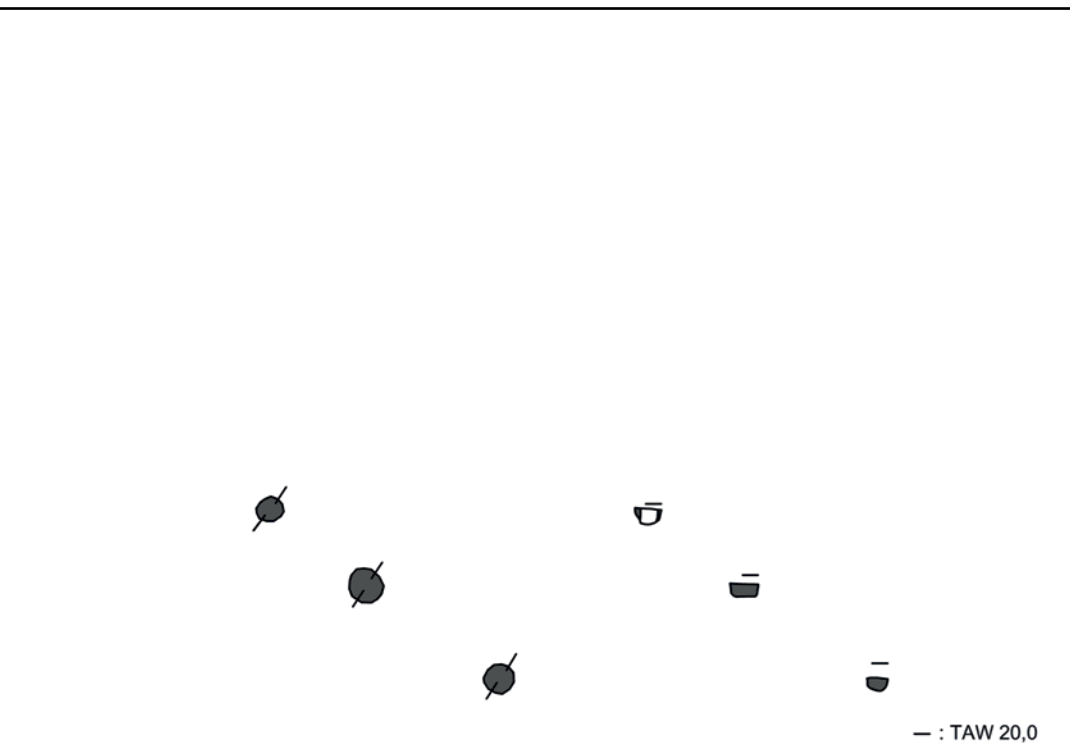
Fig. 89. Coupe AB op context I-A-117.



Fig. 90. Coupe AB op context I-A-326.



Fig. 91. Coupe AB op context I-A-388.



7.2.1.3.4. Kuilen, paalsporen en palenclusters in het noorden van zone I

Aansluiten bespreken we enkele sporen in het **noordwesten** van het terrein, ter hoogte van en in de nabijheid van de B-horizont, context I-A- -CD-3 (cf. supra) (fig. 67). Hier treffen we enerzijds verscheidene kuilen (contexten I-A-192, I-A-193, I-A-428, I-A-429, I-A-435, I-A-443, I-A-444, I-A-445, I-A-447, I-A-449, I-A-451, I-A-462, I-A-475-AB-1) en paalsporen (contexten I-A-189, I-A-191, I-A-430) aan, en anderzijds twee veronderstelde palenclusters (structuren I-A-463 en I-A-474).

Beschrijving en interpretatie

De vondsten geven de B-horizont I-A- -CD-3 een zeer brede datering in de metaaltijden en de Romeinse periode. De onderliggende, gedateerde sporen bestaan uit een kuil uit de vroege ijertijd, context I-A-466 (cf. supra) en twee palenclusters, waarvan enkel structuur I-A-463 in de metaaltijden is te dateren o.b.v. het aardewerk. Deze structuur bestaat uit vier ondiep bewaarde paalsporen (contexten I-A-463, I-A-465, I-A-528, I-A-533), die geen duidelijke patroon vertonen, maar in coupe wel op elkaar gelijk zijn. We veronderstellen dat deze paalsporen samen horen en mogelijk ooit deel uitmaakten van een structuur. Onder voorbehoud kunnen we stellen dat de oriëntatie noordwest-zuidoost is en dat mogelijk buiten de westelijke sleufwand nog paalsporen bewaard zijn.

Twee contexten (I-A-463 en I-A-528) bevatten aardewerk: twee grofwandig, niet gedetermineerde wandscherven en twee grofwandig, geëffende wandscherven. Het summiere aardewerk ligt in dezelfde lijn als het overige ijertijd aardewerk.

De tweede palencluster, eveneens langsheen de sleufwand, is samengesteld uit vijf paalsporen (contexten I-A-474, I-A-475-AB-2, I-A-477, I-A-478 en I-A-527). Deze zijn ondiep bewaard en leverden geen aardewerk op. Hoewel geen duidelijke samenhang is vast te stellen, lijkt de oriëntatie opnieuw noordwest-zuidoost te zijn.

Tenslotte vermelden we enkele, eerder geïsoleerde, kuilen met een datering in de metaaltijden: contexten I-A-231, I-A-406 en I-A-444 (fig. 67, 92-94).



Fig. 92. Coupe AB op context I-A-231.



Fig. 93. Coupe AB op context I-A-406.



Fig. 94. Kwadrant EC op context I-A-444.

7.2.1.3.5. Greppel: context I-A- -CD-4

Opvallend in zone I is de quasi afwezigheid van grachten of greppels (fig. 67). Voor zover aanwezig, zijn het ondiep bewaarde greppels met een noordwest-zuidoost, noord-zuid of oost-west oriëntatie. In het kader van de bespreking van de sporen uit de metaaltijden vestigen we de aandacht op één van de greppels, context I-A- -CD-4. In het noorden van het terrein is deze over een lengte van 82m bewaard (fig. 67). In coupe is de greppel ondiep (ca. 30cm), met een heterogene vulling. Hoewel de vulling van greppel integraal is uitgehaald en gecontroleerd op vondsten, is geen extra aardewerk gevonden. Het aardewerk dat voorhanden is, komt uit het grondvlak en is zeer divers: zowel middeleeuws, als Romeins, als metaaltijden. Omwille van de oriëntatie van de greppel zijn we geneigd deze toe te schrijven aan de metaaltijden, waarbij de recentere vondsten intrusief zijn.

7.2.2. Zone II

7.2.2.1. Greppel: context II-A-218

In het noordoosten van zone II is, over een lengte van 65 meter, een greppel bewaard met een noordwest-zuidoostelijke oriëntatie (fig. 95). Deze greppel is niet alleen veelvuldig oversneden door de middeleeuwse sporen, ze vertoont ook in grondplan en in coupe een duidelijk andere vulling: heterogeen, sterk uitgeloozd, grijsig wit en mangaanrijk (fig. 96). Het beperkte aardewerk bestaat uit vijf niet nader gedetermineerd scherven uit de metaaltijden.

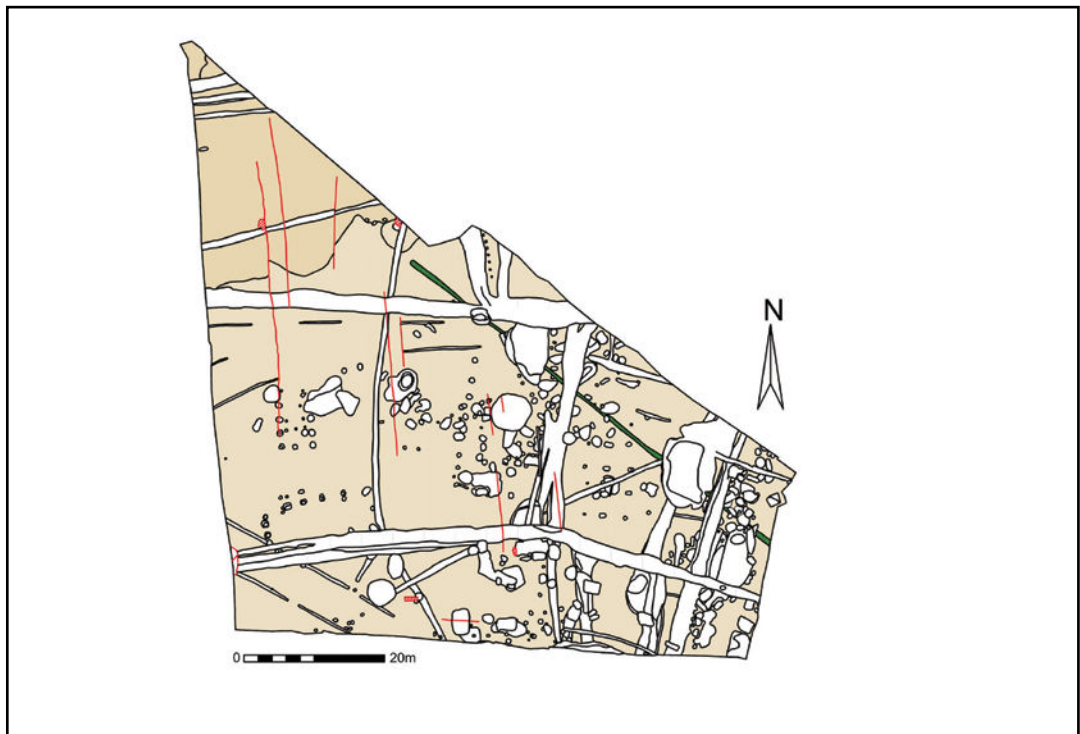


Fig. 95. Zone II grondplan A met aanduiding van de besproken context, schaal 1/750.



Fig. 96. Coupe CD op context I-A-218.

7.2.3. Besluit

Zone I is gekenmerkt door bewoningssporen, wijd verspreid over het terrein, ogenschijnlijk zonder duidelijke organisatie. Meer bepaald gaat het om twee gebouwen, zes palenclusters, drie vierpalige spiekers, kuilen, paalsporen en een greppel. Binnen dit geheel van sporen is een beperkt aantal contexten en structuren met zekerheid in de bronstijd of de ijzertijd onder te brengen, en dit op basis van het aardewerk en/of 14C-dateringen. Andere contexten en structuren zijn o.b.v. het schaarse aardewerk, algemeen in de metaaltijden ondergebracht. Naast de duidelijke Romeinse brandrestengraven, zijn de overige niet gedateerde contexten en structuren in zone I naar alle waarschijnlijkheid eveneens te dateren in de metaaltijden: de aard van hun vulling, hun oriëntatie en hun ligging in relatie tot andere zekere metaaltijden laten dit vermoeden. Enkel een wegstructuur en een greppel met noord-zuid oriëntatie schrijven we toe aan de postmiddeleeuwse periode.

De sporen uit de metaaltijden in Lede - Kleine Kouterrede sluiten aan bij een ruimere aanwezigheid van bewoning in de metaaltijden in de directe omgeving. Niet alleen bij eerder onderzoek in Lede - Leedshouwken⁷² (late ijzertijd) en in Lede - Domein Mesen⁷³ (vroeg ijzertijd), maar ook recenter in Lede – Hoogstraat⁷⁴ (metaaltijden), kwamen onder meer sporen uit de late bronstijd en vooral de ijzertijd aan het licht. In een ruimere omgeving, binnen het werkingsgebied van SOLVA, treffen we eveneens sporen uit de bronstijd en ijzertijd aan in Aalst - Siesegemkouter⁷⁵, uit de ijzertijd in Aalst - Rozendreef⁷⁶ en uit de vroeg ijzertijd in Ninove - Kapittelstraat⁷⁷. Deze onderzoeken betreffen bovendien sites met een lage densiteit aan sporen, en veelal met moeilijk leesbare sporen. Dergelijks sites zijn met andere woorden

72 De Swaef & Bourgeois, 1986.

73 Clement et al., 2014, 26-31.

74 De Graeve et al., 2017, 37-44.

75 De Maeyer et al., 2015, 29-31.

76 De Graeve et al., 2015, 24.

77 De Maeyer et al., 2015, 31-48.

moeilijk te detecteren in proefsleuvenonderzoeken en kunnen soms door de mazen van het net glippen. Het archeologisch onderzoek te Lede - Kleine Kouterrede betekent als dusdanig een waardevolle bijdrage aan de kennis van de metaaltijden in de regio van Zuid-Oost-Vlaanderen, hetgeen in het voorbije decennium gestaag is opgebouwd en een bijzondere kennisverbreding betekent voor deze regio.

Meer specifiek zit de kracht van het onderzoek in Lede - Kleine Kouterrede in de bijdrage die het levert tot de **gebouwtypologie uit de bronstijd** en tot de **kennis van aardewerk uit de ijzertijd**.

De bronstijd is vertegenwoordigd door twee gebouwplattegronden. Collega Arne De Graeve argumenteerde dat deze niet passen binnen de gekende bouwtypologie van zandig Vlaanderen, maar deel uitmaken van een nieuw type, dat reeds meermaals is aangetroffen binnen het werkingsgebied van SOLVA. Dit type is een rechthoekig gebouw met NW-ZO oriëntatie, al dan niet met gebogen noordwestelijke zijde, dat aan de hand van de aanwezige paalsporen éénschepig is bewaard, maar vermoedelijk in de oorspronkelijk constructie drieschepig was opgevat, door middel van het gebruik van funderingsbalken voor de buitenste wanden. De opgegraven voorbeelden dateren in de midden-bronstijd.

De ijzertijd is vertegenwoordigd door twee vierpalige spiekers en zeven geïsoleerde kuilen. De twee kleine gebouwtjes behouden de NW-ZO oriëntatie zoals in de bronstijd, een oriëntatie die overigens geldt voor alle spiekers en palenclusters in zone I. Het valt op dat we, zowel in de ijzertijd als in de bronstijd, wel sporen van bewoning vinden, in de vorm van gebouwen, spiekers, kuilen en paalsporen, maar nauwelijks afbakenende structuren zoals greppels of grachten. Slechts één greppel doorkruist het terrein. Deze lijkt niet in verband te staan met één of meerdere gebouwtjes en vervuld ogenschijnlijk geen afbakenende functie. Gezien de goede bewaringsgraad van de overige sporen uit de metaaltijden in zone I kunnen we vermoeden dat grachten of greppels simpelweg ontbreken en niet zozeer zijn weggeërodeerd. De afwezigheid van dergelijke begrenzendende structuren is een terugkerend gegeven dat blijkt uit de vermelde onderzoeken waar sporen uit de bronstijd en ijzertijd zijn aangetroffen. Enkel te Ninove – Kapittelstraat kan gewag gemaakt worden van grachten die mogelijk verschillende erven afbakenen.

De zeven in detail besproken kuilen zijn van belang omwille van het aardewerk dat ze opleverden. Voor de overige sporen is aardewerk immers slechts sporadisch aanwezig en veelal niet diagnostisch, waardoor meestal een algemene datering in de metaaltijden van kracht is. Deze zeven kuilen daarentegen leverden beduidend meer aardewerk op, dat bovendien opvallend gevarieerd, vaak versierd en van hoge kwaliteit bleek te zijn. Het aardewerk afkomstig uit deze contexten is in detail bekeken door professor Guy De Mulder. Dit resulteerde in dateringen enerzijds in de vroege ijzertijd (contexten I-A-308 en I-A-454), met reminiscenties aan de late bronstijd (contexten I-A-188 en I-A-311), en anderzijds in de late ijzertijd (contexten I-A-52, I-A-185 en I-A-466). Eén van deze contexten, I-A-185, is geselecteerd voor een 14C-datering op houtskool, met een resultaat dat de datering bevestigde zoals vooropgesteld door professor De Mulder. Naast aardewerk bevatten deze kuilen ook andere vondsten, zoals fragmenten van maalstenen (contexten I-A-185 en I-A-466), een wetsteen (context I-A-454), metaal (ferro, niet gedetermineerd; contexten I-A-52 en I-A-466), dierlijk bot (I-A-185), niet nader gedetermineerd verbrand bot (contexten I-A-308, I-A-454 en I-A-466), silex werktuigen (I-A-308), verbrande leem (contexten I-A-454 en I-A-466) en technisch aardewerk – fragmenten van zoutcontainers (contexten I-A-185 en I-A-466). In tegenstelling tot vele andere contexten waarvoor geen duidelijke functie kan gesuggereerd worden, hebben we naar alle waarschijnlijkheid hier wel te maken met afvalkuilen.

BESCHRIJVING VAN HET ARCHEOLOGISCH ONDERZOEK

Een meer gedetailleerde analyse van het aardewerk vereist een apart en deskundig onderzoek. We kunnen echter wel algemeen stellen dat, enerzijds het grofwandig aardewerk sterker vertegenwoordigd is dan het fijnwandig aardewerk, en anderzijds het fijnwandig aardewerk beter vertegenwoordigd is in de oudere contexten (tabel 1). De vershraling van het aardewerk bestaat steeds uit kwarts, chamotte en/of organisch materiaal. Qua versieringstechnieken valt het gebruik van vingertopindrukken op de bovenkant van de rand op en dit vooral in de contexten uit de vroege ijzertijd, veelal op Harpstedtachtige vormen. Voor de vroege ijzertijd is tevens het kenmerkend versierd Kalenderberg aardewerk aanwezig, alsook het gebruik van stafbandversiering en horizontale groeven. Versieringen blijven aanwezig in de late ijzertijd in de vorm van nagelindrukken, vingerstrepen en verticale groeven op het lichaam, evenals het gebruik van vingertopindrukken op de rand, evenwel in mindere mate.

TABEL 1: PROCENTUELE WEERGAVE VAN DE VERTEGENWOORDIGING VAN HET FIJNWANDIGE VERSUS HET GROFWANDIGE AARDEWERK PER CONTEXT.

Materiaal	CONTEXT						
	I-A-308	I-A-311	I-A-188	I-A-454	I-A-466	I-A-52	I-A-185
Fijnwandig	32,39%	12,93%	14,95%	1,54%	3,67%	23,53%	3,23%
Grofwandig	67,61%	62,74%	53,61%	98,46%	91,84%	49,02%	63,98%
Niet gedetermineerd	0,00%	24,33%	31,44%	0,00%	4,49%	27,45%	32,80%



7.3. ROMEINSE PERIODE

7.3.1. Zone I

De Romeinse periode in Kleine Kouterrede is grotendeels vertegenwoordigd door 18 crematiegraven, zgn. brandrestengraven, verspreid over het opgravingsvlak en occasioneel geclusterd per twee of drie (fig. 97). Deze brandrestengraven (*Brandgrubengräber*)⁷⁸ zijn doorgaans vrij eenvoudige grafkuilen met onderaan een houtskoolrijke lens die de resten van de crematie bevat, i.e. de houtskoolresten van de brandstapel, de gecremeerde botresten van de overledene en de eventuele bijgaven (al dan niet verbrand). Daarboven bevindt zich een nazakkings-/vullingspakket dat bestaat uit de aarde die bij het graven van de kuil vrijkwam.

Met uitzondering van enkele greppels en een paalspoor zijn in Kleine Kouterrede geen andere nederzettingssporen aanwezig. De meerderheid van de sporen bevindt zich in zone I. Voor zover sporen uit de Romeinse periode in zone II aanwezig waren, is de kans zeer groot dat ze vergraven zijn door de middeleeuwse bewoning (fig. 123). De brandrestengraven zijn op basis van het aardewerk gedateerd in de 2de en 3de eeuw n. Chr. en waar mogelijk meer specifiek tussen 150 en 250 n. Chr.

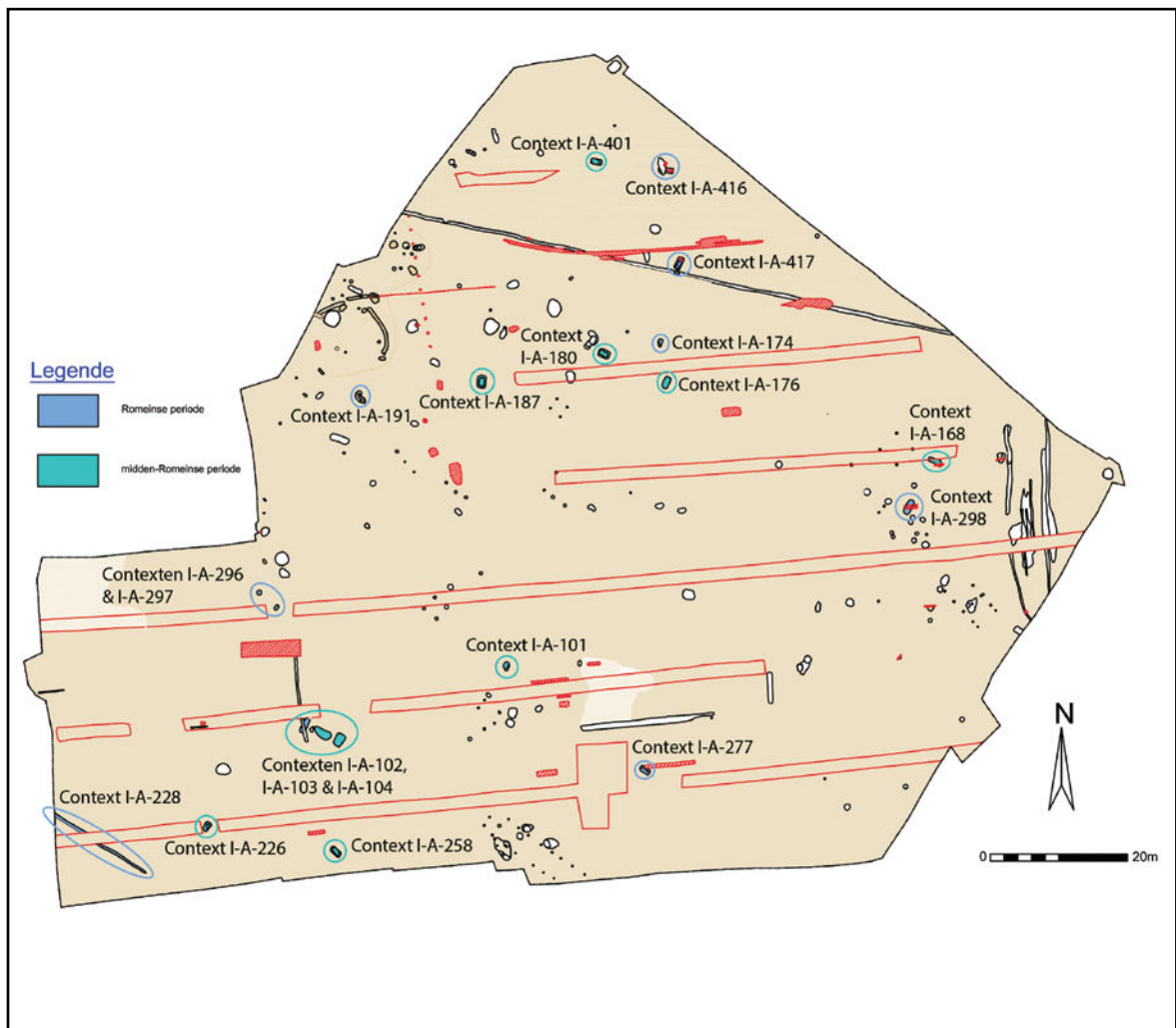


Fig. 97. Zone I grondplan A met aanduiding van de besproken contexten, schaal 1/750.

De brandrestengraven zijn steeds gecoupeerd door middel van de kwadrantenmethode, waarbij de volledige doorsnede in de lengte is behouden. Elk kwadrant is integraal bemonsterd, waarbij de houtskool lens en het vullingspakket, indien aanwezig, apart zijn gehouden. De bodemstalen zijn gezeefd op een zeef met maaswijdte 0,5 mm; de residu's zijn gecontroleerd op vondsten en het verbrand bot is uitgepikt. Een houtskoolstaal is genomen van de houtskoollens van elk graf.

Wat de determinatie van het aardewerk betreft, hebben we ons enkele basiswerken gebaseerd. Hiernaar zal steeds verwezen worden in de tekst als we het hebben over het baksel en het type van aardewerk:

- *terra sigillata*: Webster⁷⁹ en Dragendorff⁸⁰
- Belgische waar (*terra nigra* en *terra rubra*): Deru⁸¹
- reducerend gebakken, gedraaid en handgemaakt aardewerk: Vermeulen⁸²
- kruikwaar en *mortaria*: Stuart⁸³

7.3.1.1. Graf-crematie: contexten I-A-102, I-A-103 en I-A-104

Beschrijving

Drie grafkuilen, contexten I-A-102, I-A-103 en I-A-104, liggen bij elkaar (fig. 97). In grondplan zijn ze vrij rechthoekig van vorm en, hoewel duidelijk zichtbaar, was het niet mogelijk om de houtskoollens en het opvullingspakket apart af te lijnen (fig. 98). Grafkuilen I-A-102 en I-A-104 hebben een noordoost-zuidwestelijke oriëntatie, terwijl context I-A-103 noordwest-zuidoost is gepositioneerd. In coupe zijn ze ondiep bewaard, maar met een duidelijke houtskoollens en een weinig bewaard vullingspakket (context I-A-103 bevat nog slechts de houtskoollens) (fig. 99-101). Mogelijk horen deze drie crematiegraven samen.



Fig. 98. Zicht op contexten I-A-102, I-A-103 en I-A-104 op grondplan A.

79 Webster, 1996.

80 Dragendorff, 1895.

81 Deru, 1996.

82 Vermeulen, 1992.

83 Stuart, 1963.



Fig. 99. Coupe AB op context I-A-102.



Fig. 100. Coupe AB op context I-A-103.



Fig. 101. Coupe AB op context I-A-104.

Vondsten en datering

Crematiegraf I-A-102 bevat 28 fragmenten van een beker in gewoon gedraaid reducerend gebakken waar (type Stuart 201C), met een naar buiten gebogen rand en met twee vingertopindrukken op de overgang van de buik naar de schouder. Dit type beker is waarschijnlijk ook teruggevonden in de crematiegraven contexten I-A-258 en I-A-401 (cf. infra) (fig. 106:1). De beker laat ons toe het graf te dateren tussen 150 en 250 n. Chr.

Verder kwam er nog één ijzeren spijker met vierkante steel/platte kop en vier fragmenten van mogelijk een nagel aan het licht.

Crematiegraf I-A-103 bevat een weinig en heterogeen aardewerk. Een aantal middeleeuwse scherven zijn intrusief en waarschijnlijk afkomstig van de greppel, context I-A-81, die het graf oversnijdt. Enkel rekening houdend met de Romeinse waar, kan de datering slechts ruim tussen 56 v. Chr. en 425 n. Chr. geplaatst worden.

De houtskoollees van crematiegraf I-A-104 heeft een interessante inhoud, met o.a. 13 stuks van een bord in *terra nigra* zeepwaar (mogelijk Deru A41-47) en 33 scherven van een handgevormde, reducerend gebakken pot (fig. 102). Verder zien we twee vrij grote brokken tefriet en drie fragmenten ijzer, waaronder een nagel met vierkante steel en platte kop. Het aardewerk wijst op een datering tussen 50-300 n. Chr.

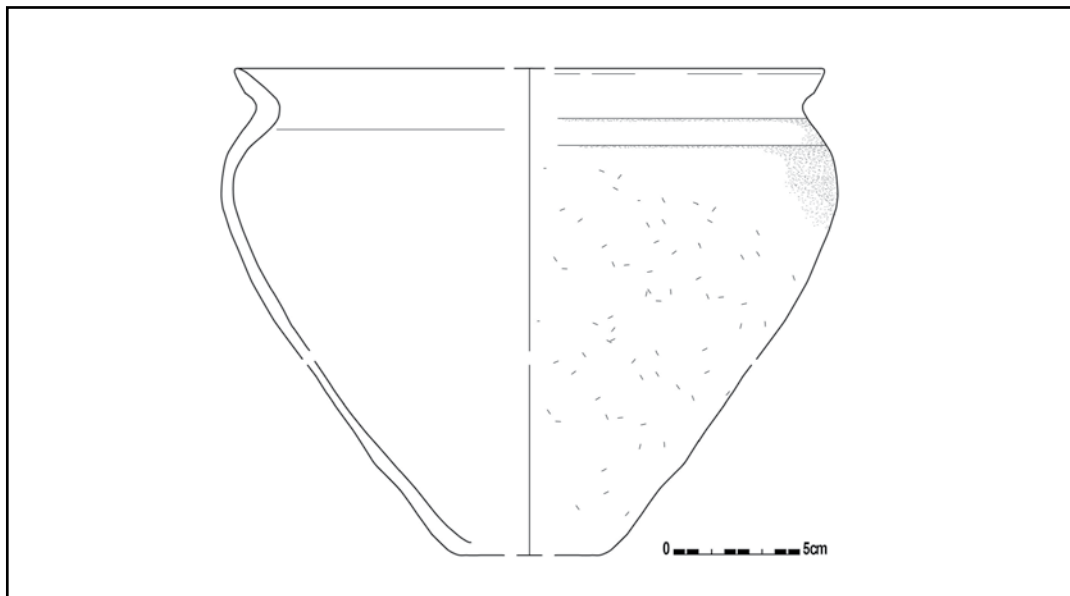


Fig. 102. Aardewerk uit context I-A-104.

7.3.1.2. Graf-crematie: contexten I-A-226 en I-A-258

Beschrijving en datering

Ten zuiden van de besproken grafkuilen, liggen twee individuele crematiegraven, contexten I-A-226 en I-A-258 (fig. 97). In grondvlak zijn beide rechthoekig, met een duidelijk zichtbare houtskoolrijke band en centraal vullingspakket van versmeten moederbodem. Eerstgenoemde is noordoost-zuidwest georiënteerd, laatstgenoemde noordwest-zuidoost. Graf I-A-226 is ondiep bewaard (fig. 103). Context I-A-258 daarentegen is één van de best bewaarde crematiegraven op het terrein, ca. 40cm diep met een dikke houtskoollees (fig. 104).



Fig. 103. Coupe CD op context I-A-226.

De houtskoollees van context I-A-226 levert ons 15 fragmenten van gedraaide, gedraaid, reducerend gebakken kom in gewone waar, met omgeslagen, geblokte rand en een dekselgeul. De datering kan worden gespecificeerd tussen 1 en 300 n. Chr.



Fig. 104. Coupe AB op context I-A-258.

Grafkuil I-A-258 bevat bijzonder aardewerk, hoofdzakelijk uit de houtskoolleens, maar ook uit de opvullingslaag. Over het algemeen is het aardewerk sterk verbrand. Desalniettemin kunnen we minstens vijf, en mogelijk zeven, individuen definiëren. Zoals in context I-A-102 vinden we een reducerend gebakken beker met naar buiten gebogen rand (type *Stuart 201C*) en met twee vingertopindrukken op de overgang van de schouder naar de buik (fig. 105 en 106:1). De beker is geconserveerd door Natalie Cleeren – Archeologische Conservatie.⁸⁴

Verder bevat het ensemble twee *terra sigillata* vormen: een kom, type Dragendorff 31 en een bord, type Dragendorff 18/31. Daarnaast herkennen we een scherf van een bord in Pompejaans rood (vermoedelijk Blicquy 6) en fragmenten van twee bekere in fijn geverfde waar (type Hees4/Höpken E23: 120 n. Chr. tot begin 3de eeuw), waarvan één met een zwarte deklaag en kleikruimelbestrooiing (fig. 106:2 en 3)⁸⁵. Voor dit ensemble valt de hoeveelheid fijne, geverfde waar op. De context dateert in de tweede helft van 2de eeuw tot het begin van de 3de eeuw (150-225 n. Chr.), met nadruk op de 2de eeuw.



Fig. 105. Beker uit context I-A-258.

⁸⁴ Bijlage 3. Inventarisnummer 119.

⁸⁵ Vermeulen, 1992, 87-88.

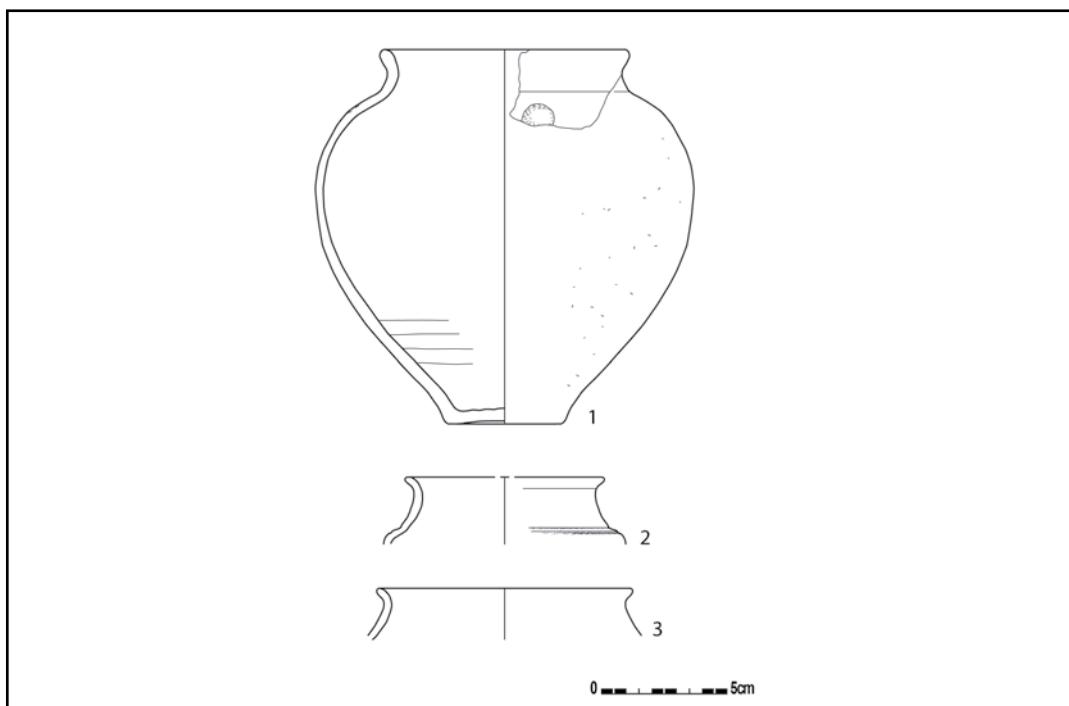


Fig. 106. Aardewerk uit context I-A-258.

7.3.1.3. Graf-crematie: context I-A-101

Beschrijving en datering

Crematiegraf I-A-101 ligt geïsoleerd op het terrein (fig. 97). Het graf heeft een rechthoekige aflijning en een noordoost-zuidwestelijke oriëntatie. Hoewel sterk gebioturbeerd, is de grafkuil in coupe mooi bewaard (fig. 107).



Fig. 107. Coupe AB op context I-A-101.

Vondsten en datering

Het crematiegraf bracht een handgevormde dolium van klein formaat aan het licht: dunwandig, met een sterk geprofileerde rand en diepe draaigroeven op het lichaam (fig. 108). Dit recipiënt geeft een datering in de 2de en 3de eeuw n. Chr.

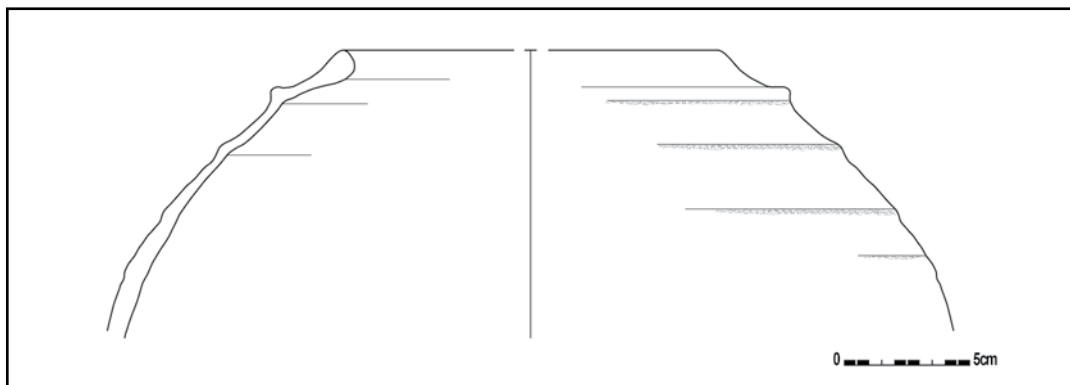


Fig. 108. Aardewerk uit context I-A-101.

7.3.1.4. Graf-crematie: context I-A-277

Beschrijving en datering

Context I-A-277 is een geïsoleerde grafkuil, met een noordwest-zuidoostelijke oriëntatie (fig. 97). In coupe blijkt het graf enkel nog te bestaan uit houtskoolrijke bioturbatie en dus niet meer bewaard. Dit is weerspiegeld in de aardewerkvondsten: slechts twee kleine scherven ongedetermineerd Romeins aardewerk zijn gevonden.

7.3.1.5. Graf-crematie: contexten I-A-296 en I-A-297

Beschrijving en datering

In het westen van het terrein zijn slechts twee kleine grafkuilen aangetroffen, één cirkelvormig en één ovaal, beiden bijzonder slecht bewaard (fig. 97, 109, 110). De inhoud van beide graven was vrij pover. Het aardewerk omvatte, in tegenstelling tot de andere crematiegraven in zone I, handgevormd gewone waar. Dit resulteert in een algemene datering tussen 56 v. Chr. en 425 n. Chr.



Fig. 109. Coupe AB op context I-A-296.



Fig. 110. Coupe AB op context I-A-297.

7.3.1.6. Graf-crematie contexten I-A-174, I-A-176 en I-A-180

Beschrijving en datering

In de noordelijke helft van terrein treffen we onder meer een cluster van drie brandrestengraven aan (fig. 97). Alle drie zijn in grondplan rechthoekig van vorm, met voor contexten I-A-174 en I-A-180 een duidelijke houtskoolleens en vullingspakket. Contexten I-A-174 en I-A-176 hebben een noordoost-zuidwestelijke oriëntatie, context I-A-180 een noordwest-zuidoostelijke oriëntatie. In coupe zijn de drie graven goed bewaard (fig. 111 & 112). Context I-A-176 bleek een uitgesproken nazakking te hebben, waardoor de dikke houtskoolleens niet is aangesneden in het grondvlak (fig. 113).



Fig. 111. Coupe AB op context I-A-174.



Fig. 112. Coupe AB op context I-A-180.

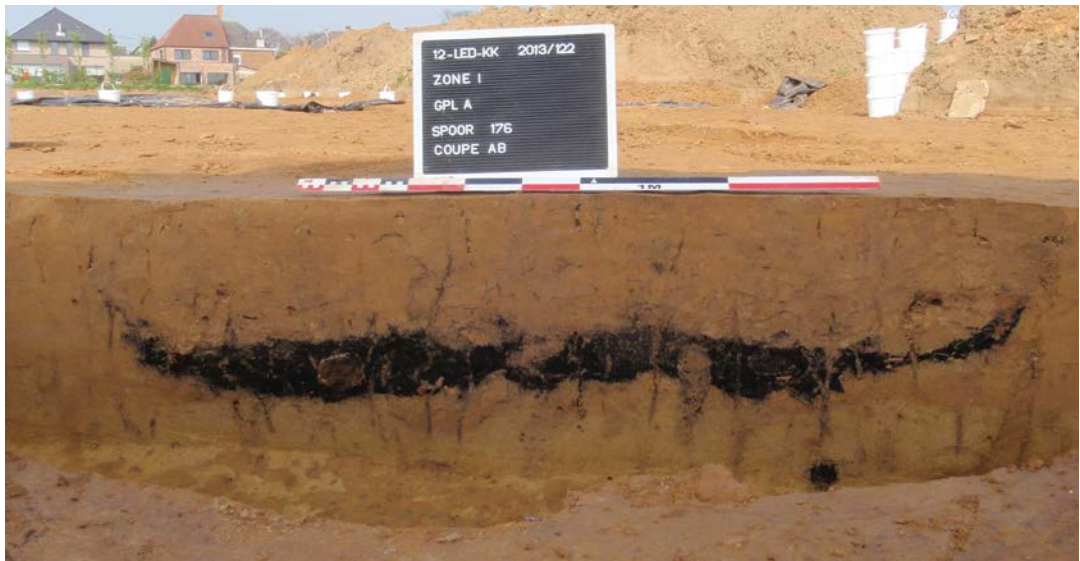


Fig. 113. Coupe AB op context I-A-176.

Het aardewerk uit crematiegraf I-A-174 omvat slechts enkele Romeinse scherven, waaronder één onverbrand scherf van een oxiderend gebakken kruik in *Lowlandsware*. Ter hoogte van de zuidelijke korte zijde troffen we in het vullingspakket een eveneens onverbrande, omgekeerd geplaatste Romeinse *imbrex* aan (fig. 111). Het is de enige crematie op dit terrein die een dergelijke vondst opleverde. Verder bevat de context 2 fragmenten ijzer.

De houtskoolleem van crematiegraf I-A-176 bevat sterk verbrand aardewerk, met onder meer 50 stuks van een oxiderend gebakken kruik in *Lowlandsware* (fig. 116:1 en 26 fragmenten van een *terra sigillata* bord (Dragendorff 31) uit centraal- of oost Gallië. In het vullingspakket, bovenop de houtskoolleem, lag een onverbrande intacte beker (fig. 114). Vermoedelijk is deze beker na de crematie doelbewust bijgezet in het graf. Resten van een zwarte deklaag in de hals zijn nog zichtbaar (fig. 115). De vorm, met een opmerkelijke smalle voet, is niet gekend (fig. 116:2). Verschillende interpretaties zijn van kracht. Volgens prof. G. De Mulder lijkt de beker op een ribbelkom en is het een importstuk, te dateren op de overgang van de late ijzertijd naar de Romeinse periode. Johan Deschietter daarentegen beschouwd het als een lokaal Romeins product. De inhoud van de beker is gezeefd, maar leverde geen vondsten op. De beker zelf is geconserveerd door Natalie Cleeren – Archeologische Conservatie.⁸⁶ Het *terra sigillata* bord (100-250 n. Chr.) en de kruik (75-250 n. Chr.) wijzen op een datering tussen 150 en 250 n. Chr. Overige vondsten bestaan uit 33 brokken verbrande leem en drie ongedetermineerde fragmenten ijzer.



Fig. 114. Aardewerk in situ in context I-A-176.



Fig. 115. Beker uit context I-A-176.

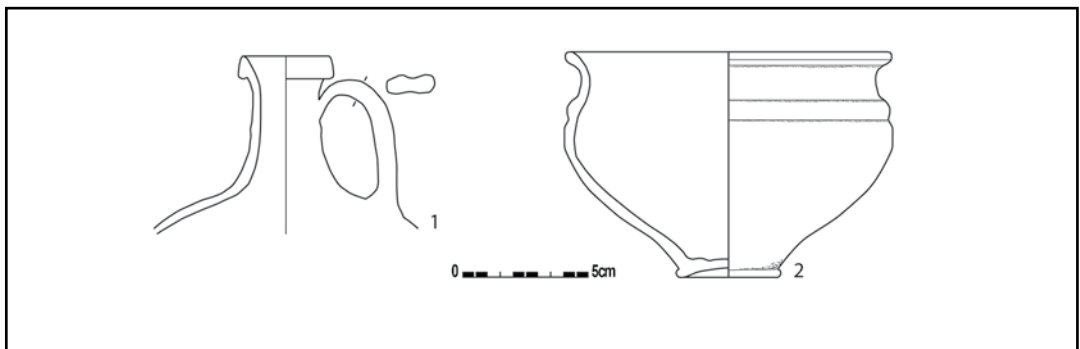


Fig. 116. Aardewerk uit context I-A-176.

Crematiegraf I-A-180 toont eveneens een opmerkelijk aardewerk ensemble, met vermoedelijk acht individuen. Het aardewerk omvat een *terra sigillata* kopje uit centraal- of oost Gallië (Dragendorff 33), twee *terra sigillata* borden (waarvan één vermoedelijk Dragendorff 31), twee kruiken in oxiderend gebakken zeepwaar en een handgevormde pot met naar binnen gebogen rand in (fig. 119:2). Centraal in het graf lag op de houtskoollens, in het vullingspakket, een onverbrande, bijna intacte beker in gedraaid, reducerend gebakken aardewerk (fig. 119:1). De beker met naar buiten gebogen rand, lijkt sterk op deze uit het crematiegraf I-A-176, met een iets meer uitgesproken buik (fig. 118 & 119:1). Ook deze beker is geconserveerd door Natalie Cleeren – Archeologische Conservatie.⁸⁷ Overige vondsten zijn enkele stukjes niet nader gedetermineerd transparant glas, alsook vier ijzeren schoenspijkers, twee functionele spijkers met vierkante steel en platte kop (+11 niet geïdentificeerde ijzerfragmenten) en het fragment van een *fibula* in brons (fig. 120). De *fibula* is geconserveerd door de Johan Van Cauter van de Archeologische Dienst Waasland. Hierbij kwam puntslagversiering op de beugel van de *fibula* aan het licht.⁸⁸ Het fragment vertoont gelijkenissen met het type 5.9 (nr. 962), zoals gedefinieerd door E. Riha en door de auteur gedateerd van de late 1ste tot het midden van de 2e eeuw.⁸⁹

87 Bijlage 3. Inventarisnummer 5.

88 Bijlage 4. Inventarisnummer 75.

89 Riha, 1979, 133-135, tafel 36: 962.

Voor de datering van het crematiegraf baseren we ons in eerste instantie op het aardewerk, meer bepaald tussen 150 en 225 n. Chr. De *fibula* kan immers als waardevol voorwerp bewaard zijn en later meegegeven in het graf.



Fig. 117. Aardewerk *in situ* in context I-A-180.



Fig. 118. Beker uit context I-A-180.

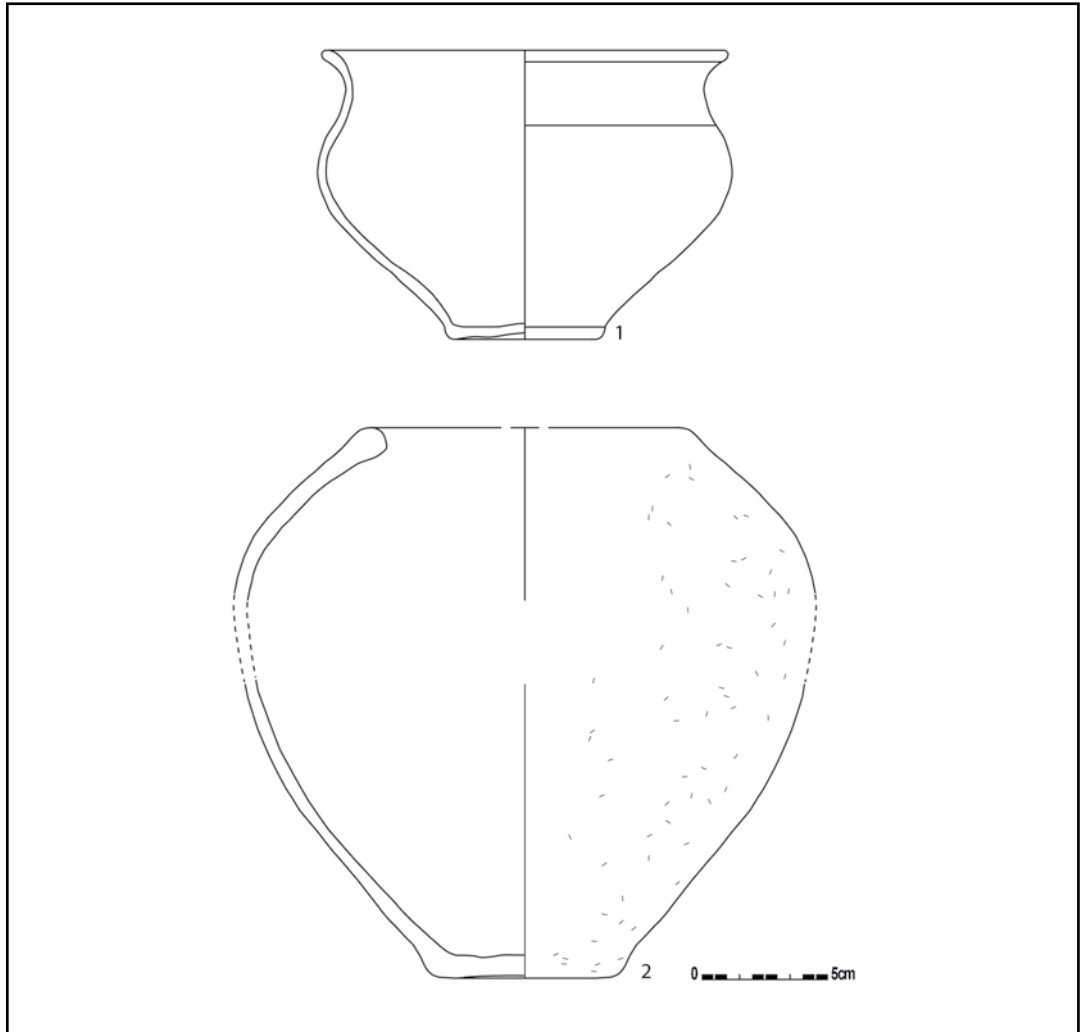


Fig. 119. Aardewerk uit context I-A-180.



Fig. 120. Fibula uit context I-A-180 na conservatie (copyright Erfpunt).

7.3.1.7. Graf-crematie: context I-A-187

Beschrijving en datering

Crematiegraf I-A-187 ligt nabij de zo net besproken cluster brandrestengraven (fig. 97). In grondplan toont het graf een rechthoekige vorm, noord-zuid georiënteerd, met duidelijke houtskoollens en vullingspakket. In coupe bleek het goed bewaard (fig. 121)



Fig. 121. Coupe AB op context I-A-187.

Het graf levert vrij veel verbrand aardewerk op, met vier herkenbare vormen waaronder een kruik in gedraaid, oxiderend gebakken zeepwaar, een bord met een naar binnen gebogen rand in gedraaid, reducerend gebakken ceramiek (fig. 122a.:3) en een zeer fijnwandige beker eveneens in gedraaid, reducerend gebakken aardewerk (fig. 122a.:2)⁹⁰. Een tweede beker in gedraaid, reducerend gebakken aardewerk lijkt sterk op deze aangetroffen in de graven I-A-176 en I-A-180, deze keer echter wel verbrand (fig. 122a.:1). Tot slot vinden we nog twee zeer fragmentaire ijzeren schoenspijkers, twee vermoedelijke nagelfragmenten en vijf fragmenten van een houten kam (fig. 122b.). Het aardewerk dateert de context tussen 100 en 250 n. Chr.

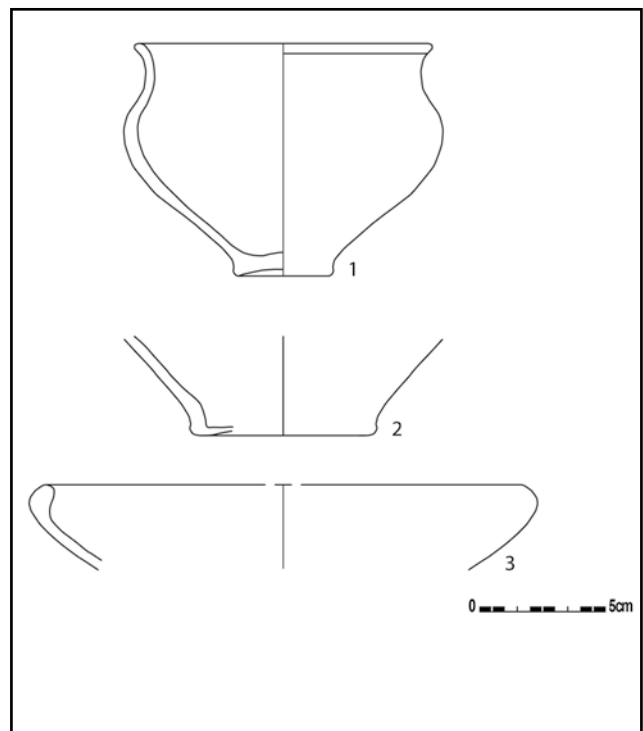


Fig. 122a. Aardewerk uit context I-A-187.



Fig. 122b. Fragmenten van een houten kam uit context I-A-187.

7.3.1.8. Graf-crematie: contexten I-A-401, I-A-416 en I-A-417

Beschrijving en datering

In het noordoosten van het terrein liggen drie crematiegraven nabij elkaar (fig. 97). Context I-A-401 heeft een rechthoekige vorm, met een vrij oost-westelijke oriëntatie en is ondiep bewaard (fig. 123). De grafkuil bevat elf scherven van een licht verbrande beker in gedraaid, reducerend gebakken aardewerk (*Stuart 201C*) (fig. 124). Deze beker behoort tot hetzelfde type als het recipiënt met twee vingertopindrukken op de overgang van de schouder naar de buik uit crematiegraf I-A-258 (cf. supra).



Fig. 123. Coupe AB op context I-A-401.



Fig. 124. Aardewerk *in situ* in context I-A-401.

De datering van het graf kan hierdoor gespecificeerd worden tussen 100 en 300 n. Chr. In de zeefstalen kwam tevens nog een glazen kraal (fig. 125a.) en vermoedelijk een fragment van een glazen armband (blauw met gele versiering) aan het licht (fig. 125b.).

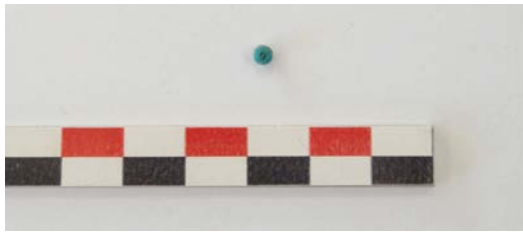


Fig. 125a. Glazen kraal uit context I-A-401.

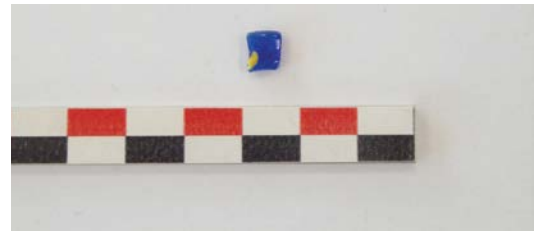


Fig. 125b. Fragment van een glazen armband uit context I-A-401.

Crematiegraf I-A-416 ligt een tiental meter ten oosten van context I-A-401. Deze goed bewaarde context toont wederom een rechthoekige vorm in grondvlak, met een quasi oost-westelijke oriëntatie. Een vrij grote boomval, context I-A-508, lijkt het graf te doorsnijden (fig. 126). Tijdens het couperen zijn aanvullende grondplannen aangelegd (A, B en C) om duidelijkheid te krijgen in de relatie tussen de grafkuil en de boomval. Deze toonden, samen met het aardewerk aan dat het om één graf gaat. Twee verbrande recipiënten komen uit de houtskoollens: een kruik in gedraaide, oxiderend gebakken waar en een kruikamfoor in gedraaide, oxiderend gebakken waar. Het aardewerk dateert het graf vrij algemeen tussen 56 v. Chr. en 425 n. Chr.



Fig. 126. Coupe AB op context I-A-416.



Fig. 127. Coupe AB op context I-A-417.

Crematiegraf I-A-417 ligt ten zuiden van de besproken graven. In grondvlak heeft het graf een rechthoekige vorm, met duidelijke houtskoollens en vullingspakket, noordoost-zuidwest georiënteerd. In coupe bleek de context ondiep bewaard (fig. 127). Niettemin is aardewerk

aangetroffen in de houtskoollees, waaronder een grote kom met naar binnen gebogen rand (fig. 129:1) en een tweede kom met een naar binnen gebogen rand en één van vier handgrepen (fig. 128, 129:2), beiden in sterk verbrand handgevormd, reducerend gebakken aardewerk. Op basis van deze laatste kom dateert het crematiegraf tussen 1 en 300 n. Chr.



Fig. 128. Kom met een handgreep uit context I-A-417.

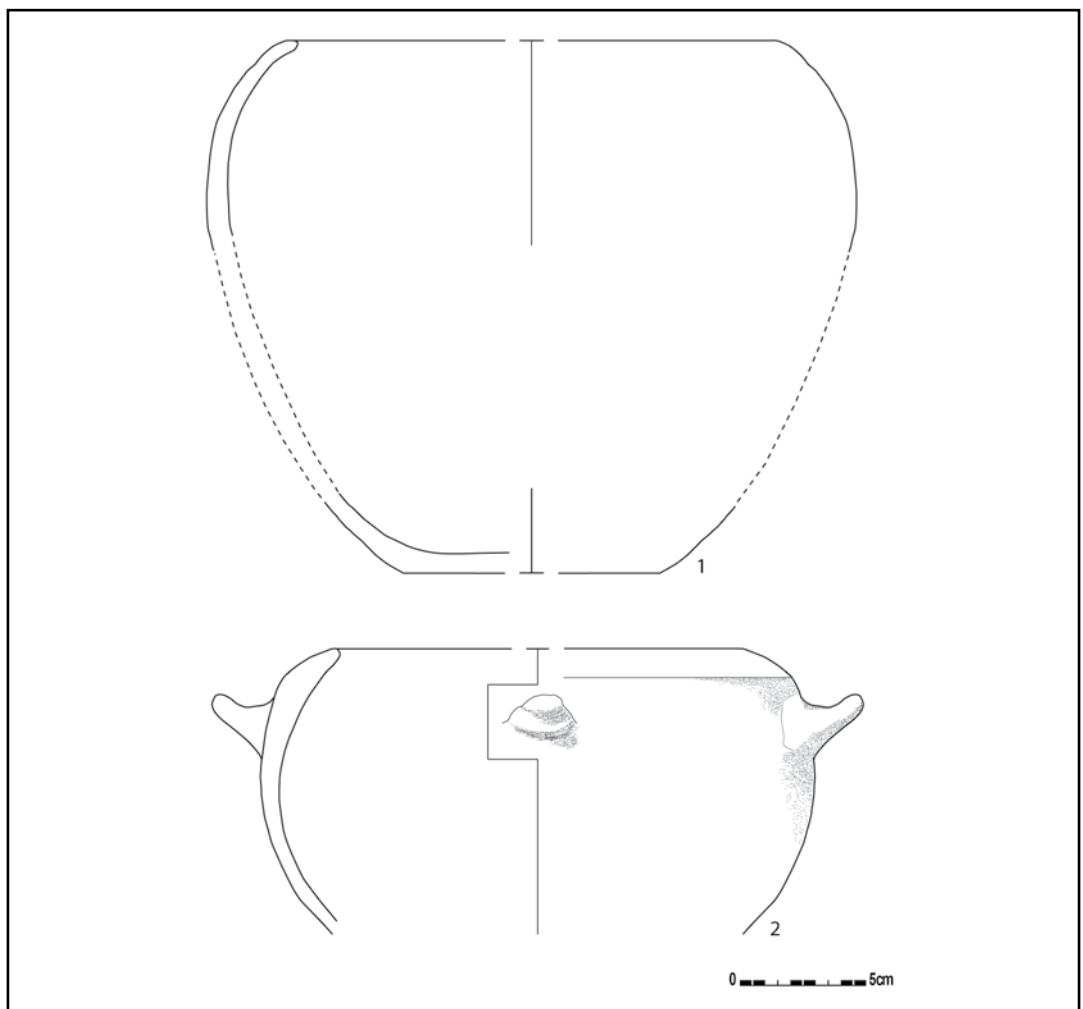


Fig. 129. Aardewerk uit context I-A-417.

7.3.1.9. Graf-crematie contexten I-A-168 en I-A-298

Beschrijving en datering

Tenslotte bespreken we twee crematiegraven in het oosten van het terrein, op zo'n zes meter van elkaar (fig. 97). Beide contexten zijn in grondplan rechthoekig van vorm, zonder onderscheid tussen de houtskoolleem en het opvullingspakket. Context I-A-168 is noordwest-zuidoostelijk, terwijl context I-A-298 noordoost-zuidwestelijk is georiënteerd.

Crematiegraf I-A-168 is deels weggegraven tijdens het proefsleuvenonderzoek en verstoord door een recent ploegspoor. In coupe blijkt enkel de houtskoolleem bewaard (fig. 130). Deze bevat acht fragmenten van een verbrande beker met hoge concave hals in gedraaide, reducerend gebakken aardewerk. De datering van het graf is hierdoor te plaatsen tussen 100 en 300 n. Chr.



Fig. 130. Coupe AB op context I-A-168.

Crematiegraf I-A-298 is eveneens verstoord door recente ploegsporen. In doorsnede is de nazakking ondiep bewaard, in tegenstelling tot een duidelijke houtskoolleem (fig. 131). Hoewel de context integraal is bemonsterd en uitgezeefd, was geen aardewerk aanwezig. Louter op basis van de uiterlijke kenmerken is deze context geïnterpreteerd als een Romeins brandrestengraf.



Fig. 131. Coupe AB op context I-A-298.

7.3.1.10. Overige sporen

7.3.1.10.1. Paalspoor: context I-A-191

Slechts één paalspoor in zone I krijgt een Romeinse datering (fig. 97). In vergelijking met de andere paalsporen in zone I, die behoren tot de structuren met dateringen in de bronstijd of ijzertijd, is deze context, samen met paalspoor context I-A-189 (niet gedateerd), beduidend duidelijker in coupe en dieper bewaard (fig. 132, 133). Bovendien bevat hun vulling meer houtskool en verbrande leem, en voor context I-A-191 een kleine hoeveelheid verbrand bot.



Fig. 132. Coupe AB op context I-A-191.



Fig. 133. Coupe AB op context I-A-189.

Het weinige aardewerk plaats paalspoor I-A-191 in de Romeinse periode, terwijl voor I-A-189 geen aardewerk voorhanden is. De sterke gebioturbeerde grond rond beide paalsporen is aanvankelijk geïnterpreteerd als de insteek van de paalsporen (context I-A-190). Dit bleek echter gewoon moederbodem te zijn. Desalniettemin recupereerden we enkele scherven uit de mollengangen, die een datering in de metaaltijden krijgen. De datering van dit spoor in de Romeinse periode is dus niet eenduidig.

7.3.1.10.2. Greppel: context I-A-228

In de zuidwestelijke hoek van het terrein is, over een lengte van 15,75m, een greppel met een noordwest-zuidoostelijke oriëntatie opgetekend (fig. 97). De vulling van de greppel leverde het fragment van een *dolium* in handgevormd, oxiderend gebakken aardewerk en één, mogelijk versierde, wandscherf in gedraaid, reducerend gebakken aardewerk. Op basis van dit weinige aardewerk, afkomstig uit het grondvlak, is de greppel onder voorbehoud te dateren tussen 56v. Chr. en 425 n. Chr.

7.3.2. Zone II

De oudste sporen in zone II zijn gedateerd in de metaaltijden en de Romeinse periode. In tegenstelling tot zone I betreft het slechts enkele sporen.

7.3.2.1. Weg: structuur II-A-129

Beschrijving en datering

In de zuidwestelijke hoek van zone II vinden we twee parallelle greppels met een noordwest-zuidoostelijke oriëntatie: contexten II-A-129 en II-A-324 (fig. 261), dezelfde oriëntatie aan als context I-A-228 in zone I (fig. 134). Met een onderlinge afstand van 5,4m zijn deze twee contexten geïnterpreteerd als de afwateringgreppels van een wegtracé, waarvan het wegdek zelf niet meer is bewaard. De structuur is niet gedateerd, maar de oriëntatie en de zeer bleke, sterk uitgeloopte vulling van de greppels (fig. 135), alsook de oversnijdingen door recentere middeleeuwse sporen, doen ons vermoeden dat deze structuur thuis hoort in de Romeinse periode of de metaaltijden.



Fig. 134. Zone II grondplan A met aanduiding van de besproken context en structuur, schaal 1/750.

Het feit dat we in sommige middeleeuwse sporen Romeins aardewerk aantreffen, residueel aanwezig, doet vermoeden dat er meer sporen uit deze periode moeten geweest zijn. Het is desalniettemin duidelijk dat de bewoning in de metaaltijden en de begravingen in de Romeinse periode zich concentreren in zone I.



Fig. 135. Coupe AB op context I-A-324.

7.3.2.2. Graf-crematie: context II-A-257

Beschrijving en datering

Dit brandrestengraf is de enige funeraire context uit de Romeinse periode in zone II (fig. 134). Het graf is grotendeels doorsneden door een laatmiddeleeuwse gracht, context II-A-47-OP-3 (cf. infra), waardoor de oriëntatie niet meer is te achterhalen en slechts een deel van de houtskoollees en het opvullingspakket zijn bewaard (fig. 136). De context leverde enkele middeleeuwse scherven op, die als intrusief zijn te beschouwen, maar ook één Romeinse scherf en waarschijnlijk het fragment van een *tegula* van het Romeinse type.



Fig. 136. Coupe FG op context II-A-257.

7.3.3. Fysisch antropologisch onderzoek ⁹¹

De 18 brandrestengraven in zone I zijn integraal bemonsterd (fig. 97). De bodemstalen zijn gezeefd op een zeef met maaswijdte 0,5 mm. Uit de residu's is het verbrand bot uitgepikt. Dit crematie-materiaal onderging een fysisch antropologische waardering door Stichting LAB. Dit omvat volgende aandachtspunten:

1. Wat is de aard van het materiaal: menselijk of dierlijk, eventueel ander materialen verbrandingsgraden?
2. Wat is de conservering: hoeveelheid bot en fragmentatiegraad?
3. Wat zijn de onderzoeksmogelijkheden?

Het onderzoek toonde aan dat vijf contexten geen bot bevatten (contexten I-A-103, I-A-168, I-A-174, I-A-296 en I-A-297). De overige contexten bevatten weinig fragmenten bot, die bovendien in de meeste gevallen erg klein waren, zodat er geen macroscopisch onderscheid gemaakt kon worden tussen menselijk of dierlijk botmateriaal (contexten I-A-101, I-A-102, I-A-104, I-A-187, I-A-226, I-A-258, I-A-298, I-A-401, I-A-416, I-A-417 en II-A-257). Enkel voor contexten I-A-176, I-A-180 en I-A-277 kan gesteld worden dat het botmateriaal menselijk is. "De reden hiervoor is niet te bepalen. Uiteraard zullen tafonomische factoren van invloed zijn geweest op de conservering en volledigheid van het botmateriaal, maar mogelijk heeft menselijk handelen (e.g. selectieve depositie) een rol heeft gespeeld. Op basis van het aanwezige botmateriaal kan hier verder geen uitspraak over gedaan worden. Het materiaal is niet geschikt bevonden voor verdere analyse."

7.3.4. Besluit

Verspreid over het opgravingsvlak, zowel geïsoleerd als geclusterd per twee of drie, identificeerden we 18 brandrestengraven in zone I en één brandrestengraf in zone II. Een aantal graven zijn algemeen gedateerd in de Romeinse periode wegens te weinig diagnostisch aardewerk. Waar meer kenmerkend aardewerk voorhanden was, blijkt een datering in de 2de en de 3de eeuw n. Chr. van kracht. Vier graven kunnen meer specifiek tussen 150 en 250 n. Chr. (contexten I-A-102 en I-A-17) of tussen 150 en 225 n. Chr. (contexten I-A-180 en I-A-225) gedateerd worden.

De oriëntatie van de graven varieert: negen contexten hebben een noordoost-zuidwestelijke oriëntatie, vijf een noordwest-zuidoostelijke en twee quasi oost-west. Met uitzondering van twee, kleine, slecht bewaarde crematiegraven (contexten I-A-296 en I-A-297) hebben alle graven in grondvlak de vorm van een rechthoek met afgeronde hoeken en meten ze tussen 1,6m en 2,4m in de lengte en 0,6m en 1,2 m in de breedte. Twee begravingen (contexten I-A-101 en I-A-174) zijn kleiner (ca. 1m lang en ca. 60cm breed). Van acht crematiegraven kon de houtskoollens worden aangeduid in het grondplan. Uit de coupes blijkt dat de graad van bewaring varieert. De meerderheid van de graven is ondiep bewaard, met een ondiep opvullingspakket en houtskoollens of enkel nog de houtskoollens. Enkele graven zijn dan weer uitzonderlijk goed bewaard (contexten I-A-101, I-A-176, I-A-258, I-A-416 en I-A-418).

Meerdere begravingen springen in het oog door het uitzonderlijke **aardewerk** dat ze opleveren. Met uitzondering van twee volledige bekers in gedraaid, reducerend gebakken aardewerk (contexten I-A-176 en I-A-180), is het overgrote deel van het aardewerk sterk verbrand en in de regel afkomstig van de houtskoollens. Het merendeel van het aardewerk is gedraaid, een kleiner aandeel bestaat uit handgevormd aardewerk. Qua vormen, vinden we o. a. een beker met uitstaande rand in gedraaide, reducerend gebakken aardewerk, waarvoor tot op heden geen parallellen gekend zijn (contexten I-A-176 en I-A-180 - onverbrand, context I-A-187 - verbrand), een beker in gedraaide, reducerend gebakken aardewerk met twee vingertopindrukken op de overgang van buik naar schouder (contexten I-A-102, I-A-258 en I-A-401), een kleine *dolium* in handgevormd, oxiderend gebakken aardewerk met sterk geprofileerde rand (context I-A-101) en een kom in handgevormde, reducerend gebakken aardewerk met handgrepen (context I-A-417). Verscheidene contexten bevatten terra sigillata aardewerk met qua vormen een bord Dragendorff 31, een bord/kom Dragendorff 18/31 en een kopje Dragendorff 33 (contexten I-A-176, I-A-180 en I-A-258). Pompejaans rood aardewerk is slechts vertegenwoordigd door één bord van het type Blicquy 6 (context I-A-25). Diezelfde context bevat als enigste geveerde waar: één kom en twee bekers, waarvan één van het type Hees4/Höpken E23 met zwarte deklaag. Brandrestengraven I-A-180 en I-A-258 vertegenwoordigen de meest rijke aardewerkensembles met een groot aantal individuen.

We merken nog op dat in drie graven, contexten I-A-174, I-A-176 en I-A-180, naast verbrand, ook onverbrand aardewerk is gevonden. Bovenop giften die meegingen op de brandstapel, zijn in deze graven ook onverbrande giften bijgezet. In contexten I-A-176 en I-A-180 betreft het bovendien hetzelfde type beker, waarvoor tot op heden geen parallel is gevonden.

Metalen vondsten zijn weinig aanwezig en sterk gefragmenteerd: functionele ijzeren spijkers met vierkante steel en platte kop, conische nagels die hoogstwaarschijnlijk fungeerden als schoenspijkers en het fragment van een spiraalfibula in koperlegering.

Tenslotte vestigen we nog de aandacht op de beperkte hoeveelheid **verbrand menselijk bot** aanwezig was in de graven. De negentien brandrestengraven zijn allen integraal bemonsterd en gezeefd op 0,5mm. De zeefresidu's zijn bezorgd aan Stichting LAB voor verder fysisch antropologisch onderzoek.⁹² Voor enkele contexten bleek geen bot aanwezig te zijn

(contexten I-A-103, I-A-168, I-A-174, I-A-296 en I-A-297). Daar waar wel verbrand bot aanwezig was, bleken de botfragmenten zo klein, dat macroscopisch geen onderscheid kon gemaakt worden tussen menselijk of dierlijk botmateriaal. Slechts voor drie contexten, I-A-176, I-A-180 en I-A-277 is met zekerheid gesteld dat het om menselijk botmateriaal gaat. Het is opvallend dat de negentien contexten die alle vormelijke kenmerken van een brandrestengraf hebben, zo weinig menselijk botmateriaal bevatten. Is dit het resultaat van tafonomische factoren of eerder van een menselijk handelen, waarbij een selectie is gebeurd na de verbranding op de brandstapel en voor de depositie in de grafkuil? Sommige brandrestengraven waren inderdaad minder goed bewaard, maar veelal was in deze gevallen het opvullingspakket nauwelijks of niet aanwezig, maar de houtskoollens wel nog. Zelfs voor de drie zeer goed bewaarde brandrestengraven, rijd aan aardewerk, contexten I-A-176, I-A-180 en I-A-187, is enkel één fragment of botsnippers bewaard. In dit opzicht lijkt er voor de graven van Lede – Kleine Kouterrede meer sprake te zijn van een selectieve depositie van menselijk botmateriaal, steeds in combinatie met een rituele depositie van aardewerk, doorgaans afkomstig van de veronderstelde zelfde brandstapel (cf. supra: contexten I-A-174, I-A-176 en I-A-180 kregen naast verbrand, ook onverbrand aardewerk).

7.3.5. Vergelijkingsmateriaal in een lokaal kader

Wanneer we de Romeinse brandrestengraven toetsen aan de begravingen in het vlakbij gelegen **Lede - Domein Mesen**⁹³, zijn er zowel overeenkomsten als discrepanties die naar voren treden. Zoals in Kleine Kouterrede, liggen de 12 crematies van Domein Mesen verspreid, individueel of geclusterd per twee in het opgravingsvlak en vertonen ze een variërende oriëntatie. Het aardewerk is eveneens grotendeels afkomstig uit de houtskoollens en verbrand.⁹⁴ Verschillend is de periode waartoe de crematies behoren. De begravingen uit Domein Mesen dateren tussen de 1ste en het begin van de 2de eeuw n. Chr. De begravingen uit Kleine Kouterrede dateren o.b.v. het aardewerk tussen 100 en 300 n. Chr. en, indien gedateerd d.m.v. een 14C-datering op houtskool, tussen 150 en 225 n. Chr. Het aardewerk uit de graven van Domein Mesen is voor een groot deel handgevormd (aansluitend bij de ijzertijdtraditie) of gedraaid, reducerend gebakken. Doorgaans kunnen één tot vier individuen per graf herkend worden. In Kleine Kouterrede daarentegen is het aandeel gedraaid aardewerk beduidend groter en kunnen per graf tot wel acht individuen geteld worden.

Naast brandrestengraven zijn te Domein Mesen ook bewoningsporen aangetroffen, waaronder een kruisvormige, éénschepige gebouwplattegrond en drie wegtracés, met een noordwest-zuidoostelijke of noord-zuidelijke oriëntatie. Met uitzondering van één van de wegtracés (1ste eeuw n. Chr.), dateren deze sporen vanaf de Flavische periode t.e.m. de 1ste helft van de 3de eeuw n. Chr.⁹⁵ Deze datering stemt meer overeen met de datering van de begravingen in Kleine Kouterrede, waar evenwel nauwelijks nederzettingssporen zijn aangetroffen. Aldus kunnen de brandrestengraven in Kleine Kouterrede een latere uitbreiding zijn van het grafveld van Domein Mesen⁹⁶, of kunnen ze aansluiten bij de Romeinse nederzettingssporen in Domein Mesen, of elders in de nabije omgeving.

93 Clement et al., 2011.

94 Clement et al., 2011, 37-41.

95 Clement et al., 2011, 37-39-40-59.

96 Clement et al., 2011, 59.

7.3.6. Vergelijkingsmateriaal in een regionaal kader

Wanneer we kijken naar andere Romeinse crematiegraven in het zuiden van Oost-Vlaanderen vallen twee graven op de site **Sint-Maria-Lierde - Wolfsveld**⁹⁷ op. Net als in drie graven in Kleine Kouterrede, is in beide begravingen een quasi intacte beker in gedraaide, reducerend gebakken aardewerk, type *Stuart 201C*⁹⁸ (1ste-3de eeuw n. Chr.) gevonden. Op één van de bekeraars zijn eveneens twee intentionele vingertopindrukken aangebracht op de schouder. Het aanbrengen van twee vingertopindrukken op de schouder van bekeraars of bekervormige potten is reeds gekend, meer bepaald op individuen uit Bavay (1ste tot vroege 3de eeuw⁹⁹), Erembodegem (2de eeuw)¹⁰⁰, Sint-Martens-Lierde¹⁰¹, Velzeke¹⁰², Destelbergen (90-120 n. Chr., oostelijke grens van het Menapisch gebied)¹⁰³ en zelfs uit Nijmegen (vanaf midden 2de eeuw en later).¹⁰⁴ G. Faider-Feytmans meent dat dit een geëvolueerde, gestileerde vorm kan zijn van de menselijke gezichten op de planeetvazen, typisch voor de zuidelijke regio van het Nervisch gebied. Initieel gaf men een funeraire connotatie aan deze indrukken. Niettemin komen ze ook voor in nederzettingscontexten in de *civitas Nerviorum*, zoals in Bavay en Velzeke, en aan de grens met de *civitas Nerviorum*, zoals in Huise, Sint-Gillis-Dendermonde en Waasmunster-Pontrave. Deze versiering wordt bijgevolg hoofdzakelijk aangetroffen op Nervisch grondgebied.¹⁰⁵

De opgraving in 2010-2011 in **Ronse - De Stadstuin** bracht eveneens een 'grafveld' met een gespreid begravingspatroon aan het licht. Op een terrein van meer dan vijf hectare zijn 20 Romeinse brandrestengraven uit het einde van de 1ste t.e.m. de 3de eeuw opgetekend.¹⁰⁶ Zoals vorige opgravingsprojecten eveneens aantoonde, oversnijden de brandrestengraven elkaar niet. Vermoed wordt dat de graven aan het oppervlak waren gemarkeerd, zodat ze zichtbaar waren in het landschap.¹⁰⁷ Opvallend is de oriëntatie van de begravingen, die afgestemd is enerzijds op een NO-ZW georiënteerd greppelsysteem en anderzijds op een ONO-WZW georiënteerd greppelcomplex. Deze twee greppelsystemen dateren uit dezelfde periode als de brandrestengraven en vormen mogelijk een chronologische en/of ruimtelijke evolutie vanuit de nabijgelegen nederzetting.¹⁰⁸

De crematies van Lede - Kleine Kouterrede vertonen eveneens hoofdzakelijk twee duidelijke oriëntaties, NW-ZO of NO-ZW. De aanwezigheid van slechts één Romeinse greppel en één verondersteld Romeins wegtracé maakt het evenwel onmogelijk om een connotatie met de oriëntatie ervan te verdedigen. Het is niettemin mogelijk dat greppelsystemen buiten het opgravingsgebied gelokaliseerd zijn.

Wanneer we kijken naar het aardewerk afkomstig uit de grafkuilen van Ronse - De Stadstuin, vinden we een beperkt en homogeen geheel. Een parallel met Lede - Kleine Kouterrede is de beker in gedraaid, reducerend gebakken aardewerk van het type *Stuart 201C*, eveneens verbrand. Het gaat om imitaties van gelijkaardig types in Belgische waar (DeruP41-53).¹⁰⁹

97 Verbrugge et al., 2013b, 55-57

98 Stuart, 1963, 73.

99 Loidant & Deru, 2009, 93.

100 Verbrugge et al., 2013a.

101 Verbrugge et al., 2013b, 23-24.

102 Mondelinge informatie J. Deschieter, PAM Velzeke.

103 Hanut & Thoen, 2001, 20.

104 Stuart, 1963, plaat 1:9, type 306.

105 Verbrugge et al., 2013b, 23-24.

106 Pede et al., 2013, 114.

107 Pede et al., 2013, 114.

108 Pede et al., 2013, 127-128.

109 Pede et al., 2013, 128.

Tot slot zijn Romeinse brandrestengraven eveneens goed vertegenwoordigd (meer dan 40) op de site van **Zottegem - Spelaan**.¹¹⁰ Alhoewel de rapportage recent startte, is het duidelijk dat de grafkuilen wederom verspreid aanwezig zijn op het terrein en meermaals geclusterd.¹¹¹ Deze ruimtelijke verspreiding van de crematies lijkt aan te sluiten bij de Vlaamse zandstreek waar onderzoek vaststelde dat Romeinse brandrestengraven vaak geïsoleerd of in kleine clusters voorkomen. Recente opgravingen in de (zand)leemstreek van Oost-Vlaanderen wijzen meer en meer op een soortgelijke situatie.¹¹²

110 Mondelinge communicatie Sigrid Klinkenborg.

111 Pede et al., 2013.

112 Clement et al., 2011, 37.



7.4. MIDDELEEUWEN

De opgraving in Lede - Kleine Kouterrede kenmerkt zich door een uitgesproken tweedeling, zowel chronologisch als ruimtelijk: de sporen uit de metaaltijden en de Romeinse periode bevinden zich op het noordwestelijke, hoger gelegen deel van het terrein, meer bepaald in zone I; de sporen uit de middeleeuwen daarentegen beperken zich tot het laagste gelegen, zuidoostelijke gedeelte van het projectgebied, zone II. De sporen uit de metaaltijden en de Romeinse periode zijn bovendien schaars en sterk verspreid, terwijl de sporen uit de middeleeuwen talrijk en sterk geconcentreerd aanwezig zijn.

In de volgende hoofdstukken kijken we kort naar zone I en spitsten we ons vervolgens toe op de middeleeuwse sporen in zone II. In zijn totaliteit zijn deze middeleeuwse sporen te interpreteren als de ‘negatieven’ van bewoning: gebouwplattegronden, grachten en greppels, waterputten, een waterkuil, poelen, een weg én talrijke kuilen en paalsporen. Twee ‘beperkingen’ stellen zich evenwel bij de bespreking van deze sporen:

Ondanks de grote hoeveelheid sporen kunnen we over het algemeen geen gewag maken van ‘rijke’ contexten. Het aangetroffen aardewerk laat ons toe om in grote lijnen te stellen dat de bewoningsporen hier aangetroffen de volle- (800-1200 n. Chr.), de late- (1200-1400 n. Chr.) en de postmiddeleeuwen (1400-1940) overspannen. Een aantal van deze sporen is toe te wijzen aan één van deze periodes, maar evenveel sporen zijn slechts algemeen te dateren in de middeleeuwen, of zijn helemaal niet te dateren. Een uitzondering vormen de talrijke grachten en greppels waarvoor een meer uitgesproken fasering mogelijk bleek. Het onderscheiden van vijf opeenvolgende fases is zowel gebaseerd op de relatieve chronologie, als op de dateringen aan de hand van het aardewerk. Hoewel het in mindere mate mogelijk is om de overige bewoningsporen te associëren met één van deze vijf fases, kunnen we toch enkele suggesties doen omtrent het gelijktijdig functioneren van bepaalde sporen.

Ten tweede is het als lezer van dit rapport belangrijk om in gedachten te houden dat zone II enerzijds een relatief kleine oppervlakte beslaat van 4362 m², begrensd door de huidige verkaveling en het treintracé, en anderzijds een bijzonder uitgesproken concentratie aan sporen tentoonstelt. Het opgravingsvlak is m.a.w. te beschouwen als een groot kijkvenster. In dit opzicht verschaft het historisch kaartmateriaal ons belangrijke inzichten in de grotere bewoningsgeschiedenis van zone II en de omliggende terreinen. De bewoning die we hier hebben aangetroffen is namelijk niet te bespreken als een besloten geheel, maar als een deel van een groter verhaal.

Omwille van de bovenvermelde vaststellingen hebben we er voor gekozen om in de volgende uiteenzetting de nederzettingssporen **niet chronologisch, maar thematisch** te bespreken. Zo bekijken we **in eerste instantie de voornaamste structuren en contexten**, zoals de gebouwplattegronden, de waterputten en –kuil, de poelen, de weg, de grachten en greppels, maar ook de ‘losse’ kuilen en paalsporen. We zullen hierbij telkens de structuren en contexten bespreken en interpreteren en, waar mogelijk, de vondsten bekijken en een datering vooropstellen. Pas **in tweede instantie** wensen we **een chronologie van de bewoningsgeschiedenis** voorop te stellen, waarbij we meegeven welke contexten en structuren naar alle waarschijnlijkheid samen hebben gefunctioneerd. Tenslotte bekijken we de bewoningssporen op een lokaal niveau, meer bepaald in relatie tot de resultaten van de opgraving in Lede - Domein Mesen, maar ook op een ruimer, regionaal niveau, i.e. het werkingsgebied van SOLVA en bij uitbreiding Vlaanderen.

7.4.1. Zone I

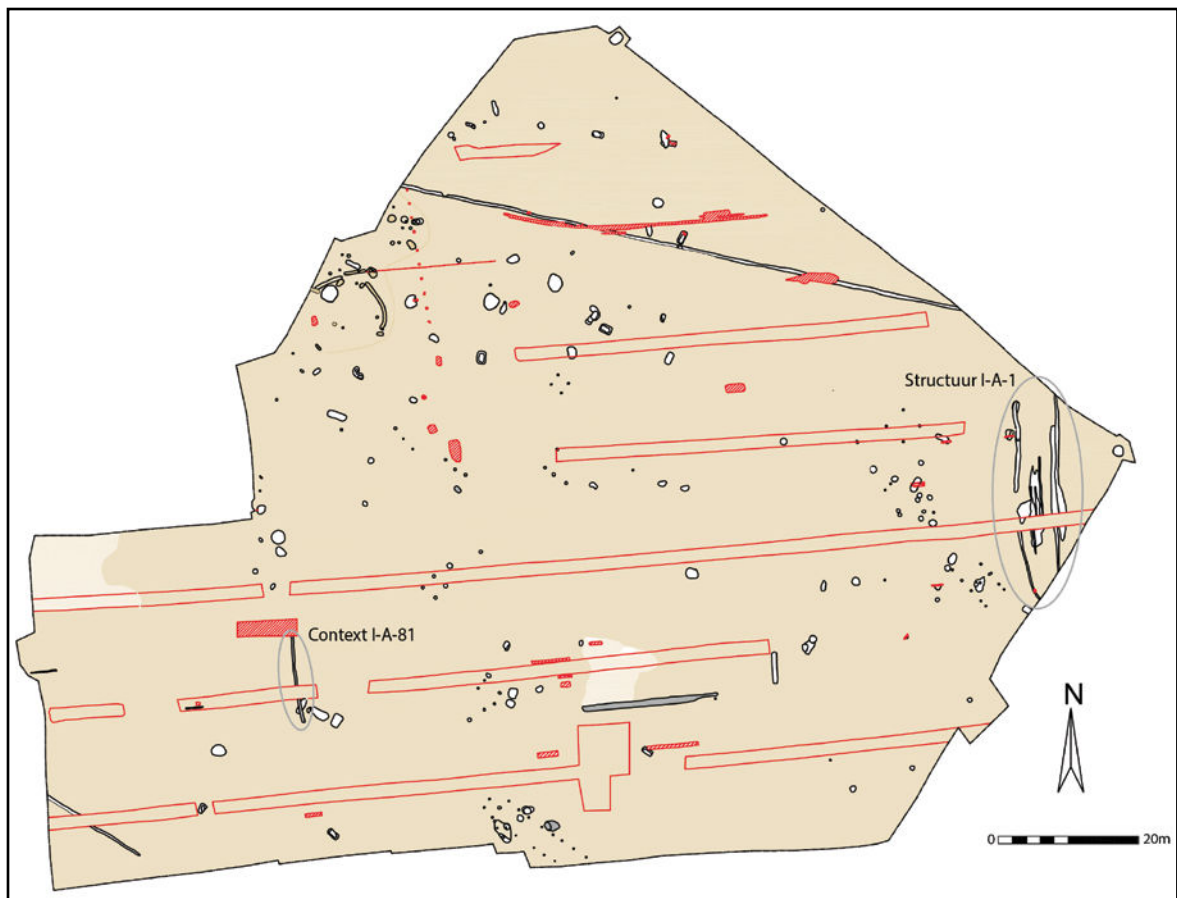
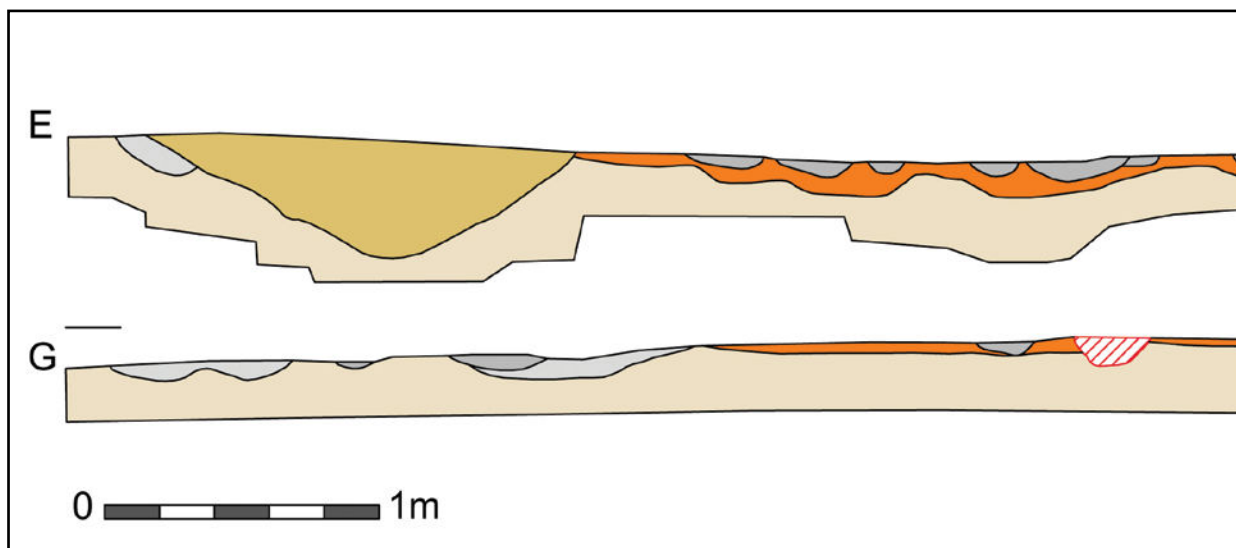


Fig. 137. Zone I grondplan A met aanduiding van de besproken context en structuur, schaal 1/750.

7.4.1.1. Greppel: context I-A-81

Beschrijving en datering

In zone I treffen we nauwelijks sporen aan uit de middeleeuwen of postmiddeleeuwen. Een flard van een noord-zuid georiënteerde greppel in het westen van het vlak, is verondersteld middeleeuws of postmiddeleeuws te zijn (fig. 137). De vulling van de greppel zelf leverde geen diagnostisch aardewerk op, maar in het Romeins brandrestengraf (context I-A-103), dat oversneden is door deze greppel, is intrusief middeleeuws aardewerk aangetroffen. De



veronderstelling dat dit aardewerk afkomstig is uit de greppel, geeft ons de datering ervan ten vroegste in de middeleeuwen.

Tevens beschouwen we de oriëntatie van de greppel als indicatief voor een datering in de (post) middeleeuwen. De N-Z oriëntatie wijkt immers af van de overheersende NW-ZO oriëntatie in de metaaltijden en sluit aan bij de overheersende N-Z, O-W oriëntatie in de middeleeuwen en postmiddeleeuwen, zoals vastgesteld in zone II (cf. infra). Tenslotte merken we op dat de greppel in het verlengde ligt van de huidige noord-zuid georiënteerde perceelsscheiding van de tuinen aan de oostzijde van de Kleine Kouterrede (fig. 1). Deze perceelsgrens vinden we eveneens terug op de historisch kaarten, zowel op de Atlas der Buurtwegen uit 1841 (fig. 13) als op de kaart van Ferraris uit 1771-1777.

7.4.1.2. Weg: structuur I-A-1

Beschrijving en interpretatie

In de oostelijk hoek van zone I kwam een wegstructuur aan het licht (fig. 137). In tegenstelling tot de overheersende NW-ZO oriëntatie in de metaaltijden, heeft deze weg een noord-zuid oriëntatie, parallel met context I-A-81. In het grondvlak is het tracé herkend door de,

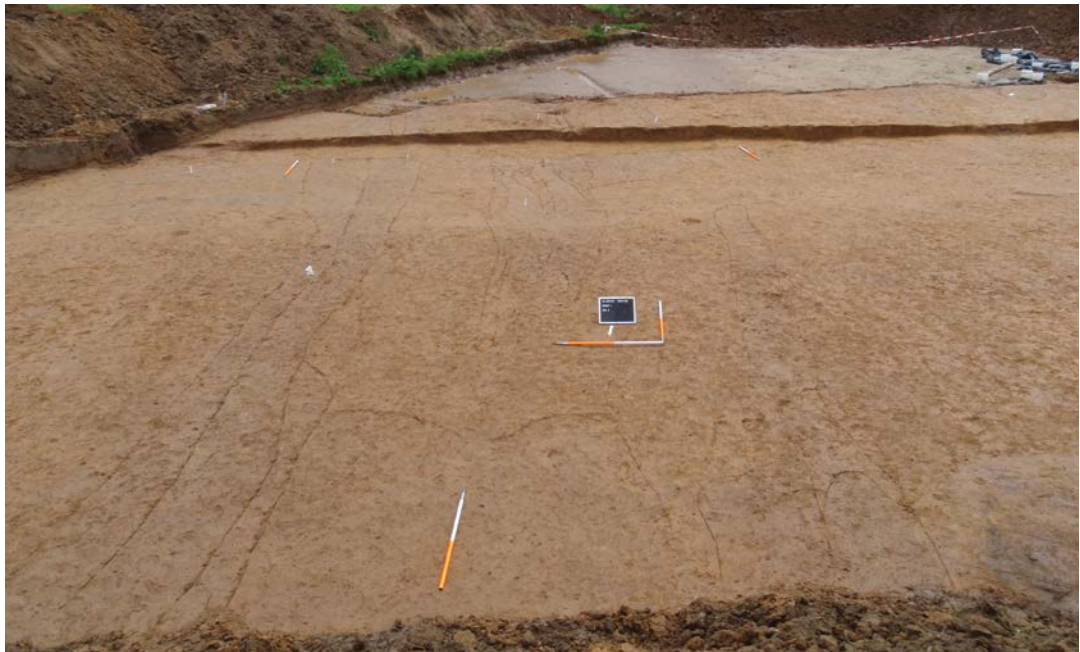


Fig. 138. Zicht op structuur I-A-1 op grondplan A.

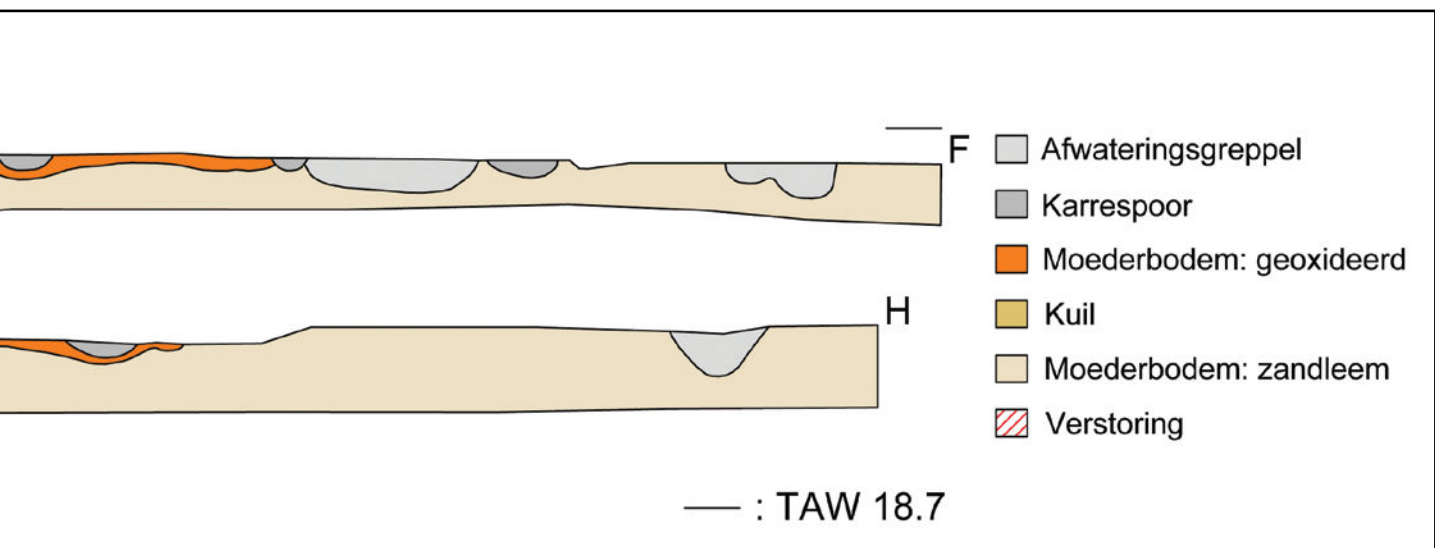


Fig. 139. Coupes EF en GH op structuur I-A-1.

aan weerszijden van het rijvlak, gepositioneerde afwateringgreppels (contexten I-A-1-AB-1, I-A-2 en I-A-166-AB-1) en de karrensporen (contexten I-A-1-EF-2/3/166-GH-3/379/380-EF-2/380-EF-3/381-EF-2/382-EF-2/382-F-3) (fig. 138). Aan de oostelijke zijde heeft de weg twee afwateringgreppels, waarvan de binnenste is doorsneden door een karrenspoor. De binnenste greppel is m.a.w. op een bepaald moment vervangen door een nieuwe greppel, waarbij de weg een beetje is verbreed naar het oosten toe. Het wegdek was onderhevig aan compactie, wat resulteerde in de vorming van een mangaan- en ijzerrijke concretieband (context I-A-378-GH-2). De weg is geregistreerd in doorsnede door middel van twee coupes, gelokaliseerd daar waar de proefsleuf het tracé had vergraven (fig. 139).

Vondsten en datering

Hoewel de vulling van de structuur gecontroleerd is uitgegraven met de kraan, kwamen geen vondsten aan het licht. Voor een datering van deze structuur is bijgevolg geen aardewerk voorhanden. De ligging en de oriëntatie van deze weg verschaften echter wel informatie.



Fig. 140. Zone I en II grondplan A geprojecteerd op de kaart van Ferraris (afwijking is mogelijk).

Zo tonen de historische kaarten (cf. supra) hoe de onderzochte terreinen doorsneden zijn door een weg met een noord-zuid oriëntatie. Een projectie van het opgravingsplan op de kaart van Ferraris toont de ligging van de weg t.o.v. zone I (fig. 140). Deze weg was tot op het moment van de opgraving nog in gebruik en lag in het verlengde van de geasfalteerde Poortseweg. Naar alle waarschijnlijkheid is structuur I-A-1 een voorloper van deze weg. Het wegtracé is klaarblijkelijk op een gegeven moment opgegeven en 18 m opgeschoven naar het oosten. De weg is bijgevolg postmiddeleeuws of ouder.

7.4.2. Zone II

7.4.2.1. Gebouwen (fig. 141)

7.4.2.1.1. Structuur II-A--WX-4

Beschrijving en interpretatie

Een eerste gebouwplattegrond situeert zich nabij de westelijke sleufwand. De structuur is samengesteld uit minstens 9 paalsporen. Deze paalsporen – contexten II-A--WX-4, II-A--WX-5, II-A-316, II-A-317, II-A-318, II-A-322, II-A-323, II-A-328 en II-A-329, vertonen in grondplan en in coupe eenzelfde vulling: houtskoolrijk met een weinig verbrande leem (fig. 142, 143).

Acht kleine paalsporen – contexten II-A-320, II-A-321, II-A-324, II-A-326, II-A-327, II-A-330, II-A-331 en II-A-336, hebben een gelijkaardige vulling (fig. 144), maar rekenen we niet tot de basisstructuur van het gebouw.



Fig. 141. Zone II grondplan A met aanduiding van de besproken structuren, schaal 1/750.



Fig. 142. Zicht op structuur II-A- WX-4 op grondplan A.



Fig. 143. Coupe AB op contexten I-A-322 en I-A-323.



Fig. 144. Coupe AB op context I-A-320.

In grote lijnen is de structuur II-A- -WX-4 opgebouwd uit twee parallelle rijen van enerzijds vier en anderzijds drie grote paalsporen, met een onderlinge afstand van 1,8 of 2 m¹¹³ (fig. 145). In de oostelijke palenrij is een paalspoor ontubbeld naar binnen toe en ontbreekt de meeste noordelijke paal. In de zuidelijke korte zijde is een nokstaander geplaatst. Hoewel het geheel van palen geen perfect symmetrische lay-out vertoont, vormt ze op het eerste zicht een éénschepig gebouw, noord-zuid georiënteerd, met afmetingen van ca. 6 m op 4,6 m en een oppervlakte van 26,75 m². In de zuidelijke helft van het gebouw merken we vijf kleine paalsporen op en in de noordelijke helft drie kleinere paalsporen. Deze laatste springen in t.o.v. van de noord-zuid as, uitgezet door de twee grote palenrijen. De positionering van deze sporen lijkt rekening te houden met de kuilen die zich hier bevinden, met name context II-A-350 ten noordwesten en contexten II-A-286, II-A-286-AB-1, II-A-332-AB-1, II-A-332-AB-2, II-A-332-AB-4, II-A-332-EF-1, II-A-332-EF-2 en II-A-333-CD-1 ten noordoosten van het gebouw (cf. infra: kuilen).

¹¹³ Afstanden tussen de paalsporen en oppervlaktes zijn steeds gemeten van het midden van het paalspoor of het centrum van de paalkern, indien aanwezig.

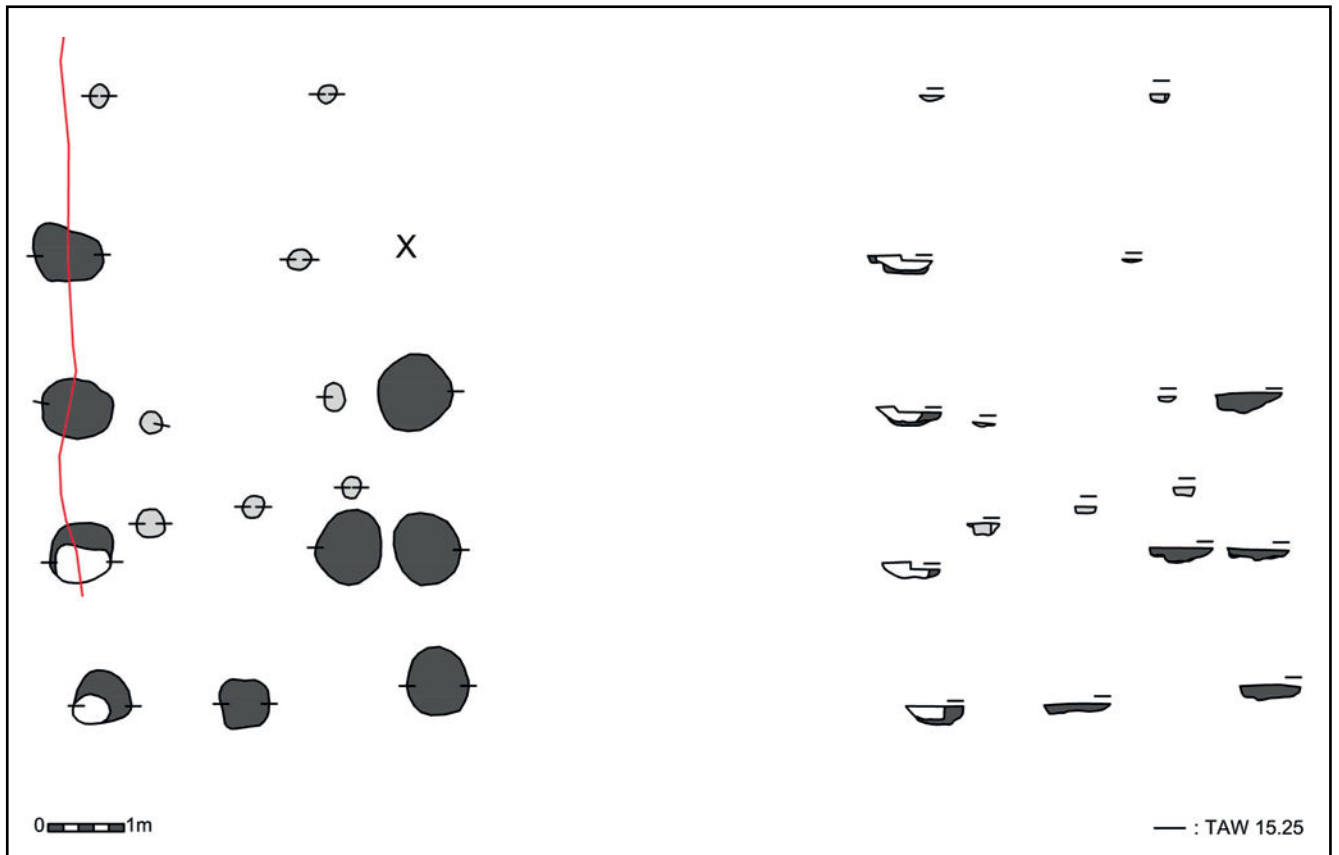


Fig. 145. Structuur II-A- -WX-4, schaal 1/100.

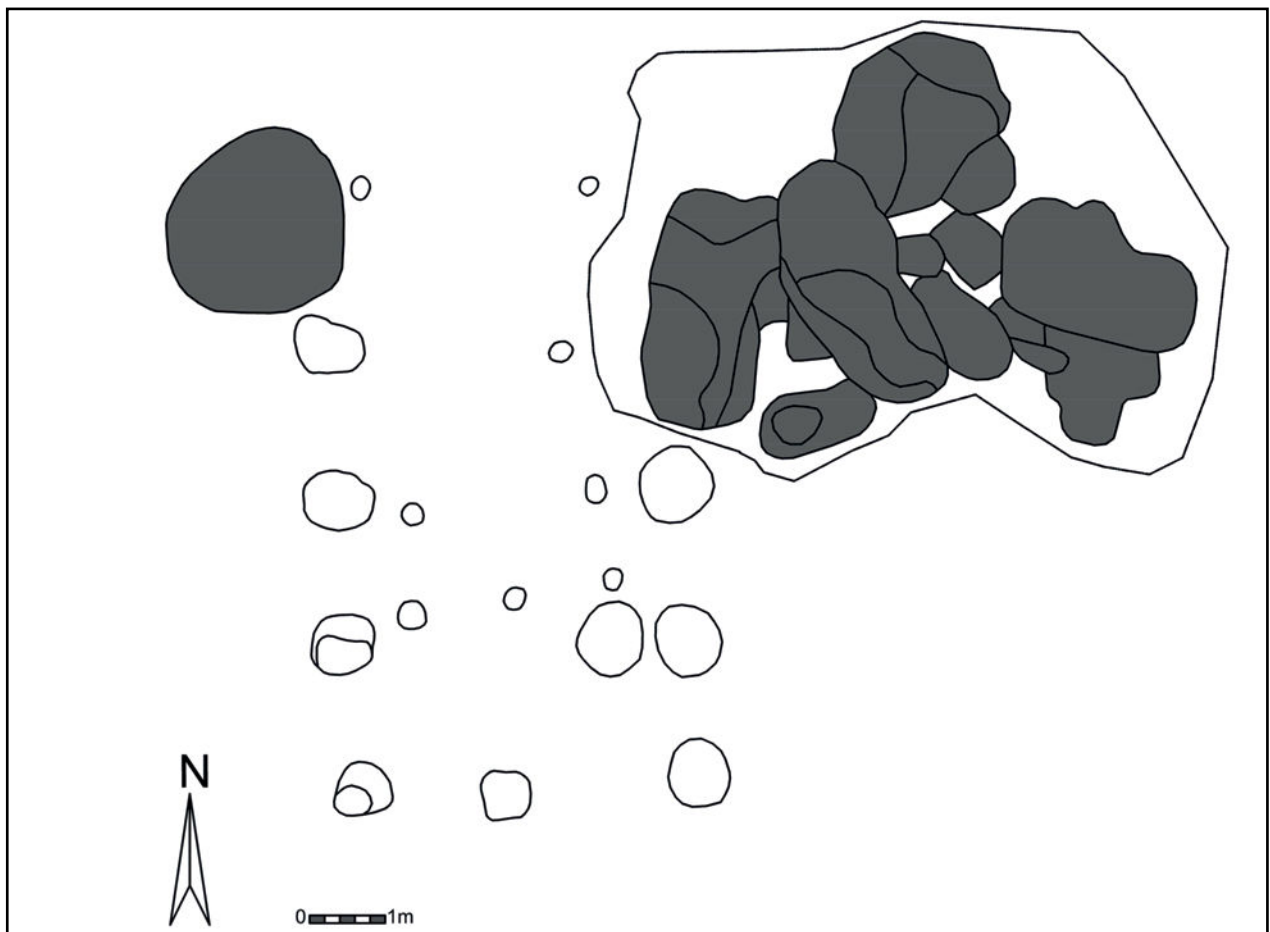


Fig. 146. Structuur II-A- -WX-4 op grondplan A, in combinatie met de nabijgelegen kuilen, op grondplan B, schaal 1/100.

Welke functie deze structuur vervulde, is vooralsnog niet duidelijk. Desalniettemin beschouwen we het eerder als een bijgebouw, mogelijk zelfs bij de structuur II-A-298 (cf. infra).

We vestigen tenslotte de aandacht op de cluster kuilen net ten noordoosten en -westen van het gebouw (cf. infra) (fig. 146). Niet alleen hebben ze een vulling die sterk lijkt op de vulling van de paalsporen (maar nog rijker aan houtskool en verbrande leem) (fig. 147), ook de aardewerkvondsten sluiten aan bij elkaar. De aard van de vulling van de paalkuilen en van de nabijgelegen kuilen kan bovendien een indicator zijn voor de omstandigheden van de opgave van het gebouw. De grote hoeveelheid grote brokken houtskool en verbrande leem doen namelijk vermoeden dat het gebouw geleden heeft onder een brand en dat de kuilen zijn gegraven om de resten van het afgebrande gebouw in te storten.



Fig. 147. Zicht op de cluster kuilen ten noordoosten van structuur II-A- WX-4 op grondplan B.

Vondsten en datering

Wat de vondsten betreft, bevatten slechts vier van de zeventien paalsporen materiaal. Naast enkele scherven grijs gedraaid aardewerk, zijn vooral een scherf grijs gedraaid aardewerk met radstempelversiering¹¹⁴ en een scherf roodbeschilderd Rijnlands aardewerk¹¹⁵ aanwijzingen om deze structuur aan de volle middeleeuwen toe te wijzen, meer bepaald tussen 900 en 1050 n. Chr.

Deze datering vindt bevestiging in de datering van de nabijgelegen houtskoolrijke kuilen (cf. infra). Deze kuilen zijn namelijk naar alle waarschijnlijkheid te associëren met de opgave van het gebouw. De vulling van de kuilen leverde iets meer aardewerk op, eveneens kenmerkend voor de volle middeleeuwen, gedateerd tussen 900 en 1050 n. Chr.: handgevormd aardewerk met een donkere kern (zgn. Verhaeghe groep A)¹¹⁶, roodbeschilderd Rijnlands aardewerk

114 De Grootte, 2014, 139-140. Eenvoudige radstempel patronen van enkelvoudige lijnen van driehoekjes, uitsluitend toegepast op kogelpotten, dateren in de 10de en 11de eeuw n. Chr. Op basis hiervan sluiten we de 12de eeuw uit.

115 De Grootte, 2014, 311-325. Te dateren tussen de 10de en het midden van de 12de eeuw n. Chr.

116 De Grootte, 2014, 325-333. Te dateren in de eerste helft of het midden van de 10de eeuw en de tweede helft van de 11de eeuw. Op basis hiervan sluiten we de 12de eeuw uit.

en grijs gedraaid aardewerk met radstempelversiering, zowel wandscherven als twee randscherven van kogelpotten.

Wat een datering op basis van gebouwtypologie betreft, merken we op dat gebouwplattegrond II-A- -WX-4 niet past in het type van het drieschepige woonhuis (met een grote middenruimte en smalle zijbeuken, gedefinieerd door twee dubbele palenrijen), dat binnen het werkingsgebied van SOLVA reeds meermaals is aangetroffen (Ronse – De Stadstuin¹¹⁷, Ronse – Pont West¹¹⁸, Kruishoutem – Containerpark¹¹⁹ en Erembodegem – Zuid IV¹²⁰) en als kenmerkend wordt beschouwd voor de volle middeleeuwen¹²¹. Structuur II-A- -WX-4 is een éénschepig gebouw, opgebouwd uit twee parallelle palenrijen van oorspronkelijk vier paalsporen en één nokstaander.

7.4.2.1.2. Structuur II-A-289

Beschrijving en interpretatie

Een tweede gebouw ligt ca. 8 m ten zuiden van structuur II-A- -WX-4, eveneens nabij de westelijke sleufwand (fig. 141). De ONO-WZW georiënteerde plattegrond is oversneden door een gracht, context II-A-47-BA-1, waardoor deze slechts deels is bewaard. De interpretaties over de plattegrond in zijn veronderstelde totaliteit zijn bijgevolg onder voorbehoud. Momenteel rekenen we 19 paalsporen tot de structuur en dit omwille van hun overeenkomsten qua vorm en vulling: contexten II-A-289, II-A-290, II-A-291, II-A-303, II-A-304, II-A-305, II-A-307, II-A-308, II-A-310, II-A-311, II-A-312, II-A-313, II-A-314, II-A-315, II-A-340, II-A-341, II-A-343, II-A-345 en II-A-347 (fig. 148-150).



Fig. 148. Zicht op structuur II-A-289 op grondplan A.

117 Pede et al., 2015, 185-195: fig. 87 en fig. 88. Respectievelijk gedateerd in de 10de en eerste helft van de 11de eeuw, en in de late 9de tot begin 11de eeuw n. Chr.

118 De Graeve, mondelinge mededeling, onuitgegeven rapport: 10de eeuw.

119 Vanholme et al., 2015, 29-38: fig. 20 en fig. 30. Respectievelijk gedateerd in de 10de en eerste helft van de 11de eeuw, en in de 11de eeuw.

120 Van de Vijver et al., 2008. 12de tot vroege 13de eeuw n. Chr.

121 De Clercq, 2017, 55-59.



Fig. 149. Coupe AB op context I-A-308.



Fig. 150. Coupe AB op contexten I-A-345 en I-A-347.

Zoals gesteld is de huidige samenstelling van de gebouwplattegrond een interpretatie onder voorbehoud. Volgens deze interpretatie is structuur II-A-289 een éénschepig gebouw met twee parallelle palenrijen (fig. 151). Hierbij is de noordelijke lange zijde samengesteld uit zes paalsporen, opvallend goed bewaard, met steeds een duidelijke paalkern (contexten II-A-289, II-A-305, II-A-307, II-A-308, II-A-312 en II-A-313), met een variërende onderlinge afstand (2,3 m, 2,6 m, 3,1 m, 3,3 m)¹²². De noordoostelijke hoekstaander (context II-A-289) springt enigszins in t.o.v. de overige paalsporen. Twee paalsporen van deze palenrij zijn ont dubbeld, mogelijk het resultaat van een herzetting of een versteviging van de oorspronkelijk palen (contexten II-A-312/II-A-311 en II-A-305/II-A-304). De zuidelijke palenrij is oversneden door een gracht en telt slechts twee bewaarde paalsporen (contexten II-A-291 en II-A-303) (met een onderlinge afstand van 3,3 m). De korte zijdes van het gebouw verschillen onderling van lay-out. De westelijke zijde bestaat uit vijf paalsporen en is duidelijk afgerond. De oostelijke korte wand daarentegen bestaat uit twee hoekpalen en één kleiner centraal paalspoor, maar is eveneens lichtjes afgerond. Tenslotte vallen drie kleinere paalsporen op doordat ze 1,5 m uitspringen t.o.v. de noordelijke palenrij (contexten II-A-314, II-A-315 en II-A-310). We veronderstellen dat

¹²² Afstanden tussen de paalsporen en oppervlaktes zijn steeds gemeten van het midden van het paalspoor of het centrum van de paalkern, indien aanwezig.

dit de resten zijn van een ingangspartij. In navolging van deze interpretatie bedragen de afmetingen van het gebouw 15,3 m op 5,3 m en beslaat het een oppervlakte van ca. 8,1 m².¹²³

De datering van het gebouw in de volle middeleeuwen (cf. infra) laat een mogelijke tweede interpretatie toe. Deze periode is immers onder meer gekenmerkt door een zeer herkenbaar type gebouwplattegrond: drieschepig, met een grote middenruimte en smalle zijbeuken, gedefinieerd door twee dubbele palenrijen. Dit gebouwtype komt voor met rechte wanden of met afgeronde wanden, de zogenaamde boothuizen.¹²⁴ Als we de lay-out van de

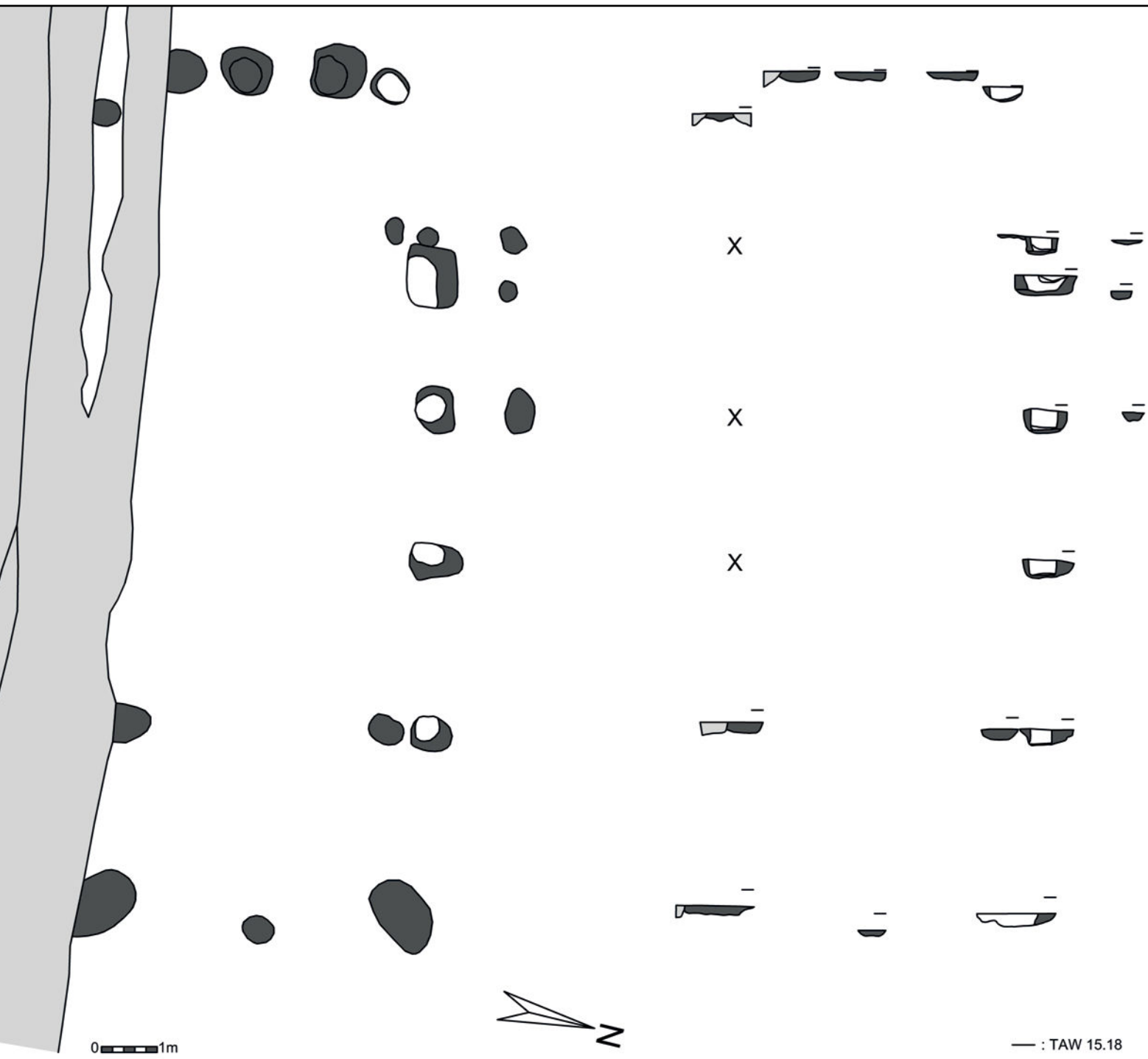


Fig. 151. Structuur II-A-289, schaal 1/100.

¹²³ Afstanden tussen de paalsporen en oppervlaktes zijn steeds gemeten van het midden van het paalspoor of het centrum van de paalkern, indien aanwezig.

¹²⁴ De Clercq, 2017, 55-59.

paalsporen van het gebouw II-A-289 vergelijken met dit volmiddeleeuwse gebouwtype, dan zien we enerzijds enkele overeenkomsten en anderzijds enkele discrepanties. Volgens een interpretatie als drieschepig gebouw is de plattegrond in Lede incompleet. We merken namelijk slechts één duidelijke palenrij op: de noordelijke lange zijde. In de veronderstelling dat we te maken hebben met een drieschepige gebouwplattegrond zijn de drie kleinere uitspringende paalsporen te interpreteren als de restanten van de oorspronkelijke palenkoppels van de noordelijke dubbele palenrij. Als dusdanig kunnen we stellen dat deze paalsporen samen de noordelijke dubbele palenwand van het gebouw definiëren, waarvan de binnenste rij dieper gefundeerd was. Als we hetzelfde stramien hanteren voor de zuidelijke gebouwwand dan stellen we vast dat het merendeel van de paalsporen vergraven is door de recentste fase van de gracht, context II-A-47-BA-1, en mogelijk ook door de oudste fase, context II-A-47-BA-2. Op basis van extrapolatie kunnen we voor dit veronderstelde drieschepige gebouw de volgende afmetingen suggereren: 15,3 m x 9 m (opp. ca. 137 m²).

Naar gebruik toe vermoeden we dat de gebouwplattegrond, structuur II-A-289, oorspronkelijk een hoofdgebouw was en een woonfunctie vervulde. Gelegen in de nabijheid van structuur II-A- -WX-4 is het mogelijk dat ze samen hebben gefunctioneerd, als hoofd- en bijgebouw, loodrecht op elkaar gepositioneerd.

Vondsten en datering

Het aardewerk uit de paalsporen is schaars en bovendien gemengd. Naast een scherp steengoed en een scherp rood aardewerk met witte deklaag, treffen we een scherp grijs handgevormd aardewerk en enkele wandscherven grijs gedraaid aardewerk aan. Slechts twee paalsporen zijn met zekerheid in de volle middeleeuwen te dateren o.b.v. handgevormd aardewerk met een donkere kern (zgn. Verhaeghe groep A)¹²⁵. Twee scherven roodbeschilderd Rijnlands aardewerk¹²⁶, waaronder een fragment van een voet met standvin, zijn afkomstig uit de gracht, context II-A-47-AB-1 (cf. infra: fase 4, gedateerd in de eerste helft van de 14de eeuw), maar naar ons vermoeden vergraven door de gracht en oorspronkelijk afkomstig uit paalspoor II-A-341.

Gezien de beperkte informatie ter datering van deze structuur, is geopteerd het houtskool uit één van de duidelijke paalsporen (context II-A-308) te dateren door middel van een 14C-analyse. Dit resulteerde in een datering met 95,4% waarschijnlijkheid tussen 890AD en 1020AD.¹²⁷ Een datering in de volle middeleeuwen, die tevens aansluit bij de datering van structuur II-A- -WX-4.

7.4.2.1.3. Structuur II-A-89

Beschrijving en interpretatie

Op de oostelijke helft van het terrein, tussen de gracht, context II-A-56, en de weg, structuur II-A-47-OP-2, treffen we een derde gebouwplattegrond aan (fig. 141, 152). Dertien paalsporen hebben allen onmiskenbaar dezelfde vulling: contexten II-A-89, II-A-91, II-A-93, II-A-95, II-A-96, II-A-239, II-A-240, II-A-245, II-A-246, II-A-247, II-A-249, II-A-251, II-A-252 en II-A-493 (fig. 153, 154).

Drie palenrijen geven vorm aan een tweeschepig gebouw met een noord-zuid oriëntatie en afmetingen van 10,1 m bij 5,8 m (oppervlakte: ca. 60 m²)¹²⁸ (fig. 155). De centrale palenrij omvat vier duidelijk zwaardere paalsporen, groter in grondplan en ook dieper gefundeerd in coupe.

¹²⁵ De Grootte, 2014, 325-333: te dateren in de eerste helft of het midden van de 10de eeuw en de tweede helft van de 11de eeuw. Op basis hiervan sluiten we de 12de eeuw uit.

¹²⁶ De Grootte, 2014, 311-325: te dateren tussen de 10de en het midden van de 12de eeuw n. Chr.

¹²⁷ Bijlage 2. RICH-21962 (12-LED-KK-395): 1075±29BP.

¹²⁸ Afstanden tussen de paalsporen en oppervlaktes zijn steeds gemeten van het midden van het paalspoor of het centrum van de paalkern, indien aanwezig.

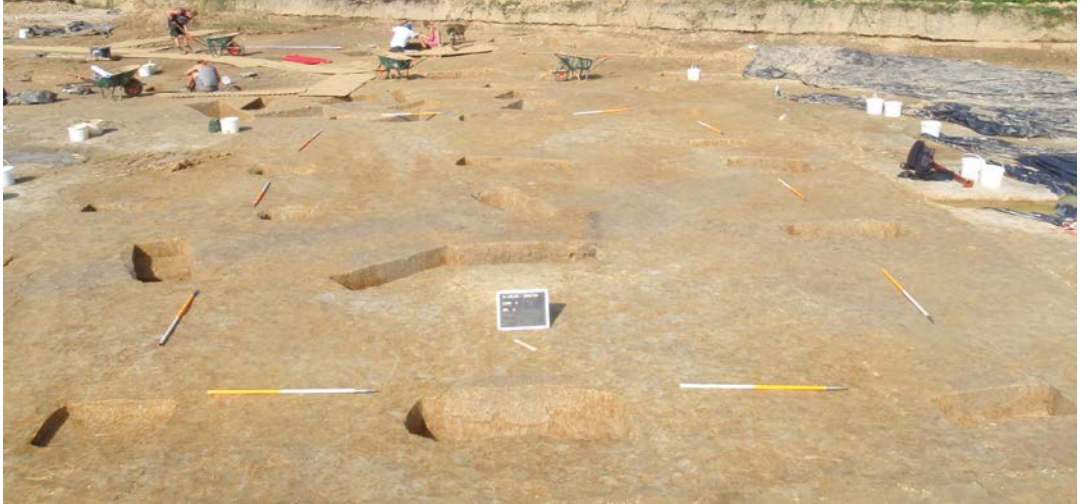


Fig. 152. Zicht op structuur II-A-89 op grondplan A.



Fig. 153. Coupe AB op context II-A-240.

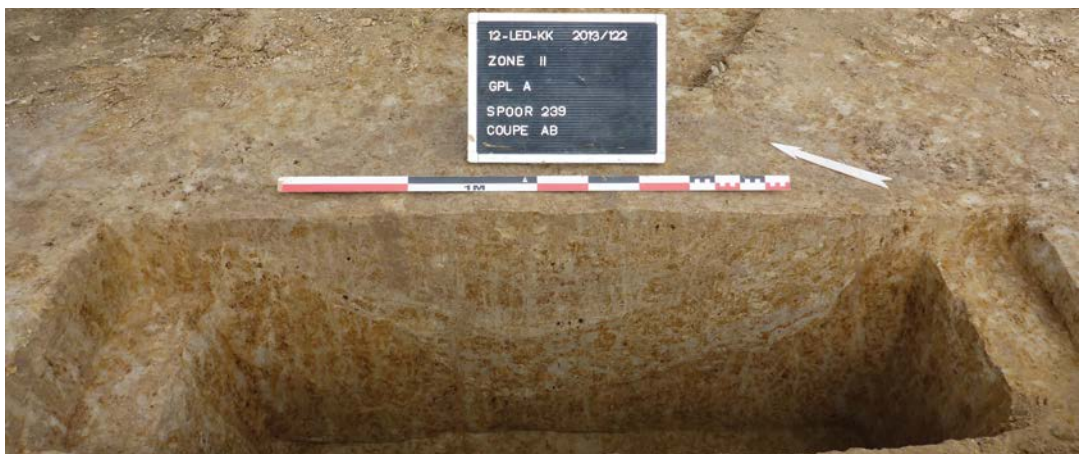


Fig. 154. Coupe AB op context II-A-239.

De buitenste palenrijen bestaan telkens uit vier kleinere palen. De rechte lijn waarop de centrale palen zijn uitgezet, herhaalt zich niet voor de buitenste palenrijen. Voor de oostelijke palenrij liggen de hoekpalen op één lijn, maar springen de twee overige paalsporen een beetje uitwaarts. Dit geldt ook voor de westelijke palenrij, waarbij één paalspoor eveneens een beetje uitwaarts springt, terwijl context II-A-93 inwaarts springt. Het lijkt wel of dit paalspoor rekening houdt met de greppel, context II-A-94, daar waar paalspoor II-A-246 van de oostelijke palenrij, de greppel duidelijk oversnijdt. Mogelijk hoort context II-A-93, ondanks zijn gelijkaardige vulling, niet bij de plattegrond en bleek een paalspoor t.h.v. greppel II-A-94 niet bewaard.

Hoewel de paalsporen in grondplan een weinig regelmatige vorm tonen, getuigen ze in coupe toch van een vrij regelmatige rechthoekige vorm en van een scherpe aflijning. In doorsnede is geen duidelijk kern en insteek te ontwaren, maar vertonen ze allen een zeer gelijkaardige heterogene vulling: een mengeling van versmeten moederbodem met grijze vlekken, met af en toe een gelaagd pakket. Het is op basis van deze vulling dat we het paalspoor, context II-A-95, als onderdeel van dit gebouw beschouwen. Dit paalspoor ligt vlak naast context II-A-294, zonder elkaar te oversnijden. Is eerstgenoemde een herzetting of een versteviging van laatstgenoemde? Het is in elk geval niet met zekerheid te achterhalen.

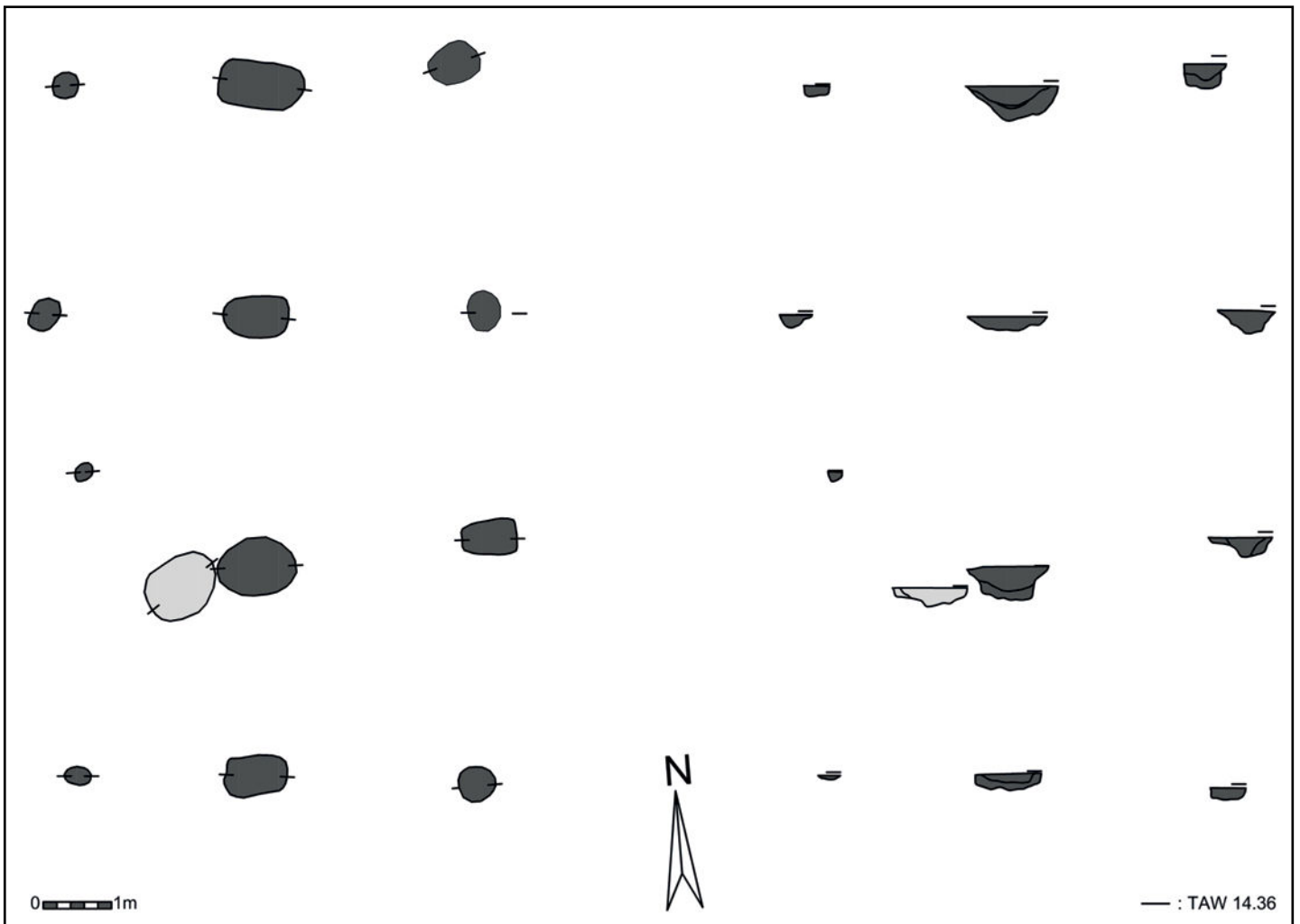


Fig. 155. Structuur II-A-89, schaal 1/100.

Vondsten en datering

Voor de datering van deze structuur hebben we slechts één wandscherf in grijs gedraaid aardewerk ter beschikking. Louter op basis van de relatieve chronologie kunnen we alvast stellen dat het gebouw niet ouder is dan 900 n. Chr.: één paalspoor, context II-A-246, oversnijdt immers de greppel, context II-A-94, die volmiddeleeuws is gebleken (cf. infra: fase 1).

Middeleeuwse parallellen voor tweeschepige gebouwen zijn schaars (cf. infra). Indien aangetroffen situeren ze zich doorgaans in de vroege middeleeuwen. Slechts één parallel (Sint-Denijs-Westrem) dateert in de volle middeleeuwen (cf. infra).¹²⁹

Aangezien vondstmateriaal afwezig is en typologische parallellen nauwelijks voorhanden zijn, zijn twee ¹⁴C-dateringen op houtskool uitgevoerd (contexten II-A-246 en II-A-249). De resultaten lopen echter uiteen in de tijd en hebben geen overlap. Met 95,4% waarschijnlijkheid is het houtskoolstaal uit context II-A-246 gedateerd tussen 1020AD en 1160AD en het houtskoolstaal uit context II-A-249 tussen 1150AD en 1270AD.¹³⁰

We beschouwen de tweede datering als de correcte datering voor deze structuur. We associëren dit gebouw immers niet met de reeds beschreven volmiddeleeuwse bewoning in het westen van het vlak. Voor de gebouwstructuren II-A- -WX-4 en II-A-89 is een datering in de 10de en 11de eeuw n. Chr. van kracht, de 12de eeuw is met zekerheid uitgesloten. Ook de relatieve chronologie sluit hierbij aan. Zo is het gebouw recenter dan de greppel, context II-A-94, die we in verband brengen met en gelijktijdig beschouwen met een waterput, structuur II-A-295. De aanleg van deze waterput is o.b.v. dendrochronologisch onderzoek geplaatst in de jaren 1067/1068 (cf. infra). Bijgevolg dateert het gebouw met zekerheid na 1067/1068.

7.4.2.1.4. Structuur II-A-10

Beschrijving en interpretatie

Een beduidend kleinere gebouwplattegrond, samengesteld uit acht paalsporen, treffen we aan vlak tegen de zuidelijke sleufwand (fig. 141): contexten II-A-10, II-A-15, II-A-17, II-A-18-CD-1, II-A-23, II-A-24, II-A-25 en II-A-26. Het gebouw en de omliggende sporen bleken bij de aanleg van het vlak afgedekt te zijn door een donkergrijze laag, rijk aan houtskool en verbrande leem (context II-A- -BA-3, cf. supra), ook vastgesteld in de bodemprofielen BA, UV en YZ. In eerste instantie is met de kraan tot op deze laag afgegraven, in de veronderstelling dat we te maken hadden met een begrensd spoor. Pas in een tweede instantie, wanneer bleek dat het een laag was, is beslist deze weg te graven. Context II-A- -BA-3 kan bijgevolg beschouwd worden als een *terminus ante quem* voor de onderliggende sporen, die qua vulling allen sterk op elkaar lijken (cf. infra).

De acht paalsporen definiëren een tweeschepige, rechthoekige structuur van 14,3 m² (4,35 m bij 3,25 m)¹³¹ met een oostnoordoost, westzuidwest oriëntatie (fig. 156). De palen vertonen in coupe allen dezelfde vulling: heterogeen grijs, gemengd of gelaagd met moederbodem, houtskoolspikkels en een weinig verbrande leemspikkels (fig. 157, 158). In de directe omgeving van de structuur merken we een aantal paalsporen op met een zeer gelijkaardige vulling: contexten II-A-3, II-A-5-IJ-4, II-A-6, II-A-115 en II-A-117. We kunnen deze voorlopig echter niet passen in de lay-out van de plattegrond zoals ze nu is opgevat. Momenteel vatten we de structuur niet op als een woongebouw, maar als een 8-palige spieker (fig. 159). Door de ligging van de structuur aan de zuidelijke sleufwand, bestaat evenwel de mogelijkheid dat we hier slechts een gedeelte van een groter gebouw hebben aangesneden, dat zich in feite verder zuidwaarts uitstrekt, voorbij de grenzen van het opgravingsvlak.

¹²⁹Hoorne et al., 2008, 33-37.

¹³⁰Bijlage 2. RICH-21913 (12-LED-KK-684): 958±33BP en RICH-21909 (12-LED-KK-621): 836±29BP.

¹³¹Afstanden tussen de paalsporen en oppervlaktes zijn steeds gemeten van het midden van het paalspoor of het centrum van de paalkern, indien aanwezig.



Fig. 156. Zicht op structuur II-A-10 op grondplan A.



Fig. 157. Coupe AB op context I-A-25.

Vondsten en datering

Uit de paalsporen konden slechts 11 wandscherven in lokaal grijs gedraaid aardewerk gerecupereerd worden. Dit levert een eerder algemene middeleeuwse datering op (1050-1400). De context II-A-BA-3, die geldt als *terminus ante quem*, krijgt op basis van het overwegend grijs gedraaid aardewerk, met diagnostische scherven van een kan/kruik, voorraadpot en kom, en één scherf steengoed, een datering in de 14de eeuw. Niet alleen de datering van deze *terminus ante quem*, maar ook de datering van een reeks nabijgelegen sporen die we in verband brengen met dit gebouw, o.a. op basis van hun zelfde vulling, motiveert ons om het gebouw te plaatsen in de late middeleeuwen, in de 13de of 14de eeuw.



Fig. 158. Coupe AB op context I-A-17.

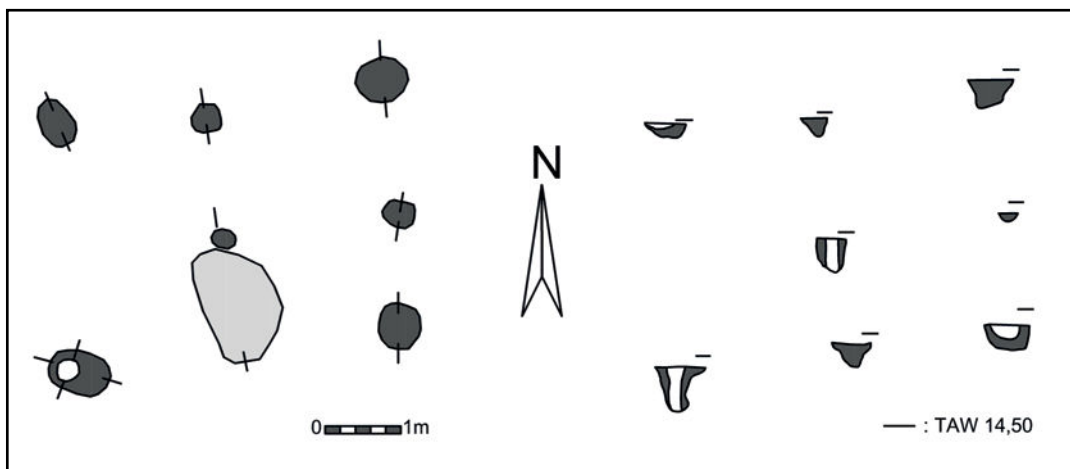


Fig. 159. Structuur II-A-10, schaal 1/100.

7.4.2.1.5. Structuren II-A-59 en II-A-184

Beschrijving en interpretatie

Tenslotte vestigen we de aandacht op het centrale deel van het opgravingsvlak (fig. 141). In een rechthoekige ruimte afgebakend door grachten en greppels troffen we een grote concentratie sporen aan (cf. infra). In dit geheel van sporen konden we op het eerste zicht een aantal lijnen ontwaren. Bij het couperen van de sporen kwamen duidelijke paalsporen en kuilen naar voor, maar evenzeer waren bepaalde sporen moeilijk te interpreteren. Hoewel we de gedigitaliseerde grondplannen in detail hebben bestudeerd en meerdere combinaties van sporen hebben overwogen, zijn we er uiteindelijk niet in geslaagd een volwaardige gebouwplattegrond te definiëren. We wensen evenwel onder voorbehoud twee structuren naar voor te schuiven.

Structuur II-A-184 bestaat uit een rij van vier identieke paalsporen: contexten II-A-184, II-A-199, II-A-200 en II-A-202 (fig. 160, 161). Met een bijna noord-zuid oriëntatie beslaat de palenrij een lengte van 8,1 m, met een onderling afstand van 2,4 en 2,8 m (fig. 162)¹³². Indien we deze structuur beschouwen als de restanten van een woongebouw, dienen we te veronderstellen dat enkel de dieper gefundeerde centrale palenrij bewaard is gebleven en we oorspronkelijk te maken hadden met een tweeschepig gebouw, zoals structuur II-A-89 (cf. supra). Dit is plausibel, te meer daar, in vergelijking met structuur II-A-89, de paalsporen ondiep bewaard zijn. De parallel met gebouwstructuur II-A-89 stelt zich nog verder, aangezien structuur II-A-184 eveneens overeenkomsten vertoont qua opbouw, oriëntatie en aard van de paalsporen.



Fig. 160. Zicht op structuur II-A-184 op grondplan A.



Fig. 161. Coupe AB op context II-A-200.

¹³² Afstanden tussen de paalsporen en oppervlaktes zijn steeds gemeten van het midden van het paalspoor of het centrum van de paalkern, indien aanwezig.

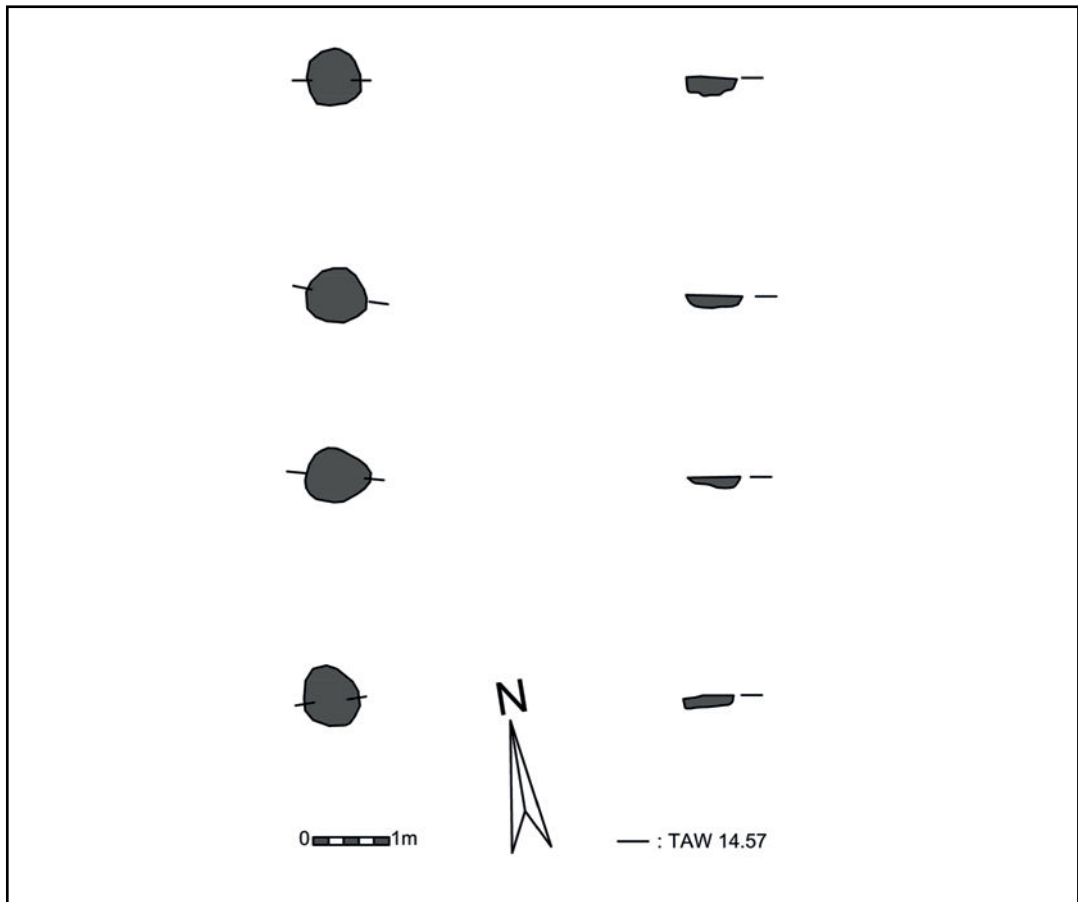


Fig. 162. Structuur II-A-184, schaal 1/100.

Een tweede structuur, II-A-59, ligt 5 m ten zuiden hiervan en omvat een rechthoekige constructie samengesteld uit zeven paalsporen (fig. 163): II-A-59, II-A-62, II-A-66, II-A-142, II-A-152, II-A-153, II-A-154 en II-A-155 (fig. 164, 165). We interpreteren deze structuur, met enige reserve, als een klein gebouwtje van maximum 8,75 m bij 4,75 m (opp. 36,77 m²) (fig. 166)¹³³. Met een quasi noord-zuid, oost-west oriëntatie volgt dit gebouwtje de oriëntatie van de palenrij II-A-184. De westelijke korte zijde van structuur II-A-59 ligt bovendien perfect in het verlengde van II-A-184. We merken op dat binnen de grenzen van de structuur zich een aantal kuilen bevinden: contexten II-A-145, II-A-147-AB-1, II-A-147-CD-1, II-A-147-EF-2, II-A-148-CD-2 (cf. infra). Of de kuilen en het gebouw samen hebben gefunctioneerd, kunnen we niet met zekerheid stellen.

Bij het couperen bleken de paalsporen van deze structuren doorgaans dezelfde homogeen grijze vulling te hebben en ondiep bewaard te zijn (fig. 164 en 165). We dienen evenwel in rekening te brengen dat we in dit vlak behoorlijk diep hebben afgegraven gezien de aanwezigheid van een pakket colluvium, dat we te maken hebben gehad met behoorlijk wat wateroverlast waarbij veel grond is weggespoeld én dat dit ons noodzaakte het vlak meermaals herop te schaven.

¹³³ Afstanden tussen de paalsporen en oppervlaktes zijn steeds gemeten van het midden van het paalspoor of het centrum van de paalkern, indien aanwezig.

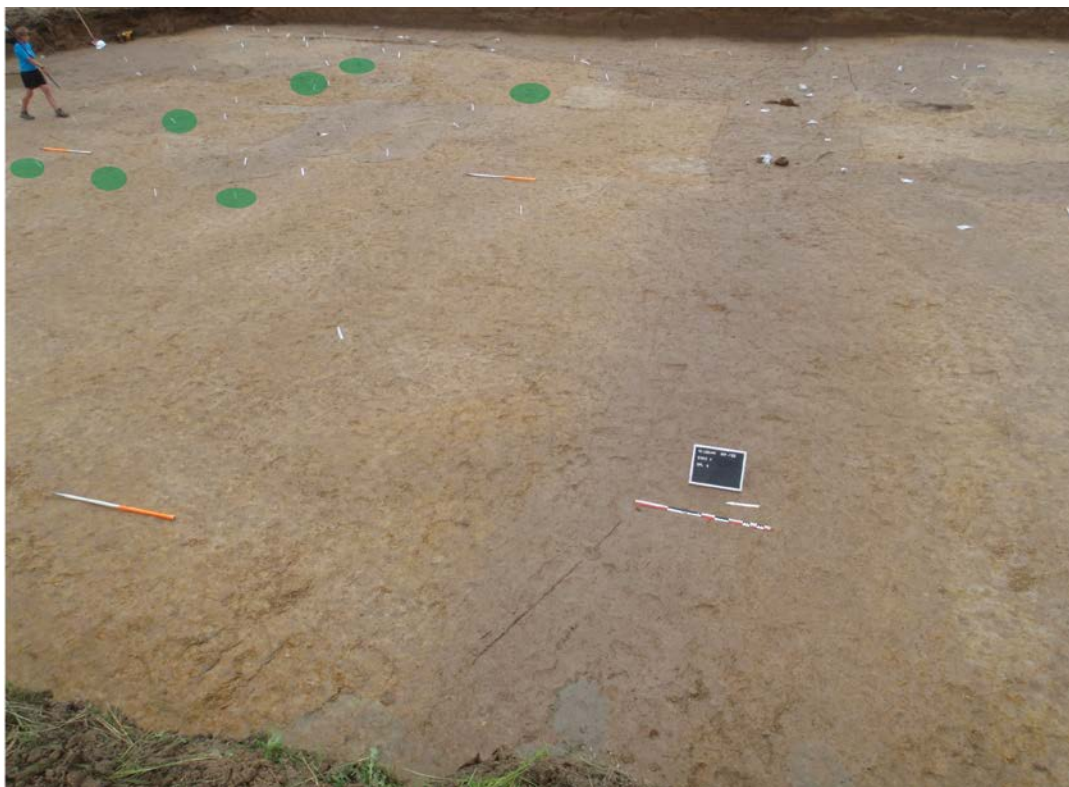


Fig. 163. Zicht op structuur II-A-59 in grondplan A.



Fig. 164. Coupe AB op context II-A-200.

Vondsten en datering

Slechts één paalspoor van structuur II-A-184 bevatte een scherf grijs gedraaid aardewerk van een kan/kruik, waarvoor een ruime datering tussen 1050 en 1400 geldt. Structuur II-A-59 leverde totaal geen vondsten op.

De structuren bevinden zich in het midden van een zone die gekenmerkt is door een middeleeuwse bewoning. Zo zijn beide structuren omgeven door zowel vol- als laatmiddeleeuwse sporen, met binnen de grenzen van structuur II-A-59 enkele volmiddeleeuwse kuilen, met een gelijkaardige vulling. Er zijn echter geen oversnijdingen vast te stellen op basis waarvan we een relatieve datering kunnen vooropstellen. Bovendien



Fig. 165. Coupe AB op context II-A-62.

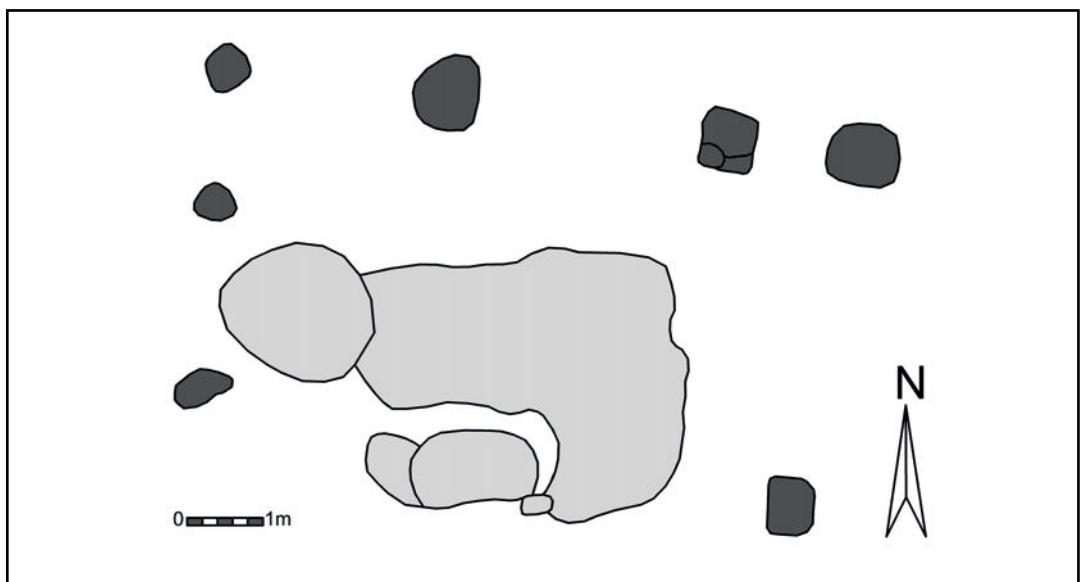


Fig. 166. Structuur II-A-184, schaal 1/100.

volgen palenrij II-A-184 en gebouwtje II-A-59 de overheersende middeleeuwse oriëntatie, meer specifiek parallel met de grachten en greppels uit fase 2, 3 en 4 (cf. infra). Bijgevolg willen we voor de structuren een algemene datering in de middeleeuwen vooropstellen.

7.4.2.1.6. Interpretatie en discussie

De bouwplattegronden II-A- -WX-4 en II-A-298 zijn met een datering, respectievelijk in de 10de en eerste helft 11de eeuw en tussen 890 en 1020 n. Chr., te plaatsen in de volle middeleeuwen. Ze bevinden zich in elkaars nabijheid en staan haaks op elkaar. De twee bouwplattegronden zijn niet onder te brengen in het drieschepige huistype (grote middenruimte en smalle zijbeuken, gedefinieerd door twee dubbele palenrijen) dat dominant is in de volle middeleeuwen en een grote spreiding kent in noordelijk deel van het Graafschap Vlaanderen (Oost- en West-Vlaanderen), met uitlopers naar het noorden tot in zuidwest Nederland en naar het zuiden tot in de Noord-Franse kust.¹³⁴ Voor de gebouwen in Lede-Kleine Kouterrede ontbreken we vooral de duidelijke palenkoppels aan weerszijden

van de centrale beuk. Voor zover de paalsporen ontdubbeld zijn, lijkt dit eerder het gevolg te zijn van een herzetting, extra ondersteuning of deel uit te maken van een ingangspartij. De gebouwen zijn dus eerder eenschepig in opbouw, met voor structuur II-A- -WX-4 één bewaarde nokstaander (of 'sluitpaal'¹³⁵) in de zuidelijke korte wand en voor structuur II-A-289 één nokstaander aan de oostelijke korte wand en vijf paalsporen aan de westelijke korte wand.

Binnen het werkingsgebied van SOLVA zijn top op heden op de archeologische sites met volmiddeleeuwse bewoningssporen steeds het drieschepige gebouwtype aangetroffen. Een uiteenzetting omtrent hun spreiding is uitgewerkt in het SOLVA Archeologie Rapport 20 dat handelt over de opgraving Ronse - De Stadstuin.¹³⁶

Vergelijkingsmateriaal voor de éenschepige gebouwen van Lede treffen we noordelijker aan in Vlaanderen en in Zuid-Nederland. Voor structuur II-A- -WX-4 vinden we een parallel in Sint-Denijs-Westrem, waar dergelijke gebouwen geïnterpreteerd zijn als hoofdgebouwen en dateren in de vroege middeleeuwen, tussen de 7de en 10de eeuw.¹³⁷ Binnen de M(aas)D(emer) S(chelde)-chronotypologie, ten noordoosten van de regio van de besproken drieschepige bouwtraditie, zien we eveneens overeenkomsten met enerzijds het overgangstype tussen huistypen H0 en H1, 'met aan één kant een sluitpaal en aan de andere kant twee'. Ze verschijnen in de regio Maas-Demer-Schelde vooral vanaf 900 n. Chr. De oudere exemplaren dateren vanaf 850 n. Chr., maar hebben geen sluitpalen (nokstaander).¹³⁸ Anderzijds vertoont structuur II-A- -WX-4 ook overeenkomsten met het overgangstype tussen H0 en H2 of tussen H1 en H2, zoals gedefinieerd door Huijbers, maar dan gedeeltelijk bewaard. Deze dateren in de 10de of de 11de eeuw n. Chr.¹³⁹

Structuur II-A-289 vindt minder aansluiting bij de éenschepige vroegmiddeleeuwse voorbeelden uit Sint-Denijs-Westrem en Merelbeke en dit omwille van de aanwezigheid van palen in de korte zijden en de licht gebogen noordelijke lange zijde. Hoewel de wand licht gebogen is, kunnen we deze gebouwplattegrond niet beschouwen als volstrekt 'bootvormig', zoals te zien is in de meer noordoostelijk verspreide bouwtraditie van de zogenaamde 'bootvormige gebouwen' met gebogen wanden, die in de volle middeleeuwen voorkomen in het gebied tussen de Maas, Demer en Schelde (zie type H1-H4 in MDS-chronotypologie).¹⁴⁰ Binnen de MDS-typochronologie vindt structuur II-A-289 eveneens aansluiting bij het type H0 en het overgangstype tussen huistypen H0 en H1. De overgangstypen tussen H0a en H1, nl. typen H0b en H0c, zijn H0 typen die voor het eerste gebogen lange wanden tonen. Dit is vermoedelijk het gevolg van de opkomst van het huistype H1 met gebogen wanden vanaf 900 n. Chr., dat invloed begint uit te oefenen op huistype H0, in de vorm van het gebruik van sluitpalen en gedeeltelijk gebogen lange wanden.¹⁴¹ In mindere mate zien we voor structuur II-A-289 een overeenkomst met de overgangstype tussen H0 en H2 of tussen H1 en H2, waarbij de plattegronden gebogen wanden hebben en de sluitpalen (paalsporen van de korte zijden) op een relatief grote afstand staan van de eerste wandpalen. De aangetroffen voorbeelden in de Maas-Demer-Schelde regio dateren in de 10de of de 11de eeuw n. Chr. Indien we gebouwplattegrond II-A-289 toch beschouwen als een slecht bewaarde drieschepige gebouwplattegrond, zoals reeds is geopperd, dan is deze structuur eerder onder te brengen in de eerste groep binnen de overgangstypen tussen huistypen H2 en H4, een groep met licht gebogen wanden en met korte wanden die losstaan van de lange

135 Volgens de terminologie gehanteerd in Huijbers, 2014, 377.

136 Pede et al., 2015, 255-257.

137 De Clercq, 2017, 53-54, fig. 3: 8.

138 Huijbers, 2014, 382-383, afb. 9 en afb. 10, nr. 1.

139 Huijbers, 2014, 383-384, afb. 9 en afb. 10, nr. 2 en 3.

140 De Clercq, 2017, 55. Huijbers, 2014, 377-379.

141 Huijbers, 2014, 382-383.

zijden. Deze typen dateren echter later, tussen 1150 en 1225.¹⁴²

De structuren II-A- -WX-4 en II-A-289 liggen op ca. 6 meter van elkaar, haaks op elkaar georiënteerd. Bovendien bevinden ze zich in de directe nabijheid van respectievelijk een waterkuil, structuur II-A-174-AB-1, en een waterput, structuur II-A-295, eveneens met volmiddeleeuwse dateringen: 890AD-1020AD en 1067/68AD (cf. infra). De aanwezigheid van een waterput bij grote gebouwplattegronden, naast de centrale ligging van deze gebouwplattegronden gebouwen in relatie tot andere gebouwen, zijn voor A. Huijbers twee criteria om een grote gebouwplattegrond als een huisplattegrond te interpreteren¹⁴³. De kleinere afmetingen en de haakse ligging van II-A- -WX-4 t.o.v. II-A-289 zijn ons inziens argumenten om deze structuur te beschouwen als een bijgebouw.

In de oostelijke helft van het terrein treffen we gebouwplattegrond II-A-89 aan. De tweeschepige constructie ligt tussen de wegstructuur II-A-47-OP-2 (cf. infra: grachten en greppels fase 2) en het grachtencomplex II-A- -BA-5 (cf. infra: grachten en greppels fase 3). Chronologisch gezien is structuur II-A-89, met een datering tussen 1150 en 1270, recenter dan de hierboven besproken gebouwplattegronden en gelijktijdig met wegstructuur II-A-47-OP-2 (1176-1300). Of het gebouw en de weg samen hebben gefunctioneerd kunnen we niet met zekerheid stellen.

Qua parallellen voor dit huistype tasten we enigszins in het duister. Binnen het werkingsgebied van SOLVA treffen we een tweeschepige gebouwplattegrond aan binnen de volmiddeleeuwse *enclos* op de site Ronse-De Stadstuin. Deze vertoont een evenwel veel onregelmatigere layout, geen uitgesproken dieper gefundeerde centrale palenrij en is een stuk ouder (9de eeuw n. Chr.).¹⁴⁴ Een tweede vergelijkbare, maar incomplete, gebouwplattegrond is opgegraven in Erembodegem - Zuid IV (cf. infra). Gelegen nabij een volmiddeleeuwse *enclosure*, is dit tweeschepige gebouw oversneden door het drieschepige gebouw. 14C-dateringen geven beide plattegronden een datering in de Karolingische periode, beduidend ouder dan de *enclos*.¹⁴⁵ Buiten het werkingsgebied van SOLVA vinden eerste parallel in Evergem-Molenhoek.¹⁴⁶ Op basis van het aardewerk is een datering in de 10de eeuw enerzijds, of in de 11de-12de eeuw anderzijds gesuggereerd. Een tweede voorbeeld is aangetroffen op de site Sint-Denijs-Westrem – Flanders Expo.¹⁴⁷ Hoewel ook tweeschepig, is deze gebouwplattegrond beduidend groter (21 m x 6 m). Aardewerk dateert de structuur vroeger in de 10de-eerste helft 11de eeuw.¹⁴⁸

7.4.2.2. Waterkuil

7.4.2.2.1. Structuur II-A-174-AB-1

Beschrijving en interpretatie

Circa 15 m ten noordoosten van het gebouw II-A- -WX-4 situeert zich de structuur II-A-174-AB-1 (fig. 167). Deze is samengesteld uit slechts één context II-A-174-AB-1, i.e. de lagen gekoppeld aan de opgave van de waterkuil. Context II-A-172 beschouwen we, omwille van een andere samenstelling, rijk aan verbrande leem, als het resultaat van de opvulling van de inklinking van de opgavelagen van de waterkuil (“nazak”)(fig. 172) .

142 Huijbers, 2014, 383-384, Afb. 9 en 10.

143 Huijbers, 2014, 377.

144 Pede et al., 215, 193-194.

145 Van de Vijver et al., onuitgegeven rapport, mondeling mededeling Bart Cherretté

146 Schynkel & Urmel, 2008, 48-49.

147 Hoorne et al., 2008, 33-37.

148 Hoorne et al., 2008, 33-37, fig. 38.

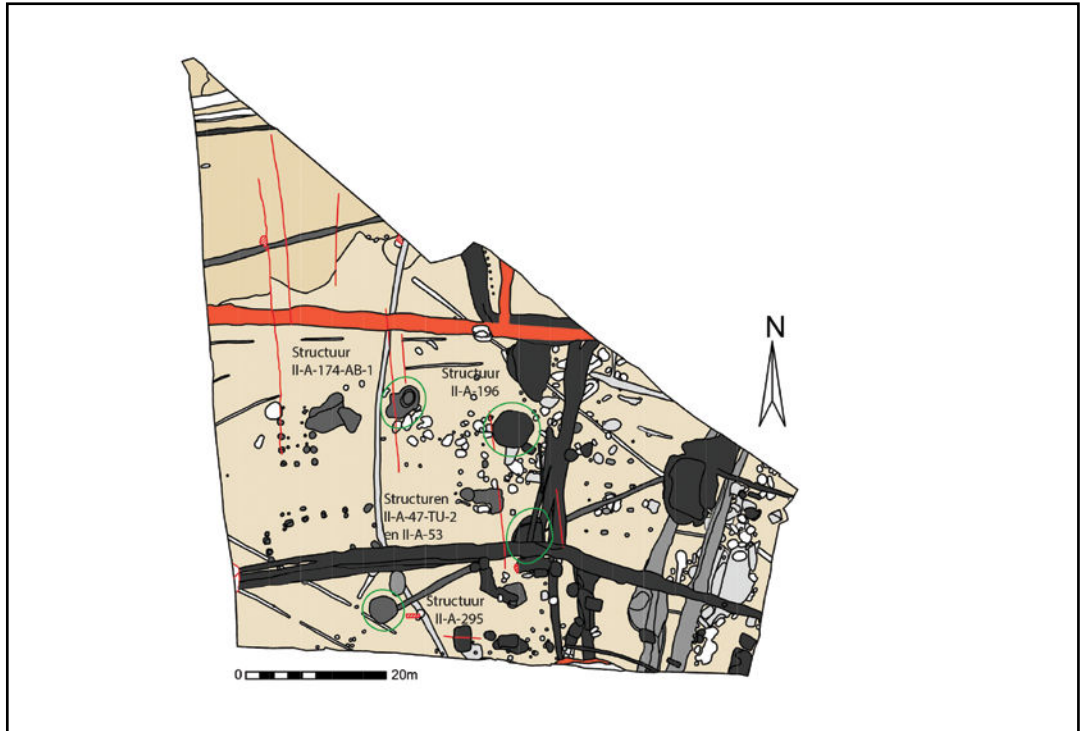


Fig. 167. Zone II grondplan A met aanduiding van de besproken structuren, schaal 1/750.

Ter hoogte van structuur II-A-174-AB-1 is het grondplan lichtjes verdiept vooraleer te couperen. Hierbij veranderde de begrenzing van de waterkuil enigszins, een deel van de buitenste laag splitste op in aparte kuilen, waarop een tweede grondplan is geregistreerd (fig. 168, 169). Vanop dit niveau is een coupe uitgezet in de lengte-as. Voorafgaand aan het couperen waren reeds boringen uitgevoerd met een Edelmanboor om de diepte van de structuur in te schatten. De boringen leverden enkele bodemstalen met houtfragmenten op, op basis waarvan we vermoedden te maken te hebben met een waterput. In die veronderstelling zijn tijdens het couperen twee tussentijdse grondplannen ingetekend (C en D), telkens wanneer hout aan het licht kwam (fig. 170). De volledige coupe wees echter uit dat een houten constructie niet aanwezig was en dat het hout in de boringen afkomstig was van enkele losse balken

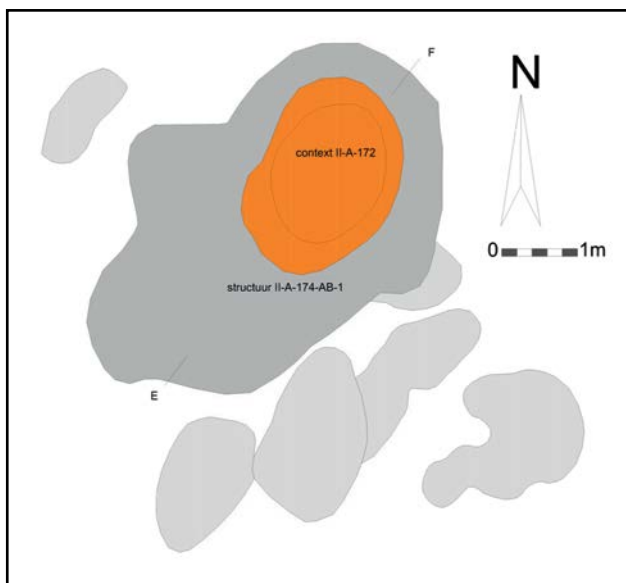


Fig. 168. Structuur II-A-174-AB-1 op grondplan A, schaal 1/100.

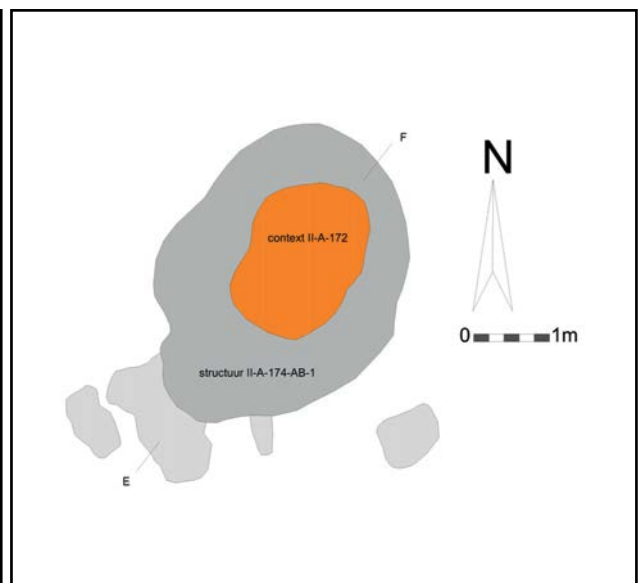


Fig. 169. Structuur II-A-174-AB-1 op grondplan B, schaal 1/100.

(fig. 171, 172). Hun bewaring hebben we te danken aan het niveau van de grondwatertafel. De uiteindelijke interpretatie van deze structuur als een waterkuil, en niet als een waterput, heeft te maken met de afwezigheid van een beschoeiing en met de beperkte diepte van de uitgraving tot in de grondwatertafel (slechts 0,4 m à 0,5 m). In tegenstelling tot een waterput, veronderstelt de interpretatie als waterkuil een eerder kortstondig functioneren van de structuur. De aard van de opgavepakketten doet vermoeden dat de demping van de waterkuil in twee fases gebeurde. Twee 'tussenliggende' lagen vertonen namelijk vele fijne spoelbandjes, indicatief voor een moment waarop de waterkuil tijdelijk heeft opengelegen (fig. 173).



Fig. 170. Zicht op grondplan D van structuur II-A-174-AB-1 met houten palen *in situ*.



Fig. 171. Coupe EF op structuur II-A-174-AB-1.

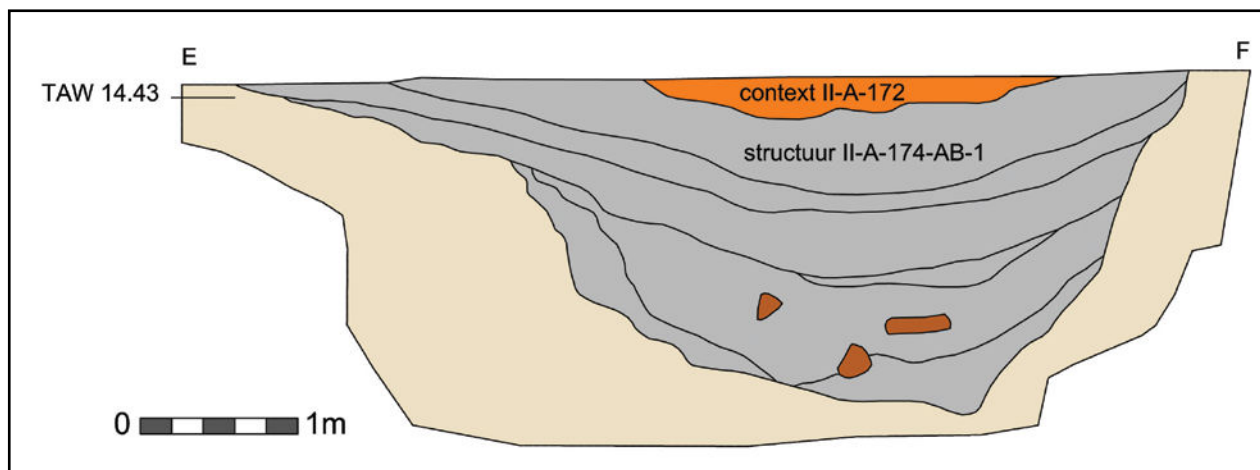


Fig. 172. Coupetekening EF op structuur II-A-174-AB-1.

Vondsten en datering

We baseren de datering van de waterkuil op weinig, maar diagnostisch aardewerk. Eén scherf handgevormd grijs aardewerk, acht wandscherven grijs gedraaid aardewerk, waarvan één met radstempelpersiering¹⁴⁹ (fig. 174.2), en één scherf van een tuitpot in roodbeschilderd Rijnlants aardewerk¹⁵⁰ (fig. 174.1) wijzen naar een datering van de opgave van de waterkuil in de volle middeleeuwen, meer bepaald 10de-11de eeuw n. Chr. De nazakking, context II-A-172, die als *terminus ante quem* geldt, leverde jammer genoeg geen aardewerk op.

Om de relatie van de waterkuil tot de andere sporen en structuren op het terrein, en meer bepaald de volmiddeleeuwse gebouwplattegronden, te achterhalen is ingezet op de 14C-datering op een staal van één van de houten palen aangetroffen in de dempingspakketten van de waterkuil. Dit resulteerde in een datering met een 95, 4% zekerheid tussen 890AD en 1030AD.¹⁵¹ Deze datering betreft de opgaven van de waterkuil, maar zou mogelijk ook het gebruik ervan kunnen dateren, en dit indien de houten staken in de dempingspakketten ooit deel uitmaakten van de constructie van de waterkuil.



Fig. 173. Detail van de spoelbandjes in coupe EF op structuur II-A-174-AB-1.

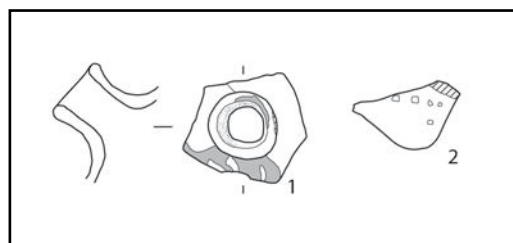


Fig. 174. Aardewerk uit structuur II-A-174-AB-1.

¹⁴⁹De Grootte, 2014, 139-140. Eenvoudige radstempelpatronen van enkelvoudige lijnen van driehoekjes, uitsluitend toegepast op kogelpotten, dateren in de 10de en 11de eeuw n. Chr. Op basis hiervan sluiten we de 12de eeuw uit.

¹⁵⁰De Grootte, 2014, 311-325. Te dateren tussen de 10de en het midden van de 12de eeuw n. Chr.

¹⁵¹Bijlage 2. RICH-21957 (12-LED-KK-865) : 1068±30BP.

7.4.2.3. Waterputten

7.4.2.3.1. Structuur II-A-295

Beschrijving en interpretatie

Een tweede structuur ter voorziening van water ligt circa 8 m ten zuiden van het gebouw, structuur II-A-298 (fig. 167). De waterput, structuur II-A-295, is samengesteld uit drie contexten: II-A-295, de lagen die behoren tot de opgave van de waterput, II-A-295-CD-7, de lagen die behoren tot de insteek en II-A-295-CD-6, de houten beschoeiing. (fig. 175). Naar onze mening hebben we geen lagen aangetroffen die gerelateerd zijn aan het gebruik van de waterput.

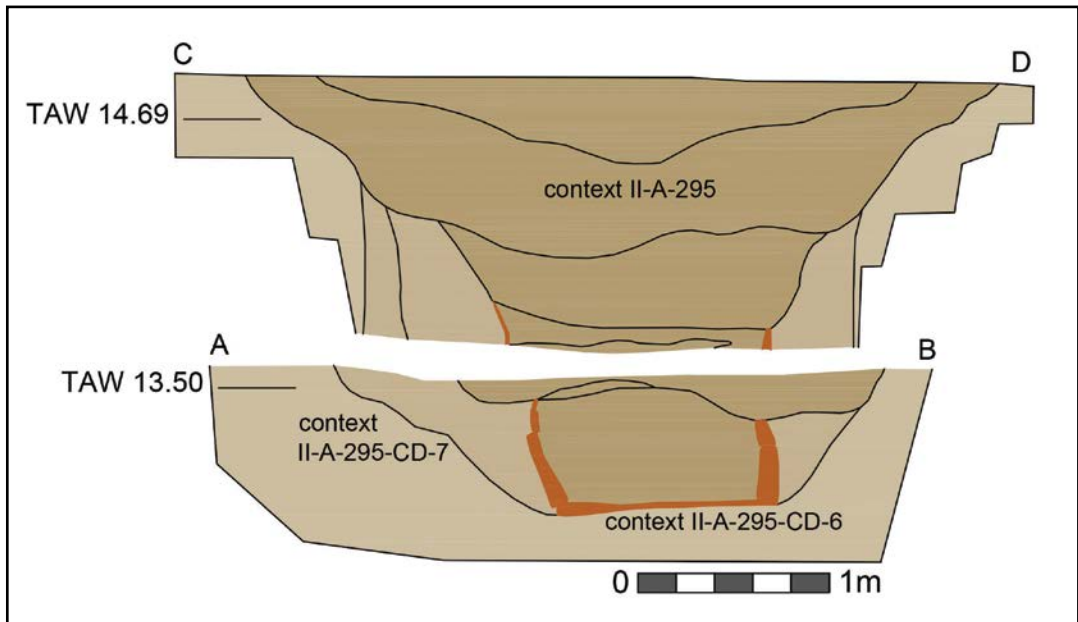


Fig. 175. Coupetekening CD op grondplan A in combinatie met coupe AB op grondplan B, met aanduiding van de contexten.

Boringen met een Edelmanboor lieten aanvankelijk uitschijnen dat II-A-295 een kuil was. Het couperen van deze 'kuil' door middel van kwadranten bracht echter op een diepte van 1,2 m restanten van vergaan hout aan het licht (fig. 175, 176). Aangezien we dus te maken hadden met een waterput en niet met een kuil, zijn de coupes gestut en is gewacht met verder verdiepen tot de plaatsing van grondbemaling drie maanden later. De waterput is uiteindelijk gecoupeerd met de kraan en geregistreerd met drie tussentijdse grondplannen (B, C en D) (fig. 177, 178, 179, 180, 181). De twee kwadrantcoupes vanop grondplan A zijn aangevuld met een coupe in de lengteas uitgezet op grondplan B, weliswaar volgens een andere oriëntatie waardoor de coupetekeningen niet op elkaar aansluiten (fig. 175, 176, 183). De natte weersomstandigheden en de tijdsdruk noopten ons tot snel werk. Bijgevolg is deze structuur voornamelijk geregistreerd door middel van foto's.

De AB-coupe op grondplan B bracht een waterput met een quasi vierkante houten beschoeiing (0,95 m x 1,15 m) aan het licht (geregistreerd op grondplan C) (fig. 179, 182). De houten schacht was grotendeels uitgebroken. Ze was nog twee planken hoog bewaard. De planken waren redelijk massief en in vrij goede staat, met op de uiteinden duidelijke sporen van bewerking. De houten schacht was opgebouwd door middel van kruisverbindingen, waarbij telkens twee planken met een inkeping in elkaar zijn geschoven. Op de hoeken van de constructie staken de planken tussen 0,15 m en 0,27 m uit. Na het ontmantelen van de eerste helft van de schacht bleek op een deel van de bodem ook planken aanwezig te zijn (grondplan D) (fig. 180, 181). De houten constructie is in zijn totaliteit afgebroken (11 onderdelen) en bewaard als staalname, met het oog op verder dendrochronologisch onderzoek (cf. infra). Uit de vulling in de schacht zijn tenslotte ook een pollen- en bulkstaal genomen.



Fig. 176. Kwadrantcoupe FG op structuur II-A-295.



Fig. 177. Zicht op structuur II-A-295 op grondplan B.

Vondsten en datering

De vulling van de insteek van de waterput leverde geen vondsten op. De vulling ter opgave van de structuur bevatte negen scherven grijs gedraaid aardewerk, alsook één wandscherf handgevormd aardewerk met een donkere kern (zgn. Verhaeghe groep A).¹⁵² Hoewel weinig

¹⁵²De Grootte, 2014, 325-333: te dateren in de eerste helft of het midden van de 10de eeuw en de tweede helft van de 11de eeuw.

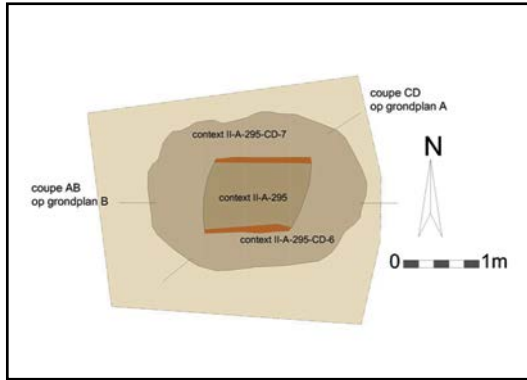


Fig. 178. Structuur II-A-295 op grondplan B met aanduiding van de contexten, schaal 1/100.

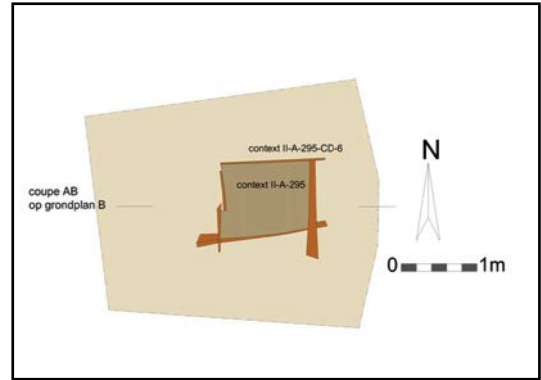


Fig. 179. Structuur II-A-295 op grondplan C met aanduiding van de contexten, schaal 1/100.



Fig. 180. Zicht op structuur II-A-295 op grondplan D met een plank van de bodem van de waterput.

aardewerk voorhanden is, argumenten we voor een datering in de volle middeleeuwen, te meer daar de waterput in relatie staat met de greppel, context II-A-94 (cf. infra: grachten greppels fase 1). Deze leverde namelijk twee scherven roodbeschilderd Rijnlants aardewerk op, alsook de rand van een kogelpot in grijs gedraaid aardewerk en dateren we tussen 901 en 1150 n. Chr. Gezien hun onderlinge positie lijkt het ons meer dan waarschijnlijk dat ze samen hebben gefunctioneerd.

Ter datering van de structuur is vervolgens ingezet op het dendrochronologisch onderzoek.

De schacht van de waterput bestond nog uit 11 planken, met een goede staat

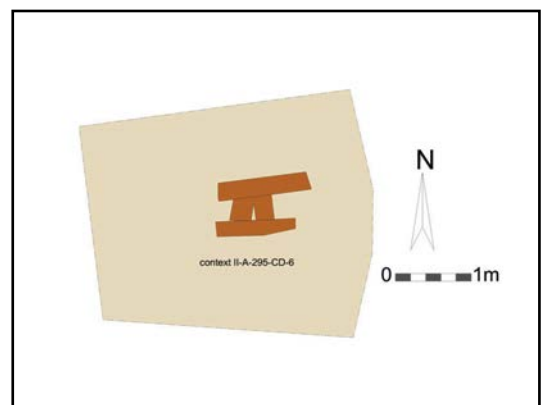


Fig. 181. Structuur II-A-295 op grondplan D met aanduiding van de contexten, schaal 1/100.

van bewaring. Deze planken zijn allen bemonsterd door Van Daalen Dendrochronologie.¹⁵³ De houtanalyse toonde aan dat de schacht van de waterput was opgebouwd met planken van beuk, enerzijds “afkomstig van langzaam gegroeide beuken” en anderzijds van “snel gegroeide bomen”. Daarnaast bleek ook dat de houten planken diverse patronen van bewerking toonden. De constructie omvat “grove gekliefde planken”, maar ook “smalle planken”. Daarenboven bleken respectievelijk vier en twee planken afkomstig van twee bomen. De metingen van de 11 monsters zijn allen gebruikt in het onderzoek en leverden goede resultaten op: “In een aantal gevallen is de wankant aanwezig. Aan de hand hiervan kan een kapseizoen bepaald worden. Voor het langzaam gegroeide hout is dit de herfst of winter van 1067/68 en voor het snel gegroeide hout is dit het voorjaar van 1068. Dit betekent dat het hout in twee kort op elkaar volgende periodes gekapt is, of dat het hout gelijktijdig aan het begin van het groeiseizoen gekapt is en de celdeling bij het langzaam gegroeide hout simpelweg nog niet op gang gekomen is.” “Er lijken geen aanwijzingen te zijn voor hergebruikt hout in de waterput”. We kunnen dus stellen dat in de herfst of winter van 1067/1068 of in de lente van 1068, zeer doelbewust enkele beuken zijn gekapt met het oog op de aanleg van deze waterput.



Fig. 182. Coupe AB vanop grondplan B met zicht op de houten schacht van de waterput.



Fig. 183. Coupe AB vanop grondplan B na gedeeltelijke ontmanteling van de schacht van de waterput.

7.4.2.3.2. Structuren II-A-47-TU-2 en II-A-53

Beschrijving en interpretatie

Structuren II-A-47-TU-2 en II-A-53 bevinden zich centraal in het vlak, op het kruispunt van meerdere grachten en greppels (fig. 167) (cf. infra: fase 3 en 4). Het vermoeden dat hier een waterput aanwezig was, werd gecontroleerd en bevestigd door boringen met een Edelmanboor. Dat we twee waterputten zouden aantreffen, was evenwel niet verwacht.

De oudste structuur, II-A-47-TU-2, een vlechtwerkwaterput is samengesteld uit vijf contexten: II-A-47-TU-2 (fig. 184, fig. 187, fig. 194, fig. 195), de vulling van de insteek, II-C-13 (fig. 194, fig. 195), het vlechtwerk, II-C-17 (fig. 195, fig. 197), een emmer, II-C-15-AB-2, een laag gerelateerd aan het gebruik van de waterput, en II-B-113 (fig. 195), de lagen gelinkt aan de opgave van de waterput.

De jongste structuur, II-A-53, een waterput uit houten stammen, bestaat uit vier contexten: II-A-54-ZO-2, de vulling van de insteek, II-A-54-ZO-6, de houten schacht, II-B-79-AB-3, de lagen gerelateerd aan het gebruik van de waterput, en II-A-53, de lagen gelinkt aan de opgave (fig. 184).

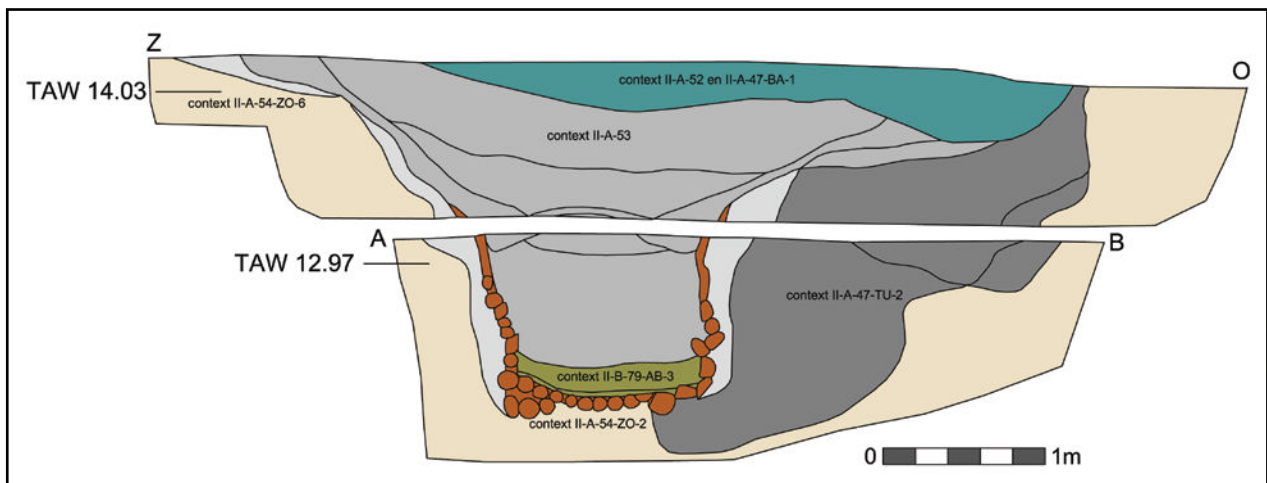


Fig. 184. Coupetekening ZO op grondplan A in combinatie met coupe AB op grondplan B, met aanduiding van de contexten.



Fig. 185. Coupe ZO op structuren II-A-47-TU-2 en II-A-53 vanop grondplan A.



Fig. 186. Zicht op structuren II-A-47-TU-2 en II-A-53 op grondplan B.

Een eerste coupe is met de kraan uitgezet vanop grondplan A. Bij het doorschemeren van vergaan hout, is de coupe ingetekend en een tweede grondplan aangelegd (fig. 185, 186, 187). We merken op dat de vulling van de uitbraak van de jongste waterput bijna volledig de vulling van de insteek verdoezelt. In de veronderstelling dat slechts één waterput aanwezig is, is een nieuwe coupe uitgezet op grondplan B in de lengte-as. De oriëntatie van deze coupe is enigszins anders t.o.v. de oriëntatie op grondplan A, waardoor de coupetekeningen niet perfect op elkaar aansluiten. Het vervolg van de coupe, vanop grondplan B, bracht de jongste houten waterput aan het licht (fig. 188). Onder het niveau van de grondwatertafel verkleint de aanlegrechter aanzienlijk en dit vermoedelijk om stabiliteitsredenen. De bodem en de schacht van deze waterput was samengesteld uit kleine, aangepunte stammen, opgestapeld

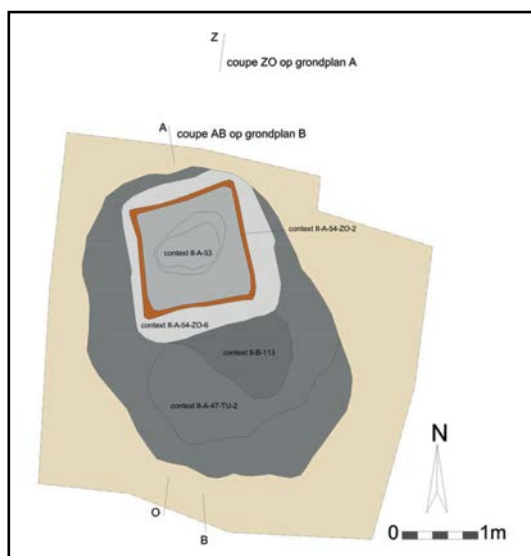


Fig. 187. Structuren II-A-47-TU-2 en II-A-53 op grondplan B met aanduiding van de contexten, schaal 1/100.

tegen de wanden van de insteek (fig. 189). Geen nagels of ander middel van hechting kwamen hierbij te pas. Vier rechtopstaande, aangepunte zware palen stutten de constructie aan de binnenkant (fig. 190). De doorsnede van de waterput toonde een uiterste gelaagde vulling (fig. 191). Hoewel gekoppeld aan de opgave van de waterput, is deze klaarblijkelijk niet in één beweging dichtgestort, maar langzaam dichtgeslibd. Tussen de opgavelagen en de bodem van de waterput registreerden we een kleiige laag en een dun zandig laagje, beide rijk aan organisch materiaal zoals bladeren, takjes en insecten. Op de kleiige laag lag, onderste boven, een houten kom met metalen applieken (fig. 192). Vóór het

uithalen van de tweede helft is de vulling in de houten schacht bemonsterd door middel van bulkstalen, natte stalen en pollenstalen; de houten constructie is grotendeels verzameld en verpakt.



Fig. 188. Coupe AB op structuren II-A-47-TU-2 en II-A-53 vanop grondplan B.



Fig. 189. Detail van de houten schacht, context II-B-79-AB-3.



Fig. 190. Detail van de houten schacht, context II-B-79-AB-3.



Fig. 191. Coupe AB op structuur II-A-53 vanop grondplan B, na gedeeltelijke ontmanteling van de schacht van de waterput.

Tijdens het stelselmatig verdiepen van de tweede helft kwam onverwachts een tweede waterput aan het licht. Een derde grondplan is geregistreerd en een nieuwe coupe uitgezet (fig. 193, 194). Deze tweede waterput bleek samengesteld te zijn uit vlechtwerk van takken en twijgen. Vergraven door de insteek van de stammenwaterput, is ze slechts deels bewaard.



Fig. 192. Detail van houten kom met metalen beslag.

Het vlechtwerk verkeerde in minder goede staat en was moeilijk te recupereren. Het afbreken ervan in functie van de doorsnede bracht nog een verrassing aan het licht: binnen de contouren van het vlechtwerk stond een volledig bewaarde houten emmer (fig. 195, 196). Ook deze is voorzichtig uit elkaar gehaald en integraal ingepakt. De ronde bodem van de emmer vertoonde een kleine doorboring en ook één der verticale planken, langer dan de andere planken, had bovenaan een doorboring (fig. 197). De rechtopstaande planken werden samengehouden door een horizontale gebogen houten riem. De aanwezigheid van de emmer is enigszins een raadsel. Is dit een interne versteviging van het vlechtwerk, gezien de emmer doorboord is en eveneens het doorsijpelen van water toelaat? Of betreft het de emmer waarmee water is bovengehaald? Zoals in de stammenwaterput vonden we op de bodem van de emmer een zeer organische vulling. Deze, en de vulling ter opgave van de waterput, zijn bemonsterd door middel van bodemstalen, en dit met het oog op een onderzoek van de zaden en vruchten (cf. infra). Ten zuidoosten van het vlechtwerk tekenden we tenslotte nog een bundel verticale planken en palen op, waarvan de functie ons niet duidelijk is. Betreft

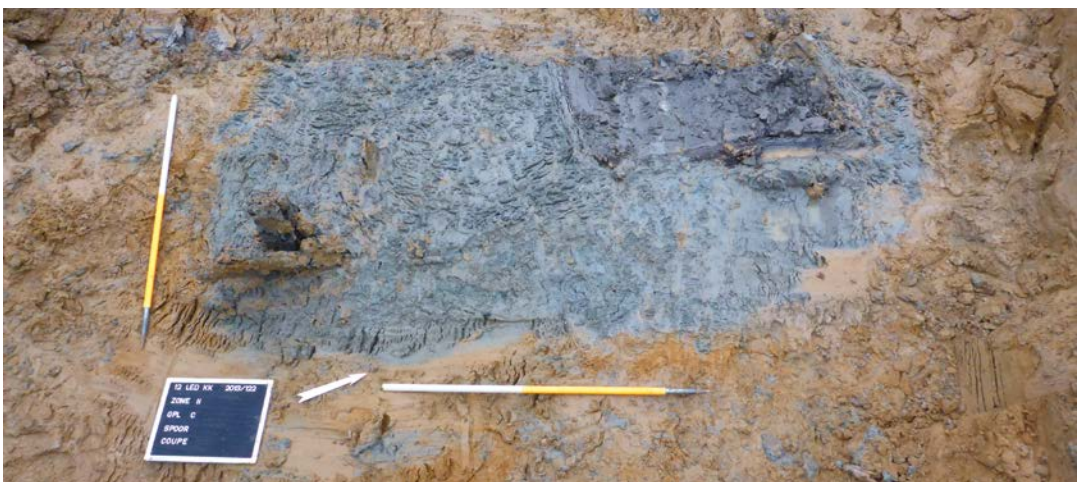


Fig. 193. Zicht op structuren II-A-47-TU-2 en II-A-53 op grondplan C, de tweede helft.

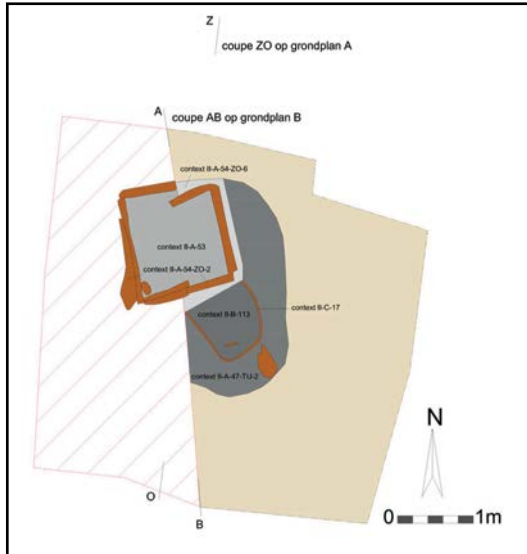


Fig. 194. Structuren II-A-47-TU-2 en II-A-53 op grondplan C met aanduiding van de contexten, schaal 1/100.

het een herstelling van de oudste waterput, of maken ze deel uit van de vulling van de insteek en bevinden ze zich niet *in situ*?

De reconstructie en de interpretatie van de oudste waterput is grotendeels tijdens de verwerking gebeurd. Op het terrein was het niet evident een onderscheid te maken tussen de lagen geassocieerd met de insteek en met de opgave, te meer daar beide fases grotendeels aan het zicht zijn onttrokken door de gracht, context II-A-47-BA-1. Ook de uitgesproken reductie van de natuurlijke en de antropogene lagen, ten gevolge van de grondwaterafel, bemoeilijkte het afbakenen van beide waterputten aanzienlijk. Aan de hand van de grondplantekeningen, de coupetekeningen,

de schetsen en de foto's, zijn de contexten en relatieve chronologie gedefinieerd. Zo is het duidelijk dat de stammenwaterput jonger is dan de vlechtwerkwaterput.

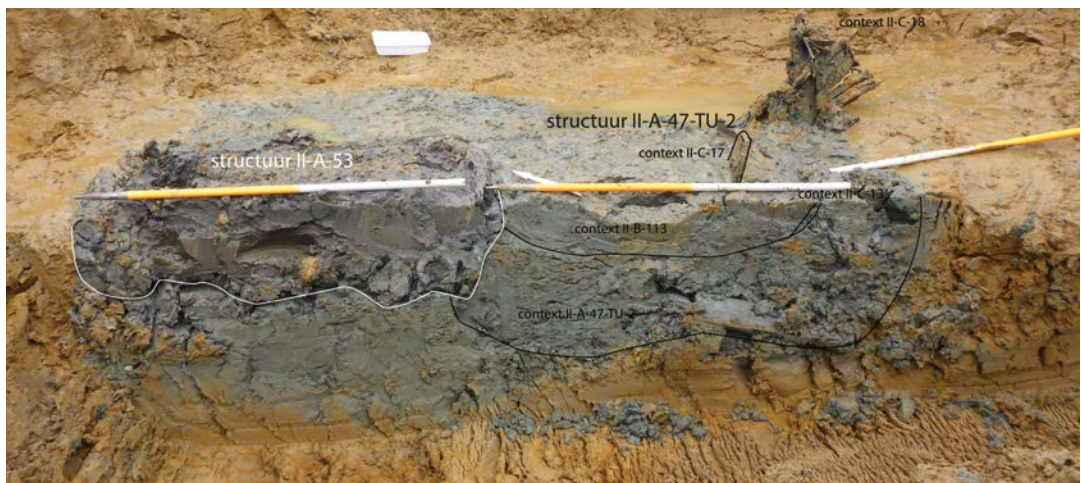


Fig. 195. Coupe CD op structuren II-A-47-TU-2 en II-A-53 vanop grondplan C.



Fig. 196. Coupe CD op structuren II-A-47-TU-2 en II-A-53 vanop grondplan C, na de gedeeltelijke ontmanteling van de schacht van structuur II-A-53 en het vlechtwerk van structuur II-A-47-TU-2.



Fig. 197. Detail van de emmer *in situ*.

Vondsten en datering

Beide waterputten leverden een aantal vondsten op die kunnen helpen bij de datering. Zo was in de vulling van de emmer in de oudste waterput een bijna volledige kan/kruik, met uitgeknepen standvoet en rand met dekselgeul in grijs gedraaid aardewerk, aanwezig (fig. 198). Deze eerder oude 'buikige' vorm van een kan/kruik dateren we in de 13de eeuw.¹⁵⁴ We associëren deze vondst met de lagen ter opgave van de vlechtwerkwaterput. De lagen gekoppeld aan het gebruik, de insteek en de opgave leverden geen aardewerk op. Ook de onderste twintig centimeter van de gebruiksvulling van de jongste waterput bevatte niet alleen een houten kom met metalen applieken, maar ook de eenvoudige rand van een teil en 33 scherven van één peervormige kan/kruik in grijs gedraaid aardewerk. Opnieuw levert dit een datering in de 13de eeuw op.¹⁵⁵ Hetzelfde geldt voor het aardewerk afkomstig uit de lagen die de opgave van recentste waterput definiëren. Meerdere grijs gedraaide scherven behoren toe aan kannen/kruiken (fig. 199:1¹⁵⁶ en 2¹⁵⁷) en teilen (fig. 200:1 en 3¹⁵⁸), alsook aan een kogelpot

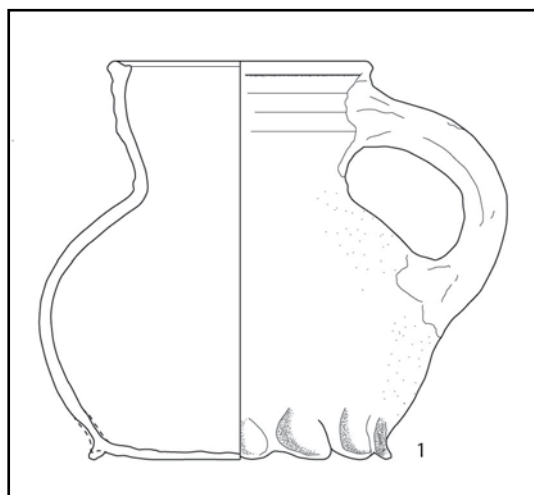


Fig. 198. Aardewerk uit structuur II-A-174-AB-1.

¹⁵⁴De Grootte, 2014, 170-173, tabel 19 type L60A, 177-180, fig. 140:3, fig. 141:1-3.

¹⁵⁵De Grootte, 2014, 177-180, fig. 140:4: voor de 'slankere, eerder peervormige kan'; 260, 261, 266: teilen in grijs aardewerk met eenvoudige rand, nog niet bandvormig, zijn 13de-eeuws.

¹⁵⁶De Grootte, 2014, 177-180, fig. 140:4 voor de 'slankere, eerder peervormige kan'.

¹⁵⁷De Grootte, 2014, 177-180, fig. 140:3 en fig. 141:1-3: voor de 'buikige kan'.

¹⁵⁸De Grootte, 2014, 260, 261, 266. Teilen in grijs aardewerk met eenvoudige rand, nog niet bandvormig, zijn 13de-eeuws.

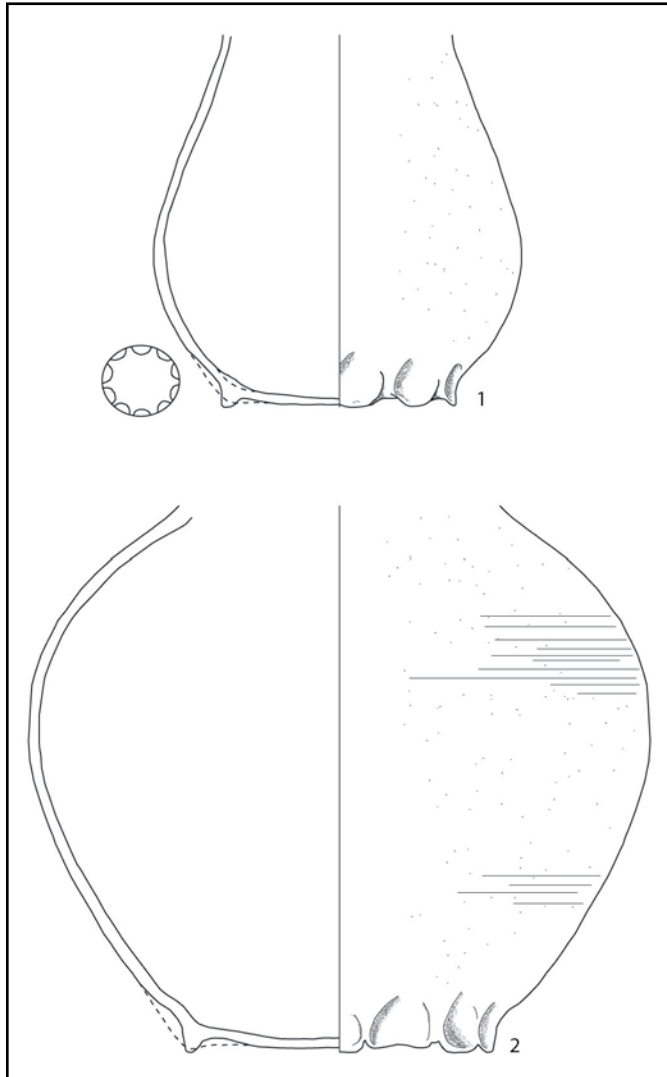


Fig. 199. Aardewerk uit structuur II-A-53.

(sikkelrand) (fig. 200:2¹⁵⁹) en een pan¹⁶⁰. Eén wandscherf hoogversierd aardewerk¹⁶¹ en één scherp rood gedraaid aardewerk vervolledigen het assemblage.

Voor de datering van de waterputten halen we ook wat informatie uit de relatieve chronologie. Beide zijn oversneden door een gracht, context II-A-47-BA-1, en een greppel, context II-A-52, gedateerd in de eerste helft van de 14de eeuw (cf. infra: fase 4). Op hun beurt oversnijden, enerzijds de vulling van de insteek van de recentste waterput een gracht, context II-A-56, en anderzijds, de vulling van de insteek van de vlechtwerkwaterput een andere gracht, contexten II-A-47-BA-2. Beide oudere grachten zijn gedateerd in de 13de eeuw (cf. infra: fase 3), een datering die aansluit bij deze van de waterputten.

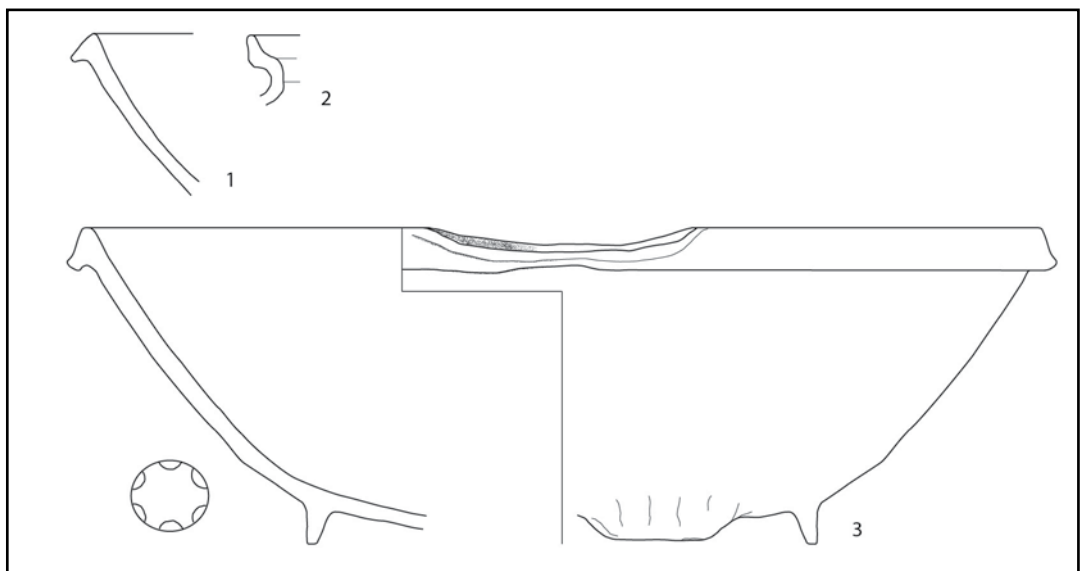


Fig. 200. Aardewerk uit structuur II-A-53.

159 De Grootte, 2014, 204, tabel 3 randtype L26A en L26B. Kogelpotten met sikkkelrand: 12de eeuw en eerste kwart 13de eeuw.

160 De Grootte, 2014, 252. De pan in grijs aardewerk verdwijnt in de 14de eeuw.

161 De Grootte, 2014, 304. Te dateren tussen de late 12de en 13de eeuw.

We kunnen reeds stellen dat in de tijdspanne van een eeuw de vlechtwerkwaterput in gebruik is genomen, vervolgens opgegeven, deels uitgebroken en vervangen door de stammenwaterput, én dat deze laatste na verloop van tijd eveneens in onbruik is geraakt, het hout grotendeels gerecupereerd en tenslotte dichtgestort. Mogelijk hoorden ze bij eenzelfde erf.

Voor beide waterputten is één nat staal geselecteerd, in eerste instantie voor een waarderend macrobotanisch onderzoek, uitgevoerd door BIAX Consult¹⁶², meer bepaald staal 12-LED-KK-895 uit de gebruikslagen in de emmer in de oudste waterput II-A-47-TU-2 en staal 12-LED-KK-892 uit de gebruikslagen van de jongste waterput II-A-53). Beide stalen leenden zich, door de hoeveelheid en de staat van conservering van de macroresten, tot verdere analyse. Na overleg met het Agentschap Onroerend Erfgoed is het staal uit de oudste waterput, 12-LED-KK-892, geanalyseerd. De resultaten van dit macrobotanisch onderzoek lenen zich tot het maken van hypothesen omtrent het landschap rond Lede-Kleine Kouterrede ten tijde van het gebruik van de waterput, alsook omtrent de lokale agrarische economie. De conclusie stelt dat “de bewoners van de vindplaats rogge en vlas verbouwden, alsook diverse fruitsoorten cultiveerden, waaronder kroosjespruimen, mispels en peren. Op basis van het macrorestenonderzoek lijkt de omgeving van de vindplaats een uitgesproken open en agrarisch karakter te hebben gehad, waarbij akkergrond en grasland bepalend waren voor het landschap. Hoger opgaande vegetatie is ook aanwezig, vermoedelijk voornamelijk kleinschalig, in de vorm van hagen, heggen en/of geriefbosjes. Rond de vindplaats komen in ieder geval wilg en linde voor. Het grasland werd vermoedelijk in wisselende mate geëxploiteerd. Veel soorten wijzen op een vrij intensieve begrazing, maar er zijn ook soorten die wijzen op een matige begrazing tot zelfs een exploitatie als hooiland. De akkergrond rond de vindplaats lijkt eveneens wisselend van kwaliteit. Er lijkt sprake te zijn van meer lemige kalkhoudende akkers en meer zandige, op kalkarme bodem gelegen bouwgrond. Deze verschillen blijken niet uit de huidige bodemkaart, maar kunnen liggen in een verschillende mate van uitloging van de bodem in de middeleeuwen. Er zijn diverse soorten aanwezig die in verband kunnen worden gebracht met tuinbouw.”

7.4.2.3.3. Structuur II-A-196

Beschrijving en interpretatie

Bijna cirkelvormig met een doorsnede van 3 m en een donkere vulling, neemt structuur II-A-196 een prominente plaats in centraal op het terrein (fig. 167). Het spoor was ingeschat als een waterput, wat de boringen bevestigden, maar de coupe nuanceerde dit enigszins. De structuur is samengesteld uit twee contexten: II-A-196-AB-1, de lagen geassocieerd met de opgave en II-A-196-CD-8, de vulling van de insteek (fig. 201).

Een eerste coupe is aangevat vanop grondplan A tot ca. 1,5 m diepte (fig. 202). Op dit niveau tekende zich een organische laag af, wat vergaan vlechtwerk leek te zijn. Na het intekenen van de coupe is beslist niet verder te verdiepen, maar omwille van veiligheidsredenen eerst de tweede helft uit te halen. Vervolgens is het tweede grondplan geregistreerd en de coupe vanop dit niveau verder gezet volgens dezelfde as (fig. 203, 204) Tijdens het couperen hebben we getracht het veronderstelde vlechtwerk manueel vrij te leggen. Het werd echter vrij snel duidelijk dat het geen vlechtwerk betrof, maar een humeuze laag, rijk aan bladeren, takjes en vooral stro. Uit de coupe bleek dat een originele constructie van een waterput niet meer in situ bewaard was (fig. 201, 205). Desalniettemin interpreteren we deze structuur als een waterput en niet als een waterkuil (vergelijk structuur II-A-174-AB-1, cf. supra). We gaan er met andere woorden van uit dat oorspronkelijk een schacht aanwezig is geweest, maar dat die volledig is uitgebroken, De uitgraving van de structuur is bovendien niet alleen vrij steil, ze is ook vrij diep,

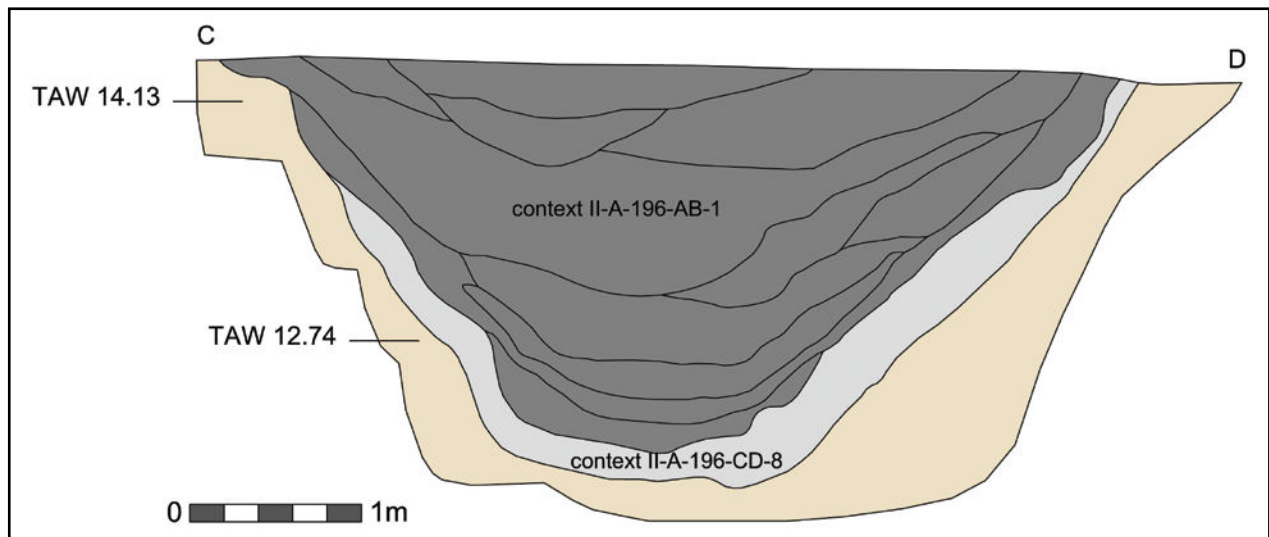


Fig. 201. Coupetekening CD vanop grondplan A met aanduiding van de contexten.



Fig. 202. Coupe CD op structuur II-A-196 vanop grondplan A.



Fig. 203. Zicht op structuur II-A-196 op grondplan B.

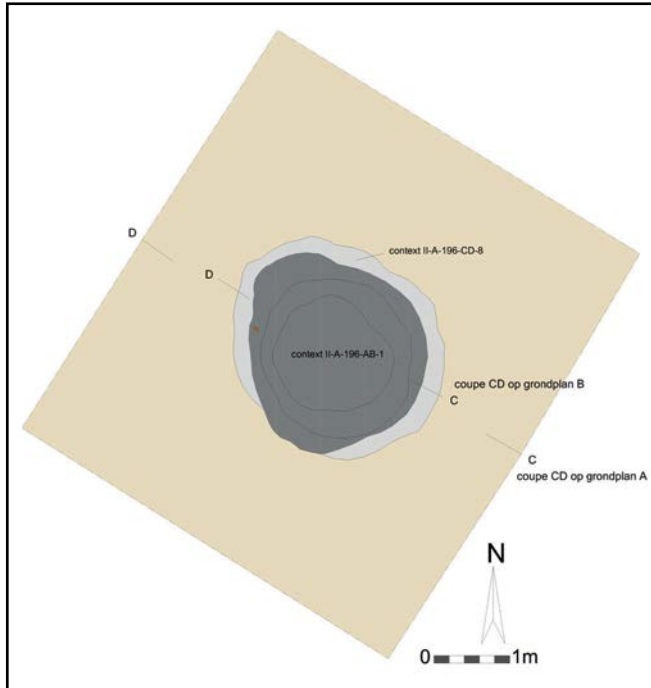


Fig. 204. Structuur II-A-196 op grondplan B met aanduiding van de contexten.

tot 1,5 m in de grondwatertafel. Daarenboven is de put volgestort met voornamelijk organisch materiaal, maar ook met aarde en vrij veel grote brokken kalkzandsteen, naar onze mening restanten van de oorspronkelijke schacht van de waterput. In het kader van deze interpretatie verwijzen we naar de nabijgelegen structuur II-A-272, een poel zo'n 3 meter ten noorden van structuur II-A-196 (cf. infra) (fig. 167). Op de bodem van deze structuur vonden we een grote dump kalkzandstenen. Geconcentreerd in het zuiden van de poel, liggen de stenen het dichtst bij de veronderstelde waterput, structuur II-A-196. We veronderstellen bijgevolg dat

tijdens het uitbreken van de schacht van de waterput, de stenen deels zijn gerecupereerd, maar ook deels zijn gedumpt in de nabijgelegen poel. Bevestiging voor deze interpretatie vinden we tenslotte in de dateringen van beide structuren, die een gelijktijdig functioneren niet uitsluiten.



Fig. 205. Coupe CD op structuur II-A-196 vanop grondplan B.

Vondsten en datering

De contexten II-A-196-AB-1 en II-A-196-CD-8 leverden vrij veel materiaal op. De opgavelagen (context II-A-196-AB-1) bevatten overwegend grijs gedraaid aardewerk, met voornamelijk wandscherven, maar ook voldoende diagnostische scherven van kannen/kruiken (fig. 206:

15)¹⁶³, teilen (fig. 206: 4, 5, 7)¹⁶⁴, een vuurklok (fig. 206: 10)¹⁶⁵ en een kookkan¹⁶⁶. Het assemblage omvat tevens weinig rood gedraaid aardewerk, waaronder eveneens enkele wandscherven en randen van een kom (fig. 206: 12)¹⁶⁷, een vuurklok (fig. 206: 13)¹⁶⁸ en een vetvanger met slibversiering (fig. 206: 11)¹⁶⁹, alsook een scherf hoogversierd aardewerk¹⁷⁰. Eveneens vinden we een scherf bijna steengoed¹⁷¹ en enkele scherven steengoed. Tezamen resulteert dit in een datering in de eerst helft, en mogelijk zelfs in het eerste kwart, van de 14de eeuw. Het aardewerk uit de laag van de insteek (context II-A-196-CD-8) omvat een tiental wandscherven en enkele diagnostische scherven grijs gedraaid aardewerk van kannen/kruiken (fig. 206:

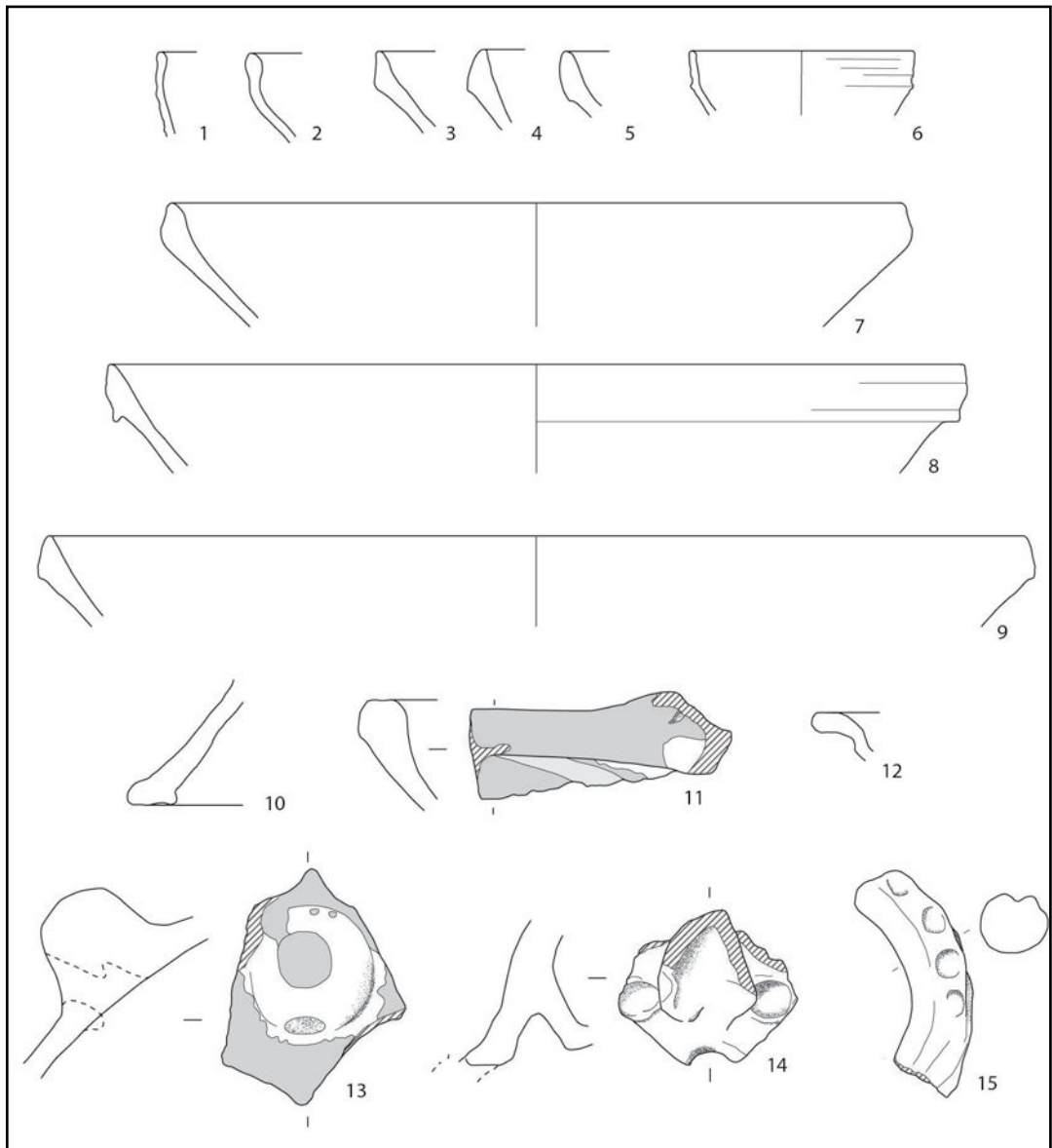


Fig. 206. Aardewerk uit structuur II-A-196.

163 De Grootte, 2014, 177. Kruiken met brede bandvormige oren versierd met vingerindrukken zijn 14de-eeuws.

164 De Grootte, 2014, 260-263, tabel 57 randtype L56A. 1300-1375.

165 De Grootte, 2014, 281-284: tabel 64 randtype L94B. 14de-eeuws.

166 De Grootte, 2014. De kookkan doet zijn intrede in de eerste helft van de 13de eeuw, maar is vooral courant in gebruik in de 14de eeuw, om in de 15de eeuw snel in onbruik te raken.

167 De Grootte, 2014, 235. De eerste komvormen in rood aardewerk verschijnen in de 13de eeuw, maar blijven relatief zeldzaam tot in de 14de eeuw. Het gaat voornamelijk zoals in grijs aardewerk over kleine volumes.

168 De Grootte, 2014, 281-284. Overwegend gemaakt in grijs aardewerk, maar in de 13de en 14de eeuw zijn ook voorbeelden in rood aardewerk voorhanden.

169 De Grootte, 2014, 274-275. 14de-eeuwse vormen zijn vrij diep en smal met afgeronde hoeken.

170 De Grootte, 2014, 304. Te dateren tussen de late 12de en 13de eeuw.

171 De Grootte, 2014, 369. Geproduceerd in de late 13de en vroege 14de eeuw.

2)¹⁷², teilen (fig. 206: 8, 9)¹⁷³ en een vuurklok (fig. 206: 14)¹⁷⁴. De rand van een drinkkan in steengoed (206: 6) is vermoedelijk intrusief aanwezig en afkomstig van de bovenliggende opgavelaag. Voor context II-A-196, die de oppervlaktevondsten verzamelt, vermelden we nog de rand van een kan/kruik (fig. 206: 1)¹⁷⁵ en een teil in grijs gedraaid aardewerk (fig. 206: 3).¹⁷⁶ Als dusdanig krijgen we voor de opvulling van de aanlegtrechter een datering in de tweede helft van de 13de en de eerste helft van de 14de eeuw. Deze datering geldt uiteindelijk ook voor de levensduur van de waterput in zijn totaliteit.

7.4.2.4. Poelen

7.4.2.4.1. Structuur II-A-272

Beschrijving en interpretatie

Structuur 272 betreft een poel in het noorden van het vlak, vijf meter ten noorden van waterput II-A-196 en net ten zuiden van de grachten, context II-A-212-EF-1 en II-A-212-AB-1 (fig. 207). We onderscheiden geen chronologische fases, waardoor de structuur slechts één context omvat, eveneens II-A-272 genoemd.

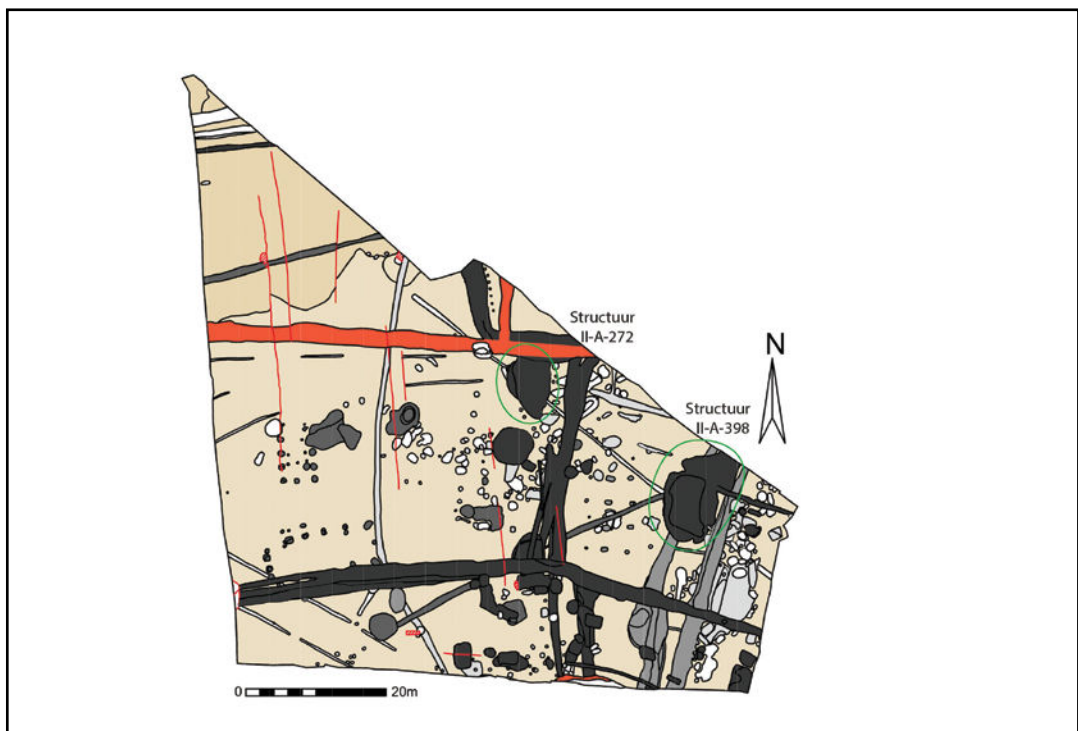


Fig. 207. Zone II grondplan A met aanduiding van de besproken structuren, schaal 1/750.

De ovale vorm en de afmetingen van de structuur, max. 8,8 m bij 5,3 m, samen met de aanwezigheid van brokken kalkzandsteen aan het oppervlak deden vermoeden dat we hier te maken hadden met een waterput (fig. 208). Boringen gaven echter aan dat het een relatief ondiep spoor betrof. Drie grote coupes zijn uitgezet, twee in de breedteas (CD en EF) en één in de lengteas (WX), waarbij de relatie tot gracht, context II-A-212-EF-1, is gecontroleerd (fig. 209, 210, 211). In het grondplan beschouwden we de gracht namelijk als recenter dan de poel, maar in coupe leek dit eerder omgekeerd te zijn (cf. infra: fase 4) (fig. 208, 212). Waar de gracht en de poel elkaar raken gelijken de lagen sterk op elkaar, gebioturbeerd en gehomogeniseerd.

172 De Grootte, 2018, 109-120, tabel 10 type A122. 1275-1325.

173 De Grootte, 2014, 260-266, tabel 57 randtype L56A en L56B. 14de-eeuws.

174 De Grootte, 2014, 281-284.

175 De Grootte, 2014, 171-175, tabel 19 randtype L130A. Nieuw randtype dat verschijnt in de 14de eeuw.

176 De Grootte, 2014, 260-263, tabel 57 randtype L56A, L56B. Teilen in grijs aardewerk met dergelijke randen dateren tussen 1300 en 1375.



Fig. 208. Zicht op structuur II-A-272 op grondplan A.

Omwille van deze onduidelijke onderlinge relatie en de sterk gelijkaardige vulling, sluiten we een gelijktijdig functioneren niet uit. Aangezien het terrein afhelt in oostelijke richting is het mogelijk dat het overtollige water in de poel overliep in de gracht. De datering van het vondstmateriaal sluit deze relatie alvast niet uit. De coupes toonden een uniform beeld van de poel met steeds dezelfde vijf lagen. De bovenste twee lagen waren eerder zandig met vrij veel spoelbandjes (fig. 210, 213). Deze getuigen waarschijnlijk van een periode waarin de poel uitgedroogd was, open lag en regelmatig inspoelde tijdens regenbuien. De onderste drie lagen waren kleilig en lokaal rijk aan brokken kalkzandsteen. Zo troffen we in het zuiden, op de bodem van de poel een concentratie kalkzandstenen aan, ogenschijnlijk zonder organisatie (fig. 214, 215). Hun functie was ons totaal niet duidelijk, tot het moment dat we de nabijgelegen structuur II-A-196 opgroeven (cf. supra). Deze veronderstelde waterput bleek geen resten van een constructie *in situ* te bevatten, maar wel brokken natuursteen in de opgavelagen. Op basis hiervan is de suggestie tot stand gekomen dat bij de afbraak van de stenen schacht van de waterput, de natuurstenen gedumpt zijn in de poel. De opvullingslagen bevatten zowel natuurstenen, als vrij veel ander vondstmateriaal. Naar onze mening voldeed de structuur niet alleen als poel voor het vee, maar ook als dumpzone voor afval in het algemeen.

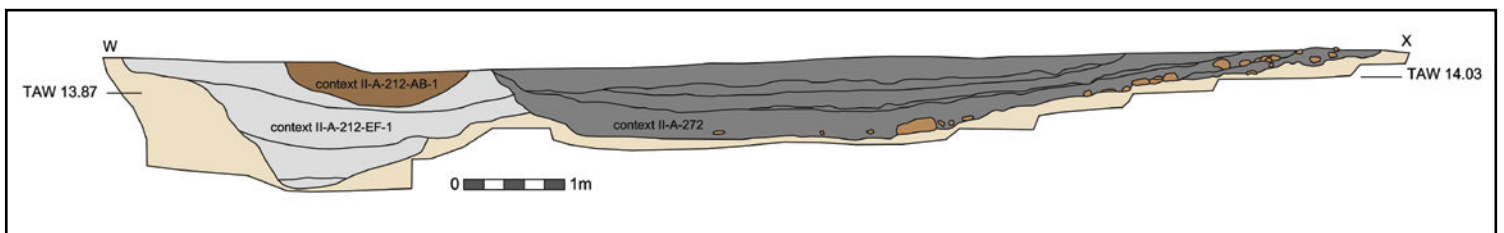


Fig. 209. Coupetekening WX op contexten II-A-212-AB-1, II-A-212-EF-1 en II-A-272.



Fig. 210. Kwadrant CY op structuur II-A-272.



Fig. 211. Kwadrant GF structuur II-A-272.



Fig. 212. Kwadrant WG van coupe WX met oversnijding tussen contexten II-A-212-EF-1 en II-A-272.



Fig. 213. Detail van de vullingspakketten met spoelbandjes.



Fig. 214. Zicht op de dump van natuurstenen op de bodem van de poel in kwadrant CYX.



Fig. 215. Coupe WX met zicht op de natuurstenen op de bodem van de poel.

Vondsten en datering

De vulling van de poel bracht veel vondstmateriaal aan het licht (ca. 50 % van de vulling is uitgehaald). Naast behoorlijk wat bot en een beetje metaal en bouw materiaal, was vooral aardewerk sterk vertegenwoordigd. Het grijs gedraaid aardewerk omvat 408 scherven waarbinnen vormen als kannen/kruiken (fig. 216: 1, 2)¹⁷⁷, kogelpotten (fig. 217: 1-7)¹⁷⁸, kommen (fig. 218: 1)¹⁷⁹, vuurklokken (fig. 218: 7-9)¹⁸⁰, teilen (fig. 218: 3-6)¹⁸¹, een kookkan¹⁸², een kom¹⁸³ en een bloempot¹⁸⁴ te herkennen zijn. Het rood gedraaid aardewerk is, met slechts een 28

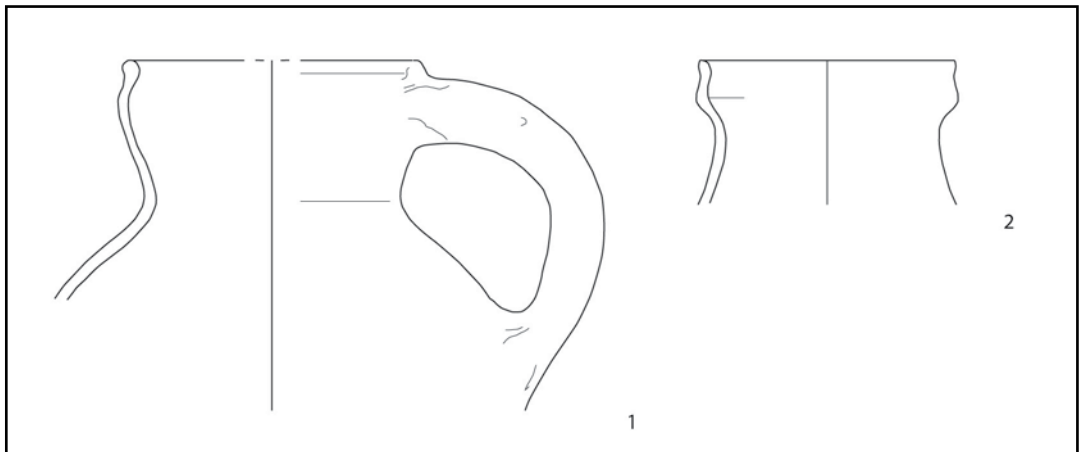


Fig. 216. Aardewerk uit structuur II-A-272.

177 De Grootte, 2018, 109-120, tabel 10 type A136. 1300-1425. De Grootte, 2018, 109-120, tabel 10 type A132. 1275-1400.

178 De Grootte, 2018, 120-123, tabel 12 type A232 of haaks uitstaande rand te dateren in de 13de tot eerste kwart 14de eeuw; de kogelpot is de belangrijkste kookvorm tot de 14de eeuw. De Grootte, 2014, 210-211. Duimindrukken op de rand, of drapedecor, is eerder 13de eeuws.

179 De Grootte, 2018, 123-132, tabel 13 type A159D. 1300-1425

180 De Grootte, 2018, 152-153, tabel 25 respectievelijk type A213, A212 en A211. Types aanwezig in de 14de eeuw, A211 verschijnt reeds in de 13de eeuw.

181 De Grootte, 2018, 143-147 tabel 20 type A170, type A171 en type A173. Respectievelijk te dateren 1275-1400, 1225-1400 en 1225-1400; randvormen met een oorsprong in de 13de eeuw en die tot ten laatste het midden van de 14de eeuw in gebruik blijven.

182 De Grootte, 2014, 237-241. De kookkan verschijnt in de 13de eeuw, is courant gebruikt in de 14de eeuw en verdwijnt in de 15de eeuw. De Grootte, 2018, 133-135. Een vorm die beperkt aanwezig is in de 13de en de 14de eeuw.

183 De Grootte, 2014, 223-235; De Grootte, 2018, 123-132.

184 De Grootte, 2014, 148-149. Verschijnt als vorm in de 14de eeuw en blijft aanwezig in de 15de en eerste helft 16de eeuw.

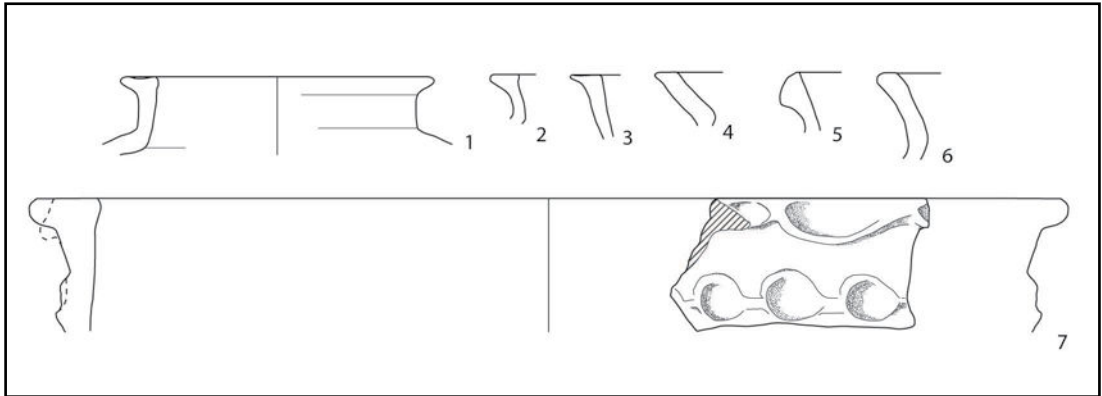


Fig. 217. Aardewerk uit structuur II-A-272.

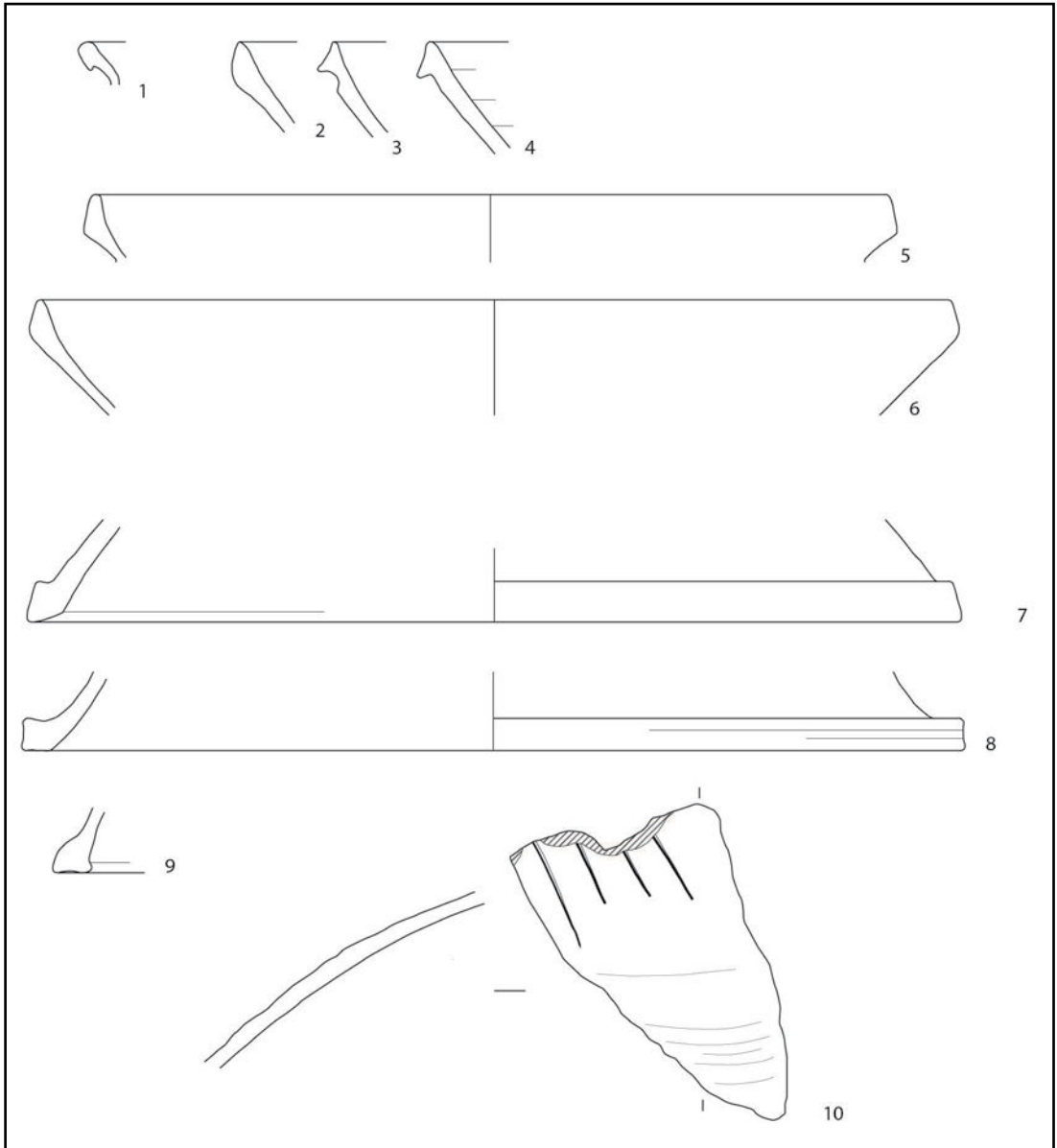


Fig. 218. Aardewerk uit structuur II-A-272.

scherven, beduidend minder vertegenwoordigd. Wel herkennen we kannen/kruiken en grapes. Tenslotte tellen we een scherf bijna-steengoed¹⁸⁵ en drie scherven steengoed met engobe/zoutglazuur, waarvan één tot een kan/kruik behoort¹⁸⁶. Naar datering toe baseren we ons op deze specifiek combinatie van een grote meerderheid grijs aardewerk, kenmerkend voor de 12de, 13de en de eerste helft van de 14de eeuw¹⁸⁷, met een weinig rood gedraaid aardewerk¹⁸⁸, bijna-steengoed en steengoed met engobe/zoutglazuur, eerder te dateren tussen het einde van de 13de en de eerste helft van de 14de eeuw. Tezamen resulteert dit in een datering van de structuur in de eerste helft van de 14de eeuw.

In de relatie met de gracht II-A-212-EF-1 beschouwen we de poel als recenter, maar sluiten we een gelijktijdig functioneren van beide niet uit. De aard en de datering van het aardewerk afkomstig uit de gracht sluit in elk geval aan bij dat van de poel (cf. infra).

7.4.2.4.2. Structuur II-A-398

Beschrijving en interpretatie

In de noordoostelijke hoek van het terrein is het terrein afgegraven in twee fases. Een donkergrijze ovalen 'vlek' met grillige contouren en afmetingen van 10 m bij 7,8 m tekende zich af in het eerste vlak: sporen II-A-398, 399 en 513 (fig. 207, 219). In het aansluitende vlak breidde deze vlek zich ruim 4 m noordoostwaarts uit, opgetekend als spoor II-A-456, en sloot ze aan op een greppel, spoor II-A-443 (fig. 220, 221). In het grondplan konden we tussen deze sporen geen duidelijk oversnijdingen vaststellen. Zoals bij de poel, structuur II-A-272, kwamen ook bij spoor II-A-399 in het zuiden brokken natuursteen aan het oppervlak. De sporen II-A-



Fig. 219. Zicht op structuur II-A-398 op grondplan A.

185 De Grootte, 2014, 369. Geproduceerd in de late 13de – vroege 14de eeuw.

186 De Grootte, 2014, 377-378. Steengoed komt algemeen in gebruik in de 14de eeuw, in de 15de eeuw is de producten uit Langerwehe en Siegburg dominant aanwezig, waarna productiecentra Raeren en Aken de overhand nemen.

187 De Grootte, 2014, 107. De aardewerkgroep 'grijs gedraaid aardewerk' komt op in de 12de eeuw, is voornamelijk aanwezig in de 12de en 13de eeuw, om af te nemen vanaf het midden van de 13de eeuw en te verdwijnen in de 14de eeuw.

188 De Grootte, 2014, 109. De aardewerkgroep 'rood aardewerk' verschijnt in de 13de eeuw, neemt toe in hoeveel in de loop van de 14de eeuw en is dominant in de 15de en 16de eeuw.



Fig. 220. Zicht op structuur II-A-398 op grondplan A.

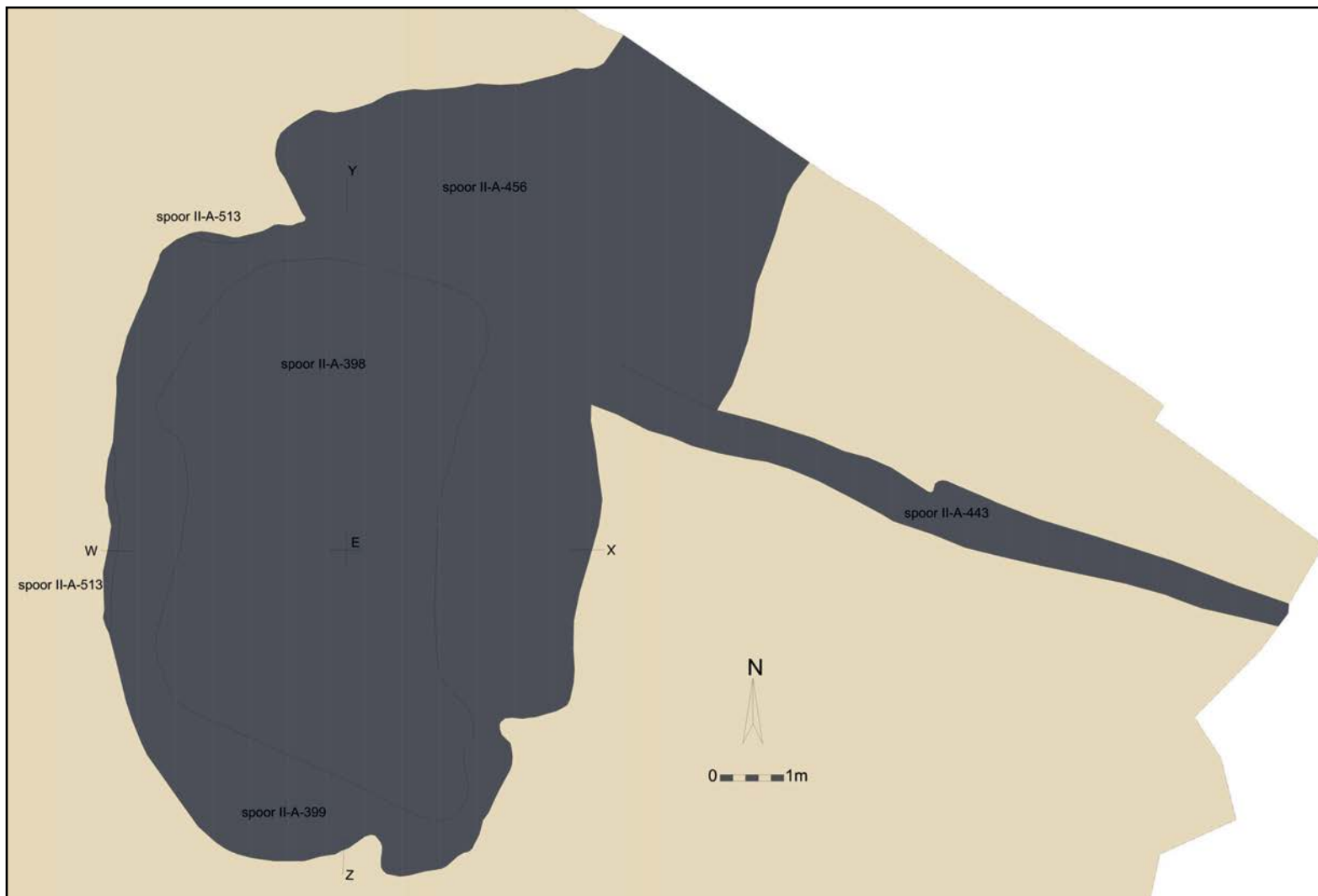


Fig. 221. Structuur II-A-398 op grondplan A met aanduiding van de besproken sporen, schaal 1/100.

398, 399 en 513 zijn in eerste instantie samen geïnterpreteerd als een waterput, maar zoals bij structuur II-A-272 gaven de boringen het tegendeel aan. We hebben geopteerd voor twee coupes, in de breedte (WX) en in de lengte (YZ), waarbij de relatie tussen sporen II-A-399 en II-A-456 is gecontroleerd (fig. 221). Aansluitend zijn meerdere andere coupes uitgevoerd ter controle van de relatie van deze sporen tot de overige omliggende sporen.

Eens voor de sporen II-A-398, 399 en 513 een interpretatie als waterput uitgesloten was, zijn we tijdens de registratie op het terrein steeds uitgegaan van een interpretatie als kuil. In dit opzicht is spoor II-A-456 beschouwd als een aparte laag en spoor II-A-443 als een aparte greppel. Het is pas na de verwerking van de veldgegevens en tijdens de beschrijving van structuur II-A-272 als poel, dat eenzelfde interpretatie voor de sporen II-A-398, II-A-398, II-A-513 en II-A-456 is geopperd (fig. 221). Bijgevolg zijn deze sporen pas in een late fase van de verwerking samen beschouwd als één structuur, samengesteld uit twee contexten: poel II-A-398 en greppel II-A-443-AB-1. De poel heeft in essentie een ovale vorm, maar waaiert uit in noordoostelijke richting (spoor II-A-456). We gaan ervan uit dat deze 'vlek' het gevolg is van het overlopen van de poel op het diepste punt bij een teveel aan water. Volgens hetzelfde principe interpreteren we de greppel, context II-A-443-AB-1, als een afwateringsgreppel, waardoor deze eveneens onlosmakelijk verbonden is met de poel (fig. 222).

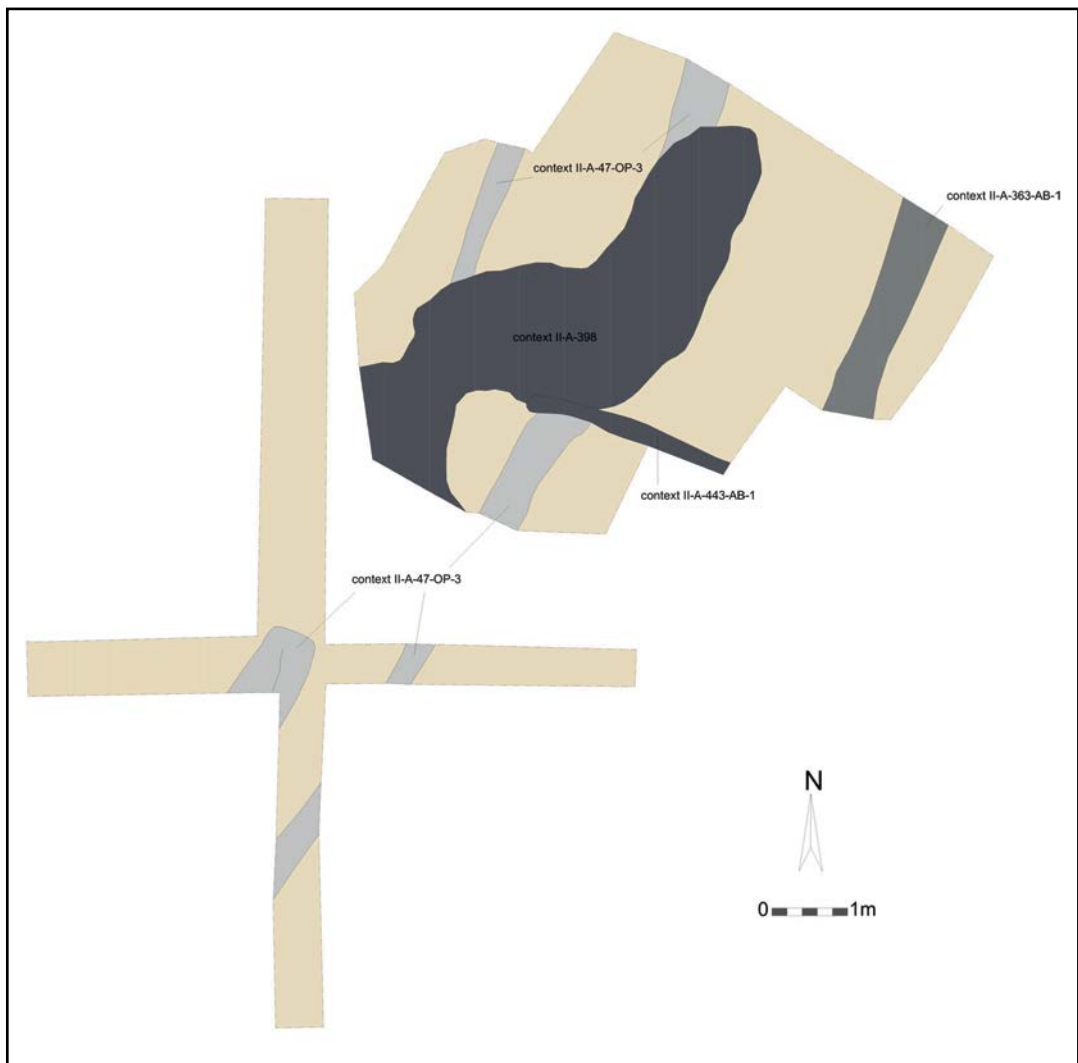


Fig. 222. Structuur II-A-398 op grondplan B met aanduiding van de besproken contexten, schaal 1/100.

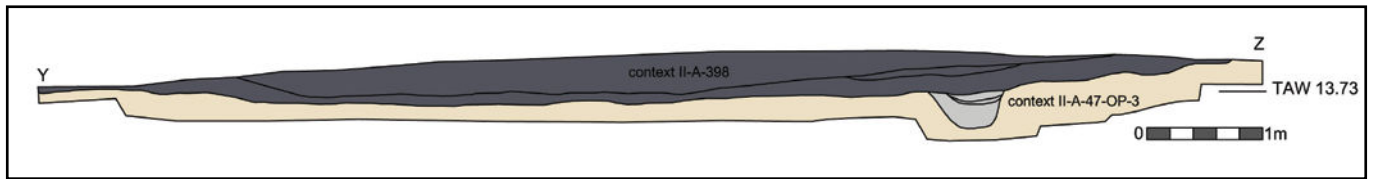


Fig. 223. Coupetekening YZ op structuur II-A-398.

Tijdens de verwerking zijn de foto's en de tekeningen van het grondvlak en de coupes herbekeken vanuit deze nieuwe invalshoek. Bepaalde aspecten van de structuur vallen op en bevestigen een interpretatie als poel des te meer. Zo kent de uitgraving een zachte hellingsgraad en bereikt ze in het midden een diepte van max. 0,4 m (fig. 223, 224, 225). De grens tussen de bodem van de kuil en de moederbodem is vrij onregelmatig en bijna golvend (fig. 226), hetgeen zich herhaalt in de grillige begrenzing van de poel in het grondplan. Mogelijk is dit het gevolg van *trampling*. De structuur bevatte bovendien opvallend meer vondstmateriaal dan de overig sporen in zone II, waaronder botmateriaal met kapsporen. Het lijkt ons niet onwaarschijnlijk dat de poel ook functioneerde als een plek waar gemakkelijk afval in gegooid werd. Tenslotte stellen we vast dat de vulling van de poel, context II-A-398, en de greppel, context II-A-443-AB-1 identiek is. Een oversnijding in het grondplan en in coupe was niet vast te stellen. Het veronderstellen van gelijktijdigheid tussen beide contexten lijkt ons evident.



Fig. 224. Kwadrant XE van coupe WX op structuur II-A-398.



Fig. 225. Kwadrant EZ van coupe YZ structuur II-A-398.



Fig. 226. Detail van de vullingspakketten van structuur II-A-398.

Vondsten en datering

De poel was bijzonder rijk aan vondsten (ca. 50 % van de vulling is uitgehaald). In de onderste laag was behoorlijk wat dierlijk bot aanwezig, voornamelijk toe te wijzen aan runderen en deels ook aan schaaap/geit. Enkele fragmenten vertoonden zelfs slachtkapsporen. Qua aardewerk is het grijs gedraaid aardewerk het sterkst vertegenwoordigd: we tellen niet minder dan 888 wandscherven, maar ook 126 diagnostische scherven zijn te herkennen waaronder kannen/kruiken (fig. 229: 1, 2)¹⁸⁹, kommen¹⁹⁰, grapes (fig. 230: 7-8)¹⁹¹, teilen (fig. 227: 1-7)¹⁹², kookkannen¹⁹³, voorraadpotten (fig. 230: 1-6)¹⁹⁴, en opvallend veel vuurklokken (fig. 228: 1-7), o.a. met *Kerbschnitt*versiering.¹⁹⁵ Eén scherf grijs gedraaid van Rijnlandse oorsprong (Paffrath) lijkt hier niet op zijn plaats. Naast 49 wandscherven rood gedraaid aardewerk, treffen we 19 diagnostische scherven aan die behoren tot grapes (fig. 230: 9, 10)¹⁹⁶, kannen/kruiken (fig. 229: 3) en een pan met een niet doorboorde steel (fig. 229: 7)¹⁹⁷, alsook 10 scherven van dezelfde vetvanger (fig. 229: 5, 6)¹⁹⁸ en een scherf van een kan/kruik in hoogversierd

189 De Grootte, 2018, 109-120, tabel 10 type A131 en type A121. Type A121 kent een brede spreiding van de 13de tot de 16de eeuw, type A131 'duikt op in het laatste kwart van de 13de eeuw en is vooral aanwezig in het midden van de 14de eeuw'.

190 De Grootte, 2014, 223-235; De Grootte, 2018, 123-132.

191 De Grootte, 2014, 156-165, tabel randtype L120. Voornamelijk tussen 1325 en 1400.

192 De Grootte, 2018, 142-147, tabel 20 type A172, A177 en A178. Types A172 en A177 of de 'niet ondersneden, weinig geprofileerde bandvormige rand is het dominante randtype bij teilen in de 14de tot vroege 15de eeuw'; type A177 is eveneens 14de-eeuws maar komt mogelijk niet meer voor in de 15de eeuw.

193 De Grootte, 2014, 237-241. De kookkan verschijnt in de 13de eeuw, is courant gebruikt in de 14de eeuw en verdwijnt in de 15de eeuw. De Grootte, 2018, 133-135. Een vorm die beperkt aanwezig is in de 13de en de 14de eeuw.

194 De Grootte, 2014, 275-280. In de 14de eeuw verdwijnt de kogelpot en wordt de voorraadpot de enige kogelvormige potvorm nog in gebruik in de 14de eeuw.

195 De Grootte, 2014, 280-284, tabel 64 randtypes L94A en L94C. De vuurklok is voornamelijk in grijs aardewerk gemaakt. Het dekselvormige type verschijnt in het begin van de 13de eeuw, doorgaans versierd met vingerdrukken op de overgang tussen want en koepel en met *Kerbschnitt* op het koepeloppervlak. De *Kerbschnitt*versiering is kenmerkend voor de vuurklok uit de 13de en 14de eeuw.

196 De Grootte, 2014, 156-164: tabel 14 rantype L122B en L123A. 14de-eeuwse grapes.

197 De Grootte, 2014, 246-252. De holle steel is niet doorboord tot in de wand van de pan, dit fenomeen verschijnt vanaf de 14de eeuw, voordien was de wand eveneens doorboord.

198 De Grootte, 2018, 147-149. De oudste exemplaren gaan terug tot de 13de en vroege 14de eeuw; 14de-eeuwse voorbeelden hebben een geul aan de korte zijde en slijbversiering.

aardewerk¹⁹⁹. Tenslotte zijn ook een scherp protosteengoed²⁰⁰, een scherp bijna- steengoed²⁰¹ en 28 scherven steengoed met engobe/zoutglazuur, waaronder kannen/kruiken (fig. 229: 4)²⁰², in rekening te brengen. Aan de hand van dit assemblage is de opvulling van de poel gedateerd in de eerste helft van de 14de eeuw. De greppel II-A-443-AB-1 bevatte slechts één scherp grijs gedraaid aardewerk afkomstig van een kan/kruik en één scherp hoogversierd aardewerk, met een iets ruimere datering in de tweede helft van de 13de en de eerste helft van de 14de eeuw als resultaat. Dit kan herleid worden tot de eerste helft van de 14de eeuw op basis van het verondersteld samen functioneren met de poel.

De veelvuldige coupes om de relatie van de poel tot de overige omliggende sporen na te gaan, gaven aan dat de poel steeds recenter is. Zo oversnijdt de structuur twee greppels, contexten II-A-94 en II-A-218 (cf. infra: fase 1), gedateerd in respectievelijk de volle middeleeuwen en de metaaltijden, alsook een greppel, context II-A-47-OP-2, die deel uitmaakt van de weg, met name structuur A-II-A-47-OP-2, gedateerd tussen 1175 en 1300 (cf. infra: fase 2). Deze relaties spreken de datering van poel tussen 1300 en 1350 niet tegen.

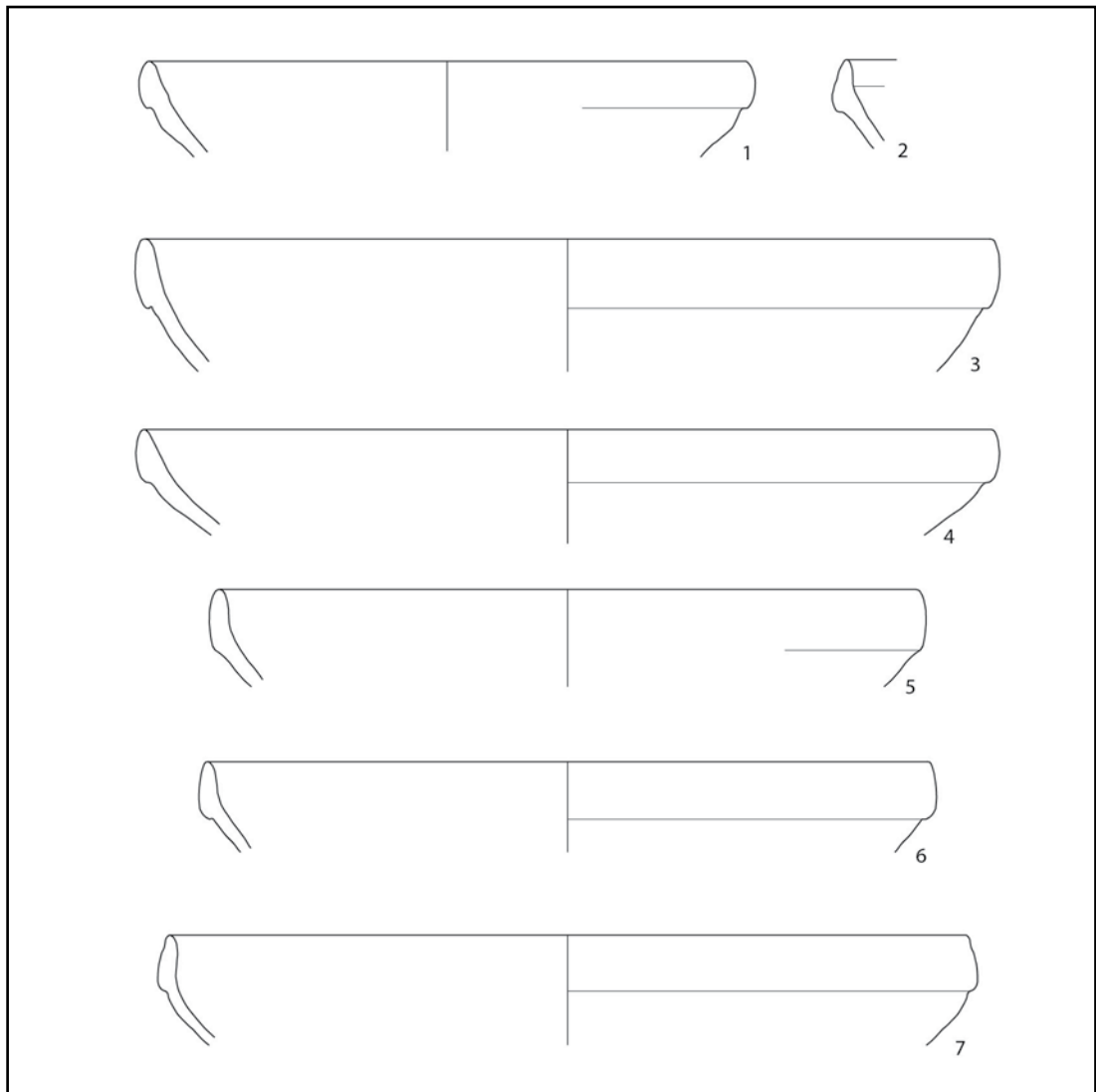


Fig. 227. Aardewerk uit structuur II-A-398.

199 De Grootte, 2014, 304-306. De kan is de voornaamste vorm in dit type aardewerk, dat verschijnt in de 13de eeuw.

200 De Grootte, 2014, 368.

201 De Grootte, 2014, 369.

202 De Grootte, 2014, 369-374. 14de en eerste helft 15de eeuw, type 1 met bandvormige rand.

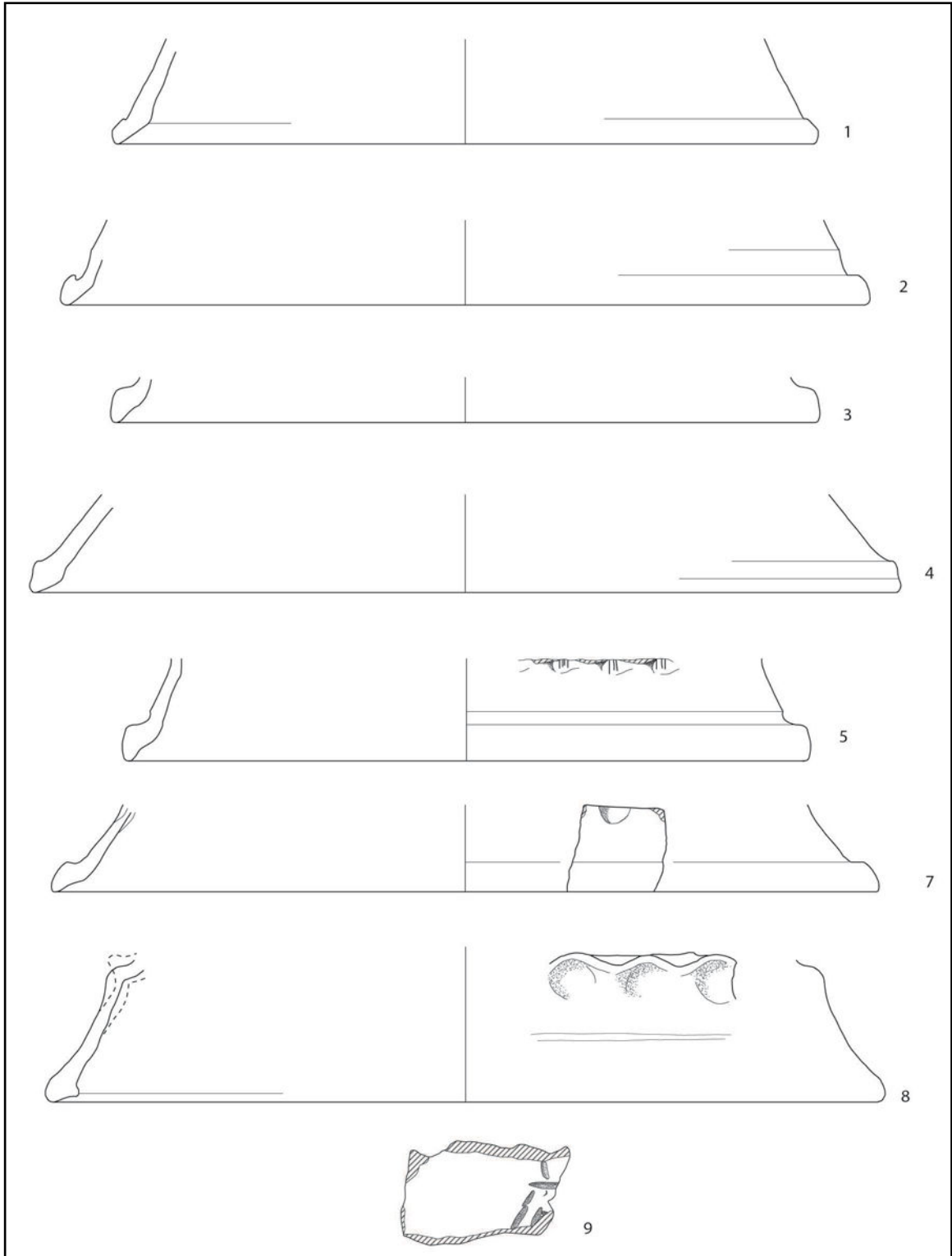


Fig. 228. Aardewerk uit structuur II-A-398.

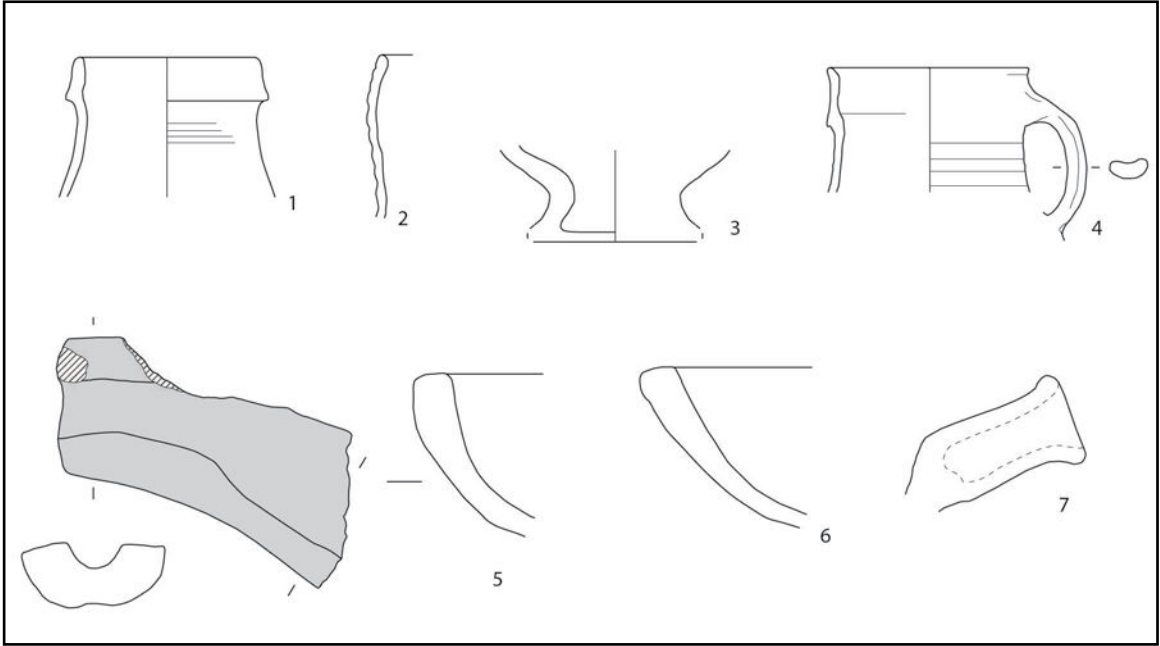


Fig. 229. Aardewerk uit structuur II-A-398.

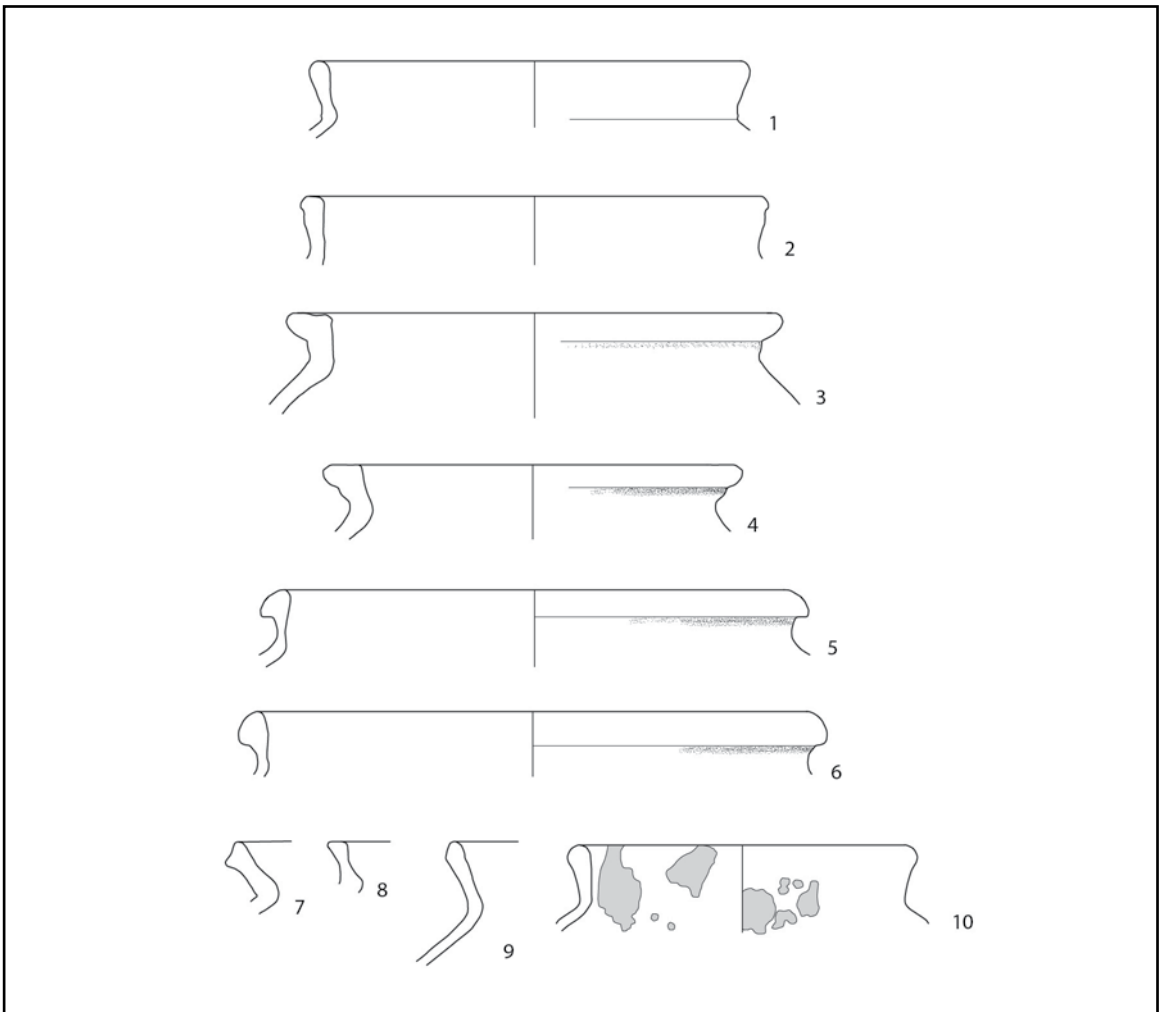


Fig. 230. Aardewerk uit structuur II-A-398.

7.4.2.5. Greppels en grachten

In het hiërarchisch classificatiesysteem van SOLVA kunnen één of meerder sporen samengevoegd worden tot een context, en één of meerdere contexten tot een structuur. De interpretatie van een context als ‘gracht’ of als ‘greppel’ is gebonden aan criteria die binnen SOLVA zijn vastgelegd (cf. thesauri). Zo is het onderscheid tussen beide type contexten bepaald op basis van afmetingen, waarbij een ‘gracht’ per definitie breder is dan 1 m en dieper dan 0,5 m. In het geval van de greppel- en grachtcontexten is het mogelijk om deze samen te brengen op structuurniveau onder de noemer ‘weg’. Het is volgens deze definities dat de termen ‘gracht’, ‘greppel’ en ‘weg’ in het volgende hoofdstuk gehanteerd zijn.

Zone II is gekenmerkt door het grote aantal grachten en greppels. Met hun variërende oriëntaties en onderlinge oversnijdingen delen ze het terrein als het ware op in vakjes (fig. 231). In grote lijnen kunnen we voor de grachten en greppels vijf chronologische fasen onderscheiden. Enerzijds aan de hand van hun dateringen op basis van het aardewerk, en anderzijds op basis van hun relatie tot elkaar en tot andere contexten. Zo zien we centraal in het vlak een knooppunt van grachten en greppels, met daarenboven de aanwezigheid van de dubbele waterput, structuren II-A-53 en II-A-47-TU-2 (cf. supra). Een groot aantal coupes tijdens het terreinwerk en heel wat nabeschouwing tijdens de verwerking was nodig om verduidelijking te brengen in een complex geheel. Vanuit deze complexiteit, met de nodige onduidelijkheden, hebben we meerdere gracht- en greppelcontexten gecreëerd, ook al maken ze deel uit van eenzelfde systeem. Op deze manier was het mogelijk om faseringen binnen één bepaald systeem te onderscheiden en tegelijkertijd de mogelijkheid open te houden om een bepaalde context, en het hiermee gerelateerde vondstmateriaal, eventueel tot een andere fase of grachtensysteem te rekenen.

In de volgende hoofdstukken bespreken we per fase de verschillende grachten en greppels die tot een fase behoren. Hierbij besteden we ook aandacht aan de heruitgravingen, of de fasering binnen een fase. Met uitzondering van fase 2, waar sprake is van een structuur, ‘weg’, omvatten de overige fasen enkel contexten. Suggesties omtrent de relatie tussen de grachten, greppels en weg versus de overige bewoningssporen komen pas later in de tekst



Fig. 231. Zone II grondplan A allesporenplan, schaal 1/750.

aan bod in het concluderende luik.

7.4.2.5.1. Fase 1

7.4.2.5.1.1. Context II-A--MN-4

Beschrijving en interpretatie

De gracht II-A- -MN-4 ligt in de westelijke helft van het terrein en vertoont een lichte gebogen noord-zuidelijk verloop, quasi parallel aan de grachten uit fase 2 en 3. We beschouwen deze context als één van de oudste grachten in zone II en dit op basis van de oversnijdingen en de aard van de vulling - sterk uitgeloozd en gehomogeniseerd (fig. 233, 234). Het vondstmateriaal geeft weinig uitsluitel over de datering.

Vondsten en datering

De vondsten uit deze context zijn bijzonder schaars. Slechts één wandscherf grijs aardewerk en één wandscherf grijs gedraaid aardewerk, gerecupereerd aan het oppervlak, zijn niet nader te dateren dan de middeleeuwen. Twee wandscherven grofwandig aardewerk zijn verzameld uit het profiel MN en toegewezen aan de metaaltijden. Hun herkomst is evenwel twijfelachtig aangezien we ter hoogte van dit profiel te maken hebben met een specifiek bodemkundig fenomeen: een uitgesproken E-horizont en een sterk uitgeloozde Bg-Horizont, wat het maken van een duidelijk onderscheid tussen het colluvium en de moederbodem met onderliggende sporen, niet toe laat (cf. supra; met dank aan J. Mikkelsen) (fig. 234). Naar alle waarschijnlijkheid zijn deze twee scherven afkomstig uit de E-horizont, of zijn ze vergraven door de gracht en residueel aanwezig in de vulling. In deze veronderstelling integreren we de metaaltijden niet in de datering, die op basis van het aardewerk als dusdanig kan herleid worden tot 1050-1600.

Hoewel de gracht II-A- -MN-4 passeert langs twee gebouwen, structuren II-A--WX-4 en II-A-289, een waterkuil, structuur II-A-174-AB-1 en een waterput, structuur II-A-295, raken ze elkaar niet en is bijgevolg geen relatie te achterhalen. De context zelf is wél oversneden, door een postmiddeleeuwse gracht, context II-A-212-AB-1 (fase 5), twee middeleeuwse grachten, contexten II-A-47-BA-1 en II-A-47-BA-2 (fase 4 en 3) en door een volmiddeleeuwse greppel, context II-A-94 (fase 1) (fig. 323). Deze laatste relatie was duidelijk in het grondvlak (fig. 334), maar moeilijk te achterhalen in de coupe. De vulling van beide contexten is immers vrij homogeen en sterk uitgeloozd. Het is evenwel op basis van deze relatie dat we voor de datering van context II-A- -MN-4 een bovengrens in de 12de eeuw stellen.

7.4.2.5.1.2. Contexten II-A-94 en II-A-280

Beschrijving en interpretatie

Context II-A-94 doorkruist bijna het volledige terrein vanuit het zuidwesten naar het noordoosten (fig. 232). Coupes toonden aan dat de greppel dieper en breder bewaard is op het hoogste punt van het terrein en aanzienlijk verkleint naar het noordoosten toe. Zo verliezen we zicht op het verdere noordoostelijke verloop eens de greppel botst op de poel, structuur II-A-398, waarschijnlijk door haar geringe diepte. Centraal in het vlak, ter hoogte van de waterputten, structuren II-A-47-TU-2 en II-A-53, hebben we tijdens het openleggen iets dieper afgegraven, waardoor de greppel minder goed is bewaard en niet is opgemerkt. Tijdens de verwerking konden we op basis van een foto haar alsnog vaststellen. Ze is dan ook later in het plan ingepast. In het zuidwesten van het terrein sluit de greppel aan op de waterput, structuur II-A-295 (cf. supra). Hoewel context II-A-295, de lagen die de opgave van de waterput behelzen, de vulling van de greppel oversnijdt, hebben beide ongetwijfeld samen gefunctioneerd. Gezien de hellingsgraad van het terrein, aflopend in oostelijke richting, moet de greppel geen water aanvoerende, maar een water afvoerende functie hebben vervuld.



Fig. 232. Zone II grondplan A met aanduiding van de grachten en greppels uit Fase 1 en de besproken contexten in relatie tot de grachten en greppels uit Fase 1, schaal 1/750.



Fig. 233. Zicht op contexten II-A--MN-4 en II-A-94 op grondplan A.



Fig. 234. Context II-A- -MN-4 in profiel MN.



Fig. 235. Coupe AB op context II-A-94.



Fig. 236. Coupe AB op context II-A-280.

De greppel, context II-A-280, passeert ongeveer 23 m ten noorden van het gebouw, structuur II-A--WX-4 en ligt enigszins geïsoleerd in het noordwesten van het terrein. Ze heeft zoals context II-A-94 een noordoost-zuidwestelijk verloop en ook de datering van het vondstmateriaal en de aard van de vulling van de grachten sluiten bij elkaar aan. Beide greppels toonden in de coupes steeds dezelfde twee lagen: uitgeloopte grijzig witte spoelbandjes op de bodem, met daarboven een homogeen lichtgrijs pakket (fig. 235, 236).

Vondsten en datering

De greppel II-A-94 leverde slechts twee wandscherven roodbeschilderd Rijnlands aardewerk en de rand van een kogelpot in grijs gedraaid aardewerk op. De greppel II-A-280 bevatte eveneens maar één rand van een tuitpot in roodbeschilderd Rijnlands aardewerk. Hoewel weinig vondsten voorhanden zijn, suggereren we voor beide greppels een brede datering in de volle middeleeuwen.

Wat context II-A-94 betreft, vinden we extra bevestiging in haar relatie tot andere structuren zoals de waterput, structuur II-A-295, eveneens gedateerd in de volle middeleeuwen; maar ook in de oversnijding door een aantal grachten en greppels, gedateerd in de late middeleeuwen - contexten II-A-50, II-A-45, II-A-56, II-A-47-AB-2 (fase 3) en II-A-47-AB-1 (fase 4), en de poel, structuur II-A-398, gedateerd tussen 1300 en 1350. Naast deze relatieve chronologie zijn ook de oriëntatie van de greppel, die afwijkt t.o.v. de recentere grachten (noordoost-zuidwest versus noord-zuid en oost-west), de aard van de vulling en tenslotte de aardewerkvondsten aanwijzingen om deze context als één van de oudste in zone II te beschouwen.

7.4.2.5.2. Fase 2

7.4.2.5.2.1. Structuur II-A-47-OP-2

Beschrijving en interpretatie

In het oosten van het terrein tekenen we twee parallelle grachten met een noordnoordoost-zuidzuidwest oriëntatie op (fig. 237). De meest oostelijke gracht kunnen we volgen over de volledige lengte van het opgravingsvlak, daar waar de westelijke gracht deels aan het zicht is onttrokken door de poel, context II-A-398. De westelijke gracht kent lokaal een verbreding, waardoor we aanvankelijk de aanwezigheid van een waterput of poel vermoedden, wat evenwel niet het geval bleek (fig. 238). De interpretatie voor deze twee grachten als onderdeel van een weg impliceert dat we te maken hebben met de afwateringgreppels, hetzij aan weerszijden van een wegdek, hetzij aan één zijde, de westelijke zijde van het wegdek (cf. infra). Het originele wegdek is evenwel niet meer bewaard.

Tijdens het terreinwerk was een interpretatie als 'weg' aanvankelijk niet geopperd, waardoor beide grachten telkens apart zijn gecoupeerd, vaak in relatie tot oudere of recentere sporen. De gedigitaliseerde coupes geven ons echter wel zicht op de volledige structuur in doorsnede (fig. 239). De verschillende coupes tonen tevens aan dat beide grachten meermaals zijn uitgegraven.

Zo vertoont de oostelijke gracht, context II-A-363, twee fases: de oudere uitgraving, context II-A-363-AB-3, en de jongere uitgraving, context II-A-363-AB-1 (fig. 239, 240). De recentste uitgraving is daarenboven gekenmerkt door de resten van een palissade, bestaande uit vijf zekere paalsporen aan de oostelijke zijde van de gracht: contexten II-A-363-AB-4, II-A-363-CD-2 (fig. 241), II-A-363-EF-2, II-A-363-GH-2 en II-A-363-NO-2. Er is in de coupes geen duidelijk onderscheid zichtbaar tussen de vulling van de gracht en de paalsporen, waardoor ze meer dan waarschijnlijk gelijktijdig zijn opgegeven. Een mogelijk zesde paalspoor is nog net zichtbaar in het grondvlak op de kruising van de weg II-A-47-OP-2 met gracht, context II-A- -ST-3 (fase 4). Deze is echter niet verder onderzocht d.m.v. een coupe.

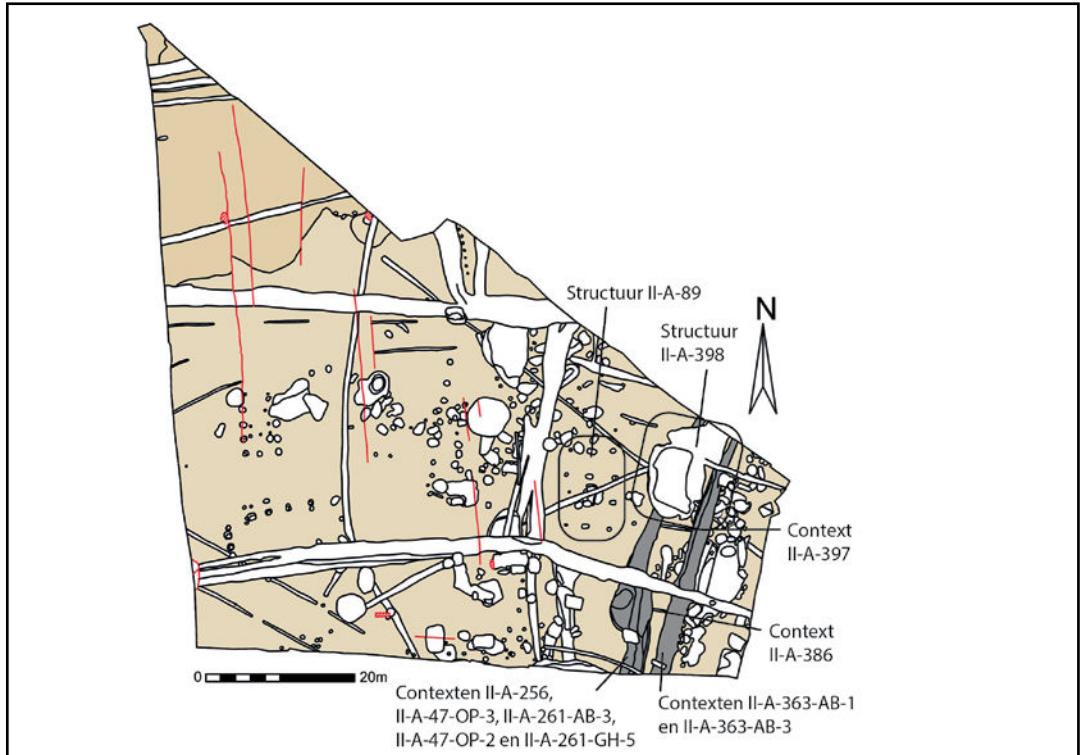


Fig. 237. Zone II grondplan A met aanduiding van de grachten en greppels uit Fase 2, schaal 1/750.



Fig. 238. Zicht op structuur II-A-47-OP-2 op grondplan A.

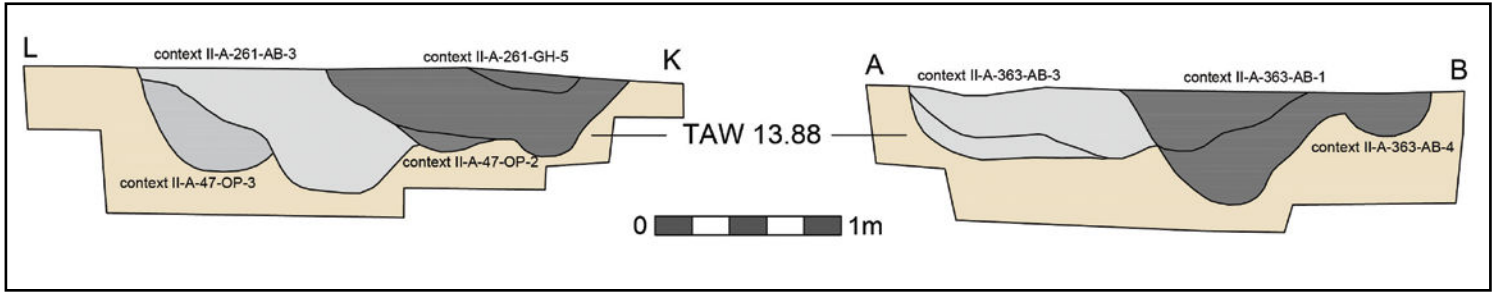


Fig. 239. Coupetekening LK en AB op structuur II-A-47-OP-2.



Fig. 240. Coupe AB op contexten II-A-363-AB-1, II-A-363-AB-3 en II-A-363-AB-4, of de oostelijke gracht.



Fig. 241. Coupe CD op paalspoor, context II-A-363-CD-2, en de aanzet van gracht, context II-A-363-AB-1.



Fig. 242. Coupe KL op contexten II-A-47-OP-2, II-A-47-OP-3, II-A-261-AB-3, II-A-261-GH-5, of de westelijke gracht, gespiegeld in fig. 239.

De westelijke gracht kent vier fases: van oud naar jong, contexten II-A-47-OP-3, II-A-261-AB-3, II-A-47-OP-2 en II-A-261-GH-5 (fig. 239, 242). De coupes tonen tevens aan dat de lokale verbreding geen waterput of 'verpoeling' is van het grachtcomplex, maar een breder verloop van de twee oudste fases, vermoedelijk ten gevolge van een oudere uitgraving, context II-A-265-IJ-5 (fig. 243). Ten zuiden van de oost-west georiënteerde gracht, context II-A- -ST-3, tekenen de vier fases zich duidelijk af in de coupes. Ten noorden hiervan krijgen we evenwel een ander beeld, waarbij we, naar ons inzien, nog twee uitgravingen vaststellen, contexten II-A-47-OP-2 en II-A-47-OP-3 (fig. 244). Een grondplan B ter hoogte van de poel, structuur II-A-398, toont het verder verloop van de westelijke gracht (fig. 245, 246, 247). Hier is de oudste grachtfase nog steeds bewaard en is deze bovendien opgesplitst in twee smallere greppels (fig. 222). Mogelijk hebben we hier opnieuw te maken met contexten II-A-47-OP-3 en II-A-261-AB-3. De coupes geven tevens aan dat, naar het noordnoordoosten toe, helling afwaarts, de recentere uitgraving, context II-A-47-OP-2, stelselmatig diepte verliest. We vermoeden dat deze volledig is vergraven door de poel II-A-398 en niet meer bewaard is ten noorden hiervan.

We merken op dat het verloop van, zowel de oost- als de westelijke, grachten oostwaarts opschuift (fig. 239). Als dusdanig verleggen de grachten zich parallel aan elkaar.

In het noorden van vlak bedraagt de maximale breedte tussen de oudste fase van beide grachten, gemeten aan de binnenzijde, 4,3 m. Net ten zuiden van de poel meten we 4,34 m en net ten noorden van de oversnijding met de oost-west georiënteerde gracht context II-A- -ST-3 (cf. infra fase 3) met we 5,47 m. Deze afmetingen laten voor de grachten een interpretatie als twee afwateringsgrachten aan weerszijden van een wegdek toe. Ten zuiden van context II-A- -ST-3 neemt de afstand aanzienlijk af, zoals we zien in figuur 239, met 2,63 m voor de recentere grachten en max. 2,6 m voor de oudere grachten. Deze afstanden lenen zich minder tot het veronderstellen van een wegdek, te meer daar we ons hier op het bijna diepste punt van het opgravingsvlak bevinden. Ten opzichte van het bestaande maaiveld is hier ca. 1,4 m ploeglaag en colluvium afgegraven. Dit betekent dat de afwateringsgrachten aan het oorspronkelijke oppervlak, een stuk breder waren dan is ingetekend op het archeologische grondplan A. Deze vaststelling is een argument om de grachten in hun geheel te beschouwen als onderdeel van één afwateringssysteem ten westen van het oorspronkelijke wegdek. Gezien het feit dat het terrein sterk afhelt in noordoostelijke richting, is deze veronderstelling evenzeer mogelijk.

Tussen en dwars op de oostelijke en westelijke gracht zijn twee kleine greppeltjes aanwezig, contexten II-A-386 en II-A-397 (fig. 237). Naar onze opinie zijn beide het gevolg van het overlopen van het water in de westelijke gracht naar de dieper gelegen oostelijke gracht. In de eerste veronderstelling, dat tussen beide grachten een wegdek was gelegen, moeten beide greppeltjes zich gevormd hebben in een later stadium, toen de weg niet meer in gebruik was. We rekenen de contexten daarom niet tot de structuur II-A-47-OP-2.

In het geheel van sporen in zone II valt tenslotte op dat deze twee grachten een soort 'grens' vormen in het oosten van het terrein (fig. 237). Ten westen hiervan treffen we, met uitzondering van gebouwplattegrond, structuur II-A-89, relatief weinig sporen aan, terwijl zich ten oosten van de grachten een grote hoeveelheid sporen aftekent. Onder voorbehoud suggereren we dat de kuilen langs het wegtracé het resultaat zijn van een artisanale activiteit (cf. infra).

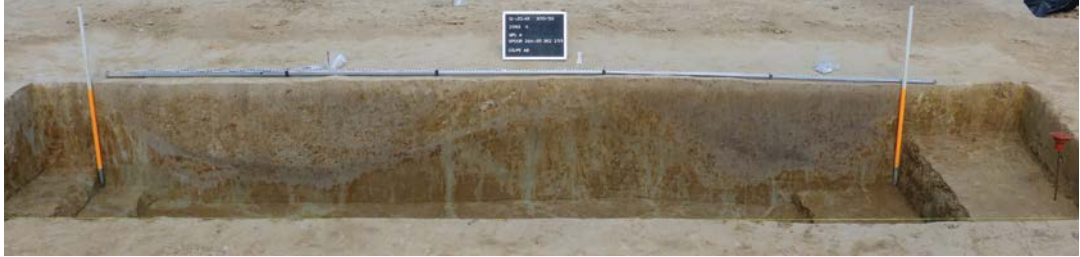


Fig. 243. Coupe AB op contexten II-A-47-OP-2, II-A-47-OP-3, II-A-261-AB-3, II-A-261-GH-5, of de westelijke gracht.



Fig. 244. Coupe FG contexten II-A-47-OP-2 en II-A-47-OP-3, of de westelijke gracht die het Romeinse brandrestengraf, context II-A-257, oversnijdt.



Fig. 245. Zicht op structuur II-A-47-OP-2 op grondplan B, ter hoogte van de poel, structuur II-A-398.



Fig. 246. Zicht op context II-A-47-OP-3 op grondplan B ter hoogte van de poel, structuur II-A-398, coupe WX.



Fig. 247. Coupe YZ op de poel, structuur II-A-398, en de greppel, context II-A-47-OP-3.

Vondsten en datering

In het algemeen is weinig aardewerk voorhanden (tabel 2). Voor de verschillende uitgravingen van de westelijke gracht hebben we zeven grijs gedraaide wandscherven, alsook enkele herkenbare scherven van kommen, kannen/kruiken, een kookkan en kogelpotten, waarvan één met manchtrand en één met sikkeland²⁰³. Eerstgenoemde kogelpotrand is afkomstig uit de jongste gracht, context II-A-47-OP-2, bijgevolg te dateren tussen 1125 en 1250. Laatstgenoemde is een oppervlaktevondst met een gelijkaardige datering van 1125 tot 1225. Aangezien we enkel de recentste uitgraving van de westelijke gracht meer specifiek kunnen dateren, stellen we voor het geheel een ruimere datering voorop tussen 1050 en 1250.²⁰⁴

²⁰³ De Grootte, 2014, 196-222, tabel 30 randtype 26B: 1225-1325. In het midden van de 12de en het begin van de 13de eeuw ontwikkelen zich nieuwe randtypes. De sikkelvormige en manchtrandvormige randen behoren tot de 12de eeuw.

²⁰⁴ Mondelinge mededeling K. De Grootte.

BESCHRIJVING VAN HET ARCHEOLOGISCH ONDERZOEK

TABEL 2: GREPPELS EN GRACHTEN FASE 2: OVERZICHT PER CONTEXT VAN DE HOEVEELHEID AARDEWERK PER TECHNISCHE GROEP.

CONTEXT	AANTAL
II-A-256	
Aardewerk / Middeleeuws / Grijs / Lokaal gedraaid / kogelpot	1
Aardewerk / Middeleeuws / Grijs / Lokaal gedraaid / niet gedetermineerd	6
II-A-261-GH-5	
Aardewerk / Middeleeuws / Grijs / Lokaal gedraaid / kom	1
II-A-363	
Aardewerk / Middeleeuws / Grijs / Lokaal gedraaid / kan/kruik	2
Aardewerk / Middeleeuws / Grijs / Lokaal gedraaid / niet gedetermineerd	5
Aardewerk / Middeleeuws / Grijs / Lokaal gedraaid / pan	1
II-A-363 AB-1	
Aardewerk / Middeleeuws / Grijs / Lokaal gedraaid / kan/kruik	2
Aardewerk / Middeleeuws / Grijs / Lokaal gedraaid / niet gedetermineerd	12
II-A-363 AB-3	
Aardewerk / Middeleeuws / Grijs / Lokaal gedraaid / kogelpot	2
Aardewerk / Middeleeuws / Grijs / Lokaal gedraaid / niet gedetermineerd	4
II-A-47-OP-2	
Aardewerk / Middeleeuws / Grijs / Lokaal gedraaid / kogelpot	3
Aardewerk / Middeleeuws / Grijs / Lokaal gedraaid / kookkan	1
Aardewerk / Middeleeuws / Grijs / Lokaal gedraaid / niet gedetermineerd	7
Aardewerk / Middeleeuws / Rood / Lokaal gedraaid / niet gedetermineerd	1
II-A-47-OP-3	
Aardewerk / Middeleeuws / Grijs / Lokaal gedraaid / kan/kruik	3
Aardewerk / Middeleeuws / Grijs / Lokaal gedraaid / kom	1
Aardewerk / Middeleeuws / Grijs / Lokaal gedraaid / niet gedetermineerd	7
Aardewerk / Middeleeuws / Grijs / Niet gedetermineerd / niet gedetermineerd	1
Eindtotaal	60

Uit de oostelijke gracht zijn voornamelijk niet gedetermineerde scherven grijs gedraaid aardewerk gerecupereerd, maar ook een scherf van een beroete pan, acht scherven van kannen/kruiken en twee scherven van een kogelpot, waarvan één met sikkeland²⁰⁵. Deze laatste komt uit de oudste van de twee uitgravingen, context II-A-363-AB-3, en is door K. De Grootte gedateerd in de 12de eeuw. Het oostelijke geheel geven we eveneens een ruimere datering tussen 1175 en 1300, waarbij de ondergrens is bepaald op de aanwezigheid van kannen/kruiken.²⁰⁶

Op basis van de determinatie van het aardewerk door K. De Grootte kunnen we de wegstructuur in zijn geheel in de late 12e t.e.m. 13e eeuw dateren.

205 De Grootte, 2014, 196-222, tabel 30 randtype 26B: 1225-1325. In het midden van de 12de en het begin van de 13de eeuw ontwikkelen zich nieuwe randtypes. De sikkelvormige randen behoren tot de 12de eeuw.

206 De Grootte, 2014, 194-195. De kan/kruik als vormgroep verschijnt in de loop van de tweede helft van de 12de eeuw, vanaf de 13de eeuw is de kan/kruik als vorm dominant het de aardewerkgroep grijs aardewerk.

7.4.2.5.3. Fase 3

7.4.2.5.3.1. Contexten II-A- -BA-5, II-A-47-BA-2, II-A-45, II-A-50, II-A-56 en II-A-459

Beschrijving en interpretatie

Hoewel we hier meerdere contexten beschrijven, behoren de besproken greppels en grachten in essentie tot één grachtsysteem. De aparte contexten komen tegemoet aan de verschillende oriëntaties en de verschillende uitgravingen die dit systeem kent (fig. 248).



Fig. 248. Zone II grondplan A met aanduiding van de grachten en greppels van Fase 3 en de besproken structuren in relatie tot de grachten en greppels uit Fase 3, schaal 1/750.

Een eerste context II-A-45 is een smallere greppel met een noord-zuid oriëntatie, die vertrekt vanuit de zuidelijke sleufwand en, eens voorbij het “knooppunt” centraal in het vlak, wordt oversneden door een bredere gracht, context II-A-50 (fig. 251).

Een tweede context is de oost-west georiënteerde gracht, context II-A-47-BA-2, die vertrekt vanuit de westelijke sleufwand in de richting van de dubbele waterput, structuren II-A-47-TU-2 en II-A-53 (cf. supra) (fig. 249). Ter hoogte van de waterputten leren we uit het grondplan en de coupe op de waterputten, dat deze gracht oversneden is door de aanlegtrechter van



Fig. 249. Coupe AB op contexten II-A-47-BA-1 (zwart) en II-A-47-BA-2 (wit).

de oudste waterput, structuur II-A-47-TU-2, en dat deze opsplijt in drie contexten, twee grachten en één greppel: gracht II-A- -BA-5 draait af naar het zuiden en verdwijnt in de zuidelijke sleufwand (fig. 250), greppel II-A-56 en gracht II-A-50 maken een knik naar het noorden (fig. 251). De zuidelijke tak, context II-A- -BA-5, kent m.a.w. één uitgraving, terwijl de noordelijke tak twee uitgravingen vertoont, contexten II-A-50 en II-A-56. Context II-A-56 toont zich als een ondiepe greppel, terwijl context II-A-50 een diepere gracht is. Naar het noorden toe geven de coupes aan hoe contexten II-A-45, II-A-50 en II-A-56 in elkaar opgaan en er maar één uitgraving meer is vast te stellen. Ter hoogte van de noordelijke sleufwand valt de één geworden gracht weer uiteen in twee uitgravingen (fig. 252). Naar onze mening is context II-A-45 hier niet meer bewaard.

Een zesde context betreft de gracht II-A-459 in het noorden van het vlak. Deze is ingetekend als een 'T' en sluit, in tegenstelling tot wat aanvankelijk was geregistreerd in het grondvlak, niet aan op de grachten II-A-50 en II-A-56. Desalniettemin beschouwen we II-A-459 gelijktijdig met de overige grachten uit deze fase.



Fig. 250. Coupe AB op context II-A- -BA-5.



Fig. 251. Coupe QR op (van links naar rechts) contexten II-A-52, II-A-56, II-A-45 en II-A-50.



Fig. 252. Coupe AB op contexten II-A-56 en II-A-50.



Fig. 253. Coupe AB op contexten II-A-459.

Vondsten en datering

De datering van deze fase berust enerzijds op het vondstmateriaal²⁰⁷ (tabel 3) en anderzijds op de relatie van de greppels en grachten binnen deze fase tot andere contexten en structuren.

TABEL 3: GREPPELS EN GRACHTEN FASE 3: OVERZICHT PER CONTEXT VAN DE HOEEVEELHEID AARDEWERK PER TECHNISCHE GROEP.	
CONTEXT	AANTAL
II-A-45	
Aardewerk / Middeleeuws / Grijs / Lokaal gedraaid / kan/kruik	2
Aardewerk / Middeleeuws / Grijs / Lokaal gedraaid / niet gedetermineerd	1
II-A-47-BA-2	
Aardewerk / Middeleeuws / Grijs / Lokaal gedraaid / niet gedetermineerd	2
II-A-50	
Aardewerk / Middeleeuws / Ander aardewerk / Maasland (Andenne) / niet gedetermineerd	1
Aardewerk / Middeleeuws / Ander aardewerk / Roodbeschilderd Rijnlands (Pingsdorf) / niet gedetermineerd	1
Aardewerk / Middeleeuws / Grijs / Lokaal gedraaid / kan/kruik	26
Aardewerk / Middeleeuws / Grijs / Lokaal gedraaid / kogelpot	2
Aardewerk / Middeleeuws / Grijs / Lokaal gedraaid / niet gedetermineerd	109
Aardewerk / Middeleeuws / Grijs / Lokaal gedraaid / pan	3
Aardewerk / Middeleeuws / Grijs / Lokaal gedraaid / teil	3
Aardewerk / Middeleeuws / Grijs / Lokaal gedraaid / voorraadpot	3
Aardewerk / Middeleeuws / Rood / Lokaal gedraaid / niet gedetermineerd	1
II-A-56	
Aardewerk / Middeleeuws / Grijs / Lokaal gedraaid / kookkan	6
Aardewerk / Middeleeuws / Grijs / Lokaal gedraaid / niet gedetermineerd	46
Aardewerk / Middeleeuws / Grijs / Lokaal gedraaid / vuurklok	1
II-A--BA-5	
Aardewerk / Middeleeuws / Grijs / Lokaal gedraaid / niet gedetermineerd	6
Aardewerk / Middeleeuws / Grijs / Lokaal gedraaid / teil	1
Eindtotaal	214

Wat het aardewerk uit de contexten II-A-BA-5, II-A-45, II-A-47-BA-1, II-A-50 en II-A-56, betreft, valt op dat het grijs lokaal grijs gedraaid aardewerk sterk vertegenwoordigd is, terwijl we slechts één scherp rood lokaal gedraaid aardewerk tellen. Het merendeel van de vondsten is afkomstig uit context II-A-50. We onderscheiden diagnostische scherven afkomstig van kannen/kruiken²⁰⁸, pannen²⁰⁹, teilen²¹⁰, voorraadpotten²¹¹ en kookkannen²¹², alsook van een vuurklok.²¹³ Aanvullend herkennen we een scherp Maaslands aardewerk²¹⁴ en een scherp roodbeschilderd Rijlands aardewerk (residueel)²¹⁵. In zijn totaliteit genereert het aardewerk een datering in de 13de eeuw. Het feit dat de grachten van fase 3, greppel II-A-94 uit fase 1 oversnijden en zelf oversneden worden door grachten die behoren tot fase 4 (cf. infra), bevestigt deze datering. Ook de waterputten, structuren II-A-47-TU-2 en II-A-53 zijn recenter dan, respectievelijk de gracht II-A-47-BA-2 en de greppel II-A-56. Hoewel voor beide structuren ook een datering in de 13de eeuw geldt, vormt dit op zich geen tegenstelling.

Context II-A-459 krijgt eveneens een datering in de 13de eeuw en dit op basis van het grijs lokaal gedraaide aardewerk met randen van een kogelpot²¹⁶ en kan/kruik²¹⁷.

7.4.2.5.4. Fase 4

7.4.2.5.4.1. Contexten II-A-ST-3, II-A-47-BA-1, II-A-52, II-A-107 en II-A-212-EF-1

Beschrijving en interpretatie

Fase vier omvat vijf contexten (fig. 254). Ze onderscheiden zich zowel in het grondplan als in de coupes door hun donkerdere vulling. Dit liet toe een duidelijke relatie te bepalen ten opzichte van de andere grachten en greppels in zone II.

De grachten uit fase 4 volgen deels het verloop van de grachten uit fase 3. Zo is context II-A-47-BA-1 de recentere uitgraving van de gracht, context II-A-47-BA-2 (fig. 249), en is greppel II-A-52 de meest recente uitgraving van de noordelijke aftakking met contexten II-A-50 en II-A-56 (fig. 251). In tegenstelling tot fase 3 oversnijdt de recentere context II-A-47-BA-1 en de noordelijke aftakking II-A-52, de waterputten II-A-53 en II-A-47-TU-2. Bovendien zet de gracht II-A-47-BA-1 zijn verloop met een kleine knik verder in zuidoostelijke richting en dit in de vorm van context II-A-ST-3 (fig. 255). Aldus kent fase 4 geen zuidelijke vertakking.

De vierde context, greppel II-A-107, beschouwen we als onderdeel van deze fase, niet zozeer omwille van de datering o.b.v. het vondstmateriaal, dan wel omwille van de relatie tot de andere sporen in het zuidelijke gedeelte van zone II. Zo is de greppel onder meer recenter dan weg, structuur II-A-47-OP-2 uit fase 1, de gracht, context II-A-BA-5 uit fase 3 én een kuil, context II-A-110 (cf. infra). Bovendien associëren we de greppel met het gebouw, structuur II-A-10. In de veronderstelling dat we hier te maken hebben met een afwateringsgreppeltje, dat ontstaan is als gevolg van de afvoer van het water van het dak van het gebouw, gaan we er van uit dat deze structuur en de greppel samen gefunctioneerd.

208 De Grootte, 2014, 194-195. De kan/kruik als vormgroep verschijnt in de loop van de tweede helft van de 12de eeuw, vanaf de 13de eeuw is de kan/kruik als vorm dominant het de aardewerkgroep grijs aardewerk.

209 De Grootte, 2014, 246-252. Een vrij zeldzame vorm in de volle middeleeuwen wordt een belangrijk onderdeel van het keukengerei vanaf de 13de eeuw.

210 De Grootte, 2014, 260-266. De oudste exemplaren in grijs aardewerk dateren in de 13de eeuw, vanaf de 14de eeuw stijgt hun aandeel.

211 De Grootte, 2014, 275-280. De vormsoort 'voorraadpot' verschijnt in de 12de eeuw en vervangt de kogelpot als voorraadpot. In de 13de eeuw evolueert de randtypologie en in de 14de eeuw is de enigste kogelvormige potvorm nog in gebruik.

212 De Grootte, 2014, 237-240. De kookkan verschijnt in de 13de eeuw en wordt algemeen gebruikt als kookpot in de 14de eeuw, om in onbruik te geraken in de 15de eeuw.

213 De Grootte, 2014, 280-284. 13de- en 14de-eeuws.

214 De Grootte, 2014, 337-346. Late 10de tem 13de eeuw.

215 De Grootte, 2014, 311-325. 10de tot het midden van de 12de eeuw.

216 De Grootte, 2014, 196-222. Vaak voorkomende vorm tussen de 9de en de 13de eeuw, veelal dominant aanwezig; verdwijnt in de 14de eeuw.

217 De Grootte, 2014, 194-195. De kan/kruik als vormgroep verschijnt in de loop van de tweede helft van de 12de eeuw, vanaf de 13de eeuw is de kan/kruik als vorm dominant het de aardewerkgroep grijs aardewerk.

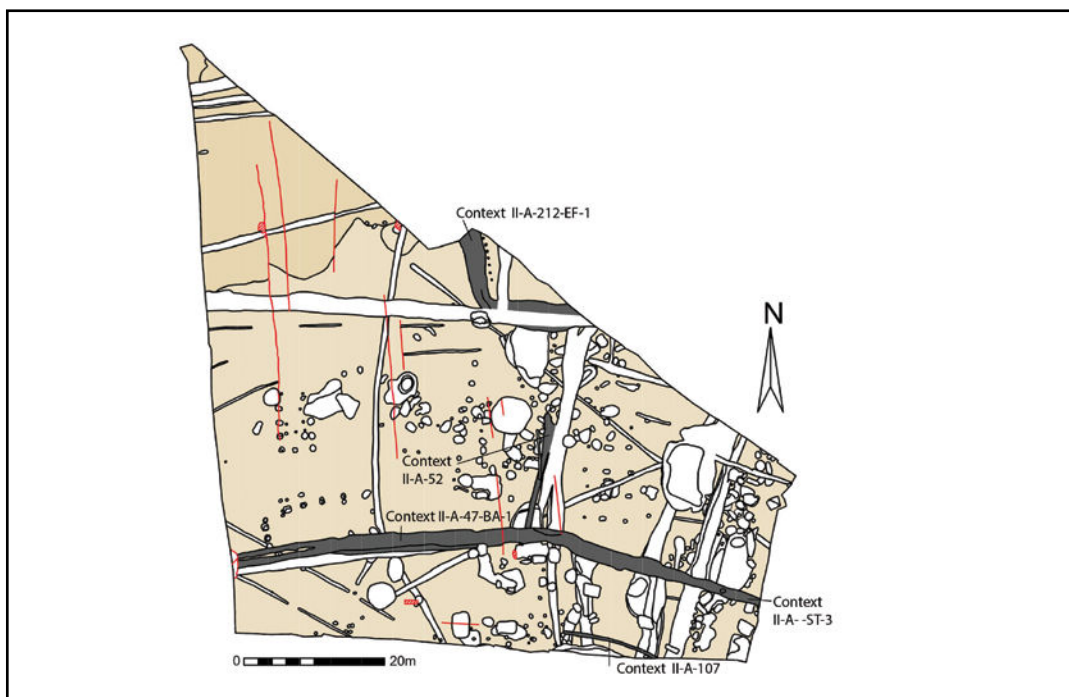


Fig. 254. Zone II grondplan A met aanduiding van de grachten en greppels uit Fase 4, schaal 1/750.



Fig. 255. Profiel ST op context II-A- -ST-3.

Een vijfde context, gracht II-A-212-EF-1, situeert zich in het noorden van het terrein en staat ruimtelijk niet in direct verband met de reeds besproken contexten. Ter hoogte van de noordelijke sleufwand zien we hoe de gracht, samen met een tweede noord-zuid georiënteerde gracht, context II-A-212-PA-1 (de meest oostelijke van de twee, zie fase 5), botst op een derde gracht met oost-west oriëntatie, context II-A-212-AB-1 (zie fase 5). Het valt op dat voorbij dit kruispunt, de begrenzing van het oostelijk verloop van de grachten aanzienlijk breder is dan ten westen van de kruising. Hoewel in het grondvlak de drie grachten ogenschijnlijk deel uitmaken van hetzelfde geheel en geen oversnijdingen zijn ingetekend, toonden de coupes een ander beeld. Zo blijkt context II-A-212-EF-1 een vrij brede en diepe gracht te zijn met één chronologische fase (fig. 256). De gracht vertrekt vanuit de noordelijke sleufwand in zuidzuidoostelijke richting en buigt na 10,8 meter, met een hoek van ca. 100°, af

naar het oosten. Vanaf dit punt wordt de gracht oversneden door zowel context II-A-212-AB-1 als context II-A-212-PA-1 uit fase 5, waarna ze haar weg verder zet naar het oosten (fig. 257). Ten oosten van het “kruispunt” passeert de gracht net ten noorden van de poel, structuur II-A-272, en de grachten, contexten II-A-50 en II-A-56 (fase 3), vooraleer ze verdwijnt in de noordoostelijke sleufwand. In tegenstelling tot wat we veronderstelden op basis van het grondplan blijkt in de coupe WX de poel, de gracht te oversnijden (cf. supra) (fig. 209). We sluiten evenwel de mogelijkheid niet uit dat de poel overliep in de gracht en ze dus gelijktijdig functioneerden. De datering van het aardewerk uit beide structuren sluit dit in elk geval niet uit. De coupes ter controle van de relatie met de twee grachten, contexten II-A-50 en II-A-56 (fase 3), tonen aan dat beide grachten oversneden zijn. Het is evenwel niet helemaal duidelijk of we hier de relatie tot de context II-A-212-EF-1 registreerden, dan wel tot de recentere gracht II-A-212-AB-1 (fase 5).

Tenslotte wijzen we op een palenrij ten oosten van - en parallel met de gracht, context II-A-212-EF-1, bestaande uit zeven paalsporen: structuur II-A-475. Hoewel we geen materiaal voorhanden hebben ter datering van deze structuur, beschouwen we deze palissade als gelijktijdig met de gracht omwille van hun zelfde oriëntatie en vulling.



Fig. 256. Coupe AB op context II-A-212-EF-1.

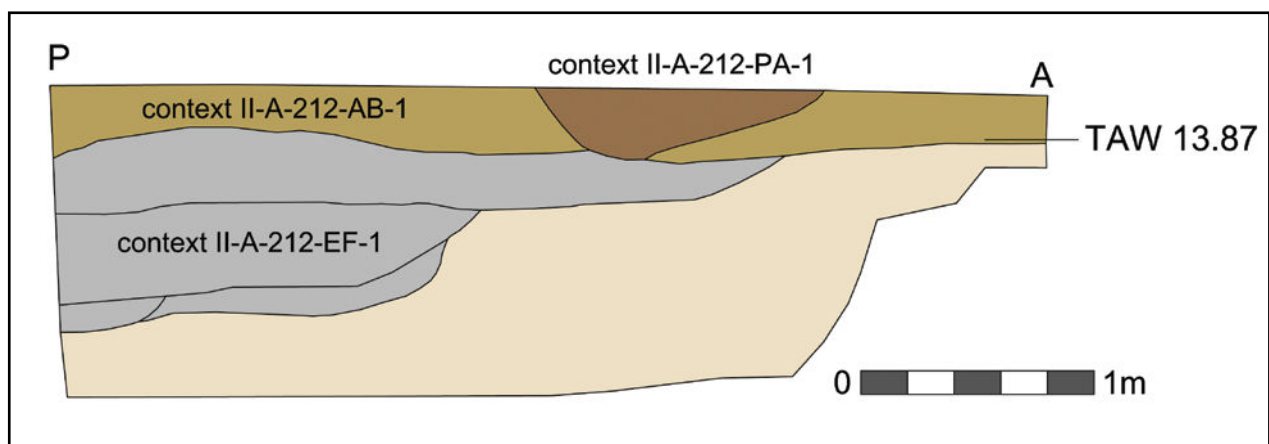


Fig. 257. Coupetekening PA op contexten II-A-212-EF-1, II-A-212-AB-1 en II-A-212-PA-1.

Vondsten en datering

Ter datering van deze fase is veel aardewerk voorhanden (tabel 4).²¹⁸ Voor contexten II-A-ST-3, II-A-47-AB-1 en II-A-52 is opnieuw het grijs lokaal gedraaide aardewerk het sterkst vertegenwoordigd, maar neemt het lokaal rood gedraaide aardewerk in aantal toe en is ook een weinig bijna steengoed en steengoed aanwezig. Tevens zijn twee scherven roodbeschilderd Rijnlands aardewerk aangetroffen. Deze zijn echter beschouwd als residueel en niet in rekening gebracht in de datering. Het grijze aardewerk omvat diagnostische scherven die te herkennen zijn als kannen/kruiken, kogelpotten, kommen, kookkannen, pannen, teilen, voorraadpotten en vuurklokken. Het rode aardewerk toont voornamelijk wandscherven, naast ook fragmenten van grapes en een steelkom. Bepaalde randtypes in het grijze aardewerk, de rode grape en het steengoed laten ons toe voor deze contexten een datering in de eerste helft van de 14de eeuw te suggereren; waarbij de aanwezigheid van het steengoed geldt als argument om een datering in de 13de eeuw uit te sluiten.

TABEL 4: GREPPELS EN GRACHTEN FASE 4: OVERZICHT PER CONTEXT VAN DE HOEVEELHEID AARDEWERK PER TECHNISCHE GROEP.

CONTEXT	AANTAL
II-A-47	
Aardewerk / Middeleeuws / Grijs / Lokaal gedraaid / kan/kruik	12
Aardewerk / Middeleeuws / Grijs / Lokaal gedraaid / teil	5
Aardewerk / Middeleeuws / Grijs / Lokaal gedraaid / voorraadpot	1
Aardewerk / Middeleeuws / Grijs / Lokaal gedraaid / vuurklok	1
Aardewerk / Middeleeuws / Grijs / Lokaal grijs / niet gedetermineerd	84
Aardewerk / Middeleeuws / Rood / Lokaal gedraaid / grape	1
Aardewerk / Middeleeuws / Rood / Lokaal gedraaid / niet gedetermineerd	3
Aardewerk / Middeleeuws / Rood / Lokaal gedraaid / teil	1
Aardewerk / Middeleeuws / Rood / Lokaal gedraaid / vetvanger	1
Aardewerk / Middeleeuws / Steengoed / Steengoed met engobe/zoutglazuur (Langerwehe, Raeren, Frechen, Keulen) / niet gedetermineerd	3
II-A-47-BA-1	
Aardewerk / Middeleeuws / Ander aardewerk / Hoogversierd van Noord-Franse herkomst / niet gedetermineerd	1
Aardewerk / Middeleeuws / Ander aardewerk / Roodbeschilderd Rijnlands (Pingsdorf) / niet gedetermineerd	1
Aardewerk / Middeleeuws / Grijs / Lokaal gedraaid / kan/kruik	7
Aardewerk / Middeleeuws / Grijs / Lokaal gedraaid / kogelpot	3
Aardewerk / Middeleeuws / Grijs / Lokaal gedraaid / kom	3
Aardewerk / Middeleeuws / Grijs / Lokaal gedraaid / kookkan	2
Aardewerk / Middeleeuws / Grijs / Lokaal gedraaid / niet gedetermineerd	53
Aardewerk / Middeleeuws / Grijs / Niet gedetermineerd / niet gedetermineerd	1
Aardewerk / Middeleeuws / Rood / Lokaal gedraaid / kan/kruik	3
Aardewerk / Middeleeuws / Rood / Lokaal gedraaid / niet gedetermineerd	1
II-A-52	
Aardewerk / Middeleeuws / Grijs / Lokaal gedraaid / kan/kruik	24
Aardewerk / Middeleeuws / Grijs / Lokaal gedraaid / kogelpot	16
Aardewerk / Middeleeuws / Grijs / Lokaal gedraaid / kom	6
Aardewerk / Middeleeuws / Grijs / Lokaal gedraaid / niet gedetermineerd	267
Aardewerk / Middeleeuws / Grijs / Lokaal gedraaid / pan	2

BESCHRIJVING VAN HET ARCHEOLOGISCH ONDERZOEK

Aardewerk / Middeleeuws / Grijs / Lokaal gedraaid / teil	6
Aardewerk / Middeleeuws / Grijs / Lokaal gedraaid / voorraadpot	1
Aardewerk / Middeleeuws / Grijs / Lokaal gedraaid / vuurklok	3
Aardewerk / Middeleeuws / Rood / Lokaal gedraaid / niet gedetermineerd	16
Aardewerk / Middeleeuws / Rood / Lokaal gedraaid / steelkom	1
Aardewerk / Middeleeuws / Steengoed / Bijna Steengoed (Rijnland) / niet gedetermineerd	1
Aardewerk / Middeleeuws / Steengoed / Steengoed met engobe/zoutglazuur (Langerwehe, Raeren, Frechen, Keulen)	1
Aardewerk / Middeleeuws / Steengoed / Steengoed met engobe/zoutglazuur (Langerwehe, Raeren, Frechen, Keulen) / kan/kruik	1
Aardewerk / Middeleeuws / Steengoed / Steengoed met engobe/zoutglazuur (Langerwehe, Raeren, Frechen, Keulen) / niet gedetermineerd	1
Aardewerk / Postmiddeleeuws / Rood / Lokaal gedraaid / niet gedetermineerd	1
II-A--ST-3	
Aardewerk / Middeleeuws / Ander aardewerk / Roodbeschilderd Rijnlands (Pingsdorf) / niet gedetermineerd	1
Aardewerk / Middeleeuws / Grijs / Lokaal gedraaid / kan/kruik	8
Aardewerk / Middeleeuws / Grijs / Lokaal gedraaid / kogelpot	1
Aardewerk / Middeleeuws / Grijs / Lokaal gedraaid / kom	2
Aardewerk / Middeleeuws / Grijs / Lokaal gedraaid / kookkan	1
Aardewerk / Middeleeuws / Grijs / Lokaal gedraaid / niet gedetermineerd	110
Aardewerk / Middeleeuws / Grijs / Lokaal gedraaid / pan	2
Aardewerk / Middeleeuws / Grijs / Lokaal gedraaid / teil	2
Aardewerk / Middeleeuws / Grijs / Lokaal gedraaid / voorraadpot	4
Aardewerk / Middeleeuws / Grijs / Lokaal gedraaid / vuurklok	2
Aardewerk / Middeleeuws / Rood / Lokaal gedraaid / grape	6
Aardewerk / Middeleeuws / Rood / Lokaal gedraaid / niet gedetermineerd	4
Aardewerk / Niet gedetermineerd	1
II-A-212-EF-1	
Aardewerk / Middeleeuws / Grijs / Lokaal gedraaid / kan/kruik	27
Aardewerk / Middeleeuws / Grijs / Lokaal gedraaid / kom	4
Aardewerk / Middeleeuws / Grijs / Lokaal gedraaid / kookkan	3
Aardewerk / Middeleeuws / Grijs / Lokaal gedraaid / niet gedetermineerd	50
Aardewerk / Middeleeuws / Grijs / Lokaal gedraaid / teil	3
Aardewerk / Postmiddeleeuws / Rood / Lokaal gedraaid / teil	1
Eindtotaal	766

De greppel II-A-107 heeft slechts twee scherven grijs gedraaid aardewerk waaronder de rand van een teil. Een laatmiddeleeuwse datering voor deze context is voornamelijk gebaseerd op enerzijds de recentere relatie tot de wegstructuur II-A-47-OP-2 uit fase 1 (1175-1300) en een kuil, context II-A-110 (1275-1325) en anderzijds op de gelijktijdigheid tot het gebouw, structuur II-A-10 (1250-1400). Als dusdanig veronderstellen we een datering tussen 1275 en 1400.

Op de rand van een rode teil na, vinden we enkel grijs gedraaid aardewerk in de vulling van context II-A-212-EF-1. We herkennen randen van teilen, kannen/kruiken, kookkannen en kommen, alsook enkele wandscherven met golflijnvorsiering. Dit resulteert in een datering in de 13de of 14de eeuw. De oversnijding met de poel II-A-272, goed gedateerd in de eerste helft van de 14de eeuw, voorziet voor deze datering een nieuwe bovengrens in 1350. Hoewel deze datering ons toelaat de gracht ook in fase 3 op te nemen, rekenen we ze toch tot de

vierde fase.

De relatie van de gracht tot andere omliggende contexten zijn allen conform deze datering. De contexten uit fase 4 blijken in de coupes steeds recenter te zijn dan de grachten toegewezen aan fase 1, fase 2 en fase 3 of zijn zelf oversneden door grachten uit fase 5.

7.4.2.5.5. Fase 5

7.4.2.5.5.1. Contexten II-A-212-AB-1, II-A-212-PA-1 en II-A-76

Beschrijving en interpretatie

Twee grachten en één greppel behoren tot de vijfde en meest recente fase (fig. 258). Dit is enerzijds bevestigd door de coupes en anderzijds door het vondstmateriaal.

Zoals reeds beschreven in fase 4 doorkruist in het noorden van het terrein de gracht, context II-A-212-AB-1, het vlak vanuit het westen naar het oosten. Deze gracht botst op twee andere grachten met een noord-zuid oriëntatie, context II-A-212-PA-1 en context II-A-212-EF-1. Hoewel in het grondplan geen relaties zijn geregistreerd tussen de drie grachten, geven de coupes aan dat beide recentere grachten een duidelijk andere vulling hebben dan gracht II-A-212-EF-1: nauwelijks uitgelopen, donker bruin, gelaagd en rijk aan mangaan (fig. 259, 260). Zo blijkt dat gracht II-A-212-AB-1 zelf over gracht II-A-212-EF-1 loopt, maar op zijn beurt oversneden is door gracht II-A-212-PA-1 (fig. 257). We vermoeden echter dat, eens de twee grachten uit fase 5 samenkomen, ze in elkaar opgaan en verder oostwaarts vloeiden.

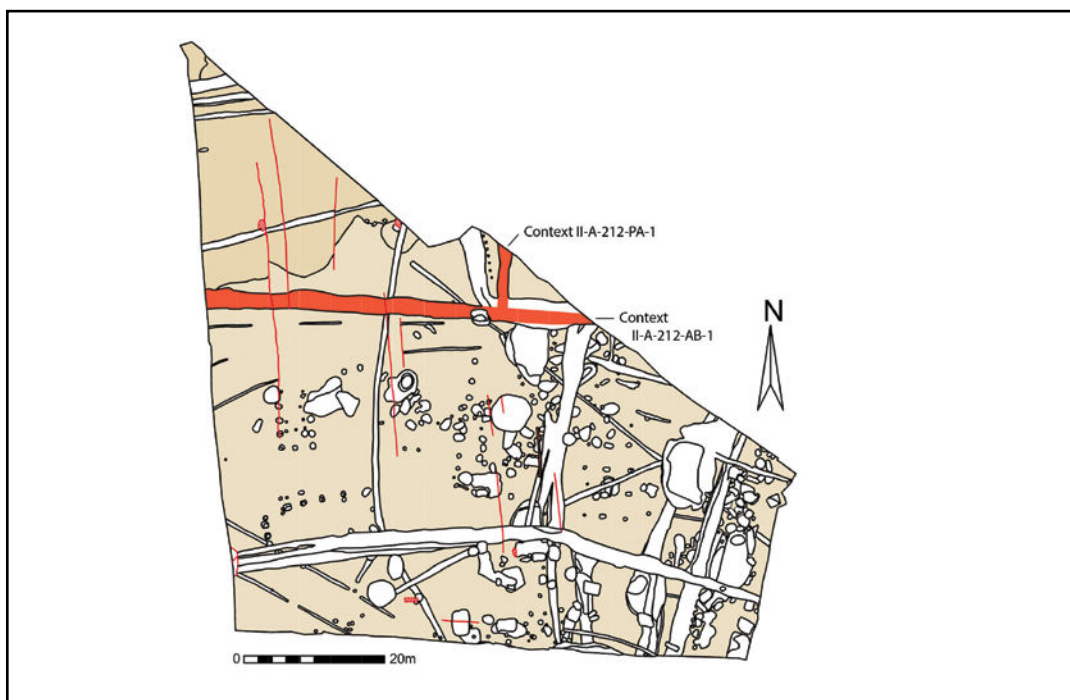


Fig. 258. Zone II grondplan A met aanduiding van de grachten en greppels uit Fase 5, schaal 1/750.

Van de greppel, context II-A-76, is slechts de onderzijde bewaard. Met een noord-zuid oriëntatie oversnijdt ze gedeeltelijk de greppel, context II-A-52, uit fase 4 (fig. 258). Ook deze greppel tekende zich met een beduidend donkerdere vulling duidelijk af in het grondplan.



Fig. 259. Coupe GH op context II-A-212-EF-1.



Fig. 260. Coupe AB op context II-A-212-PA-1.

Vondsten en datering

Hoewel we context II-A-212 niet apart hebben beschreven, nemen we het aardewerk uit deze context mee in de datering van fase 5 (tabel 5). Context II-A-212 omvat namelijk het vondstmateriaal afkomstig uit het grondplan, dat duidelijk recenter is dan het vondstmateriaal ter datering van fase 4. Een kleiner aandeel bestaat uit middeleeuws grijs gedraaid aardewerk, voornamelijk niet gedetermineerde scherven, maar ook scherven van een kan/kruik en een teil zijn aanwezig. Het middeleeuwse rood gedraaide aardewerk omvat scherven van pannen en één scherf van een teil. We treffen ook één scherf steengoed met engobe/zoutglazuur aan. Het postmiddeleeuwse rood gedraaide aardewerk maakt evenwel het grootste deel uit. Zowel het bord, de kan/kruik, de kom als de teil zijn vertegenwoordigd. Uit context II-A-212-AB-1 zijn enkel postmiddeleeuwse rood gedraaide scherven van een grape en een teil aangetroffen, terwijl de recentere gracht II-A-212-PA-1 slechts grijs lokaal gedraaid aardewerk bevat, waaronder het fragment van een kan/kruik.

Context II-A-76 bevatte enkele scherven grijs gedraaid aardewerk, waaronder elementen van een kan/kruik en een teil. Hoewel de datering ruim is gesteld in de 13de en de 14de eeuw, kunnen we de 13de eeuw reeds laten vallen omwille van de relatie van deze greppel tot greppel, context II-A-52, uit fase 4.

Ondanks de weinige vondsten geldt voor de grachten en de greppel uit fase 5, als enigste in zone II, een datering in de postmiddeleeuwen, meer bepaald tussen 1450 en 1600 n. Chr.

TABEL 5: GREPPELS EN GRACHTEN FASE 5: OVERZICHT PER CONTEXT VAN DE HOEEVEELHEID AARDEWERK PER TECHNISCHE GROEP.

CONTEXT	AANTAL
II-A-212	
Aardewerk / Middeleeuws / Grijs / Lokaal gedraaid / kan/kruik	2
Aardewerk / Middeleeuws / Grijs / Lokaal gedraaid / niet gedetermineerd	11
Aardewerk / Middeleeuws / Grijs / Lokaal gedraaid / teil	1
Aardewerk / Middeleeuws / Rood / Lokaal gedraaid / niet gedetermineerd	3
Aardewerk / Middeleeuws / Rood / Lokaal gedraaid / pan	15
Aardewerk / Middeleeuws / Rood / Lokaal gedraaid / teil	1
Aardewerk / Postmiddeleeuws / Rood / Lokaal gedraaid / bord	1
Aardewerk / Postmiddeleeuws / Rood / Lokaal gedraaid / kan/kruik	1
Aardewerk / Postmiddeleeuws / Rood / Lokaal gedraaid / kom	1
Aardewerk / Postmiddeleeuws / Rood / Lokaal gedraaid / niet gedetermineerd	2
Aardewerk / Postmiddeleeuws / Rood / Lokaal gedraaid / teil	1
Aardewerk / Postmiddeleeuws / Steengoed / Steengoed met engobe/zoutglazuur algemeen / niet gedetermineerd	1
II-A-212-AB-1	
Aardewerk / Middeleeuws / Grijs / Lokaal gedraaid / niet gedetermineerd	2
Aardewerk / Postmiddeleeuws / Rood / Lokaal gedraaid / grape	4
Aardewerk / Postmiddeleeuws / Rood / Lokaal gedraaid / teil	1
II-A-212-PA-1	
Aardewerk / Middeleeuws / Grijs / Lokaal gedraaid / kan/kruik	2
Aardewerk / Middeleeuws / Grijs / Lokaal gedraaid / niet gedetermineerd	8
Eindtotaal	57

7.4.2.5.6. Overige grachten en greppels (fig. 261)

Beschrijving en interpretatie, vondsten en datering

We tekenen een wegtracé op in de zuidwestelijke hoek van het vlak, structuur II-A-129. Twee parallelle greppels met een noordwest-zuidoostelijke oriëntatie zijn niet gedateerd. Omwille van hun oudere relatie tot zowel vol- als laatmiddeleeuwse sporen, hun oriëntatie en hun zeer bleke, sterk uitgeloopte vulling lijken de greppels tot de metaaltijden of de Romeinse periode te behoren (cf. supra).

Ook nabij de westelijke sleufwand zijn twee gelijkaardige smalle greppels aanwezig, contexten II-A-351 en II-A-352. Deze zijn slechts over een korte afstand bewaard en leverden eveneens geen materiaal op. Een interpretatie als weg lijkt ons voorbarig. Hun oriëntatie en uitgeloopte vulling kunnen een argument zijn voor een oudere datering.

In het absolute noorden van het terrein zijn over een korte afstand twee oost-west georiënteerde greppels en één gracht ingetekend, contexten II-A- -CD-3 (fig. 262), II-A- -CD-5 en II-A- CD-8 (fig. 263). Ze zijn gecoupeerd d.m.v. van een profiel CD, wat aantoonde dat ze een eerder heterogene bruine vulling hebben. Vooral gracht II-A- -CD-3 vertoont sterke gelijkenissen met gracht II-A-212-AB-1 uit fase 5. In de vulling van context II-A- -CD-3 is slechts één middeleeuwse scherf rood lokaal gedraaid aardewerk gevonden; de overige greppels leverden niets op. Ondanks de afwezigheid van vondsten zijn in onze opinie de oriëntatie en de aard van hun vulling argumenten om zowel de greppels als de gracht als middeleeuws (en eventueel zelfs als postmiddeleeuws) te beschouwen.

Hetzelfde geldt voor een kleine oost-west georiënteerd kleine greppel, context II-A-209, net ten zuiden van de postmiddeleeuwse gracht II-A-212-AB-1.



Fig. 261. Zone II grondplan A met aanduiding van de besproken overige grachten en greppels, schaal 1/750.



Fig. 262. Profiel CD op context II-A--CD-3.



Fig. 263. Profiel CD op contexten II-A--CD-3 en II-A--CD-8.

7.4.2.6. Kuilen en paalsporen

De kuilen en paalsporen die in volgende alinea's zijn besproken, zijn gemakshalve opgesplitst in twee groepen, op basis van hun datering, hun ligging in het vlak en de aard van hun vulling (fig. 264).

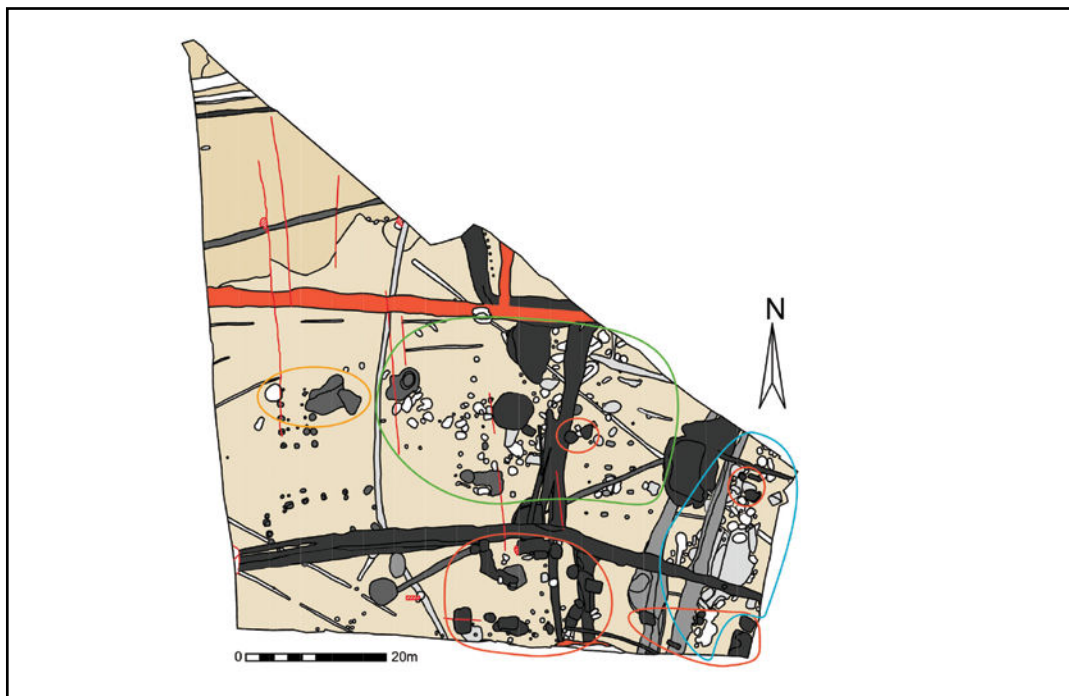


Fig. 264. Zone II grondplan A met aanduiding van de sporenconcentraties, schaal 1/750.

7.4.2.6.1. Volle middeleeuwen

7.4.2.6.1.1. Sporenconcentratie t.h.v. het gebouw, structuur II-A- -WX-4 (fig. 264: aangeduid in oranje)

Beschrijving en interpretatie

Aan de noordoostelijke hoek van het gebouw structuur II-A- -WX-4 tekende zich een grote, donkere verkleuring af in het vlak, context II-A-286 (fig. 265). Op een tweede grondplan viel deze 'vlek' uiteen in een cluster van kuilen, zeer rijk aan houtskool en verbrande leem (fig. 146, 147, 265, 266): contexten II-A-286-AB-1, II-A-332-AB-1 (fig. 268), II-A-332-AB-2 (fig. 267), II-A-332-AB-4, II-A-332-EF-1, II-A-332-EF-3, II-A-333-CD-1 (fig. 267), II-B-10, II-B-15, II-B-16, II-B-18-AB-1, II-B-18-AB-3, II-B-20 en II-B-21-AB-1. Een gelijkaardige kuil ligt ter hoogte van de noordwestelijke hoek van het gebouw, context II-A-350 (fig. 266, 269). Deze kuilen zijn naar alle waarschijnlijkheid te associëren met de opgave van het gebouw. De aard van hun vulling, zo ook van de paalsporen van het gebouw II-A- -WX-4, kan bovendien een indicator zijn voor de omstandigheden van de opgave van het gebouw. De grote hoeveelheid en de grote brokken houtskool en verbrande leem doen namelijk vermoeden dat het gebouw onder een brand heeft geleden.²¹⁹

Vondsten en datering (tabel 6)

Het verband tussen het gebouw II-A- -WX-4 en de kuilen vindt zijn bevestiging in het vondstmateriaal. Ondanks het weinige aardewerk krijgt de structuur toch een datering in de volle middeleeuwen, in de 10de en de eerste helft van de 11de eeuw n. Chr. (cf. supra).



Fig. 265. Zone II grondplan A met aanduiding van de besproken contexten, schaal 1/750.

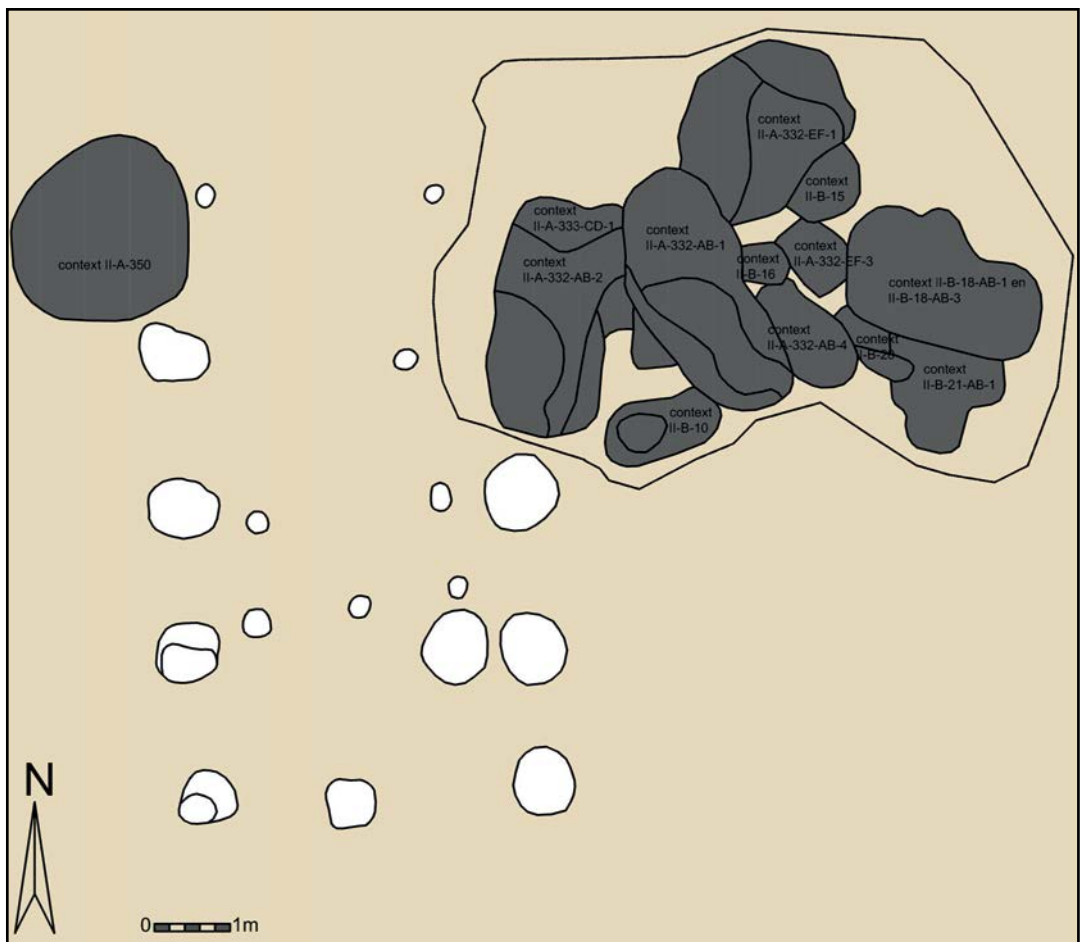


Fig. 266. Grondplan B met aanduiding van de besproken contexten, schaal 1/100.

De nabijgelegen houtskoolrijke kuilen leverden iets meer, maar gelijkaardig aardewerk op: handgevormd aardewerk met een donkere kern (zgn. Verhaeghe groep A)²²⁰, roodbeschilderd Rijnlands aardewerk²²¹ en scherven grijs gedraaid aardewerk met radstempelversiering²²², zowel wandscherven als twee randscherven van kogelpotten.

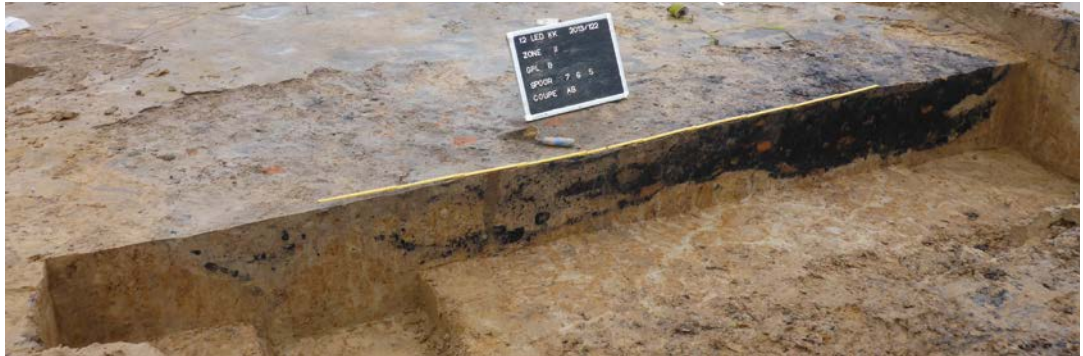


Fig. 267. Coupe AB op contexten II-A-332-AB-2 en II-A-333-CD-1.



Fig. 268. Coupe AB op context II-A-332-AB-1.

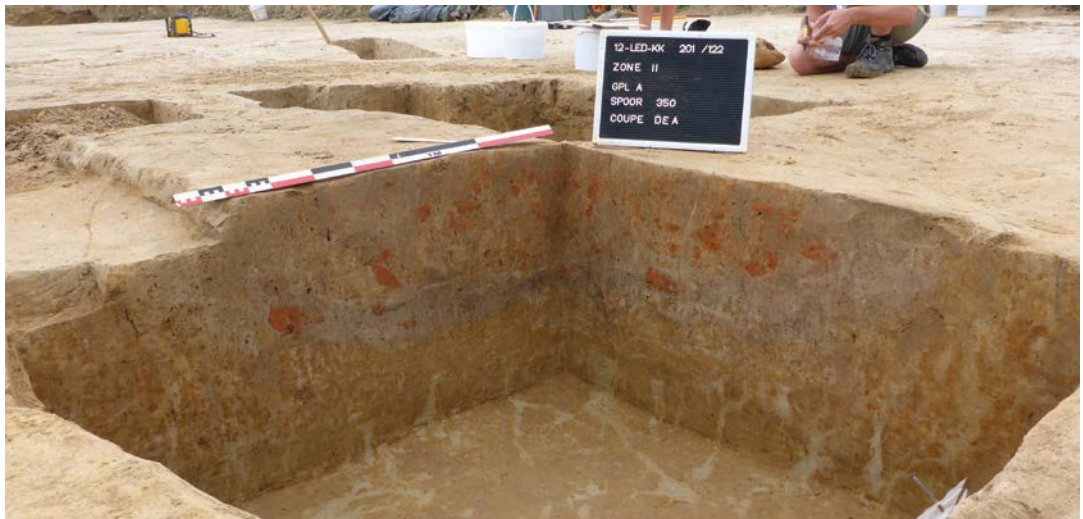


Fig. 269. Kwadrant DEA van coupe AB en CD op context II-A-350.

220 De Grootte, 2014, 325-333. Komt op in de eerste helft van de 10de eeuw en verdwijnt in de tweede helft van de 11de eeuw. Op basis hiervan sluiten we de 12de eeuw uit.

221 De Grootte, 2014, 311-325. Re dateren tussen de 10de en het midden van de 12de eeuw n. Chr.

222 De Grootte, 2014, 139-140. Eenvoudige radstempel patronen van enkelvoudige lijnen van driehoekjes, uitsluitend toegepast op kogelpotten, dateren in de 10de en 11de eeuw n. Chr. Op basis hiervan sluiten we de 12de eeuw uit.

7.4.2.6.1.2. Sporenconcentratie centraal in het vlak (fig. 264: aangeduid in groen)

Beschrijving en interpretatie

Eens ten oosten van de volmiddeleeuwse gebouwen II-A- -WX-4 en II-A-289 en de waterput II-A-295 neemt de densiteit van sporen aanzienlijk toe. Centraal in het vlak, tussen de structuren waterkuil II-A-174-AB-1, waterputten II-A-196, II-A-47-TU-2 en II-A-53 treffen we een grote concentratie sporen aan (fig. 264, 270). Deze strekt zich verder noordoostwaarts uit nabij de poel II-A-272 en het gebouw II-A-89. Naast een grote hoeveelheid duidelijke paalsporen, tekenden we ook een hele reeks kuilen met grillige vorm op. Met uitzondering van de palenrij, structuur II-A-184, en het gebouwtje, structuur II-A-59 (fig. 149), was het echter niet mogelijk om binnen dit geheel van sporen een gebouwplattegrond te ontcijferen. In coupe zijn de sporen doorgaans duidelijk af te lijnen en vertonen ze een vrij homogene, eerder uitgeloopte lichtgrijze vulling (fig. 271, 272). Wat opvalt, is de kleine hoeveelheid vondsten die de sporen opleverden. Bijgevolg kunnen we slechts enkele contexten dateren en vaak niet meer specifiek dan in de middeleeuwen.



Fig. 270. Zicht op de centrale sporenconcentratie op grondplan A.

De contexten waarvoor iets meer aardewerk voorhanden is, behoren tot de volle middeleeuwen. Het gaat onder meer om twee paalsporen, contexten II-A-65 en II-A-156, een kuil, context II-A-229, en een kuilencluster, context II-A-147 (fig. 265). Deze laatste toont zich als een grote onregelmatige vlek en is na coupes op grondplan A verdiept naar een tweede grondplan. Op dit niveau onderscheiden we vijf kuilen: contexten II-A-147-AB-1, II-A-147-CD-1, II-A-147-CD-4, II-A-147-EF-2 en II-A-148-AB-2. Ook de vulling van deze kuilen doet 'oud' aan, sterk uitgeloopt en homogeen, met een weinig bijmenging van moederbodem.

Aansluitend bij deze sporen wensen we nog te wijzen op een kuil, context II-A-35, eveneens met volmiddeleeuwse datering (fig. (265) . Deze kuil ligt enigszins apart t.o.v. van de hier besproken centrale cluster sporen. Hoewel oversneden door een laatmiddeleeuwse cluster van kuilen (cf. infra), kunnen we de quasi vierkante vorm van de kuil in grondplan goed ontwaren. Hetzelfde stellen we vast in de coupe: een uitgraving die aanzienlijk versmalt eens in de moederbodem de overgang van zandleem naar zand is bereikt en eindigt in een vrij platte bodem (fig. 273). Een interpretatie als extractiekuil is bijgevolg mogelijk.



Fig. 271. Coupe AB op context II-A-171.



Fig. 272. Coupe AB op context II-A-61.



Fig. 273. Kwadrant JH van coupe JI op context II-A-35.

BESCHRIJVING VAN HET ARCHEOLOGISCH ONDERZOEK

Vondsten en datering (tabel 6)

TABEL 6: KUILEN EN PAALSPOREN VOLLE MIDDELEEUWEN: OVERZICHT PER CONTEXT VAN DE HOEEVEELHEID AARDEWERK PER TECHNISCHE GROEP.	
CONTEXT	AANTAL
II-A-147	5
Aardewerk / Middeleeuws / Ander aardewerk / Roodbeschilderd Rijnlands (Pingsdorf) / niet gedetermineerd	1
Aardewerk / Middeleeuws / Grijs / Lokaal gedraaid / niet gedetermineerd	4
II-A-147-AB-1	1
Aardewerk / Middeleeuws / Ander aardewerk / Roodbeschilderd Rijnlands (Pingsdorf) / kan	1
II-A-156	2
Aardewerk / Middeleeuws / Ander aardewerk / Roodbeschilderd Rijnlands (Pingsdorf) / niet gedetermineerd	1
Aardewerk / Middeleeuws / Grijs / Lokaal gedraaid / niet gedetermineerd	1
II-A-229	4
Aardewerk / Middeleeuws / Grijs / Lokaal gedraaid / niet gedetermineerd	3
Aardewerk / Middeleeuws / Grijs / Lokaal gedraaid / tuitpot	1
II-A-332-AB-1	2
Aardewerk / Middeleeuws / Grijs / Lokaal gedraaid / niet gedetermineerd	2
II-A-332-AB-2	24
Aardewerk / Middeleeuws / Grijs / Handgevormd met donkere kern (Verhaeghe A) / niet gedetermineerd	1
Aardewerk / Middeleeuws / Grijs / Lokaal gedraaid / kan/kruik	1
Aardewerk / Middeleeuws / Grijs / Lokaal grijs / kogelpot	3
Aardewerk / Middeleeuws / Grijs / Lokaal grijs / niet gedetermineerd	18
Aardewerk / Middeleeuws / Grijs / Lokaal handgevormd / niet gedetermineerd	1
II-A-332-EF-1	1
Aardewerk / Middeleeuws / Grijs / Lokaal gedraaid / niet gedetermineerd	1
II-A-332-EF-3	1
Aardewerk / Middeleeuws / Grijs / Lokaal gedraaid / niet gedetermineerd	1
II-A-35	13
Aardewerk / Middeleeuws / Grijs / Lokaal gedraaid / kogelpot	12
Aardewerk / Middeleeuws / Grijs / Lokaal gedraaid / vuurklok	1
II-A-65	4
Aardewerk / Middeleeuws / Ander aardewerk / Roodbeschilderd Rijnlands (Pingsdorf) / niet gedetermineerd	1
Aardewerk / Middeleeuws / Grijs / Lokaal gedraaid / niet gedetermineerd	3
II-B-10	3
Aardewerk / Middeleeuws / Grijs / Lokaal gedraaid / kogelpot	2
Aardewerk / Middeleeuws / Grijs / Lokaal handgevormd / kogelpot	1
II-B-21-AB-1	2
Aardewerk / Middeleeuws / Grijs / Lokaal gedraaid / niet gedetermineerd	2
Eindtotaal	62

De kuil II-A-229 en de twee paalsporen II-A-65 en II-A-156, net ten noorden van context II-A-147, zijn de enigste sporen in deze dense zone die we aan de volle middeleeuwen kunnen toewijzen. Uit de vulling van beide paalsporen is telkens een scherp roodbeschilderd Rijnlands aardewerk gerecupereerd. En ook de kuil II-A-229 bevatte één scherp van een regionale imitatie van een roodbeschilderde Rijnlandse tuitpot. De cluster kuilen op grondplan B, t.h.v. context II-A-47 op grondplan A, is eveneens te dateren in de volle middeleeuwen: grijs lokaal

gedraaid aardewerk, maar vooral twee scherven roodbeschilderd Rijnlands aardewerk, waaronder een fragment van een kan.

Wat de kuil II-A-35 betreft, behoren naast een fragment van een vuurklok in grijs aardewerk met *Kerbschnitt*versiering (fig. 274: 3)²²³, twaalf scherven toe aan twee kogelpotten, waarvan één met sikkeland²²⁴ (fig. 274: 1) (imitatie van Maaslands AW) en één met geribbelde schouders en buik²²⁵ (fig. 274:2). Hun aanwezigheid levert een datering in de tweede helft van de 12de eeuw op. De oversnijding van deze volmiddeleeuwse kuil door twee laatmiddeleeuwse kuilen, contexten II-A-34-DC-1 en II-A-34-DC-2, bevestigt deze datering (cf. infra). In coupe is hun uiterst verschillende vulling - heterogeen en uitgeloozd versus homogeen en donker, een veruitwendiging van hun onderlinge relatie en respectievelijke datering.

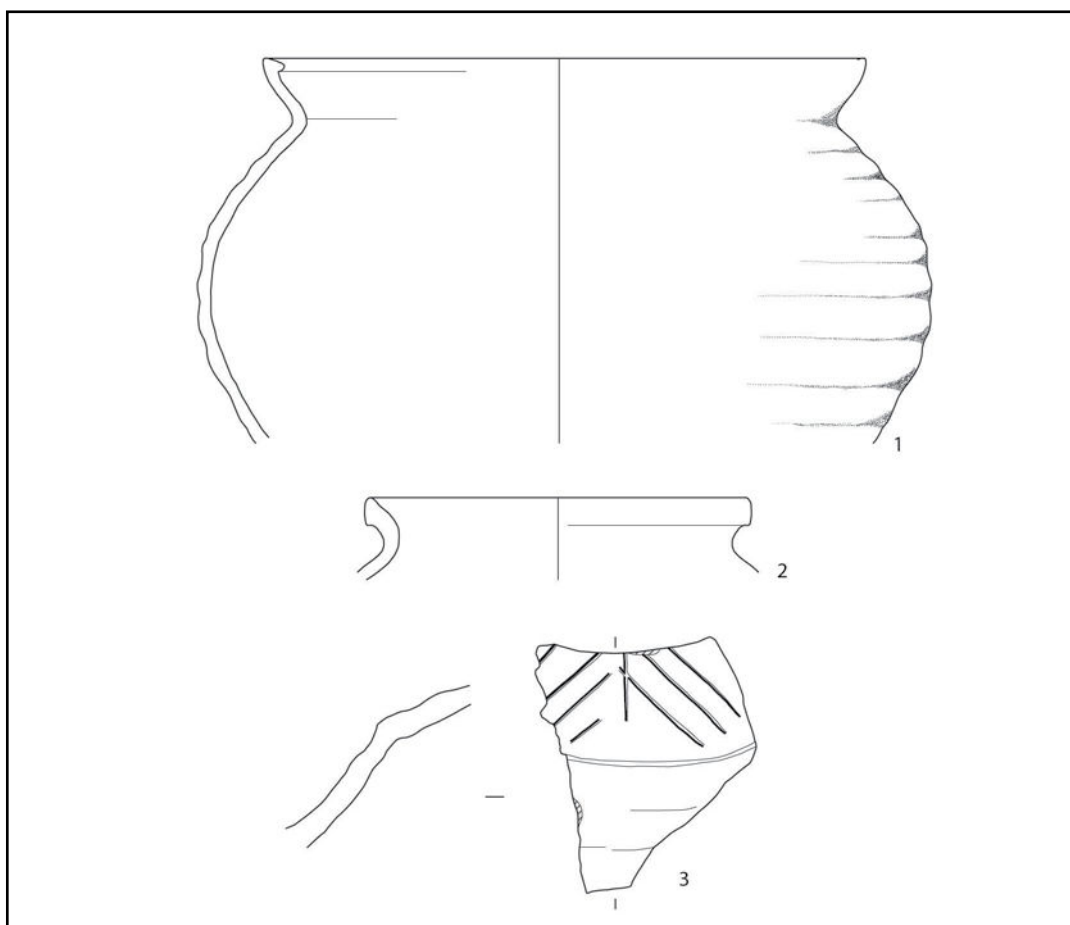


Fig. 274. Aardewerk uit context II-A-35.

223 De Grootte, 2014, 280-284, tabel 64 randtypes L94A en L94C. De vuurklok is voornamelijk in grijs aardewerk gemaakt. Het dekselvormige type verschijnt in het begin van de 13de eeuw, doorgaans versierd met vingerdrukken op de overgang tussen want en koepel en met Kerbschnitt op het koepeloppervlak. De Kerbschnittversiering is kenmerkend voor de vuurklok uit de 13de en 14de eeuw.

224 De Grootte, 2014, 196-222, tabel 30 randtype 29B: 1225-1375. In het midden van de 12de en het begin van de 13de eeuw ontwikkelen zich nieuwe randtypes. De sikkelvormige randen behoren tot de 12de eeuw.

225 De Grootte, 2014, 196-222, tabel 30 randtype 29B: 1225-1375. In het midden van de 12de en het begin van de 13de eeuw ontwikkelen zich nieuwe randtypes. De sikkelvormige randen behoren tot de 12de eeuw.

7.4.2.6.2. Late middeleeuwen

7.4.2.6.2.1. Sporenconcentratie t.h.v. het gebouw, structuur II-A-10 (fig. 264: aangeduid in rood)

Beschrijving en interpretatie

In het zuiden van zone II krijgen we opnieuw een concentratie van sporen en dit ter hoogte van het gebouw, structuur II-A-10: paalsporen, kuilen en een greppel (fig. 264). In vergelijking met de overige sporen in zone II valt op dat de sporen hier aanwezig zich duidelijker aflijnen in het grondvlak: ze hebben een beduidend donkerdere vulling en zijn rijker aan houtskool en verbrande leem (fig. 276).

Wat de kuilen betreft, gaat het om de contexten II-A- - UV-4, II-A- - YZ-4, II-A-5-EF-1, II-A-5-IJ-4, II-A-7, II-A-18-AB-1, II-A-18-CD-1, II-A-29, II-A-34-DC-1, II-A-34-DC-2, II-A-38, II-A-39, II-A-40, II-A-42, II-A-43-AB-1, II-A-43-AB-4, II-A-43-AB-5, II-A-44, II-A-97, II-A-98 (fig. 277), II-A-101, II-A-102, II-A-103, II-A-107, II-A-113 (fig. 278), II-A-215 en II-A-523 (fig. 275). Bij uitbreiding horen ook twee iets meer oostwaarts gelegen kuilen, contexten II-A-258 en II-A-362, bij deze groep (fig. 265, 275). Ze zijn recenter dan de weg, structuur II-A-47-OP-2, en sluiten qua vulling aan bij het tweede type kuil dat besproken wordt bij de sporenconcentratie ter hoogte van de weg.

Het is bovendien op basis van de vulling dat bepaalde kuilen te interpreteren zijn als afvalkuilen.²²⁶ Eén der kuilen, context II-A-43-AB-1, is eveneens noemenswaardig en dit omdat we in de vulling het skelet van een volwassen rund in anatomisch verband aantreffen (fig. 279). Ondanks een vrij goede bewaring van het botmateriaal is het skelet sterk gefragmenteerd. De *metatarsus* of het middenvoetsbeen is volledig aan elkaar vergroeid, hetgeen aangeeft dat we te maken hebben met een volwassen dier. Nergens zijn kap – en/of snijsporen op te merken.

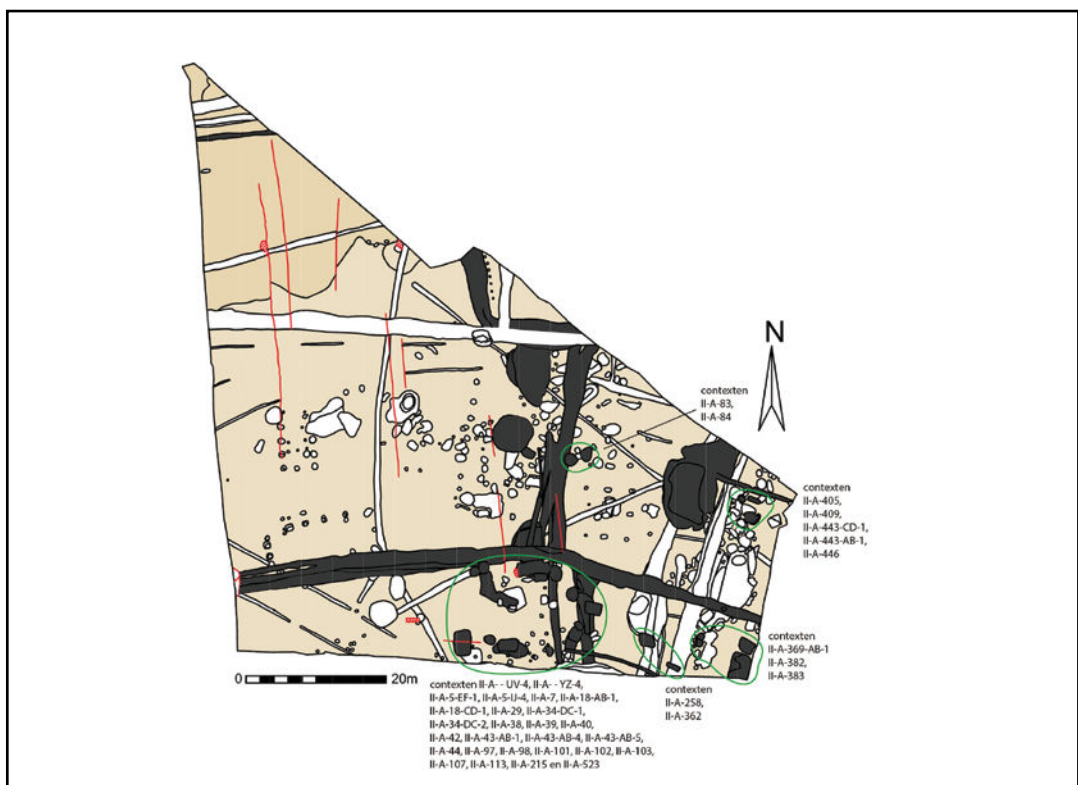


Fig. 275. Zone II grondplan A met aanduiding van de besproken contexten, schaal 1/750.



Fig. 276. Zicht op de sporenconcentratie in het zuiden van het vlak op grondvlak A.



Fig. 277. Coupe EF op contexten II-A- -BA-5 (gracht fase 3, cf. supra) en II-A-98.

Ondanks het feit dat de paalsporen in dit gedeelte van het terrein qua vulling allen gelijkaardig zijn, konden we slechts acht paalsporen met zekerheid toekennen aan het gebouw II-A-10 (cf. supra). Desalniettemin gaan we er van uit dat de overige paalsporen gelijktijdig zijn en, hoewel we het niet kunnen vaststellen, deel uitmaken van dezelfde - of een andere structuur. Het betreft de contexten II-A- -UV-7, II-A-3, II-A-5-IJ-4, II-A-6, II-A-7-GH-3, II-A-115 en II-A-117 (fig. 280).

In associatie met deze kuilen en paalsporen vermelden we tenslotte nog de greppel, context II-A-107 (cf. supra: greppels en grachten, fase 3).



Fig. 278. Coupe AB op context II-A-113.



Fig. 279. Grondplan B op context II-A-43-AB-1.



Fig. 280. Coupe AB op context II-A-117.

Vondsten en datering (tabel 7)

Naar datering toe berusten we zowel op het aardewerk als op de onderlinge relaties tussen de contexten. De besproken contexten leverden iets meer vondsten op dan de overige sporenconcentraties. Het merendeel bevat niet verder gedetermineerd grijs lokaal gedraaid aardewerk, soms in combinatie met diagnostische fragmenten van een kan/kruik²²⁷ (II-A- -UV-4, II-A-5-EF-1, II-A-7, II-A-34-DC-2, II-A-41, II-A-42, II-A-43-AB-1, II-A-43-AB-5, II-A-107, II-A-110, II-A-113), teil (II-A- -UV-4, II-A-5-EF-1, II-A-7, II-A-18-AB-1, II-A-43-AB-5, II-A-110), voorraadpot (II-A-43-AB-1, II-A-139), kogelpot²²⁸ (II-A-113, II-A-139), kookkan²²⁹ (II-A-113) of vuurklok²³⁰ (II-A-7, II-A-43-AB-5). Enkele contexten toonden, naast grijs-, ook rood lokaal gedraaid aardewerk²³¹, met scherven van een bord²³² (II-A-7), kan/kruik²³³ (II-A-7), vetvanger²³⁴ (II-A-5-EF-1, II-A-7), pan²³⁵ (II-A- -UV-4), kom²³⁶ (II-A-113), vuurklok²³⁷ (II-A-18-CD-1, II-A-110); soms in combinatie met wat bijna-steengoed²³⁸ (II-A-5-EF-1, II-A-7) en steengoed²³⁹ (II-A- -UV-4, II-A-7, II-A-113).

Uit context II-A-18-AB-2 is eveneens een sterk gecorrodeerd stuk metaal gelicht. Op basis van de röntgenopname is dit object geselecteerd voor verdere conservatie. Dit bracht het fragment van een mes aan het licht, meer bepaald het heft met aanzet van het lemmet.²⁴⁰

De datering van de contexten op basis van het aardewerk houdt rekening, enerzijds met de verhoudingen tussen de aardewerksoorten, en anderzijds met de aanwezig van bepaalde vormen en randtypes. Zo is het grijs lokaal gedraaid aardewerk het sterkst vertegenwoordigd, in combinatie met een weinig rood lokaal gedraaid aardewerk, bijna-steengoed en steengoed. Qua vormen zien we dat de kogelpot nog aanwezig is, maar dat ook een nieuwe vormen in grijs aardewerk zoals de kan/kruik, de kookkan en de vuurklok deel uitmaken van de aardewerkvondsten. Dit resulteert voor de meeste contexten in een datering tussen 1250 en 1400, hetgeen aansluit bij de datering van het gebouw II-A-10. Enkele contexten leverden een grotere kwantiteit diagnostische vondsten op en kunnen iets nauwkeuriger gedateerd worden in de tweede helft van de 13de en de eerste helft van de 14de eeuw (contexten II-A-5-EF-1 en II-A-7), of in de 14de eeuw (contexten II-A- -UV-4, II-A-101, II-A-102, II-A-113, II-A-139-BA-2). We kunnen de meeste sporen m.a.w. plaatsen in de late middeleeuwen.

227 De Grootte, 2014, 170-180, 297. De vorm ontwikkelt zich in de late 12de eeuw, vanaf de 15de eeuw komt de kan/kruik in grijs aardewerk nog nauwelijks voor.

228 De Grootte, 2014, 221, 296-298. Het vormtype van de kogelpot gaat terug tot de volle middeleeuwen en blijft tijdens de opkomst van het lokaal grijs gedraaid aardewerk vanaf de late 11de eeuw n. Chr. de dominante vorm. Met de komst van nieuwe vormen in de tweede helft van de 12de eeuw vermindert het aandeel van de kogelpot in de 13de eeuw, om in de 14de eeuw volledig te verdwijnen.

229 De Grootte, 2014, 237-240, 297. In de tweede helft van de 13de eeuw verschijnen nieuwe vormen, met onder meer de kookkan als nieuwe kookpotvorm. Deze neemt, samen met andere kookpotvormen, een plaats in aan de zijde van de kogelpot. In de 14de eeuw is het een algemeen voorkomende kookpotvorm, die in de 15de eeuw snel in onbruik geraakt.

230 De Grootte, 2014, 280-284, 297. In de tweede helft van de 12de en het begin van de 13de eeuw twee nieuwe vormen, meer bepaald de vuurklok en de kan/kruik. De vuurklok in grijs aardewerk blijft in productie tot in de 14de eeuw.

231 De Grootte, 2014, 300-304. Rood aardewerk verschijnt vanaf het midden van de 12de eeuw. Met een doorbraak in de 14de eeuw, is het vooral pas vanaf de 15de eeuw is de belangrijkste aardewerkgroep.

232 De Grootte, 2014, 149-152, 302. Verschijnt als vorm vanaf de 14de eeuw en is uitsluitend in rood aardewerk geproduceerd. De vorm blijft regelmatig voorkomen in de 15de en de 16de eeuw.

233 De Grootte, 2014, 182-186, 300-304. De kan/kruik verschijnt in de loop van de 13de eeuw en blijft in gebruik in de 14de tem 16de eeuw. Deze vorm is echter voornamelijk geproduceerd in grijs - en hoogversierd aardewerk.

234 De Grootte, 2014, 274-275, 302. De vorm verschijnt voor het eerst eind 12de – begin 13de eeuw n. Chr.

235 De Grootte, 2014, 246-251: De pan als vorm kent een lang gebruik van de 9de tot de 16de eeuw. In rood aardewerk verschijnt ze vanaf de 13de eeuw. In de 15de eeuw neemt haar gebruik af.

236 De Grootte, 2014, 222-235. Zoals de pan, kent de kom een lang gebruik, aanvankelijk in grijs aardewerk en vanaf de late 12de of vroege 13de eeuw ook in rood aardewerk.

237 De Grootte, 2014, 280-284, 297. In de tweede helft van de 12de en het begin van de 13de eeuw twee nieuwe vormen, meer bepaald de vuurklok en de kan/kruik. De vorm is voornamelijk in grijs aardewerk gemaakt. Voorbeelden in rood aardewerk zijn aangetroffen in contexten uit de 13de en 14de eeuw.

238 De Grootte, 2014, 365-369. Deze aardewerksoort is geproduceerd in de late 13de-vroege 14de eeuw.

239 De Grootte, 2014, 365-369. Steengoed verschijnt in Vlaanderen vanaf het begin van de 14de eeuw. In het tweede kwart van de 14de eeuw kent de aardewerksoort haar doorbraak.

240 Bijlage 4. inventarisnummer 554.

Duidelijk te onderscheiden van de andere sporen op basis van hun vulling, vindt wat reeds in het grondvlak uitscheen, bevestiging in de coupes: de greppel, kuilen en paalsporen zijn in relatie tot de omliggende sporen steeds recenter. Samen met het gebouw, structuur II-A-10, waren deze contexten afgedekt door een donkergrijze laag, rijk aan houtskool en verbrande leem (context II-A-BA-3) (cf. supra); zoals is vastgesteld bij het afgraven en geregistreerd in de bodemprofielen BA, UV en YZ. In eerste instantie is met de kraan tot op deze laag afgegraven, in de veronderstelling te maken te hebben met een begrensd spoor. Pas in een tweede instantie, wanneer bleek dat het een laag betrof, is beslist deze weg te graven. Context II-A-BA-3 geldt bijgevolg als een *terminus ante quem* voor de onderliggende sporen. Op basis van het overwegend grijs gedraaid aardewerk, met diagnostische scherven van een kan/kruik, voorraadpot en kom, en één scherf steengoed, krijgt deze laag een datering in de 14de eeuw, conform de datering van de onderliggende sporen.

7.4.2.6.2.2. Sporen ten oosten van de weg, structuur II-A-47-OP-2 (fig. 264: aangeduid in rood)

Beschrijving en interpretatie

Bepaalde kuilen ten oosten van de wegstructuur vertonen in grondplan een meer regelmatige vorm en een iets donkerdere vulling (fig. 264, 275). In coupe hebben ze een meer regelmatige uitgraving met rechte wanden en bodem. Twee kuilen liggen in de zuidoostelijke hoek van zone II, enigszins apart t.o.v. van de grote dichtheid kuilen net ten oosten van de weg: contexten II-A-382 (fig. 281) en II-A-383 (fig. 281). Enkele andere sporen bevinden zich tussen de andere kuilen, dicht tegen de weg. Het betreft contexten II-A-369-AB-1, II-A-405, II-A-409, II-A-446, II-A-443-CD-1 en II-A-443-EF-1, waaronder twee paalsporen. Deze kuilen vinden aansluiting vinden bij de besproken kuilen t.h.v. structuur II-A-10 (cf. supra), hetgeen bevestiging vindt in hun datering o.b.v. het aardewerk.

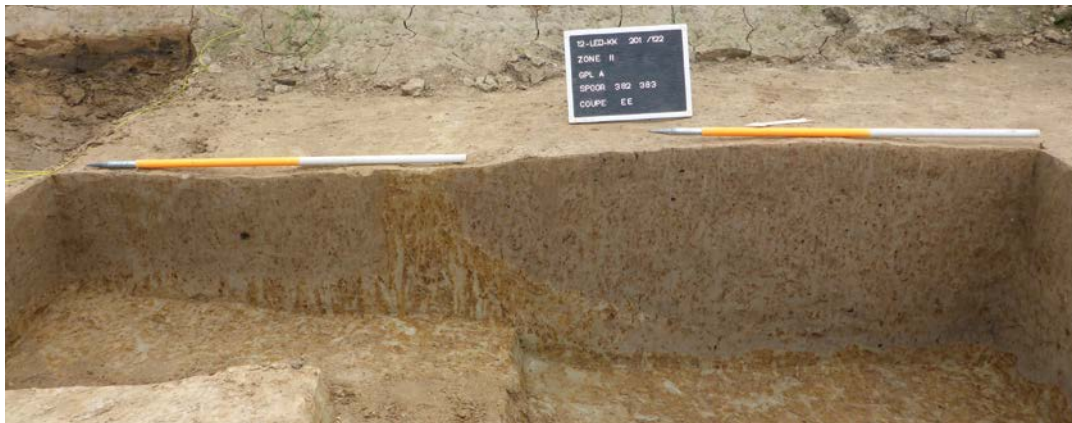


Fig. 281. Kwadrant EE van coupe AB op contexten II-A-282 en II-A-283.

Vondsten en datering (tabel 7)

Deze kuilen kunnen iets nauwkeuriger gedateerd worden. Dit omdat ze naast grijs- ook rood lokaal gedraaid aardewerk²⁴¹ (contexten II-A-383 en II-A-383) of steengoed²⁴² (II-A-369-AB-1, II-A-405 en II-A-446) bevatten. Op basis hiervan plaatsen we de kuilen in de late middeleeuwen, in de 13de en/of 14de eeuw.

²⁴¹ De Grootte, 2014, 300-304. Rood aardewerk verschijnt vanaf het midden van de 12de eeuw. Met een doorbraak in de 14de eeuw, is het vooral pas vanaf de 15de eeuw is de belangrijkste aardewerkgroep.

²⁴² De Grootte, 2014, 365-369. Steengoed verschijnt in Vlaanderen vanaf het begin van de 14de eeuw. In het tweede kwart van de 14de eeuw kent de aardewerksoort haar doorbraak.

7.4.2.6.2.3. Sporen centraal in het terrein (fig. 264: aangeduid in rood)

Beschrijving en interpretatie, vondsten en datering (tabel 7)

We vermelden voor deze periode tenslotte nog twee kuilen, contexten II-A-83 en II-84, ter hoogte van de waterput, structuur II-A-295 (fig. 275). Beide kuilen hebben een eerder bleke uitgeloopte en homogene vulling, anders dan de reeds besproken kuilen uit deze periode. Het vondstmateriaal uit de vulling dateert de kuilen respectievelijk in de 13de en in de 13de-14de eeuw, en dit omwille van de aanwezigheid van twee randen van een kan/kruik in grijs gedraaid aardewerk²⁴³ (context II-A-83 en II-A-83) en een wandscherf steengoed met zoutglazuur²⁴⁴ (II-A-84). Wat de relatieve chronologie betreft blijkt context II-A-83 in coupe ouder te zijn dan de gracht, context II-A-50 (cf. grachten en greppels fase 3), met een datering in de 13de eeuw.

TABEL7: KUILEN EN PAALSPOREN LATE MIDDELEEUWEN: OVERZICHT PER CONTEXT VAN DE HOEVEELHEID AARDEWERK PER TECHNISCHE GROEP.	
CONTEXT	AANTAL
II-A-101	3
Aardewerk / Middeleeuws / Grijs / Lokaal gedraaid / niet gedetermineerd	2
Aardewerk / Middeleeuws / Grijs / Lokaal grijs / niet gedetermineerd	1
II-A-102	20
Aardewerk / Middeleeuws / Grijs / Lokaal gedraaid / kan/kruik	1
Aardewerk / Middeleeuws / Grijs / Lokaal gedraaid / niet gedetermineerd	15
Aardewerk / Middeleeuws / Grijs / Lokaal gedraaid / voorraadpot	1
Aardewerk / Middeleeuws / Rood / Hoogversierd / niet gedetermineerd	1
Aardewerk / Middeleeuws / Rood / Lokaal gedraaid / niet gedetermineerd	1
Aardewerk / Middeleeuws / Steengoed / Steengoed met engobe/zoutglazuur (Langerwehe, Raeren, Frechen, Keulen) / niet gedetermineerd	1
II-A-107	2
Aardewerk / Middeleeuws / Grijs / Lokaal gedraaid / kan/kruik	1
Aardewerk / Middeleeuws / Grijs / Lokaal gedraaid / niet gedetermineerd	1
II-A-113	134
Aardewerk / Middeleeuws / Grijs / Lokaal gedraaid / deksel	1
Aardewerk / Middeleeuws / Grijs / Lokaal gedraaid / kan/kruik	9
Aardewerk / Middeleeuws / Grijs / Lokaal gedraaid / kogelpot	5
Aardewerk / Middeleeuws / Grijs / Lokaal gedraaid / kookkan	1
Aardewerk / Middeleeuws / Grijs / Lokaal gedraaid / niet gedetermineerd	103
Aardewerk / Middeleeuws / Grijs / Lokaal gedraaid / teil	2
Aardewerk / Middeleeuws / Rood / Lokaal gedraaid / kom	1
Aardewerk / Middeleeuws / Rood / Lokaal gedraaid / niet gedetermineerd	8
Aardewerk / Middeleeuws / Rood / Niet gedetermineerd / niet gedetermineerd	1
Aardewerk / Middeleeuws / Steengoed / Steengoed met engobe/zoutglazuur (Langerwehe, Raeren, Frechen, Keulen) / kan/kruik	1
Aardewerk / Middeleeuws / Steengoed / Steengoed met engobe/zoutglazuur (Langerwehe, Raeren, Frechen, Keulen) / niet gedetermineerd	2
II-A-18-AB-1	17

243 De Grootte, 2014, 170-180, 297. De vorm ontwikkelt zich in de late 12de eeuw, vanaf de 15de eeuw komt de kan/kruik in grijs aardewerk nog nauwelijks voor.

244 De Grootte, 2014, 365-369. Steengoed verschijnt in Vlaanderen vanaf het begin van de 14de eeuw. In het tweede kwart van de 14de eeuw kent de aardewerksoort haar doorbraak.

BESCHRIJVING VAN HET ARCHEOLOGISCH ONDERZOEK

Aardewerk / Middeleeuws / Grijs / Lokaal gedraaid / niet gedetermineerd	15
Aardewerk / Middeleeuws / Grijs / Lokaal gedraaid / teil	1
Aardewerk / Middeleeuws / Rood / Lokaal gedraaid / vuurklok	1
II-A-18-CD-1	2
Aardewerk / Middeleeuws / Grijs / Lokaal gedraaid / niet gedetermineerd	2
II-A-215	2
Aardewerk / Middeleeuws / Grijs / Lokaal gedraaid / kan/kruik	2
II-A-258	8
Aardewerk / Middeleeuws / Grijs / Lokaal gedraaid / niet gedetermineerd	7
Aardewerk / Middeleeuws / Rood / Niet gedetermineerd / niet gedetermineerd	1
III-A-29	1
Aardewerk / Middeleeuws / Grijs / Lokaal gedraaid / niet gedetermineerd	1
II-A-294	114
Aardewerk / Middeleeuws / Ander aardewerk / Roodbeschilderd Rijnlands (Pingsdorf) / niet gedetermineerd	2
Aardewerk / Middeleeuws / Grijs / Lokaal gedraaid / kan/kruik	5
Aardewerk / Middeleeuws / Grijs / Lokaal gedraaid / kogelpot	3
Aardewerk / Middeleeuws / Grijs / Lokaal gedraaid / niet gedetermineerd	103
Aardewerk / Middeleeuws / Grijs / Lokaal gedraaid / vuurklok	1
II-A-295	10
Aardewerk / Middeleeuws / Grijs / Handgevormd met donkere kern (Verhaeghe A) / niet gedetermineerd	1
Aardewerk / Middeleeuws / Grijs / Lokaal gedraaid / niet gedetermineerd	9
II-A-34-DC-1	3
Aardewerk / Middeleeuws / Grijs / Lokaal gedraaid / niet gedetermineerd	3
II-A-34-DC-2	61
Aardewerk / Middeleeuws / Grijs / Lokaal gedraaid / kan/kruik	6
Aardewerk / Middeleeuws / Grijs / Lokaal gedraaid / niet gedetermineerd	55
II-A-362	4
Aardewerk / Middeleeuws / Grijs / Lokaal gedraaid / niet gedetermineerd	4
II-A-369-AB-1	15
Aardewerk / Middeleeuws / Grijs / Lokaal gedraaid / kan/kruik	1
Aardewerk / Middeleeuws / Grijs / Lokaal gedraaid / niet gedetermineerd	12
Aardewerk / Middeleeuws / Steengoed / Steengoed met engobe/zoutglazuur (Langerwehe, Raeren, Frechen, Keulen) / kan/kruik	2
II-A-382	97
Aardewerk / Middeleeuws / Grijs / Lokaal gedraaid / kan/kruik	4
Aardewerk / Middeleeuws / Grijs / Lokaal gedraaid / kogelpot	1
Aardewerk / Middeleeuws / Grijs / Lokaal gedraaid / niet gedetermineerd	85
Aardewerk / Middeleeuws / Grijs / Lokaal gedraaid / voorraadpot	1
Aardewerk / Middeleeuws / Rood / Lokaal gedraaid / niet gedetermineerd	6
II-A-383	30
Aardewerk / Middeleeuws / Grijs / Lokaal gedraaid / kan/kruik	4
Aardewerk / Middeleeuws / Grijs / Lokaal gedraaid / niet gedetermineerd	22
Aardewerk / Middeleeuws / Rood / Lokaal gedraaid / niet gedetermineerd	4
II-A-389	2
Aardewerk / Middeleeuws / Grijs / Lokaal gedraaid / tuitpot	2

II-A-395	10
Aardewerk / Middeleeuws / Grijs / Lokaal gedraaid / kan/kruik	3
Aardewerk / Middeleeuws / Grijs / Lokaal gedraaid / niet gedetermineerd	7
II-A-398	1129
Aardewerk / Middeleeuws / Ander aardewerk / Hoogversierd van Noord-Franse herkomst / niet gedetermineerd	2
Aardewerk / Middeleeuws / Grijs / Lokaal gedraaid / kan/kruik	58
Aardewerk / Middeleeuws / Grijs / Lokaal gedraaid / kogelpot	7
Aardewerk / Middeleeuws / Grijs / Lokaal gedraaid / kom	6
Aardewerk / Middeleeuws / Grijs / Lokaal gedraaid / kookkan	4
Aardewerk / Middeleeuws / Grijs / Lokaal gedraaid / niet gedetermineerd	888
Aardewerk / Middeleeuws / Grijs / Lokaal gedraaid / teil	18
Aardewerk / Middeleeuws / Grijs / Lokaal gedraaid / voorraadpot	9
Aardewerk / Middeleeuws / Grijs / Lokaal gedraaid / vuurklok	24
Aardewerk / Middeleeuws / Grijs / Reducerend gebakken van Rijnlandse herkomst (Paffrath) / niet gedetermineerd	1
Aardewerk / Middeleeuws / Rood / Hoogversierd / kan/kruik	1
Aardewerk / Middeleeuws / Rood / Lokaal gedraaid / grape	10
Aardewerk / Middeleeuws / Rood / Lokaal gedraaid / kan/kruik	6
Aardewerk / Middeleeuws / Rood / Lokaal gedraaid / kookkan	2
Aardewerk / Middeleeuws / Rood / Lokaal gedraaid / niet gedetermineerd	49
Aardewerk / Middeleeuws / Rood / Lokaal gedraaid / pan	1
Aardewerk / Middeleeuws / Rood / Lokaal gedraaid / vetvanger	10
Aardewerk / Middeleeuws / Steengoed / Bijna Steengoed (Rijnland) / niet gedetermineerd	1
Aardewerk / Middeleeuws / Steengoed / Protosteengoed (Rijnland) / niet gedetermineerd	1
Aardewerk / Middeleeuws / Steengoed / Steengoed met engobe/zoutglazuur (Langerwehe, Raeren, Frechen, Keulen) / kan/kruik	3
Aardewerk / Middeleeuws / Steengoed / Steengoed met engobe/zoutglazuur (Langerwehe, Raeren, Frechen, Keulen) / niet gedetermineerd	28
II-A-40	26
Aardewerk / Middeleeuws / Grijs / Lokaal gedraaid / kan/kruik	3
Aardewerk / Middeleeuws / Grijs / Lokaal gedraaid / kogelpot	1
Aardewerk / Middeleeuws / Grijs / Lokaal gedraaid / niet gedetermineerd	22
II-A-404	7
Aardewerk / Middeleeuws / Grijs / Lokaal gedraaid / niet gedetermineerd	7
II-A-405	60
Aardewerk / Middeleeuws / Grijs / Lokaal gedraaid / kan/kruik	58
Aardewerk / Middeleeuws / Grijs / Lokaal gedraaid / niet gedetermineerd	1
Aardewerk / Middeleeuws / Steengoed / Steengoed met engobe/zoutglazuur (Langerwehe, Raeren, Frechen, Keulen) / niet gedetermineerd	1
II-A-406	4
Aardewerk / Middeleeuws / Grijs / Lokaal gedraaid / niet gedetermineerd	4
II-A-408-AB-1	7
Aardewerk / Middeleeuws / Grijs / Lokaal gedraaid / kan/kruik	1
Aardewerk / Middeleeuws / Grijs / Lokaal gedraaid / niet gedetermineerd	4
Aardewerk / Middeleeuws / Grijs / Lokaal gedraaid / teil	2
II-A-409	19
Aardewerk / Middeleeuws / Grijs / Lokaal gedraaid / kan/kruik	7

BESCHRIJVING VAN HET ARCHEOLOGISCH ONDERZOEK

Aardewerk / Middeleeuws / Grijs / Lokaal gedraaid / niet gedetermineerd	12
II-A-42	17
Aardewerk / Middeleeuws / Grijs / Lokaal gedraaid / kan/kruik	2
Aardewerk / Middeleeuws / Grijs / Lokaal gedraaid / niet gedetermineerd	15
II-A-426	1
Aardewerk / Middeleeuws / Grijs / Lokaal gedraaid / niet gedetermineerd	1
II-A-426-AF-1	2
Aardewerk / Middeleeuws / Grijs / Lokaal gedraaid / niet gedetermineerd	2
II-A-428	6
Aardewerk / Middeleeuws / Grijs / Lokaal gedraaid / kan/kruik	1
Aardewerk / Middeleeuws / Grijs / Lokaal gedraaid / niet gedetermineerd	5
II-A-429	20
Aardewerk / Middeleeuws / Grijs / Lokaal gedraaid / niet gedetermineerd	19
Aardewerk / Middeleeuws / Grijs / Lokaal gedraaid / teil	1
II-A-429-AB-1	1
Aardewerk / Middeleeuws / Grijs / Lokaal gedraaid / niet gedetermineerd	1
II-A-429-GW-1	1
Aardewerk / Middeleeuws / Grijs / Lokaal gedraaid / niet gedetermineerd	1
II-A-429-RV-1	4
Aardewerk / Middeleeuws / Ander aardewerk / Maasland (Andenne) / kan	4
II-A-429-SR-1	3
Aardewerk / Middeleeuws / Grijs / Lokaal gedraaid / niet gedetermineerd	3
II-A-43-AB-1	13
Aardewerk / Middeleeuws / Grijs / Lokaal gedraaid / kan/kruik	1
Aardewerk / Middeleeuws / Grijs / Lokaal gedraaid / niet gedetermineerd	11
Aardewerk / Middeleeuws / Grijs / Lokaal gedraaid / voorraadpot	1
II-A-43-AB-5	7
Aardewerk / Middeleeuws / Grijs / Lokaal gedraaid / kan/kruik	1
Aardewerk / Middeleeuws / Grijs / Lokaal gedraaid / niet gedetermineerd	5
Aardewerk / Middeleeuws / Grijs / Lokaal gedraaid / teil	1
II-A-44	20
Aardewerk / Middeleeuws / Grijs / Lokaal gedraaid / niet gedetermineerd	19
Aardewerk / Middeleeuws / Grijs / Lokaal gedraaid / vuurklok	1
II-A-440	3
Aardewerk / Middeleeuws / Grijs / Lokaal gedraaid / niet gedetermineerd	2
Aardewerk / Middeleeuws / Rood / Lokaal gedraaid / niet gedetermineerd	1
II-A-441	8
Aardewerk / Middeleeuws / Grijs / Lokaal gedraaid / kan/kruik	2
Aardewerk / Middeleeuws / Grijs / Lokaal gedraaid / kogelpot	1
Aardewerk / Middeleeuws / Grijs / Lokaal gedraaid / niet gedetermineerd	5
II-A-443	4
Aardewerk / Middeleeuws / Grijs / Lokaal gedraaid / kan/kruik	1
Aardewerk / Middeleeuws / Grijs / Lokaal gedraaid / niet gedetermineerd	1
Aardewerk / Middeleeuws / Grijs / Lokaal gedraaid / teil	1
Aardewerk / Middeleeuws / Steengoed / Protosteengoed uit het Eifelgebied (Mayen) / niet gedetermineerd	1

II-A-443-AB-1	2
Aardewerk / Middeleeuws / Grijs / Lokaal gedraaid / kan/kruik	1
Aardewerk / Middeleeuws / Rood / Hoogversierd / niet gedetermineerd	1
II-A-446	1
Aardewerk / Middeleeuws / Steengoed / Steengoed met engobe/zoutglazuur (Langerwehe, Raeren, Frechen, Keulen) / niet gedetermineerd	1
II-A-523	4
Aardewerk / Middeleeuws / Grijs / Lokaal gedraaid / niet gedetermineerd	4
II-A-5-EF-1	30
Aardewerk / Middeleeuws / Grijs / Lokaal gedraaid / kan/kruik	2
Aardewerk / Middeleeuws / Grijs / Lokaal gedraaid / niet gedetermineerd	24
Aardewerk / Middeleeuws / Grijs / Lokaal gedraaid / teil	2
Aardewerk / Middeleeuws / Rood / Lokaal gedraaid / vetvanger	1
Aardewerk / Middeleeuws / Steengoed / Bijna Steengoed (Rijnland) / niet gedetermineerd	1
II-A-7	95
Aardewerk / Middeleeuws / Grijs / Lokaal gedraaid / kan/kruik	9
Aardewerk / Middeleeuws / Grijs / Lokaal gedraaid / niet gedetermineerd	66
Aardewerk / Middeleeuws / Grijs / Lokaal gedraaid / teil	7
Aardewerk / Middeleeuws / Grijs / Lokaal gedraaid / vuurklok	3
Aardewerk / Middeleeuws / Rood / Lokaal gedraaid / bord	2
Aardewerk / Middeleeuws / Rood / Lokaal gedraaid / kan/kruik	1
Aardewerk / Middeleeuws / Rood / Lokaal gedraaid / niet gedetermineerd	4
Aardewerk / Middeleeuws / Rood / Lokaal gedraaid / vetvanger	1
Aardewerk / Middeleeuws / Steengoed / Bijna Steengoed (Rijnland) / niet gedetermineerd	1
Aardewerk / Middeleeuws / Steengoed / Steengoed met engobe/zoutglazuur (Langerwehe, Raeren, Frechen, Keulen) / niet gedetermineerd	1
II-A-72	1
Aardewerk / Middeleeuws / Grijs / Lokaal gedraaid / niet gedetermineerd	1
II-A-76	13
Aardewerk / Middeleeuws / Grijs / Lokaal gedraaid / kan/kruik	1
Aardewerk / Middeleeuws / Grijs / Lokaal gedraaid / niet gedetermineerd	10
Aardewerk / Middeleeuws / Grijs / Lokaal gedraaid / teil	2
II-A-77	1
Aardewerk / Middeleeuws / Grijs / Lokaal gedraaid / niet gedetermineerd	1
II-A-78	1
Aardewerk / Middeleeuws / Grijs / Lokaal gedraaid / niet gedetermineerd	1
II-A-79	7
Aardewerk / Middeleeuws / Grijs / Lokaal gedraaid / niet gedetermineerd	7
II-A-83	4
Aardewerk / Middeleeuws / Grijs / Lokaal gedraaid / kan/kruik	1
Aardewerk / Middeleeuws / Grijs / Lokaal gedraaid / niet gedetermineerd	3
II-A-84	7
Aardewerk / Middeleeuws / Grijs / Lokaal gedraaid / kan/kruik	2
Aardewerk / Middeleeuws / Grijs / Lokaal gedraaid / niet gedetermineerd	4
Aardewerk / Middeleeuws / Steengoed / Steengoed met engobe/zoutglazuur (Langerwehe, Raeren, Frechen, Keulen) / niet gedetermineerd	1

II-A-97	11
Aardewerk / Middeleeuws / Ander aardewerk / Niet gedetermineerd / niet gedetermineerd	1
Aardewerk / Middeleeuws / Ander aardewerk / Roodbeschilderd Rijnlands (Pingsdorf) / niet gedetermineerd	1
Aardewerk / Middeleeuws / Grijs / Lokaal gedraaid / niet gedetermineerd	9
II-A-98	13
Aardewerk / Middeleeuws / Grijs / Lokaal gedraaid / kom	1
Aardewerk / Middeleeuws / Grijs / Lokaal gedraaid / niet gedetermineerd	12
II-A--UV-4	129
Aardewerk / Middeleeuws / Grijs / Lokaal gedraaid / bloempot	1
Aardewerk / Middeleeuws / Grijs / Lokaal gedraaid / kan/kruik	6
Aardewerk / Middeleeuws / Grijs / Lokaal gedraaid / kookkan	1
Aardewerk / Middeleeuws / Grijs / Lokaal gedraaid / niet gedetermineerd	116
Aardewerk / Middeleeuws / Grijs / Lokaal gedraaid / teil	2
Aardewerk / Middeleeuws / Rood / Lokaal gedraaid / pan	1
Aardewerk / Middeleeuws / Steengoed / Steengoed met engobe/zoutglazuur (Langerwehe, Raeren, Frechen, Keulen) / kan/kruik	2
II-A--YZ-4	11
Aardewerk / Middeleeuws / Grijs / Lokaal gedraaid / niet gedetermineerd	9
Aardewerk / Middeleeuws / Grijs / Lokaal gedraaid / teil	1
Aardewerk / Middeleeuws / Rood / Vroeg-rood / niet gedetermineerd	1
Eindtotaal	2227

7.4.2.6.3. Middeleeuwen

7.4.2.6.3.1. Sporenconcentratie ter hoogte van de weg, structuur II-A-47-OP-2 (fig. 264: aangeduid in blauw)

Beschrijving en interpretatie

De sporenconcentratie ter hoogte van de weg, structuur II-A-47-OP-2, is de meest uitgesproken in zone II (fig. 282). De densiteit is zodanig hoog dat nauwelijks moederbodem werd opgetekend. Doordat het oosten van het terrein het diepste punt van zone II is, waar het dikste pakket colluvium is afgegraven, én rekening houdend met de tijdsdruk, is aanvankelijk gekozen om de sporen hier aanwezig niet te verdiepen naar een tweede grondplan. Op deze manier zijn de sporen tussen de afwateringgreppels en ten noord- en zuidoosten van de weg opgegraven vanop grondplan A. De coupes bevestigden dat de sporen hier slechts ondiep bewaard waren. Enkele coupes ten oosten van de weg, t.h.v. context II-A-429, gaven echter aan dat we lokaal te maken hadden met een complexer geheel van sporen. Als gevolg hiervan is geopteerd om handmatig een tweede grondplan aan te leggen (fig. 283). Zo splitste context II-A-429 zich op in afzonderlijk kuilen, die verder zijn gecoupeerd.

Meer specifiek gaat het om volgende contexten II-A- -OP-5, II-A- -OP-6, II-A- -OP-7, II-A- -ST-4, II-A-364, II-A-365 (fig. 284), II-A-367, II-A-368, II-A-369-AB-3, II-A-372-FG-1, II-A-372-HI-1, II-A-373-PQ-1, II-A-373-PQ-2, II-A-373-PQ-3, II-A-374-NO-1, II-A-375, II-A-376, II-A-378, II-A-380, II-A-381, II-A-389, II-A-390, II-A-391, II-A-392, II-A-393, II-A-394, II-A-395, II-A-396, II-A-406, II-A-408-AB-1, II-A-408-LU-1, II-A-410, II-A-412, II-A-415, II-A-416, II-A-417, II-A-418, II-A-420, II-A-422, II-A-423, II-A-424, II-A-426-FA-1, II-A-426-FA-3, II-A-429-AB-1, II-A-429-GW-1, II-A-429-GW-4, II-A-429-RV-1, II-A-429-SR-1, II-A-432-RV-1, II-A-433, II-A-436-UV-2, II-A-437-RV-1, II-A-437-ST-2, II-A-438, II-A-439, II-A-440, II-A-447, II-A-448, II-A-451 (fig. 285), II-A-452, II-A-454, II-A-492-AB-3, II-B-99, II-B-105, II-B-110. Dicht op elkaar gepakt, voornamelijk langs de oostelijke rand van de weg (en zelfs enkele keren oversneden door de meest recente fase van het wegtracé) vertonen ze in grondplan grillige vormen zonder duidelijke oversnijdingen. In coupe blijken ze allen een weinig diepe en eveneens vrij grillige uitgraving te hebben. Hun vulling bestaat



Fig. 282. Zicht op de oostelijke sporenconcentratie op grondplan A, ter hoogste van de weg, structuur II-A-47-OP-2.



Fig. 283. Zicht op context II-A-429 op grondplan B.

doorgaans uit een onderste pakket, gelaagd of heterogeen met een afwisseling van grijze vulling en moederbodem, en een bovenste pakket, eerder homogeen lichtgrijs tot grijs. De aard van de vulling suggereert alvast geen snelle opvulling van de sporen. Danig gelijkaardig, konden we in coupe vaak de relatie tussen twee kuilen niet vaststellen. In zekere zin sluit de beschrijving van deze kuilen aan bij de reeds besproken kuilen centraal en in het noorden van het vlak (cf. supra). Jammer genoeg is te weinig materiaal voorhanden om uitspraken te doen over hun eventueel gelijke datering.



Fig. 284. Kwadrant EA van coupe AB op context II-A-365.



Fig. 285. Coupe AB op context II-A-451.

Enkele kuilen maken duidelijk geen deel uit van deze onregelmatige vlek van sporen. Deze kuilen zijn op basis van hun regelmatige vorm in grondplan en in coupe, hun andere vulling en hun datering in de late middeleeuwen, reeds apart besproken (cf. supra). Dit zijn zoals gesteld vermoedelijk afvalkuilen.

Wat de interpretatie betreft van de onregelmatige middeleeuwse kuilen, werpen we onze blik op andere opgravingen binnen het werkingsgebied van SOLVA. Het is namelijk mogelijk geen toeval dat de kuilen zo geconcentreerd voorkomen langs de weg II-A-47-OP-2. Eerder onderzoek in Ronse – Pont West en in Wortegem-Petegem – Driesstraat bracht gelijkaardige concentraties sporen aan het licht, alwaar ze zijn geïnterpreteerd als dassenburchten. Uit onderzoek²⁴⁵ is namelijk geweten dat dassen bij voorkeur hun burcht ingraven in een verhevenheid in het landschap. In Ronse – Pont West situeerden de dassenburchten zicht ter hoogte van grafheuvels uit de metaaltijden.²⁴⁶ In het geval van Wortegem-Petegem –

²⁴⁵<http://www.dassenwerkgroepbrabant.nl/pages/dassenburcht.html> (30/05/2016).

²⁴⁶De Graeve et al., 2014, 39.

Driesstraat²⁴⁷ gaat het om drie dassenburchten aan de rand van een holle weg. De opgehoogde grond aan weerszijden van de holle weg in Wortegem-Petegem was in dit geval de plek waar de dassen zich ingroeven. Indien de kuilen in Lede – Kleine Kouterrede het resultaat zijn van een dassenburcht, zouden we moeten veronderstellen dat ten oosten van weg, naast de afwateringsgracht, aarde was opgehoogd in de vorm van een wal, alwaar de dassen hun toevlucht zochten. Een argument die de aanwezigheid van een dassenburcht onderschrijft is het uitzicht van de kuilen in grondplan en in coupe, grillig en onregelmatig, met een vulling die sterk gelijkt op het bovenliggende colluvium. Op grondplan A reeds, en ook bij het lokaal verdiepen naar een grondplan B, merken we dat de onregelmatige vlek van sporen zich opsplijt in een concentratie van sporen. Dit zijn dan geen antropogene sporen, maar de gangen en de kamers van de dassenburcht. Het taphonomische proces dat plaatsvindt na het verlaten van een dassenburcht veronderstelt dat de gangen en de kamers geleidelijk instorten en zich opvullen met de bovenliggende vulling, meer bepaald het colluvium. Ook de beperkte hoeveelheid en de datering van het vondsmateriaal ondersteunen deze these. Voor zover aardewerk is aangetroffen is het middeleeuws met een ruime datering tussen de tweede helft van de 11de t.e.m. de 14de eeuw. Een datering die niet contradictorisch is met de datering van de wegstructuur II-A-47-OP-2 in de late 12de en 13de eeuw.

Een andere interpretatie, die veelal wordt geopperd, maar moeilijk te staven, is dat de kuilen het resultaat zijn van ontginning of van een artisanale activiteit. We kunnen dit evenwel niet onderbouwen met vondsmateriaal of resultaten van natuurwetenschappelijke analyse.

Vondsten en datering (tabel 8)

De kuilen van het eerste type zijn oversneden door, zowel de recentste fase van de oostelijke afwateringsgracht van het wegtracé, context II-A-363-AB-1, als twee 14de-eeuwse greppels, context II-A-443-AB-1 en context II-A--ST-3 (cf. supra: fase 3, fig. 254). Op hun beurt oversnijden ze zelf een greppel, context II-A-218, die is toegewezen aan de metaaltijden (cf. supra, fig. 95).

Het aardewerk is schaars en weinig diagnostisch. We tellen enkel grijs lokaal gedraaide scherven, waarvan het merendeel niet verder te determineren is dan wandscherven, met uitzondering van enkele diagnostische scherven, toe te wijzen aan kannen/kruiken²⁴⁸ (contexten II-A-408-AB-1, II-A-409, II-A-432-RV-1, II-A-437-ST-2), teilen²⁴⁹ (II-A-408-AB-1, II-A-429) en een tuitpot²⁵⁰ (II-A-389-RV-1). Eén kuil, context II-A-429-RV-1, bevat vier scherven van een rand en hals van een kruik in zeer zacht gebakken Maaslands aardewerk met strooiglazuur.²⁵¹ Voor het merendeel van de contexten geldt een ruime datering in de middeleeuwen, of meer specifiek de tweede helft van de 11de t.e.m. de 14de eeuw. Context II-A-429-RV-1 is door K. De Grootte gedateerd tussen 1150 en 1300 n. Chr.

247 De Maeyer et al., 2018, 126-128.

248 De Grootte, 2014, 170-180, 297. De vorm ontwikkelt zich in de late 12de eeuw, vanaf de 15de eeuw komt de kan/kruik in grijs aardewerk nog nauwelijks voor.

249 De Grootte, 2014, 261-266, 296-299. Teilen komen in grijs en rood aardewerk voor vanaf de 13de eeuw en kent haar doorbraak in de 14de eeuw. De vorm in grijs aardewerk moet in de 15de eeuw wijken voor deze in rood aardewerk.

250 De Grootte, 2014, 268-273. De tuitpot kent een lange geschiedenis die terug gaat tot de 9de eeuw, maar is als kogelvormige tuitpot in grijs gedraaid aardewerk vooral eigen aan de 12de eeuw. Deze vorm moet uiteindelijk plaats maken voor de komst van de kan/kruik in de tweede helft van de 12de eeuw en komt in de 13de eeuw nog weinig voor.

251 De Grootte, 2014, 337-346. Het witbakkend aardewerk uit het Maasland verschijnt in Vlaanderen reeds vanaf de late 9de eeuw. De contexten in de regio Oudenaarde met deze aardewerksoort dateren tussen de 10de en de 13de eeuw.

BESCHRIJVING VAN HET ARCHEOLOGISCH ONDERZOEK

TABEL 8: KUILEN EN PAALSPOREN MIDDELEEUWEN: OVERZICHT PER CONTEXT VAN DE HOEEVEELHEID AARDEWERK PER TECHNISCHE GROEP.

CONTEXT	AANTAL
II-A-373-PQ-3	11
Aardewerk / Middeleeuws / Grijs / Lokaal gedraaid / niet gedetermineerd	9
Aardewerk / Middeleeuws / Grijs / Lokaal grijs / kogelpot	2
II-A-375	1
Aardewerk / Middeleeuws / Grijs / Lokaal gedraaid / niet gedetermineerd	1
II-A-389	2
Aardewerk / Middeleeuws / Grijs / Lokaal gedraaid / tuitpot	2
II-A-395	10
Aardewerk / Middeleeuws / Grijs / Lokaal gedraaid / kan/kruik	3
Aardewerk / Middeleeuws / Grijs / Lokaal gedraaid / niet gedetermineerd	7
II-A-406	4
Aardewerk / Middeleeuws / Grijs / Lokaal gedraaid / niet gedetermineerd	4
II-A-408-AB-1	7
Aardewerk / Middeleeuws / Grijs / Lokaal gedraaid / kan/kruik	1
Aardewerk / Middeleeuws / Grijs / Lokaal gedraaid / niet gedetermineerd	4
Aardewerk / Middeleeuws / Grijs / Lokaal gedraaid / teil	2
II-A-410	2
Aardewerk / Middeleeuws / Grijs / Lokaal gedraaid / niet gedetermineerd	2
II-A-429	20
Aardewerk / Middeleeuws / Grijs / Lokaal gedraaid / niet gedetermineerd	19
Aardewerk / Middeleeuws / Grijs / Lokaal gedraaid / teil	1
II-A-429-AB-1	1
Aardewerk / Middeleeuws / Grijs / Lokaal gedraaid / niet gedetermineerd	1
II-A-429-GW-1	1
Aardewerk / Middeleeuws / Grijs / Lokaal gedraaid / niet gedetermineerd	1
II-A-429-RV-1	4
Aardewerk / Middeleeuws / Ander aardewerk / Maasland (Andenne) / kan	4
II-A-429-SR-1	3
Aardewerk / Middeleeuws / Grijs / Lokaal gedraaid / niet gedetermineerd	3
II-A-432-RV-1	3
Aardewerk / Middeleeuws / Grijs / Lokaal gedraaid / kan/kruik	2
Aardewerk / Middeleeuws / Grijs / Lokaal gedraaid / niet gedetermineerd	1
II-A-436-UV-2	4
Aardewerk / Middeleeuws / Grijs / Lokaal gedraaid / niet gedetermineerd	4
II-A-440	3
Aardewerk / Middeleeuws / Grijs / Lokaal gedraaid / niet gedetermineerd	2
Aardewerk / Middeleeuws / Rood / Lokaal gedraaid / niet gedetermineerd	1
II-A--OP-7	1
Aardewerk / Middeleeuws / Grijs / Lokaal gedraaid / niet gedetermineerd	1
II-B-110	1
Aardewerk / Middeleeuws / Grijs / Lokaal gedraaid / niet gedetermineerd	1
Eindtotaal	78

7.4.2.6.4. Interpretatie en discussie

De sporendensiteit in zone II is aanzienlijk. In het kader van de rapportage zijn de sporen tot contexten gemaakt en zijn een reeks contexten gebundeld onder de noemer van structuren; het merendeel echter niet. De overige contexten zijn desalniettemin verbonden met structuren en met een activiteit of bewoning in het algemeen.

Zo heeft de kuilencluster in het westen van het vlak zonder twijfel te maken met de volmiddeleeuwse gebouwplattegrond die we hier aantreffen. Zowel hun onderlinge ligging op het terrein, als hun datering o.b.v. aardewerk geven dit aan. Hetzelfde fenomeen lijkt van kracht voor de laatmiddeleeuwse kuilen in het zuiden van het terrein, om en rond de spieker, structuur II-A-10.

De voornaamste sporenconcentraties - centraal, in het noorden en het oosten van vlak, brengen meer onzekerheden met zich mee. Deze paalsporen en kuilen vertonen, zowel in grondplan als in coupe, sterke gelijkenissen: homogene, uitgeloopte, eerder steriele vullingen; een type vulling die overeenkomt met deze van de contexten gerekend tot de "gebouwen", structuren II-A-59, II-A-89 en II-A-184. Voor gebouw II-A-89 is ingezet op een 14C-datering op houtskool met als resultaat een datering tussen 1020 en 1270. De sporenconcentraties centraal en in het noorden van het vlak zouden kunnen in verband gebracht worden met de vermelde gebouwstructuren; de concentratie ten oosten van de weg, structuur II-A-47-OP-2, met de wegstructuur zelf, gedateerd tussen 1175 en 1300.

In tegenstelling tot hun aantal, leveren deze kuilen slechts weinig vondstmateriaal op. Het aardewerk omvat voornamelijk wandscherven van grijs lokaal gedraaid aardewerk, waarvoor een ruime middeleeuwse datering tussen 1050 en 1400 geldt. Qua relatieve chronologie zien we dat een aantal kuilen oversneden is door de greppels en grachten uit fase 3, gedateerd in de 13de eeuw (cf. supra), of door de poelen II-A-272 en II-A-398, gedateerd in de eerste helft van de 14de eeuw, maar evenzeer door de weg II-A-47-OP-2 zelf, gedateerd in de late 12de en 13de eeuw, en door kuilen van het tweede type, gedateerd in de 13de en/of 14de eeuw. In combinatie met de datering o.b.v. het weinige aardewerk, suggereert de relatieve chronologie dat deze contexten alvast niet meer tot 14de eeuw behoren.

7.4.3. Bewoningsgeschiedenis zone II

In de voorgaande hoofdstukken zijn de belangrijkste contexten en structuren beschreven en gedateerd. Enkel voor het geheel van greppels en grachten hebben we een fasering vooropgesteld, gebaseerd enerzijds op de datering van het vondstmateriaal, en anderzijds op de onderlinge relatie tussen de verschillende grachten en greppels én hun relatie tot andere contexten en structuren. Vijf grote fases zijn gedefinieerd, waarbij we kunnen stellen dat fase 1 zich in de volle middeleeuwen bevindt, fase 2 op de overgang tussen de volle en late middeleeuwen, fase 3 en 4 in de late middeleeuwen en fase 5 op de overgang van de late naar de postmiddeleeuwen. In de volgende tekst willen we verder bouwen op deze fasering. We wensen suggesties te doen omtrent de bewoningsgeschiedenis van dit stukje erf dat we in zone II hebben aangesneden (fig. 286). Welke contexten en structuren hebben samen gefunctioneerd en hoe is de occupatie ruimtelijk veranderd en geëvolueerd? Tenslotte toetsen we dit af t.o.v. het historisch kaartmateriaal.

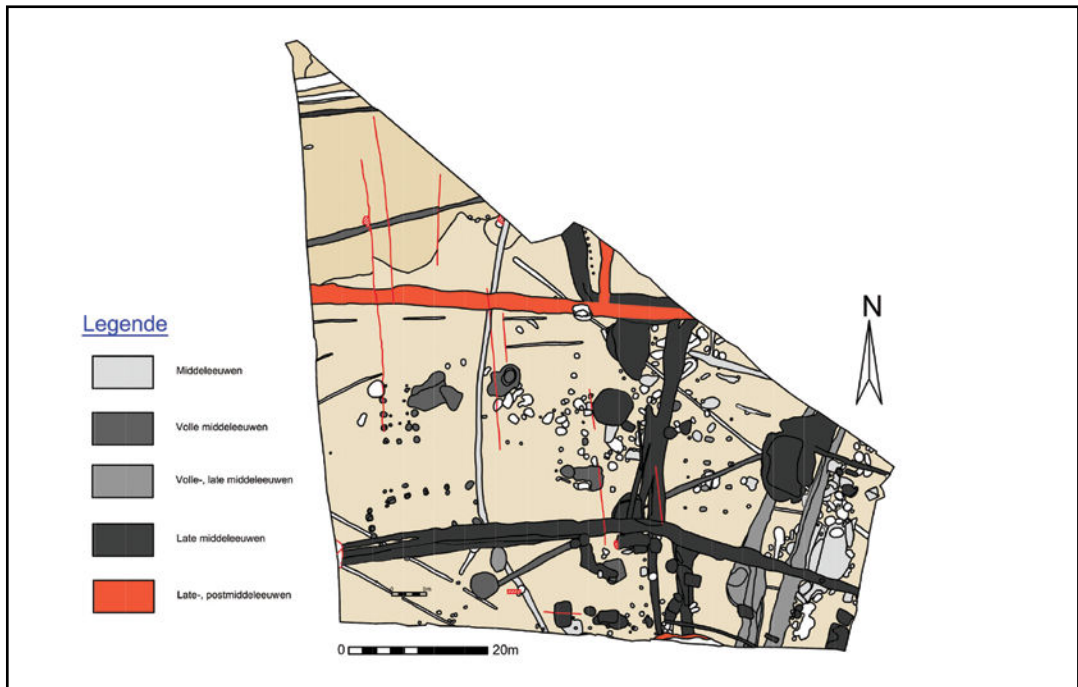


Fig. 286. Zone II grondplan A interpretatief totaalplan, schaal 1/750.

7.4.3.1. Volle middeleeuwen (fase 1)

Op het terrein was vanaf het begin duidelijk dat we te maken hadden met de resten van een bewoning in de late middeleeuwen. Tijdens de verwerking en rapportage toonde de analyse van het aardewerk echter aan dat in zone II, naast laatmiddeleeuwse, ook volmiddeleeuwse nederzettingssporen aanwezig waren (fig. 287). Hoewel sporadisch, is voldoende diagnostisch aardewerk voorhand om een aantal contexten en structuren toe te wijzen aan deze periode.

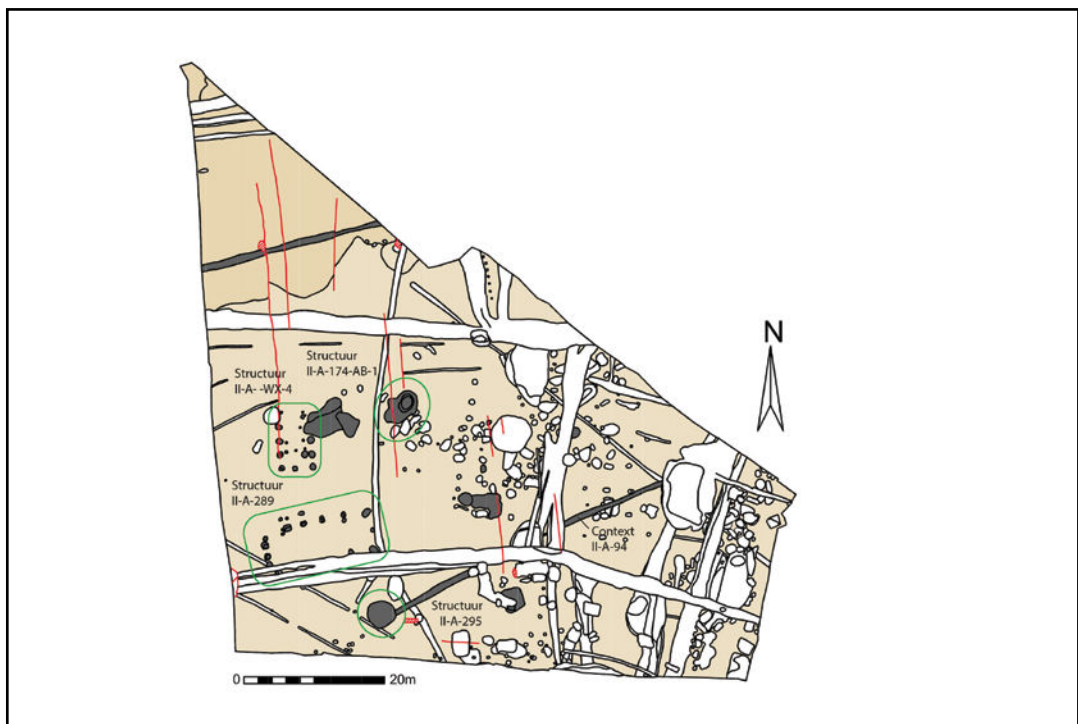


Fig. 287. Zone II grondplan A met aanduiding van de contexten en structuren die tot de volle middeleeuwen behoren, schaal 1/750.

De volmiddeleeuwse contexten en structuren bevinden zich duidelijk in de westelijke helft van het terrein en een beetje in het centrale gedeelte. Ze zijn gekenmerkt door een lage densiteit. Twee greppels met een noordoost-zuidwest oriëntatie, contexten II-A-280 en II-A-94, zijn 54 m van elkaar verwijderd. Naast het aardewerk, zijn ook hun afwijkende oriëntatie en relatieve chronologie t.o.v. de andere greppels en grachten in het vlak, indicatoren voor een oudere datering. De grachten en greppels uit de jongere fases 2, 3, 4 en 5 houden namelijk een noord-zuid, oost-west oriëntatie aan en oversnijden de zuidelijke greppel, context II-A-94. Binnen de grenzen van deze greppels treffen we twee gebouwen, structuren II-A-289 en II-A- -WX-4, een waterkuil, structuur II-A-174-AB-1, en een waterput, structuur II-A-295, aan. De gebouwen liggen in elkaars nabijheid en staan haaks op elkaar. Een kuilenconcentratie aan de noordzijde van het gebouw II-A- -WX-4 heeft duidelijk te maken met de aanwezigheid van dit gebouw. Ook de greppel, context II-A-94, is verbonden met de waterput II-A-295.

Minder duidelijkheid geldt voor de grote hoeveelheid sporen centraal en in het noorden van het vlak. In deze concentraties zijn slechts enkele kuilen en paalsporen met zekerheid in de volmiddeleeuwse periode te plaatsen. Het valt op dat buiten de grenzen van beide greppels nauwelijks andere volmiddeleeuwse sporen aanwezig zijn. Ten zuiden van de greppel, context II-A-94, zien we een sporenconcentratie, maar met een overwegend laatmiddeleeuwse datering. Slechts één kuil, context II-A-34, behoort tot de volle middeleeuwen. Ten noorden van het gebouw II-A- -WX-4 en de waterkuil II-A-174-AB-1 neemt de hoeveelheid sporen drastisch af en eens voorbij de greppel, context II-A-280 stellen we een leegte vast.

De vermelde contexten en structuren zijn in eerste instantie gedateerd o.b.v. het aardewerk. Dit resulteerde doorgaans in een datering in de 10de t.e.m. eerste helft van de 11de eeuw, gebaseerd op gidsfossielen zoals roodbeschilderd Rijnlands aardewerk, grijs lokaal gedraaid aardewerk met radstempelpersiering en grijs aardewerk met donkere kern (zgn. Verhaege A). Ter controle is een aantal contexten geselecteerd voor een 14C-datering op houtskool en is ook ingezet op een datering door middel van dendrochronologie.²⁵² De resultaten bevestigen en verfijnen de volmiddeleeuwse datering, althans voor het gebouw, structuur II-A-289, de waterkuil, structuur II-A-174-AB-1, en de waterput, structuur II-A-295, gedateerd respectievelijk in 890-1020, 890-1030 en 1067/1068.

Hoewel we het niet met zekerheid kunnen aantonen, is het wel waarschijnlijk dat deze structuren gelijktijdig hebben bestaan. De ruimtelijke spreiding en de onderlinge positie van de structuren kunnen gelden als aanwijzingen hiertoe. In die veronderstelling kunnen we suggereren dat we hier te maken hebben met een volmiddeleeuws erf. Dit erf is in het noorden afgebakend door de greppel, context II-A-280, en in het zuiden door de greppel, context II-A-94. Binnen de grenzen van dit erf liggen twee gebouwen, met een functie als hoofd- en bijgebouw. De nabijgelegen waterkuil en waterput maken eveneens deel uit van deze bewoning. Hoewel, op drie volmiddeleeuwse contexten na, het merendeel van de sporen centraal in het vlak geen datering kent, zijn ze mogelijk het resultaat van de volmiddeleeuwse nederzetting die we hier hebben aangetroffen.

We moeten echter opmerken dat de datering van de waterput recenter is dan de dateringen van het gebouw en de waterkuil. In dit opzicht is het mogelijk dat we niet te maken hebben met één, maar met twee fases van bewoning, elk met hun eigen watervoorziening (waterkuil en vervolgens waterput). Zoals reeds gesteld is zone II in zekere zin een kijkvenster op een grotere zone van bewoning. De noordelijke greppel, context II-A-280, is immers slechts voor klein deel van zijn traject opgetekend. Het is bijgevolg niet uit te sluiten dat een deel van de volmiddeleeuwse bewoning zich buiten de grenzen van het opgravingsvlak bevinden, meer bepaald naar het westen toe.

In relatie tot de latere fases van bewoning, merken we op dat de noordoost-zuidwest oriëntatie van de volmiddeleeuwse bewoning niet bestendig is in de indeling van het landschap en de bewoning. Als we de postmiddeleeuwse iconografische bronnen bekijken (cf. supra) dan vinden we enkel ter hoogte van zone I een pad dat schuin het terrein doorkruist: 'Sentier n: 148' op de Atlas der Buurtwegen en de 'Naeldekens weg' op de Poppkaart. Een archeologische voorganger was echter niet te herkennen in het vlak.

7.4.3.2. Volle en late middeleeuwen (fase 2)

De datering, en bijgevolg ook de situering, van het gebouw structuur II-A-89 in het grotere geheel, is minder evident. Twee 14C-dateringen op houtskool afkomstig uit twee paalsporen, geven twee verschillende dateringen: enerzijds 1020-1160 en anderzijds 1150-1270. De meest recente datering weerhouden we als de correcte datering, en dit omwille van de recentere relatie tot de greppel, context II-A-94, en tot de waterput, structuur II-A-95 (cf. supra).

Op basis van de datering, de ligging, de lay-out en de oriëntatie beschouwen we gebouw II-A-89 niet als onderdeel van het eerder vermelde volmiddeleeuwse erf (fig. 288). De datering van het gebouw sluit echter ook niet aan bij deze van de wegstructuur II-A-47-OP-2. Mogelijk is de structuur II-A-89 als woongebouw, een tussenstap tussen de vol- en laatmiddeleeuwse periode. Binnen zone II treffen we immers geen gebouwplattegronden meer aan in de late middeleeuwen. We veronderstellen dat de bewoning, zoals de weg, zich in de late middeleeuwen heeft verlegd: mogelijk reeds buiten de grenzen van het opgravingsvlak, maar even goed binnen de grenzen van zone II, met een gewijzigde constructiemethode, zoals een hout- of steenbouw op liggers (cf. infra).²⁵³

De twee gebouwstructuren, II-A-59 en II-A-184 (fig. 141), sluiten naar onze mening, o.b.v. ligging, oriëntatie en aard van de vulling, aan bij gebouw II-A-89. Zo ook de overige kuilen en paalsporen die zich centraal en in het noorden van het vlak bevinden, en die bovendien oversneden zijn door de grachten en greppels uit fase 3 en 4. Het is mogelijk dat het gebouw en de weg samen hebben gefunctioneerd, maar dat is niet archeologisch vastgesteld of te bewijzen. Ze hebben alvast niet dezelfde oriëntatie.

De weg, structuur II-A-47-OP-2 (fase 2), is wel met zekerheid onder te brengen in de periode tussen het einde van de volle- en het begin van de late middeleeuwen (1175-1300) (fig. 288). Het onderscheid met de datering van de grachten en greppels die deel uitmaken van fase 3 (cf. supra) is subtiel. Het materiaal afkomstig uit de afwateringgreppels van de weg is beperkt, maar toch voldoende diagnostisch om een datering te geven waarin, naast de 13de eeuw, ook de late 12de is opgenomen.²⁵⁴ Als dusdanig beschouwen we deze wegstructuur uit fase 2 als iets ouder dan de greppels en grachten uit fase 3. Ook de relatie van deze weg tot de gracht, context II-A- -ST-3, uit fase 3 en tot de poel, structuur II-A-398, geassocieerd met fase 4, bevestigt deze datering.

In het grote kijkvenster dat zone II is, merken we op dat de wegstructuur II-A-47-OP-2 een soort grens symboliseert. In tegenstelling tot de grote hoeveelheid kuilen ten oosten van de weg, zijn er ten westen van de weg, m.u.v. gebouwstructuur II-A-89, beduidend minder sporen, tot we aan de centrale sporenconcentratie komen. De aanwezigheid van de concentratie kuilen ten oosten van de weg is onze opinie toch verbonden met de locatie van de weg: hetzij ten gevolge van de aanwezigheid van een dassenburcht, hetzij als het resultaat van een ontginning, meer bepaald leem. Volgens deze laatste interpretatie is de nabijheid van de weg cruciaal, in die zin dat de ontgonnen grond direct kon overgeheveld worden op een transportmiddel.

²⁵³ De Clercq, 2017, 62.

²⁵⁴ Mondelinge mededeling K. De Groote en N. Vanholme.



Fig. 288. Zone II grondplan A met aanduiding van de contexten en structuren die tot de volle en late middeleeuwen behoren, schaal 1/750.

De weg als structuur heeft naast een transportfunctie, ook een verbindende en ontsluitende functie. Haar ligging hier is niet toevallig. Voor het eerst in dit onderzoek verschaffen de historische bronnen hier inzichten. De kaart van Ferraris toont Lede op het einde van de 18de eeuw (1771-1178) (fig. 12 en 140). Ter hoogte van het Domein Mesen situeert de bewoning zich voornamelijk in het noorden en het westen. Direct ten oosten van dit domein, waar het opgravingsgebied zone I gelegen is, is landbouwgrond opgetekend. Een beetje verder, in zuidoostelijke richting, botsten we vlakbij zone II op een kleine woonkern. Een aantal gebouwen, vermoedelijk hoeves, zijn omgeven door met bomen afgezoomde erven. Van belang hier is het wegeltje dat tussen deze erven loopt (fig. 289). Op de Atlas Der Buurtwegen (ca. 1840) is de kleine woonkern op één woonst na verdwenen, maar is de wegel 'chemin: 26' nog steeds in gebruik (fig. 290). De Poppkaart, die slechts kort na de Atlas der Buurtwegen is opgetekend (1842-1879), geeft quasi dezelfde situatie weer, met als uitzondering de spoorweg die als een litteken door het landschap snijdt (fig. 291). Het is de aanleg van deze spoorweg die er voor zorgt dat de wegel naar de hoeve in twee is gesplitst. Het zuidelijke gedeelte van de wegel, voor het eerst de 'Nerumstraat' genoemd, wordt op deze manier een doodlopende straat. Op de huidige kadaasterkaarten is 'Nerumstraat' slechts van toepassing op de weg ten noorden van de spoorweg. De doodlopende wegel ten zuiden hiervan is tot op heden nog in gebruik, maar draagt geen naam meer.

In onze opinie bestaat er geen twijfel dat de weg, structuur II-A-47-OP-2, de voorloper is van de postmiddeleeuwse wegel, de 'Nerumstraat', zoals opgetekend op de historische kaarten. Het vol- tot laatmiddeleeuwse wegtracé ligt perfect parallel met -, en net ten westen van de huidige wegel. We herhalen dat, binnen de fasering van beide afwateringsgrachten, de recentere uitgraving steeds ten oosten van de oudere uitgraving ligt. Dit betekent dat de weg, naar het einde van de volle en het begin van de late middeleeuwen, een beetje is opgeschoven naar het oosten. De vaststelling dat de weg oversneden is door een gracht uit fase 4, context II-A- -ST-3, geeft aan dat de weg in de loop van de eerste helft van de 14de eeuw reeds in onbruik is geraakt. We kunnen veronderstellen dat de weg zich in deze periode opnieuw verlegd heeft naar het oosten, hoogst waarschijnlijk ter hoogte van zijn huidige locatie.

BESCHRIJVING VAN HET ARCHEOLOGISCH ONDERZOEK

De aanwezigheid van dit laatmiddeleeuwse wegtracé, als voorloper van de postmiddeleeuwse weg, laat toe te suggereren dat postmiddeleeuwse nederzetting, zoals afgebeeld op de kaart van Ferraris, mogelijk reeds teruggaat tot de late 12de en 13de eeuw.

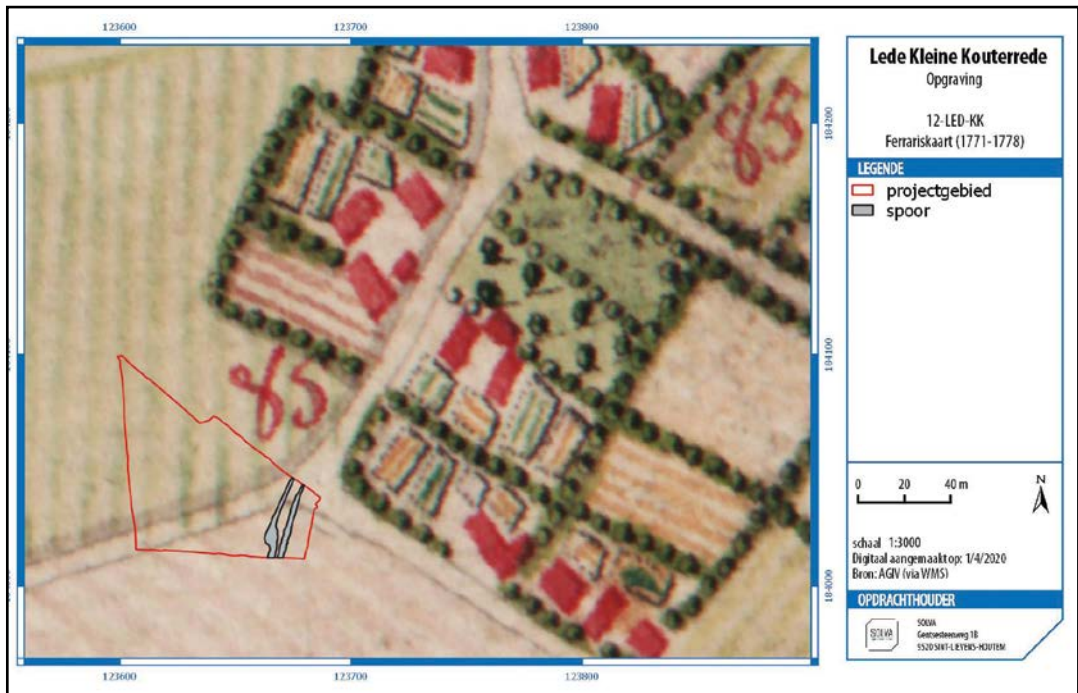


Fig. 289. Zone II met aanduiding van de contexten en structuren die tot de volle, late middeleeuwen behoren, geprojecteerd op de kaart van Ferraris (mogelijk met afwijking op de georeferentie); bron AGIV en SOLVA, digitaal aangemaakt op 1/04/2020.

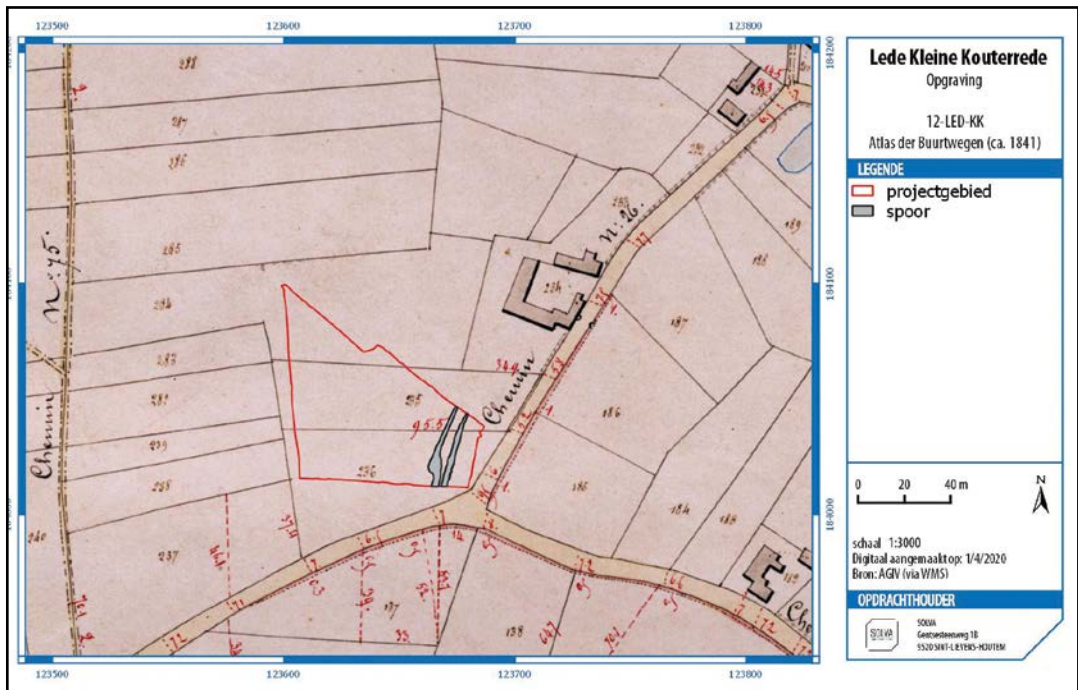


Fig. 290. Zone II met aanduiding van de contexten en structuren die tot de volle, late middeleeuwen behoren, geprojecteerd op de Atlas Der Buurtwegen (mogelijk met afwijking op de georeferentie); bron AGIV en SOLVA, digitaal aangemaakt op 1/04/2020.

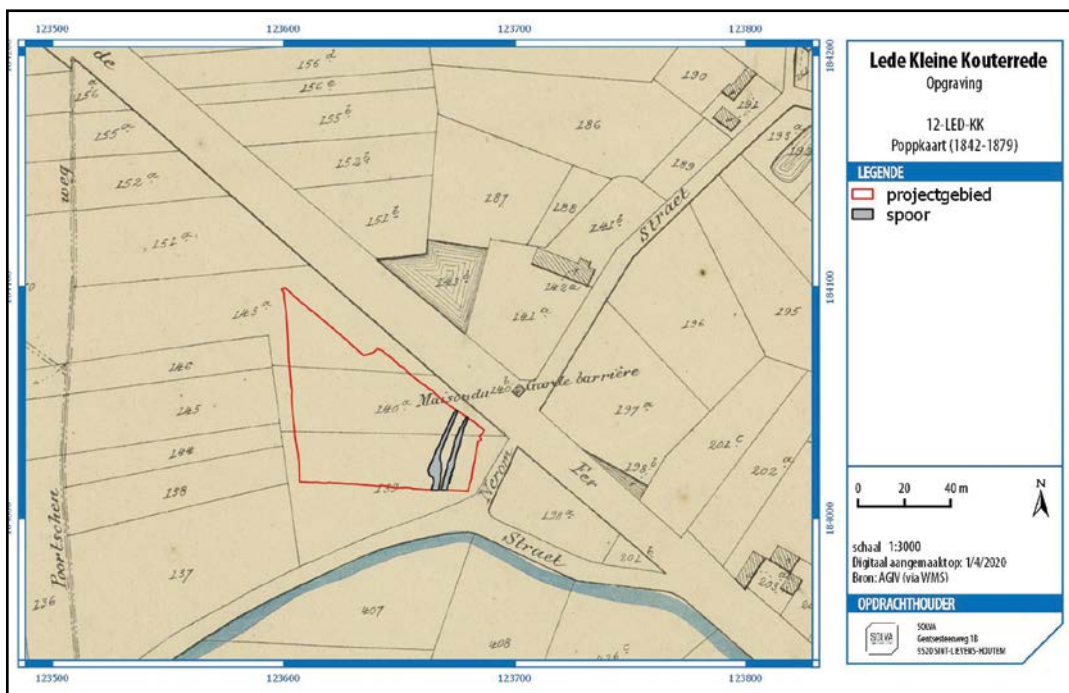


Fig. 291. Zone II met aanduiding van de contexten en structuren die tot de volle, late middeleeuwen behoren, geprojecteerd op de kaart van Popp (mogelijk met afwijking op de georeferentie); bron AGIV en SOLVA, digitaal aangemaakt op 1/04/2020.

7.4.3.3. Late middeleeuwen (fase 3 en 4)

In zone II heeft de laatmiddeleeuwse periode de grootste impact op het bodemarchief (fig. 292).

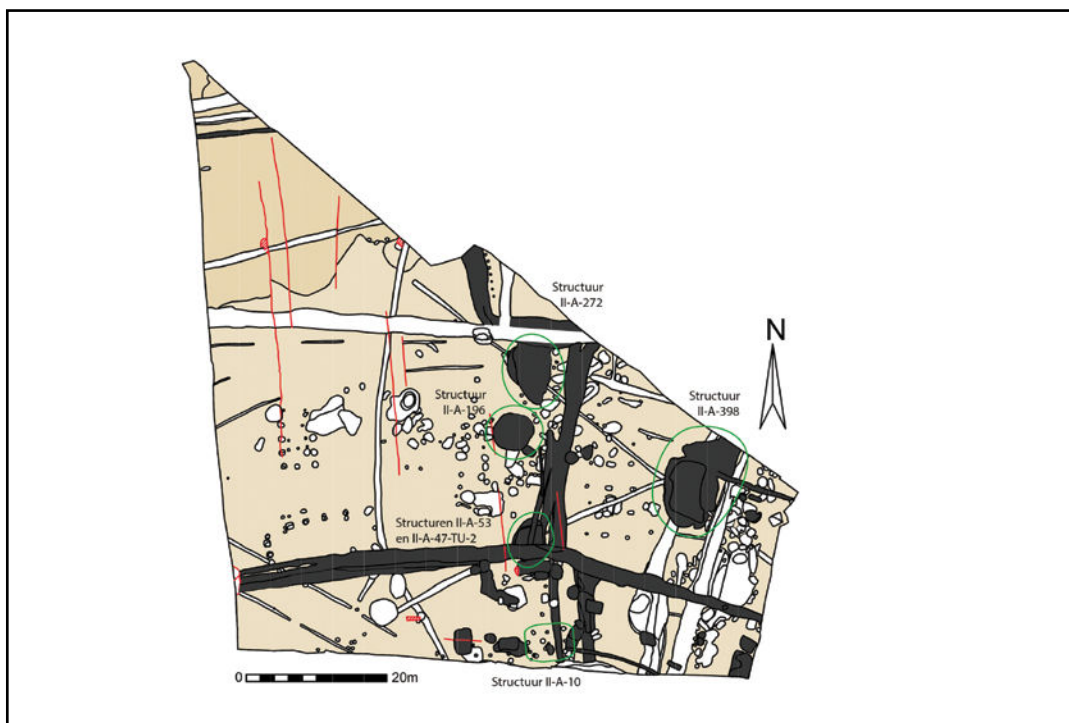


Fig. 292. Zone II grondplan A met aanduiding van de contexten en structuren die tot de late middeleeuwen behoren, schaal 1/750.

Inzake de grachten en greppels, omvat deze periode zowel fase 3 - de 13de eeuw, als fase 4 - de eerste helft van de 14de eeuw.

Wat de structuren betreft, situeren de waterputten II-A-47-TU-2 en II-A-53 zich net tussen deze twee fases. Beide waterputten zijn immers recenter dan gracht, context II-A-47-BA-2, uit fase 3, maar zijn ouder dan de gracht, context II-A-47-BA-1, uit fase 4. Dit feit, in combinatie met de datering van beide waterputten in de 13de eeuw - op basis van zeer gelijkaardige aardewerkassemblages, bevestigt dat de waterputten relatief kort in gebruik zijn geweest en dat de recentste waterput, de oudste relatief snel vervangt.

Een derde waterput, structuur II-A-196, overbrugt, met een datering in de tweede helft van de 13de en de eerste helft van de 14de eeuw, fase 3 en 4 van de grachten en greppels. Deze datering behelst zowel de lagen in verband gebracht met de vulling van de aanlegtrechter, als de lagen gelinkt aan de opgave van de waterput. Indien we dit opsplitsen, kunnen we stellen dat de waterput met zekerheid is opgegeven in de eerste helft van de 14de eeuw en mogelijk zelfs in het eerste kwart van de 14de eeuw (context II-A-196-AB-1).

Twee andere structuren, met name de poelen II-A-272 en II-A-398, zijn eveneens gedateerd in de eerste helft van de 14de eeuw. Het laat geen twijfel dat beide samen hebben gefunctioneerd met de vierde fase van de greppels en grachten.

We plaatsen ook het kleine gebouwtje, structuur II-A-10, in de laatmiddeleeuwse periode. Enigszins apart gelegen in het zuiden van het vlak, is het ons niet duidelijk wat de relatie van dit gebouw is t.o.v. de overige structuren. Binnen de verschillende concentraties van paalsporen en kuilen (cf. supra) kunnen slechts weinig sporen gedateerd worden. We merken evenwel op dat, indien een datering voorhanden is, de laatmiddeleeuwse periode het sterkst vertegenwoordigd is. Het gaat voornamelijk over kuilen in het zuiden, het zuidoosten en het noordoosten van het vlak.

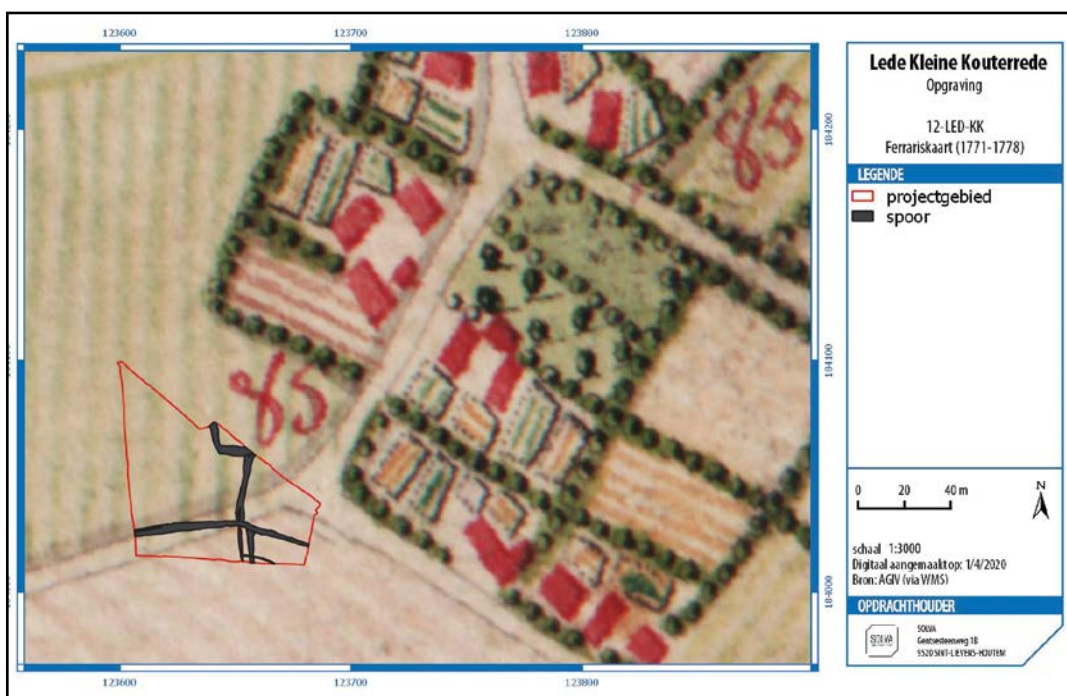


Fig. 293. Zone II met aanduiding van de contexten en structuren die tot de late middeleeuwen behoren, geprojecteerd op de kaart van Ferraris (mogelijk met afwijking op de georeferentie); bron AGIV en SOLVA, digitaal aangemaakt op 1/04/2020.

Een deel van de opgesomde sporen uit de late middeleeuwen kunnen we verklaren aan de hand van de historische kaarten. Zo zien we op de kaart van Ferraris, ten noordoosten van zone II, een kleine bewoningskern bestaande uit enkele boerderijen (fig. 293). Omgeven door rechthoekige landbouw- en beboste percelen, zijn de boerderijen mooi van elkaar gescheiden door hagen van bomen of struiken. Of deze percelen ook zijn afgebakend door

erfgreppels of -grachten, is op de kaart niet duidelijk. We veronderstellen echter van wel. In het uiterste noorden van zone II tekenen we immers een flard van een gracht op, die een hoek van quasi 110° maakt: nl. context II-A-212-EF-1. Naar onze mening komt deze gracht overeen met de zuidwestelijke hoek van het meest westelijke gelegen perceel op de Ferrariskaart. Het is ook dit perceel dat de hoeve bevat die, als één van de weinige gebouwen binnen deze historische woonkern, tot op heden is bewaard (fig. 294, 298).

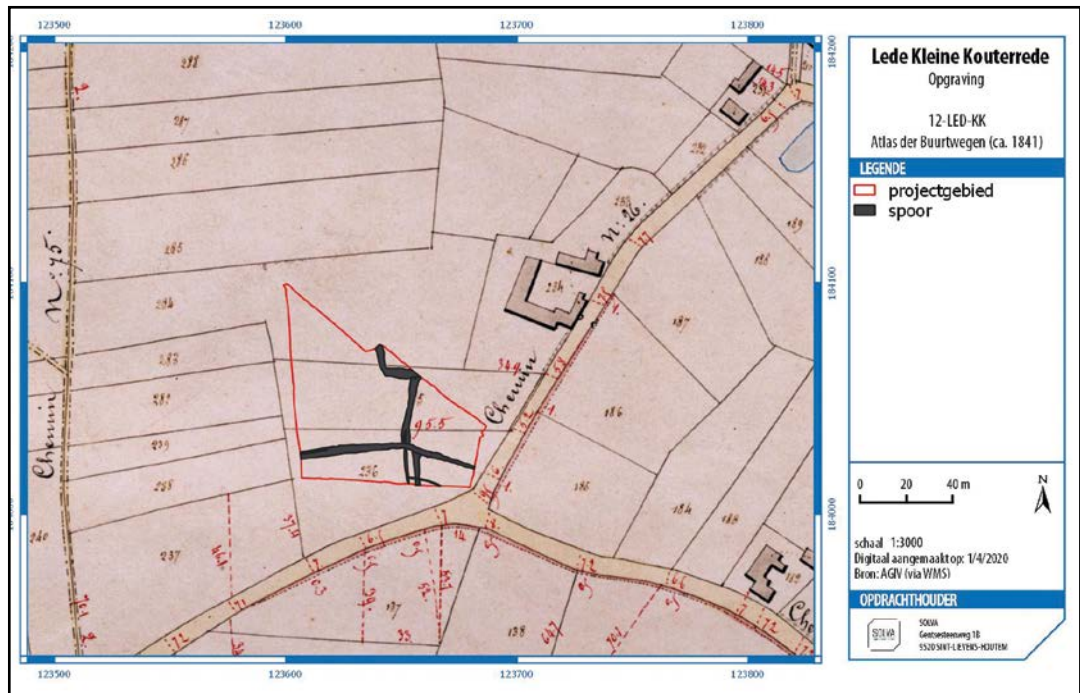


Fig. 294. Zone II met aanduiding van de contexten en structuren die tot de late middeleeuwen behoren, geprojecteerd op de Atlas Der Buurtwegen (mogelijk met afwijking op de georeferentie); bron AGIV en SOLVA, digitaal aangemaakt op 1/04/2020.

Als we tenslotte nog eens kijken naar de Ferrariskaart t.o.v. de Atlas der Buurtwegen en de Poppkaart dan zien we dat, in de tijdspanne van 1771-1778 tot 1840, de indeling van het landschap sterk is opgedreven. Een uitgebreide percelering met een vrij strakke noord-zuid, oost-west oriëntatie is van kracht. Als we dit aftoetsen t.o.v. de archeologische structuren uit de laatmiddeleeuwse periode, dan valt op dat voor de grachten en de greppels van fase 3 en 4, voor het eerst dezelfde oriëntatie geldt: noordzuid-oostwest. Wanneer we de historische kaarten onder het opmetingsplan van Lede-Kleine Kouterrede leggen, komen de grachten van fase 3 en 4 niet letterlijk overeen met de perceelgrenzen zoals ze zijn opgetekend in de 18de en 19de eeuw (fig. 294). Desalniettemin gaan we er van uit dat de grachten en greppels uit fase 3 en 4 de voorlopers zijn van de postmiddeleeuwse percelering, én dat op dit punt in de geschiedenis de krijtlijnen zijn uitgezet voor de verdere organisatie en inname van het landschap door de mens.

Ondanks het feit dat we een gelijktijdigheid vaststellen voor verschillende contexten en structuren, kunnen we voor deze periode geen duidelijk erf afbakenen. Daar waar in de volle middeleeuwen twee gebouwplattegronden zijn geattesteerd, hebben we voor de late middeleeuwen geen gebouwen vastgesteld. Dit sluit evenwel niet uit dat in deze periode woningen aanwezig waren. De hoeveelheid vondsten, de aanwezigheid van de waterputten en de poelen zijn aanwijzingen om woning(en) in de directe nabijheid te veronderstellen.

Een eerste mogelijkheid is dat één of meerdere gebouwen aanwezig waren, maar archeologisch niet geattesteerd zijn. Zo toont archeologisch onderzoek in België en Nederland aan dat de volmiddeleeuwse bouwtraditie van het driebeukige, rechthoekige bouwtype rond

het midden van de 13de eeuw archeologisch gezien ‘verdwijnt’. Professor De Clercq stelt dat dit te wijten kan zijn aan een gewijzigde bouwtraditie, waarbij houtbouw met paalfundering wijkt voor houtbouw op baksteensokkels en -stiepen en baksteenarchitectuur.²⁵⁵ Een tweede mogelijkheid veronderstelt dat de laatmiddeleeuwse bewoning zich net buiten de grenzen van het opgravingsvlak bevindt. De historische kaarten wijzen immers op een postmiddeleeuwse bewoningskern ten noordoosten en ten oosten van zone II (fig. 293) (cf. infra). De laatmiddeleeuwse bewoning die in verband staat met de laatmiddeleeuwse waterputten, poelen en kuilen, kan zich eventueel reeds daar situeren, of, gezien de spreiding van de structuren uit deze periode, net ten zuiden van het vlak.

De relatieve chronologie van de grachten en greppels geeft aan dat in de late middeleeuwen, de wegstructuur II-A-47-OP-2 (fase 2) reeds in onbruik is geraakt. We gaan er van uit dat in deze periode de weg vervangen wordt door een nieuw, meer oostwaarts gelegen wegtracé. De historische kaarten tonen immers hoe ten oosten van zone II, in de postmiddeleeuwen, een weg leidt naar een kleine bewoningskern (fig. 288, 293). Zonder twijfel is het archeologisch vastgestelde wegtracé de voorloper van deze weg, later versteend in de vorm van de Nerumstraat (fig. 293, 294) (cf. supra). Hoewel we dit niet archeologisch kunnen staven, is de gewijzigde locatie van de weg, eventueel indicatief voor de verplaatsing van de bewoning, buiten de grenzen van zone II.

7.4.3.4. Late en postmiddeleeuwen (fase 5)

De laatste periode in de bewoningsgeschiedenis van zone II omvat de periode tussen 1400 en 1600, het einde van de late middeleeuwen en het begin van de postmiddeleeuwen. Deze periode is archeologisch gezien slechts vertegenwoordigd door de grachten ondergebracht in fase 5 (cf. supra). Sporen verbonden met bewoning zijn niet geregistreerd (fig. 295). Wat de grachten betreft, hebben we te maken met een licht gewijzigde bestemming van de reeds bestaande laatmiddeleeuwse situatie. Twee grachten, contexten II-A-212-AB-1 en II-A-212-PA-1, nemen namelijk de lijnen uitgezet in fase 3 en 4, over. Zo vormt de oost-west

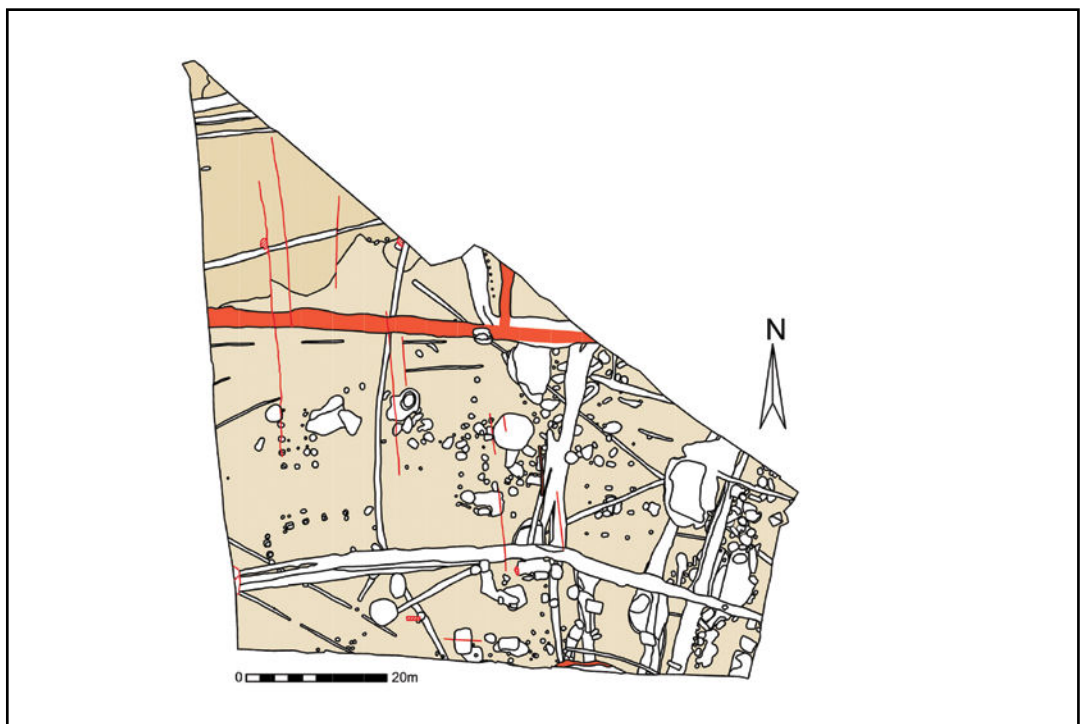


Fig. 295. Zone II met aanduiding van de contexten en structuren die tot de late en postmiddeleeuwen behoren, schaal 1/750.

georiënteerde gracht II-A-212-AB-1 in het noorden van het vlak, de opvolger van de grachten uit fase 4 in het zuiden van het vlak. Tegelijkertijd maakt deze gracht, samen met de noord-zuid georiënteerde gracht, context II-A-212-PA-1, opnieuw een rechte hoek, quasi parallel met context II-A-212-EF-1 uit fase 4.

We hebben reeds gesteld dat gedurende de laatmiddeleeuwse periode de context II-A-212-EF-1, in het noorden van zone II, de zuidwestelijke hoek vormt van een erf met hoeve, zoals afgebeeld op de kaart van Ferraris. De recentere grachten, contexten II-A-212-AB-1 en II-A-212-PA-1, hernemen in fase 5 deze rechte hoek uit fase 4 en bakenen m.a.w. nog steeds hetzelfde erf af. (fig. 296).



Fig. 296. Zone II met aanduiding van de contexten en structuren die tot de late en postmiddeleeuwen behoren, geprojecteerd op de kaart van Ferraris (mogelijk met afwijking op de georeferentie); bron AGIV en SOLVA, digitaal aangemaakt op 1/04/2020.

Ten opzicht van de Ferrariskaart, toont de recentere Atlas der Buurtwegen een gewijzigde situatie met een doorgedreven percelering van het landschap en een quasi verdwenen woonkern ter hoogte van de Nerumstraat (fig. 297). We zien dat zone II met twee parallelle perceelgrenzen (oost-west georiënteerd), opgesplitst is in drie percelen. We zien ook nog maar één hoeve, omgeven door een rechthoekig erf. De westelijke grens van de erfafbakening van de hoeve (noord-zuid georiënteerd) sluit nu aan op de meest noordelijke, oost-west georiënteerde perceelgrens. Als we kijken naar de situatie op het terrein, dan komt de archeologische realiteit gedeeltelijk overeen met de historische kaarten. De aanwezigheid en locatie van de meest zuidelijk perceelgrens gaat zonder twijfel terug op de situatie zoals ze is opgetekend in de late middeleeuwen (fase 4). De noordelijke perceelgrens komt perfect overeen met de gracht, context II-A-212-AB-1, uit fase 5. De noord-zuid georiënteerde perceelgrens van de hoeve, zoals zichtbaar op de Atlas der Buurtwegen, valt niet meer samen met de noord-zuid georiënteerde gracht, context II-A-212-PA-1. Wel maakt deze gracht nog steeds een hoek van 90° met context II-A-212-AB-1. Het blijkt, dat ten tijde van de Atlas der Buurtwegen, het erf rond de hoeve een stuk kleiner is geworden, waarbij de westelijke grens is opgeschoven naar het oosten.

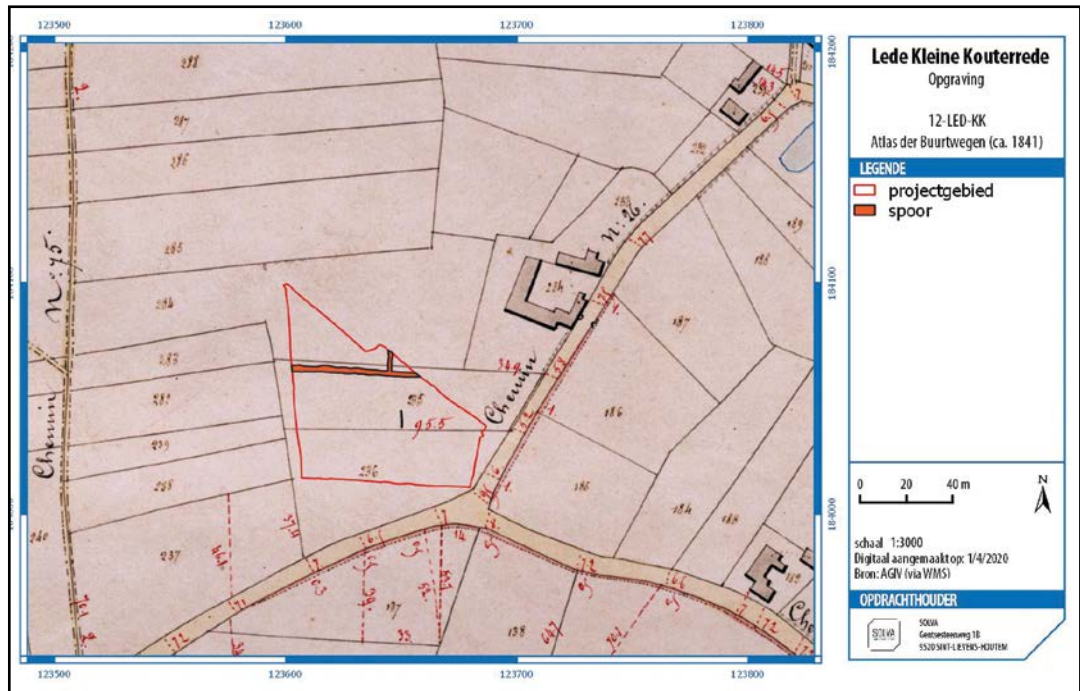


Fig. 297. Zone II met aanduiding van de contexten en structuren die tot de late en postmiddeleeuwen behoren, geprojecteerd op de Atlas Der Buurtwegen (mogelijk met afwijking op de georeferentie); bron AGIV en SOLVA, digitaal aangemaakt op 1/04/2020.

De Poppkaart herneemt grotendeels de perceelindeling van de Atlas der Buurtwegen, met in zone II dezelfde twee perceelgrenzen (fig. 298). De noordelijk gelegen perceelgrens ligt mooi parallel met en valt quasi samen met de gracht II-A-212-AB-1.

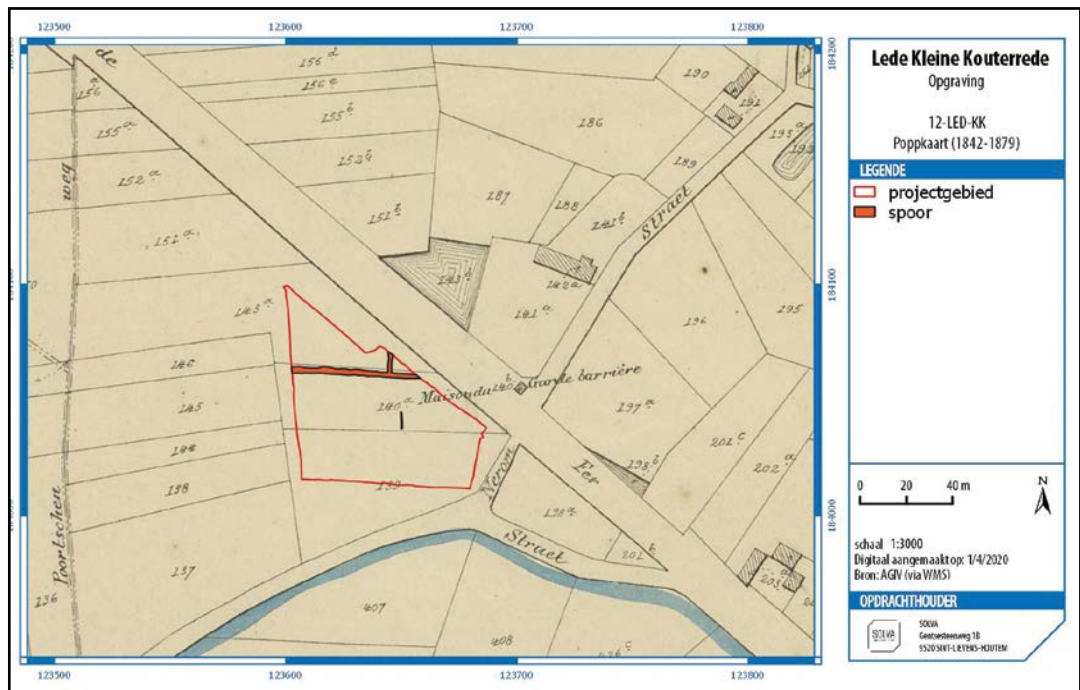


Fig. 298. Zone II met aanduiding van de contexten en structuren die tot de late en postmiddeleeuwen behoren, geprojecteerd op de kaart van Popp (mogelijk met afwijking op de georeferentie); bron AGIV en SOLVA, digitaal aangemaakt op 1/04/2020.

Op basis van de projecties van de archeologische vaststellingen op de historische kaarten kunnen we stellen dat, ook voor de overgang van de late- naar de postmiddeleeuwen, de archeologische realiteit opnieuw grotendeels overeenstemt met de historisch gekende situatie. Althans wat de historische afbakening van percelen d.m.v. grachten en greppels

betreft. Voor deze periode zijn opnieuw geen gebouwplattegronden opgetekend binnen de grenzen van zone II. In tegenstelling tot de laatmiddeleeuwse periode, die archeologisch sterk vertegenwoordigd is, gaan we er van uit dat in deze periode de bewoning niet verschoven of archeologisch niet zichtbaar is, maar opgehouden is te bestaan. De afbakening van het erf ten noorden van zone II start immers reeds met zekerheid in fase 4 van de greppels en grachten, en mogelijk reeds in fase 3 van de grachten en de greppels: m.a.w. reeds in de loop van de 13de en de eerste helft van de 14de eeuw. Bovendien blijft deze bewoning bestaan t.e.m. de postmiddeleeuwen (en heden), zoals de Atlas der Buurtwegen en de kaart van Popp aangeven.

7.4.4. Vergelijking in een lokaal en regionaal kader

Met betrekking tot de besproken bewoningsgeschiedenis van Lede – Kleine Kouterrede en de impact van deze bewoning op de indeling van het omringende landschap, vinden we geen parallellen in de directe omgeving. Wel zijn er enkele sites in het zuiden van Oost-Vlaanderen die chronologische en typologische verwantschappen vertonen met de nederzetting in Lede. De typologische overeenkomsten hebben voornamelijk betrekking op de indeling van het landschap en in minder mate op de gebouwtypologie. Wat de chronologie betreft, merken we op dat de verwante sites een gelijkaardige evolutie in de indeling van het landschap doormaken.

Met betrekking tot de evolutie en de relatie van bewoning en de indeling van het landschap doorheen de tijd, is de site Erembodegem - Zuid IV een belangrijke parallel binnen het werkingsgebied van SOLVA.²⁵⁶ Deze meerperiodensite bracht onder meer bewoning in de Karolingische- en de volmiddeleeuwse periode aan het licht:

Een eerste zone leverde twee gebouwplattegronden met een noordoost-zuidwest oriëntatie op, gedateerd in de 9de eeuw. De gebouwen zijn geflankeerd door twee greppels en een veldweg, enerzijds parallel met - en anderzijds loodrecht op de oriëntatie van de gebouwen. Als dusdanig vertonen de greppels en de gebouwen een oriëntatie die perfect parallel is met de huidige perceelindeling. Momenteel is de interpretatie van kracht dat deze bewoningsporen de getuigen zijn van de ingebruikname van de zuidelijke flank van een kouter, ingesloten door twee beken. Volgens deze interpretatie verschaftte de veldweg toegang tot de kouter en stond ze in voor de ontsluiting van de gronden.

In de daaropvolgende volmiddeleeuwse periode verlegt het zwaartepunt van de bewoning zich noordwaarts, ten noorden van de noordelijke beek. In een tweede zone is een tweeschepig gebouw van ca. 7 bij 20 m opgetekend, alsook een drieschepig gebouw met licht gebogen wanden van ca. 12 bij 21 m, beide met een noordoost-zuidwestelijke oriëntatie. Coupes toonden aan dat het tweede gebouw, het eerste gebouw oversnijdt. Twee 14C-dateringen per gebouw gaven echter zeer gelijklopende resultaten met dateringen in de 8ste en 9de eeuw, laat-Karolingisch met andere woorden. Zijn de dateringen van het drieschepige gebouw, dat geldt als een kenmerkend type voor de volle middeleeuwen, correct? Of hebben de vier dateringen betrekking op het oudste gebouw? Het drieschepige gebouw is zelf ook oversneden door een gracht die een ovale areaal (met een noordoost-zuidwestelijke oriëntatie) omsluit. Binnen de grenzen van deze gracht is een grote hoeveelheid kuilen en paalsporen aangetroffen, maar geen gebouwen. Omwille van de aard van de kuilen en de afwezigheid van woonstructuren is het areaal als een artisanale zone bestempeld. De sporen binnen de *enclosure* en de gracht zelf kregen een datering in de 12de tot vroege 13de eeuw.

In dezelfde zone zien we hoe, in de loop van de 12de eeuw, een gracht met een recht, noordoost-zuidwest georiënteerd verloop aansluit op de zuidwestelijke grens van het ovale areaal. Ook andere greppels en grachten met een noordwest-zuidoostelijke oriëntatie zijn

opgetekend, waarvan enkelen aansluiten op de eerste gracht. Op deze manier herneemt de laat middeleeuwse situatie de regelmatige, rechthoekige indeling van het landschap zoals in de vroege middeleeuwen. De *enclosure* beschreef misschien een 'organische' ovale vorm, het 12de-eeuwse strakke grachtensysteem is duidelijk geënt op de oriëntatie van de *enclosgracht*.

Het verhaal van Ronse - Pont West²⁵⁷ toont eveneens parallellen met dat van Erembodegem - Zuid IV. Tussen 2012 en 2014 is een groot terrein onderzocht dat sporen uit meerdere periodes opleverde. Naast de metaaltijden en de Romeinse periode is ook de middeleeuwse periode vertegenwoordigd. Middeleeuwse nederzettingssporen zijn vastgesteld in twee zones in het noordoosten en het oosten van het terrein. In het noordoosten verschijnt in de eerste helft van de 10de eeuw een ovale woonzone omgeven door een gracht. Binnen deze ovale *enclosure* is een drieschepige gebouwplattegrond aangetroffen, waarvan de lay-out overeenkomt met het gekende type uit de volle middeleeuwen. In de tweede helft van de 12de eeuw verschijnt ten oosten van deze ovale *enclosure*, een rechthoekige *enclosure* (met vooralsnog onduidelijke gebouwplattegrond), die bovendien de ovale *enclosure* oversnijdt. In de late- en postmiddeleeuwen wanneer de rechthoekige *enclosure* is opgegeven, hernemen perceelgrachten de regelmatige assen zoals uitgezet in de eerste helft van de 12de eeuw. Deze grachten lopen niet alleen parallel met, maar vallen ook samen met één van de greppels uit de 12de eeuw. Tenslotte is vastgesteld dat deze grachten perfect overeenkomen met de huidige kadastergrenzen. Opnieuw kent de huidige perceelindeling zijn oorsprong in de middeleeuwen en opnieuw zijn we geconfronteerd met een continuïteit in de indeling van het landschap.

Een gelijkaardig scenario is onderzocht in Ronse – De Stadstuin.²⁵⁸ De opgraving bracht een ovale woonareaal aan het licht dat drie gebouwen herbergt, afgebakend door een gracht. Twee gebouwplattegronden zijn regelmatig drieschepig, de derde plattegrond is onregelmatig tweeschepig. Met een datering in de 9de t.e.m. het de eerste helft van de 11de eeuw is deze woonzone te situeren in de late vroege middeleeuwen en de eerste helft van de volle middeleeuwen. De afbakenende gracht verschafte op vier locaties toegang tot de *enclosure* door middel van een opening. Toegangswegen tot de *enclosure* zijn op het terrein niet vastgesteld. Het opgravingsterrein is tevens doorkruist door een aantal lineaire 'tracés' die voornamelijk in de late- en postmiddeleeuwen dateren. Al deze tracés zijn op basis van hun oriëntatie, opvulling, uitzicht en vondsten met elkaar in verband te brengen. In zijn totaliteit vertegenwoordigen ze een uitgebreide percelering. Hoewel volmiddeleeuwse toegangswegen tot de *enclosure* niet zijn opgetekend, moeten ze zonder twijfel aanwezig zijn geweest. Twee van de laat- tot postmiddeleeuwse tracés bevinden zich namelijk t.h.v. de volmiddeleeuwse nederzetting en meer bepaald t.h.v. de openingen in de *enclosure* gracht. Bovendien zijn beide tracés bestendig in het huidige landschap in de vorm van veldwegels, in gebruik tot in 2010. Het is meer dan aannemelijk dat deze twee veldwegels terug te brengen zijn tot de laat- en postmiddeleeuwse tracés en dat deze op hun beurt teruggaan op de oorspronkelijke, niet meer bewaarde toegangswegen van de volmiddeleeuwse nederzetting. We vermoeden bijgevolg dat vanuit de *enclosure* het volledige terrein 'de Stadstuin' (en mogelijk nog verder?) is ingericht. Dit betekent dat de inwoners van de *enclosure*, bewust of onbewust, reeds in de periode op de overgang van de late vroege- naar de vroege volle middeleeuwen, het gebied rondom de nederzetting hebben vorm gegeven en dat men aldus de contouren van een landschap, tot op heden herkenbaar, heeft uitgetekend.

257 De Graeve et al., onuitgegeven rapport Ronse – Pont West, mondelinge mededeling.
258 Pede et al., 2013, 248-254.

De opgraving Kruishoutem – Containerpark²⁵⁹ is in deze context eveneens belangrijk. Hier is op een relatief klein areaal een *dense* bewoningsgeschiedenis geregistreerd. Een eerste drieschepige gebouwplattegrond bevindt zich buiten de grenzen van een geheel van grachten dat een *enclosure* vormt. Het is beschouwd als een bijgebouw van de tweede drieschepige gebouwplattegrond die binnen de *enclosure* ligt en als hoofdgebouw is geïnterpreteerd. Het eerstgenoemde gebouw is gedateerd in de 10de en eerste helft van de 11de eeuw, terwijl voor het tweede gebouw, met een datering in de 11de eeuw, de 10de eeuw uitgesloten is. Een gelijkaardige datering, inclusief de 12de eeuw, geldt voor het omliggende grachtensysteem dat twee fases kent. In de loop van de 12de en 13de eeuw is de volmiddeleeuwse erfgracht vervangen door een rechthoekig grachtensysteem. De ligging en de oriëntatie van dit nieuwe systeem is duidelijke geënt op de oudere *enclosgracht*. De symmetrie en de axialiteit die aldus in de late middeleeuwen is ingevoerd, zet zich vervolgens verder in de postmiddeleeuwen (1600-1940). Een nieuw grachtensysteem is opgetekend, dat bovendien perfect overeenkomt met de huidige perceelgrenzen. Opnieuw zijn we geconfronteerd met een landschapsindeling die zijn oorsprong heeft in de volle middeleeuwen en een continuïteit kent tot op vandaag.

7.4.5. Besluit

De vroegste bewoning in zone II gaat terug tot de volle middeleeuwen. Het gaat hierbij om een afgebakend erf op de westelijke helft van het terrein: een groter gebouw met vermoedelijke woonfunctie, een kleiner (bij)gebouw met mogelijke opslagfunctie, een waterput, een waterkuil en enkele losse kuilen, afgebakend door twee greppels met een noordwest-zuidoostelijk oriëntatie. 14C-dateringen resulteren in gelijklopende dateringen voor het gebouw en de waterkuil: 890-1020 en 890-1030. Vondstmateriaal plaatst het bijgebouw en de nabijgelegen kuilen eveneens in de deze periode: 10de en eerste helft 11de eeuw. Het dendrochronologisch onderzoek situeert de waterput evenwel iets recenter in 1067/1068. Voor deze periode zijn geen cartografische overeenkomsten met de archeologische situatie vast te stellen. Desalniettemin gaan we ervan uit dat de occupatie in deze periode de voorloper is van de bewoning in de late- en postmiddeleeuwen.

Op de overgang van de volle- naar de late middeleeuwen zijn slechts twee structuren met zekerheid in deze periode te plaatsten: een gebouw en een weg. Hun aanwezigheid getuigt van continuïteit van bewoning binnen zone II, en mogelijk reeds buiten de grenzen van zone II. Hoewel de grote hoeveelheid sporen en de twee kleine bouwstructuren centraal in het vlak niet zijn gedateerd, vermoeden we dat ze tot deze periode behoren; en dit omwille van hun ligging, oriëntatie en uitzicht in coupe.

In de late middeleeuwen zien we hoe de algemene densiteit van de sporen toeneemt, en hoe het zwaartepunt van de menselijke activiteit verschuift naar het oosten van het terrein. We treffen twee poelen, een waterkuil, twee waterputten, een spieker, kuilen en paalsporen en een uitgebreid gracht- en greppelsysteem aan. Wat de grachten en greppels betreft, valt op dat ze evolueren naar een noord-oost en zuid-west oriëntatie. In het noorden van het vlak vormen de grachten een hoek van 90°. Waarschijnlijk registreerden we hier de hoek van een erfafbakening, mogelijk zelfs de laatmiddeleeuwse voorloper van het postmiddeleeuwse erf, zoals geïllustreerd op de kaart van Ferraris. In vergelijking met de volmiddeleeuwse periode ontbreekt in de laatmiddeleeuwse periode binnen zone II de erfopbouw van een woongebouw met bijhorende waterput. De afwezigheid van een gebouwplattegrond is in onze opinie te wijten, hetzij aan een gewijzigde bouwtraditie, hetzij aan een verplaatsing van de bewoning buiten de grenzen van het opgravingsvlak. In deze laatste veronderstelling zijn de opgesomde sporen allen te interpreteren als de *off-site* fenomenen van deze bewoning.

In de overgang naar de postmiddeleeuwen treffen we in zone II enkel nog grachten en greppels aan. Deze behouden de oost-west, noord-zuid oriëntatie, zoals uitgezet in de late middeleeuwen. De afwezigheid van andere bewoningssporen is in onze opinie te wijten aan het ophouden van bewoning ter hoogte van zone II, en aan de ontwikkeling van de woonkern ten noordoosten en ten oosten van zone II. Het gracht- en greppelsysteem bestendigt immers de laatmiddeleeuwse afbakening van een erf in het noorden van het terrein. We veronderstellen dat we hier de rand van de bewoningskern ten noordoosten van zone II, zoals te zien op de kaart van Ferraris, aansnijden. Dit betekent dat deze reeds vanaf de late middeleeuwen in ontwikkeling is en zich in de postmiddeleeuwen verder zet en daar concentreert. Getuigen hiervan zijn de postmiddeleeuwse Atlas der Buurtwegen en de Poppkaart.

De bewoningsgeschiedenis en de evolutie in de indeling van het landschap op de site Lede - Kleine Kouterrede is uniek in zijn omgeving. Hoewel we geen parallellen vinden in de directe omgeving, kaderen de resultaten van de opgraving in Lede – Kleine Kouterrede in een ruimere evolutie, die reeds is vastgesteld op meerdere sites binnen het werkingsgebied van SOLVA. Samen met de sites Erembodegem - Zuid IV, Ronse – De Stadstuin, Ronse – Pont West, Kruishoutem-Containerpark, verschaft de site Lede – Kleine Kouterrede ons inzicht in

het ontstaan – en de evolutie van landschapsindeling. Voor deze sites zien we dat de huidige kadastrale indeling telkens zijn oorsprong heeft in de late vroege- of volmiddeleeuwse situatie. In deze periodes is klaarblijkelijk de kiem gelegd voor een indeling van het landschap, gekenmerkt door symmetrie en axialiteit. Het feit dat de nederzettingen in de late vroege- en volmiddeleeuwse periode onder meer gekenmerkt zijn door *enclosures* met een circulaire lay-out, is geen discrepantie in deze ontwikkeling. De recentere recht-op-recht landschapsindelingen sluiten zelfs letterlijk aan op de *enclosures* en baseren hun oriëntatie op die van de *enclosgracht*. De gracht- en greppelsystemen die zich in de volle- of late middeleeuwen enten op de *enclosures*, worden vervolgens met eenzelfde oriëntatie verder gezet in de late- en postmiddeleeuwen. Hoewel de resultaten van archeologisch onderzoek in Lede – Kleine Kouterrede passen in dit groter geheel, merken we ook enkele verschillen.

In vergelijking met de vermelde sites, merken we op dat in Lede – Kleine Kouterrede voor de volmiddeleeuwse periode geen *enclosure*, noch drieschepige gebouwplattegronden zijn opgegraven. De bewoning maakt een gelijkaardige evolutie door, maar is in oorsprong anders. In dat opzicht is het minder evident in te schatten waar de intrede van het noord-zuid, oost-west georiënteerd greppel- en grachtensysteem vandaan komt. Voor de opgesomde sites is het duidelijk dat de recht-op-recht greppel- en grachtensystemen zich oriënteren op de *enclosures*. In Lede – Kleine Kouterrede is de vroegste lineaire structuur het wegtracé II-A-47-OP-2. Deze weg leidt vermoedelijk reeds in de late 12de-13de eeuw reeds naar een nederzetting of bewoning ten noordoosten van zone II. Mogelijk vormt deze structuur de basis waarop de greppels en grachten van fase 3, en later fase 4 en 5, zich enten. Evenwel is het ook mogelijk dat de grachten en greppels zich oriënteren op bewoning die zich buiten de grenzen van het opgravingsvlak bevindt en waarop we geen zicht hebben.

Het aftoetsen van de archeologische bevindingen in Lede – Kleine Kouterrede aan de historische bronnen, toont aan dat zone II als het ware een groot kijkvenster is op een nederzetting die verder strekt dan de grenzen van het opgravingsvlak. Het historisch kaartmateriaal heeft namelijk aangetoond dat zone II gelegen is net ten zuidwesten van een kleine nederzetting. Een geheel van hoeves met regelmatige rechthoekige tot vierkante erven, zijn omzoomd door rechte bomenrijen en van elkaar gescheiden door een weg. Deze kleine nederzetting, voor het eerst opgetekend in de tweede helft van de 18de eeuw op de kaart van Ferraris, zouden we kunnen interpreteren als de postmiddeleeuwse ‘verstening’ van een middeleeuwse ‘houten’ situatie. De 19de-eeuwse historische kaarten (Popp en de Atlas der Buurtwegen) geven wederom vorm aan deze nederzetting. Deze keer zien we een doorgedreven percelering, met assen die de noord-oost en zuid-west oriëntatie van de grachten en greppels op het terrein (fase 3, 4 en 5) weerspiegelen. Als dusdanig kunnen we stellen dat de grondslag voor de indeling van het landschap, tot op heden bestendigd in de huidige percelering, reeds gelegd is op het einde van de volle middeleeuwen.

In het verhaal van Lede – Kleine Kouterrede merken we op dat de cartografische bronnen een belangrijke bron van informatie zijn geweest in het interpreteren van de archeologische vaststellingen. Voor de vroegste situaties vastgesteld op het terrein, valt het beeld dat de historische kaarten ons verschaffen over de landschapsindeling, zelden perfect samen met de archeologische realiteit. Wanneer echter een meer geïjkt systeem zijn intrede doet, veelal gebaseerd op deze vroegste situaties, zijn veel parallellen tussen de archeologische, de historische en de huidige realiteit vast te stellen. Ondanks de postmiddeleeuwse oorsprong van de historische kaarten, verschaffen ze ons toch inzicht in oudere situaties en hoe deze te interpreteren. Veelal zijn ze een bewijs van de oorsprong en de continuïteit van bepaalde landschapsindelingen. Met betrekking tot Lede – Kleine Kouterrede, en bij uitbreiding de vermelde sites in het werkingsgebied van SOLVA, laten de kaarten alvast geen twijfel over het feit dat de indeling van het landschap zijn oorsprong heeft in de middeleeuwen, en dat

deze verder tot ontwikkeling komt in de loop van de geschiedenis, tot op heden bestendig in de kadastrale grenzen.

Ondanks alle archeologische informatie en de parallellen met de historische kaarten, is de bewoningsgeschiedenis van zone II moeilijk te schetsen. Niet alleen omwille van de beperkte omvang van het vlak, versus de densiteit van sporen, maar ook omwille van de beperkte informatie m.b.t. de dateringen. Op basis van de dateringen is de bewoning in zone II op het eerste zicht gekenmerkt door continuïteit. Aangevat in de volle middeleeuwen, zet de bewoning zich verder in de late middeleeuwen en de vroege postmiddeleeuwen. Hoewel voor sommige structuren voldoende diagnostisch aardewerk voorhanden is en/of 14C-dateringen zijn uitgevoerd, is in onze opinie een groter aantal 14C-dateringen een meerwaarde. Naast het dateren van structuren waarvoor weinig of geen aardewerk voorhanden is, zouden meer dateringsresultaten ons toelaten de datering van structuren, waarvoor veel diagnostisch aardewerk aanwezig is, te verifiëren. Bovendien zouden meer dateringen het niet alleen mogelijk maken de chronologie en de fasering van de bewoning te verfijnen, het zou ons ook beter in staat stellen te bepalen welke structuren hand in hand gaan. Beide zaken zijn voor de interpretatie van de opgravingsresultaten van Lede – Kleine Kouterrede en de kenniswinst die deze opgraving kan genereren, cruciaal.

08 | ASSESSMENT EN BASISANALYSE VAN DE VONDSTEN EN STALEN





W. BERT
ZONE 1
OFF. 10
SPRINK. 75
ROOF. 15



8. ASSESSMENT EN BASISANALYSE VAN DE VONDSTEN EN STALEN

De basisanalyse van alle vondsten en stalen is te vinden in de vondstenlijst. Een assessment van de vondsten en stalen is eveneens te vinden in bijlage in een lijst met potentieel en uitgevoerd onderzoek. Deze lijsten zijn geordend op het inventarisnummer van de respectievelijke vondsten en stalen.

09 | SYNTHÈSE





12 LED KK 2019/122
ZONE II
GPI B
SP008 69 70 71
COUPE AB

9. SYNTHESE

De aanleiding van het project is de woonverkaveling door de gemeente Lede in een plangebied ten zuidwesten van het Domein Mesen. Het projectgebied van ca. 3 ha is ingesloten door Burgtrede in het noorden, Kleine Kouterrede in het westen, Kluisberg, Poortseweg en Hollestraat in het zuiden en de treinspoorweg in het oosten. Een evaluatie van de archeologische waarde van de terreinen, op een boogscheut van het centrum van Lede, drong zich op. Het Agentschap R-O Vlaanderen (heden Agentschap Onroerend Erfgoed) adviseerde een vooronderzoek met proefsleuven, uitgevoerd door All-Archeo in oktober 2012. Hierbij kwamen verscheidene goed bewaarde archeologische sporen uit de Romeinse en middeleeuwse periode aan het licht. Op basis van deze bevindingen adviseerde het Agentschap R-O Vlaanderen en de Dienst Monumentenzorg en Cultuurpatrimonium van de Provincie Oost-Vlaanderen een vlakdekkende opgraving in twee zones (samen ca. 1,7 ha groot). Het archeologisch onderzoek is vervolgens uitgevoerd door SOLVA in de loop van 2013.

Niet alleen het archeologisch vooronderzoek op Lede – Kleine Kouterrede, maar andere, oudere archeologisch onderzoeken gaven reeds indicatie van het archeologisch potentieel van de gemeente Lede. Bewoningssporen uit de vroege ijzertijd, de Romeinse periode en de volle, late en postmiddeleeuwen zijn reeds aangetroffen, alsook funeraire sporen uit de Romeinse en de Merovingische periode.

Daar waar de historische bronnen ons weinig kunnen vertellen specifiek over de geschiedenis van het onderzoeksgebied, bieden de historisch kaarten beduidend meer informatie en inzichten. De postmiddeleeuwse kaarten getuigen van bewoning nabij de onderzochte terreinen en van de evolutie van deze bewoning.

De resultaten van het archeologisch onderzoek geven aan dat op de site Lede – Kleine Kouterrede sporen uit verschillende periodes aanwezig zijn. De spreiding en de datering van de sporen wijzen op een duidelijk verschil tussen de twee onderzochte zones. Daar waar Zone I gekenmerkt is door een lage densiteit en oudere sporen, toont Zone II een hoge densiteit aan recentere sporen.

De oudste vondsten en sporen situeren zich zoals gesteld in Zone I. Het betreft vuurstenen artefacten afkomstig uit de vulling van sporen, gedateerd in de metaaltijden en de Romeinse periode. Het lithisch materiaal is met andere woorden verspit of vergraven. De vondsten zelf zijn te dateren in het neolithicum, of meer specifiek in het midden-neolithicum. Eén archeologisch spoor, dat geïnterpreteerd is als een silo, is aan de hand van een ¹⁴C-datering in het finaal-neolithicum te plaatsen.

De metaaltijden zijn, met uitzondering van één greppel in Zone II, geconcentreerd in Zone I. Het betreft moeilijk leesbare bewoningssporen, wijd verspreid over het terrein: twee gebouwen, zes palenclusters, drie vierpalige spiekers, kuilen, paalsporen en een greppel. Zeven kuilen leverden opvallend meer aardewerk op, dat bovendien opvallend gevarieerd, vaak versierd en van hoge kwaliteit bleek te zijn. In aanvulling op de dateringen door het aardewerk, zijn ¹⁴C-analyses uitgevoerd. Aan de hand hiervan is een aantal sporen en structuren meer concreet gedateerd in de midden bronsstijd A, midden bronsstijd B, late bronsstijd, vroege of late ijzertijd. Hoewel het gaat om nederzettingssporen, vertonen de sporen geen duidelijke organisatie. Mede door de door de spreiding in tijd, alsook door de afwezigheid van grachten en greppels, kunnen we geen gewag maken van duidelijk afgebakende erven. Desalniettemin sluiten de sporen aan bij een ruimere aanwezigheid van bewoning in de metaaltijden in de directe omgeving. Voor deze periode leverde het archeologisch onderzoek vooral een waardevolle bijdrage aan de gebouwtypologie uit de bronstijd en aan de kennis van het aardewerk uit de ijzertijd. In een ruimere context is het belang van het onderzoek vooral te waarderen door de bijdrage aan de kennis van de metaaltijden in de regio van Zuid-Oost-Vlaanderen.

De Romeinse periode in Kleine Kouterrede is voornamelijk vertegenwoordigd door 18 crematiegraven, zgn. brandrestengraven. Ze liggen verspreid, individueel of geclusterd per twee of drie in het opgravingsvlak en vertonen een variërende oriëntatie. Met uitzondering van enkele greppels en een paalspoor zijn geen andere nederzettingssporen aanwezig. De meerderheid van de sporen bevindt zich in zone I. In zone II is slechts één crematiegraf vastgesteld, grotendeels vergraven. Voor zover sporen uit de Romeinse periode in zone II aanwezig waren, is de kans dus zeer groot dat ze vergraven zijn door de middeleeuwse bewoning. De funeraire sporen in Zone I zijn op basis van het aardewerk algemeen gedateerd in de Romeinse periode, of meer specifiek in de 2de en 3de eeuw n. Chr. en tussen 150 en 250 n. Chr. Meerdere begravingen springen in het oog door het uitzonderlijke aardewerk dat ze opleveren. Hoewel het aardewerk grotendeels afkomstig is uit de houtskoollens van het graf en verbrand is, zijn ook meerdere onverbrande individuen aangetroffen. Boven is het aandeel gedraaid aardewerk groot en kunnen per graf tot wel acht individuen geteld worden.

In relatie tot de resultaten van de opgraving in het vlakbij gelegen Lede - Domein Mesen zijn er zowel overeenkomsten als verschillen. Zo sluiten de begravingen in Kleine Kouterrede chronologisch niet aan bij de crematies in Domein Mesen, maar wel bij de hier vastgestelde nederzettingssporen. Zijn de brandrestengraven in Kleine Kouterrede een latere uitbreiding van het grafveld van Domein Mesen²⁶⁰, of sluiten ze aan bij de Romeinse nederzettingssporen in Domein Mesen, of elders in de nabije omgeving?

De ruimtelijke verspreiding van de crematies in Kleine Kouterrede, geïsoleerd of in kleine clusters, sluit bovendien aan bij wat gekend is uit het onderzoek naar Romeinse brandrestengraven de Vlaamse zandstreek. Recente opgravingen in de (zand)leemstreek van Zuid-Oost-Vlaanderen wijzen meer en meer op een soortgelijke situatie.

De meerderheid van de vastgestelde sporen in Kleine Kouterrede is te dateren in de middeleeuwen, duidelijk geconcentreerd in Zone II.

De vroegste bewoning gaat terug tot de volle middeleeuwen, meer bepaald een erf in het westen van het vlak: een groter eenschepig gebouw met vermoedelijke woonfunctie, een kleiner tweeschepig (bij) gebouw met mogelijke opslagfunctie, een waterput, een waterkuil en enkele losse kuilen. Het geheel van sporen is afgebakend door twee greppels met een noordwest-zuidoostelijk oriëntatie. 14C-dateringen, dendrochronologisch onderzoek en aardewerk plaatst deze sporen in de 10de en eerste helft van de 11de eeuw, tot het derde kwart van de 11de eeuw. Voor deze periode is geen overeenkomst tussen de archeologische situatie en de cartografische bronnen. Desalniettemin gaan we ervan uit dat de occupatie in deze periode de voorloper is van de bewoning in de late- en postmiddeleeuwen.

Voor de periode van de overgang van de volle- naar de late middeleeuwen stellen we in het westen van het terrein een tweeschepig gebouw en een weg vast. Hun aanwezigheid getuigt van continuïteit van bewoning binnen zone II, en mogelijk reeds buiten de grenzen van zone II. Een reeks kuilen en twee kleine gebouwstructuren centraal in het vlak zijn niet zijn gedateerd, maar rekenen we tot deze periode, omwille van hun ligging, oriëntatie en uitzicht in coupe.

In de late middeleeuwen neemt de densiteit van de sporen beduidend toe en bevindt het zwaartepunt van de activiteit zich in de oostelijke helft van het terrein. Het gaat om twee poelen, een waterkuil, twee waterputten, een spieker, kuilen en paalsporen en een uitgebreid gracht- en greppelsysteem aan. Voor deze periode valt op dat gebouwen ontbreken. De afwezigheid van een gebouwplattegrond is mogelijk te verklaren, hetzij door een gewijzigde bouwtraditie, hetzij door een verplaatsing van de kern van de bewoning buiten de grenzen van het opgravingsvlak. We merken ook op dat de oriëntatie van de grachten en greppels veranderd is naar een noord-oost en zuid-west oriëntatie.

Tenslotte treffen we in Zone II, op de overgang van de late naar de postmiddeleeuwen, enkel nog grachten en greppels aan. Deze behouden de oost-west, noord-zuid oriëntatie, zoals uitgezet in de late middeleeuwen. Het feit dat bewoningssporen afwezig zijn, is mogelijk te verklaren door de ontwikkeling

van een woonkern ten noordoosten en ten oosten van zone II.

De bewoningsgeschiedenis en de evolutie in de indeling van het landschap op de site Lede - Kleine Kouterrede is uniek in zijn omgeving. Hoewel we geen parallellen vinden in de directe omgeving, kaderen de resultaten van de opgraving in Lede – Kleine Kouterrede in een ruimere evolutie, die reeds is vastgesteld op meerdere sites binnen het werkingsgebied van SOLVA. De resultaten van het archeologisch onderzoek op de site Lede – Kleine Kouterrede verschaffen inzicht in het ontstaan en de evolutie van landschapsindeling. Voor deze en andere sites zien we dat de huidige kadastrale indeling telkens zijn oorsprong heeft in de late vroege of volmiddeleeuwse situatie. In deze periodes is klaarblijkelijk de kiem gelegd voor een indeling van het landschap, gekenmerkt door symmetrie en axialiteit.

Het aftoetsen van de archeologische bevindingen in Lede – Kleine Kouterrede aan de historische bronnen, toont aan dat zone II als het ware een groot kijkvenster is op een nederzetting die verder strekt dan de grenzen van het opgravingsvlak. In dit opzicht zijn de historische kaarten een belangrijke bron van informatie geweest in het interpreteren van de archeologische vaststellingen. Deze kaarten laten geen twijfel over het feit dat de indeling van het landschap zijn oorsprong heeft in de middeleeuwen, en dat deze verder tot ontwikkeling komt in de loop van de geschiedenis, tot op heden bestendigd in de kadastrale grenzen.

10 | BIBLIOGRAFIE



10. BIBLIOGRAFIE

10.1. GESCHREVEN BRONNEN

ANNAERT R., 2006. Een woonerf uit de midden-bronstijd te Weelde, ontdekt tijdens de ruilverkavelingswerken Poppel (gem. Ravels, prov. Antwerpen). *Relicta, Archeologie, Monumenten-en Landschapsonderzoek in Vlaanderen* 1, 49-80.

ANNAERT R., 2007. Enkele nieuwe ijzertijdsites in het Antwerpse, *LUNULA XV*, 107-112.

ARNOLDUSSEN S., 2008. *A living Landscape: Bronze Age settlements sites in the Dutch river area (2000-800 BC)*, Leiden (PhD Thesis).

ARNOLDUSSEN S. & FOKKENS H., 2008. Bronze Age settlements in the Low Countries: an overview. In Arnoldussen S. & Fokkens H. *Bronze Age Settlements in the Low Countries*, Oxford.

ARNOLDUSSEN S. & THEUNISSEN E.M., 2014. Huisplattegronden uit de Late Prehistorie in het rivierengebied. In Lange G., Theunissen L., Deeben J., Bouwmeester J. & De Groot T. (eds.), *Huisplattegronden in Nederland: Archeologische sporen van het huis*. Rijksdienst voor het Cultureel Erfgoed, 116-142.

BOURGEOIS J., DELAET S. J. & THOEN H., 1983. Opgravingen en vondsten te Kruishoute-Wijkhuis: sporen van de Bandkeramische cultuur en nederzettingssporen uit de ijzertijd, *Handelingen van de Maatschappij voor Geschiedenis en Oudheidkunde te Gent, Nieuwe reeks, deel XXXVII*.

BOURGEOIS J. & BAUTERS L., 1993. De nederzetting uit de metaaltijden van Sint-Denijs-Westrem. Resultaten van de noodopgravingen 1984 en 1986, *Archeologisch Jaarboek Gent 1992*, 131-162.

BOURGEOIS J., 1993. De nederzetting uit de vroege ijzertijd van Sint-Gilles-Waas « Reepstraat » (O.-VI.) : 1991-1992, *LUNULA I*, 59-61.

BOURGEOIS J., MEGANCK M., VAN ROEYEN J.-P. & VERLAECKT K., 1996. Noodopgravingen 1995 te Sint-Gillis-Waas « Reepstraat » (O.-VI.) : nederzettingssporen uit de late bronstijd, de vroege ijzertijd en de Romeinse periode, *LUNULA IV*, 29-32.

BOURGEOIS I., DE SWAEF W. & BOURGEOIS J., 1998. Bewoningssporen uit de vroege La Tène- en de Gallo-Romeinse periode aan de Jeruzalemstraat te Mere (Erpe-Mere), *VOBOV* 48, 2-14.

BUCHSENSCHUTZ O., 2005. Lecture et interprétation des traces archéologiques (Nancy). *Architecture protohistoriques en Europe occidentale du Néolithique final à l'âge du Fer* 127, 59.

CLEMENT C., PEDE R. & CHERRETTÉ B., 2013. Lede Domein Mesen. Archeologisch onderzoek, *SOLVA-Archeologierapport* 11.

CROMBÉ PH., DE CLERCQ W., MEGANCK M., & BOURGEOIS I., 2005. Een meerperiodensiste bij de vallei van de Ede te Maldegem-Burkel (gem. Maldegem). Menselijke aanwezigheid uit de Steentijd, een nederzetting en grafheuvel uit de Bronstijd en een nederzetting uit de Romeinse tijd. In In 't Ven I. & De Clercq W. (eds.), *Een lijn door het landschap. Archeologie en het VTN-project 1997-1998*. Deel II, Archeologie in Vlaanderen, Monografie, 5. Brussel, VIOE, 93-117.

DAVID A., LORIN Y., COSTEUX CH., CRÉTEUR Y., HENTON A., MANIEZ J., PINARD E. & TRAWKA H., 2016. Les occupations de l'âge du Bronze et du début de l'âge du Fer à Aire-sur-la-Lys (Pas-de-Calais-France) : interactions entre funéraire et habitat. *LUNULA. Archaeologia protohistorica*, XXIV, 101-115

DE BROUWER J., 1983. *Geschiedenis van Lede*, Lede.

DE CLERCQ W., VAN RECHEM H. & VAN STRYDONCK M., 2005. Activiteiten in een landschap uit de 4de-3de eeuw v. Chr. te Denderbelle, plaats Fonteintje (gem. Lebbeke), In In 't Ven I. & De Clercq W., *Een lijn door het landschap – Archeologie en het VTN-project 1997-1998, Deel II*.

DE CLERCQ W., 2017. De houten boerderijbouw in het noordelijke deel van het graafschap Vlaanderen. Een cultureel-biografische verkenning in bouwtradities (ca. 500-1500 n. Chr.), in De Grootte K. & Eryvynck A. (red.), *Gentse geschiedenissen ofte, nieuwse historiën uit de oudheid der stad en illustere plaatsen omtrent Gent*, 45-66.

DE GRAEVE A., DU RANG E., VAN HECKE C., VERBRUGGE A. EN CHERRETTÉ B., 2014, Een kringgreppel en dassenburchten te Ronse Pont-West (prov. O.-VI., België), *Lunula Archaeologia protohistorica* 22, 37-40.

DE GRAEVE A., VERBRUGGE A. & CHERRETTÉ B., 2015. Aalst Rozendreef. Archeologisch vooronderzoek, *SOLVA-Archeologierapport* 48.

DE GRAEVE A., POULAIN M. & CHERRETTÉ B., 2017. Lede Hoogstraat. Bouw van politiehuis. Nota – 2017B49, *SOLVA-Archeologierapport* 106.

DE GRAEVE A. CHERRETTÉ B., PEDE R. & VERBRUGGE A., 2018. Gebouwplattegronden uit de midden-bronstijd uit het zuiden van Oost-Vlaanderen (België), *LUNULA. Archaeologia protohistorica*, XXVI, 53-63.

DE GROOTE K., 2014. Middeleeuws aardewerk in Vlaanderen, *Relicta Monografieën*, deel I & II.

DE LAET S. J., THOEN H. & BOURGEOIS J., 1986. Les fouilles du séminaire d'archéologie de la Rijksuniversiteit te Gent à Destelbergen-Eenbeekeinde (1960-1984) et l'histoire la plus ancienne de la région de Gent (Gand). I. La période préhistorique, *Dissertationes archaeologicae gandenses XXIII*.

DE MAEYER W., VAN CAUWENBERGH S., DALLE S., VANDENDRIESSCHE H, VERBRUGGE A. & CHERRETTÉ B., 2015. Ninove Kapittelstraat, Archeologisch onderzoek, *SOLVA Archeologie rapport* 45.

DE MAEYER W., VAN CAUWENBERGH S., VANDENDRIESSCHE H. & CHERRETTÉ B., 2015. Aalst Siesegemkouter 1, Archeologisch vooronderzoek, *SOLVA-Archeologierapport* 47.

DE MAEYER W., Taelman E. & CHERRETTÉ B., 2018. Wortegem Diepestraat. Archeologisch onderzoek, *SOLVA-Archeologierapport* 129.

DE POTTER F. & BROECKAERT J., 1897. *Geschiedenis der Gemeente Lede, Ken uw dorp, Jaarboek van de heemkundige kring Heemschut-Lede*, 23, 7-100 (overdruk 1996).

DE RAYMAEKER A. & SMEETS M., 2016. Bewoningssporen uit de late bronstijd-ijzertijd te Retieveldenstraat (prov. Antwerpen, België). *LUNULA. Archaeologia protohistorica*, XXIV: 95-96

- DERU X., 1996. *La céramique belge dans le nord de la Gaule. Caractérisation, chronologie, phénomènes culturels et économiques*, Louvain-la-Neuve.
- DRAGENDORFF H., 1895. Terra sigillata. Ein beitrage zur Geschichte der griechischen und römischen Keramik, *Bonner Jahrbücher* 96, 18-155.
- DE SWAEF W., 1984. Restanten van een waterput opgegraven te Lede, *Ken uw dorp, Jaarboek van de heemkundige kring Heemschut-Lede*, 12: 23-24.
- DE SWAEF W. & BOURGEOIS J., 1986. Un habitat du La Tène la à Lede, *Scholae Archaeologicae* 3.
- DE SWAEF W., VAN LANGENHOVEN B., 1999. *Lede ondersteboven, een kijk op het verleden*, Lede.
- DE SWAEF W., VAN LANGENHOVEN B. & DE GRAUWE A., 1999. Archeologische fietstocht doorheen Lede, *Open Monumentendag Vlaanderen 12/09/1999*, 3-11.
- FAIDER-FEYTMANS G., 1965. *La nécropole gallo-romaine de Thuin*, Mariemont.
- FAY O., 2005. Un habitat de l'Age du Bronze Moyen à Hettange-Grande (Mosselle) (Nancy). *Architecture protohistoriques en Europe occidentale du Néolithique final à l'âge du Fer* 127, 157.
- GUILLAUME A., 2003. Les pratiques funéraires dans les nécropoles à tombelles hallstattiennes en Wallonie, *Anthropologica et Praehistoria* 114, 113-137.
- HANUT F. & THOEN H., 2001. La céramique de tradition indigène dans le faciès ménapien du Haut-Empire, SFECAG, Actes du Congrès de Lille-Bavay 2001, 11-28.
- HENTON A., 2013. La céramique du Bronze final dans le haut bassin de l'Escaut et ses marges côtières. Première approche typo-chronologique et culturelle, in Leclercq W. & Warmenbol E., *Échanges de bons procédés. La céramique du Bronze final dans le nord-ouest de l'Europe*, Études d'archéologie 6, 145-168.
- HOORNE J., SCHYNKEL E., DE SMAELE B. & BARTHOLOMIEUX B., 2008 (onuitgegeven). Sint-Denijs-Westrem - Flanders Expo Zone 3 / IKEA : Archeologisch onderzoek van 2 januari tot 15 februari 2008 (stad Gent, provincie Oost-Vlaanderen), Gent.
- HOORNE J., BARTHOLOMIEUX B. & DE DONCKER G., 2009. Enkele erven en een bijzondere kuilenzone uit de ijzertijd op Flanders Expo - Zone 1 (Sint-Denijs-Westrem, Gent, provincie Oost-Vlaanderen, België). *LULULA. Archaeologia Protohistorica* XVII: 73-80.
- HOORNE J. & MESSIAEN L., 2010. Nederzettingssporen en grachtencomplex uit de Metaaltijden te Flanders Expo (Sint-Denijs-Westrem, stad Gent, provincie Oost-Vlaanderen). *LUNULA. Archaeologia protohistorica* XVIII, 31-36.
- HUIJBERS A., 2014. Huisplattegronden van agrarische nederzettingen uit de volle middeleeuwen in het Maas-Demer-Scheldegebied, In: A.G. Lange, E.M. Theunissen, J.H.C. Deeben, J. van Doesburg, J. Bouwmeester en T. de Groot, 2014 (red.): *Huisplattegronden in Nederland. Archeologische sporen van het huis. Amersfoort/Eelde*, 367-419

- IN 'T VEN I. & DE CLERCQ W., 2005. *Een lijn door het landschap. Archeologie en het vTn-project 1997-1998*. Archeologie in Vlaanderen. Monografie 5, Brussel, VIOE.
- LAUWERS B., & DE REU J., 2011. Een midden-bronstijdbewoning te Sint-Gillis-Waas – Kluizenmolen (prov. Oost-Vlaanderen, België). *LUNULA. Archaeologia protohistorica XIX*, 27-33.
- LEPAUMIER, H. et al., 2005. L'Architecture des habitats protohistoriques de Normandie: quelques exemples de la fin du III^e millénaire au début du second âge du Fer (Nancy). *Architecture protohistoriques en Europe occidentale du Néolithique final à l'âge du Fer* 127, 246.
- LORIDANT F. & DERU X., 2009. *Bavay: la nécropole gallo-romaine de "La Fache des Près Aulnoys"*, Revue du Nord, hors série. Collection Art et Archéologie 13, Lille.
- MARIËN M.-E., 1958. Trouvailles du Champs d'Urnes et des tombelles hallstattiennes de Court-Saint-Etienne, *Monographies d'Archéologie Nationale* 1, Brussel.
- MORTIER S., BASTIAENS J., DE GROOTE K., GELORINI V. & VAN PETEGHEM A., 2003. Een archeologische kijk op Zele in de Middeleeuwen. *VOBOV-info* 57, 36-45.
- PEDE R., CLEMENT C., DE CLEER S., GUILLAUME V. & CHERRETTÉ B., 2015. Ronse – De Stadstuin. Archeologisch onderzoek. *SOLVA-Archeologierapport* 20.
- RIHA E., 1979. Die römischen Fibeln aus Augst und Kaiseraugst. Mit einem Beitrag von Rudolf Fichter und Chrysta Hochhaus. *Forschungen in Augst* 3. Augst 1979.
- SCHYNKEL E. & URMEL L., 2008. Archeologisch onderzoek Evergem – Molenhoek. 1 oktober tot 23 september 2008, *KLAD-rapport* 11, Aalter.
- STUART P., 1963. *Gewoon aardewerk uit de Romeinse legerplaats en de bijhorende grafvelden te Nijmegen*, Oudheidkundige Mededelingen XLIII, Leiden.
- THEUNISSEN L., 2009. *Midden-bronstijdsamenlevingen in het zuiden van de Lage Landen. Een evaluatie van het begrip 'Hilversum-cultuur'*. Sidestone Press, Leiden.
- VAN DE VIJVER M., WUYTS F., CHERRETTÉ B., DE GROOTE K. & MOENS J., 2008. Vroege en volmiddeleeuwse bewoning te Erembodegem "Zuid IV" (O.-VI.), *Archaeologia Mediaevalis* 31, 113-115.
- VAN DOORSELAER A., 1967. Les nécropoles d'époque romaine en Gaule septentrionale, Brugge.
- VAN DOORSELAER A., PUTMAN R., VAN DER GUCHT K. & JANSSENS F., 1987. De Kimmelberg een Keltische bergvestiging, *Westvlaamse Archaeologica Monografieën III*.
- VANHOLME N., TAELEMAN E. & CHERRETTÉ B., 2015. Kruishoutem Containerpark. Archeologisch onderzoek. *SOLVA Archeologie-Rapport* 40.
- VANHOLME N., DALLE S. & VAN DE VIJVER M., 2016. Metaaltijdbewoning aan de Kasteelwegel te Sint-Amandsberg (prov. Oost-Vlaanderen, België). *LUNULA. Archaeologia protohistorica XXIV*, 25-38
- VERBEKE E. & VAN BEEK R., 2014. Glazen La Tène armbanden in Vlaanderen (België), *LUNULA. Archaeologia protohistorica XXII*, 179-185.

VERBRUGGE A., 2011. Bewoningssporen uit de ijzertijd te Wervik - De Pionier (prov. West-Vlaanderen, België). *LUNULA. Archaeologia protohistorica* XIX, 103-111.

VERBRUGGE A., DE GRAEVE A. & CHERRETTÉ B., 2013a. Archeologisch onderzoek te Erembodegem Zuid IV (fase 3), *SOLVA-Archeologierapport* 27.

VERBRUGGE A., DE GRAEVE A. & CHERRETTÉ B., 2013b. Sint-Maria-Lierde (Lierde). Wolfsveld. Archeologisch vooronderzoek. Romeinse graven en greppels en sporen uit de late middeleeuwen, *SOLVA-Archeologierapport* 17.

VERMEULEN F., 1992. *Tussen Leie en Schelde. Archeologische inventarisatie en studie van de Romeinse bewoning in het zuiden van de Vlaamse zandstreek*, Archeologische Inventaris Vlaanderen Buitengewone reeks 1, Gent.

WEBSTER P., 1996. *Roman Samian pottery in Britain*, CBA Practical Handbook in Archaeology 13, York.

10.2. ELEKTRONISCHE BRONNEN

Agentschap voor Geografische Informatie Vlaanderen, *Digitaal Hoogtemodel Vlaanderen*, <http://geo-vlaanderen.agiv.be/geo-vlaanderen/dhm/>

Agentschap voor Geografische Informatie Vlaanderen, *Bodemkaart*, <http://geo-vlaanderen.agiv.be/geo-vlaanderen/bodemkaart/>

Agentschap voor Geografische Informatie Vlaanderen, *Stratengids*, <http://geo-vlaanderen.agiv.be/geo-vlaanderen/straten/>

<http://www.dassenwerkgroepbrabant.nl/pages/dassenburcht.html> (30/05/2016)

Geopunt, <http://www.geopunt.be/>

Google maps, <http://maps.google.be/>

11 | BIJLAGEN



12-LED-KK 2013/122
ZONE II
GPL A
SP00R 493
10

11. BIJLAGEN

11.1. HANDLEIDING BIJ HET RAADPLEGEN VAN DE BIJLAGEN

De bijlagen bij het rapport zijn ingedeeld in een algemene gegevensfiche over het project inclusief trefwoorden, een lijst met overzichtsfoto's, een structuurlijst, een contextlijst, een sporenlijst, een vondstenlijst en een fotolijst op spoorniveau. Tevens wordt een overzicht geboden van uitgevoerd *post-excavation* onderzoek en mogelijkheden voor verder onderzoek.

Deze lijsten worden aangevuld met de afgeleverde vergunningen voor metaaldetectie en prospectie met ingreep in de bodem enerzijds, en de bijzondere voorwaarden waaraan het onderzoek dient te beantwoorden, opgesteld door de bevoegde overheid - het Agentschap Onroerend Erfgoed - anderzijds.

We geven hierbij enige duiding met betrekking tot de diverse lijsten in deze bijlage.

De lijsten worden automatisch gegenereerd uit de SOLVA-databank²⁶¹. In deze databank worden tijdens de opgraving en de rapportage alle data die tijdens een archeologisch project worden gegenereerd, samengebracht. Het gaat hierbij dus zowel om velddata (foto's, plannen, beschrijvingen, relaties tussen sporen, vondsten, ...) als documenten die tijdens de rapportage worden gegenereerd (aardewerktekeningen, informatie over behandeling van materiaal, het archeologisch rapport, diverse laboanalyses, administratief archief zoals vergunningen, bijzondere voorwaarden, ...). In het kader van de rapportage genereert de databank een reeks lijsten zoals gevraagd in de "Minimumnormen voor archeologische registratie en rapportage" en de "bijzondere voorwaarden" bij het concrete project.

Conform de structuur van de databank (zie hoofdstuk methodologie, verwerking) worden de bijlagen hiërarchisch opgebouwd. Alle velddata worden in de databankstructuur op drie niveaus ingedeeld: spoorniveau, contextniveau en structuurniveau. We verduidelijken met een voorbeeld.

Onder de noemer '**sporen**' verstaan we het kleinste niveau van notulering, de kleinste eenheid als het ware: bijvoorbeeld een aflijning in een grondplan of een laag in een kuil bij een coupe-tekening. Dit is het niveau waarop vondsten afzonderlijk worden ingezameld.

Verschillende sporen kunnen toebehoren aan een '**context**': zo vormen verschillende lagen in een kuil samen de context 'kuil'.

Op gelijkaardige wijze kunnen verschillende contexten gegroepeerd worden tot een overkoepelende '**structuur**': diverse paalkuilen behoren bijvoorbeeld toe aan de structuur 'gebouw'.

In de databank, en dus ook in deze bijlagen, worden de velddata volgens vastgestelde thesauruslijsten toegewezen aan de noemers 'sporen', 'contexten' en 'structuren'. Door archeologische begrippen (gebouw, crematiegraf, grafkuil, laag, ...) via een vastgestelde thesauruslijst aan een specifiek niveau toe te wijzen (spoor, context, structuur), bestaat de garantie dat bij bevraging van de databank naar een bepaald archeologisch begrip, effectief ook alle ingevoerde data in de resultatenlijst voorkomt (anders gezegd, we vermijden daardoor dat 'grafkuil' de ene maal bij 'context', en de andere maal bij 'structuur' wordt ondergebracht).

²⁶¹ Zie ook hoofdstuk « Methodologie, Verwerking » aangaande informatie over de SOLVA-databank archeologie.

De lijsten in deze bijlage zijn volgens dezelfde hiërarchie opgebouwd. In de bijlage wordt achtereenvolgens een overzicht gebracht van structuren, contexten en sporen. Op deze wijze kan van 'groot' naar 'klein' afgedaald worden in de informatie. Er wordt bovendien met kruisverwijzingen gewerkt: bij structuren staat vermeld uit welke contexten ze zijn opgebouwd, bij contexten staat vermeld uit welke sporen ze zijn opgebouwd. In omgekeerde richting staat bij de sporenlijsten vermeld tot welke context en structuur een spoor behoort, en bij de contextlijst staat vermeld tot welke structuur een context behoort. De structuurlijst bevat dus een overzicht van gerelateerde contexten. De contextlijst bevat een overzicht van gerelateerde structuren (hoger niveau) en sporen (lager niveau), alsook een overzicht van alle foto's, plannen, vondsten en stalen. De sporenlijst bevat een overzicht van gerelateerde contexten en structuren, alsook een overzicht van alle foto's, plannen, vondsten en stalen. De gedetailleerde spoorbeschrijvingen zijn uitsluitend in de sporenlijsten zelf terug te vinden. Op elk niveau tot slot staat een interpretatie en zo mogelijk ook een datering vermeld.

Voor de duidelijkheid geven we mee dat niet elk spoor noodzakelijk deel uitmaakt van een context (en dus structuur), evenmin als elke context aan een structuur kan toegewezen worden.

Wat de wijze van nummering betreft, geldt als algemene regel dat contexten en structuren de naam dragen van het spoornummer dat als eerste aan die 'context' (en eventueel bij uitbreiding 'structuur') wordt toegewezen. In een rapport zijn het doorgaans de contextnummers en, indien gegroepeerd onder een structuur, de structurnummers die in de tekst de leidraad vormen.

Tot slot enkele bijzonderheden:

Verstoringsen en 'negatieve sporen', sporen die na couperen geen of een natuurlijk spoor blijken te zijn, worden niet tot het niveau van een context gebracht, maar bestaan enkel tot op het spoorniveau.

In het geval dat het een rapportage van een vooronderzoek betreft, worden sporen in principe niet aan een context (en bij uitbreiding een structuur) toegewezen. Contexten en structuren worden pas aangemaakt op het moment van een archeologische opgraving, aangezien op dat ogenblik alle beschikbare informatie aanwezig is, en dit dus dan wel een zinvolle oefening is. Tijdens een vooronderzoek zijn heel wat relaties bijvoorbeeld nog niet duidelijk.

De enige uitzondering op deze regel wordt gemaakt wanneer bij de verwerking van een vooronderzoek reeds duidelijk is dat de sporen gelegen zijn in een zone die *niet voor verder onderzoek in aanmerking komt*. Dan worden sporen waar mogelijk wel tot contexten gegroepeerd (en worden dus in de databank contexten (en eventueel structuren) aangemaakt). Op deze wijze wordt gegarandeerd dat informatie rond potentiële contexten of structuren niet verloren gaat bij een bevraging van de databank. Een voorbeeld verduidelijkt dit: een geïsoleerde grafkuil, die geen aanleiding geeft tot verder onderzoek, wordt wel als context gedefinieerd in de databank, omdat deze zo ook in de resultatenlijst van een bevraging zal voorkomen. Zoniet zou deze grafkuil voor de databank 'onzichtbaar' worden.

11.2. LIJSTEN

- Gegevensfiche project
- Overzichtsfoto's
- Structuren, met vermelding van de gerelateerde contexten
- Contexten, met vermelding van de gerelateerde structuren en sporen, foto's, plannen, vondsten en stalen
- Sporen, met vermelding van de gerelateerde contexten, structuren, foto's, plannen, vondsten en stalen
- Inventaris vondsten
- Fotolijst
- Vergunning metaaldetectie en prospectie met ingreep in de bodem
- Bijzonder voorwaarden

11.3. Grondplan

Een woonverkaveling door de gemeente Lede ter hoogte van Kleine Kouterrede gaf aanleiding tot een archeologisch onderzoek uitgevoerd door SOLVA in de loop van 2013. De resultaten van dit onderzoek geven aan dat op de site Lede – Kleine Kouterrede sporen uit verschillende periodes aanwezig zijn. De spreiding en de datering van de sporen wijzen op een duidelijk verschil tussen de twee onderzochte zones. Daar waar Zone I gekenmerkt is door een lage densiteit en oudere sporen, toont Zone II een hoge densiteit aan recentere sporen.

De oudste vondsten en sporen situeren zich in Zone I. Het betreft vuurstenen artefacten afkomstig uit de vulling van sporen, gedateerd in de metaaltijden en de Romeinse periode. Het lithisch materiaal is te dateren in het neolithicum, of meer specifiek in het midden-neolithicum. De metaaltijden zijn, met uitzondering van één greppel in Zone II, geconcentreerd in Zone I. Het betreft moeilijk leesbare bewoningssporen, wijd verspreid over het terrein. Zeven kuilen leverden opvallend meer aardewerk op, dat bovendien opvallend gevarieerd, vaak versierd en van hoge kwaliteit bleek te zijn. De Romeinse periode in Kleine Kouterrede is voornamelijk vertegenwoordigd door 18 crematiegraven, zgn. brandrestengraven. Ze liggen verspreid, individueel of geclusterd per twee of drie in het opgravingsvlak en vertonen een variërende oriëntatie. Met uitzondering van enkele greppels en een paalspoor zijn geen andere nederzettingssporen aanwezig. De funeraire sporen in Zone I zijn op basis van het aardewerk breed gedateerd in de Romeinse periode, of meer specifiek in de 2de en 3de eeuw n. Chr. en tussen 150 en 250 n. Chr. Meerdere begravingen springen in het oog door het uitzonderlijke aardewerk dat ze opleveren. De meerderheid van de vastgestelde sporen in Lede - Kleine Kouterrede is te dateren in de middeleeuwen, duidelijk geconcentreerd in Zone II. De vroegste bewoning gaat terug tot de volle middeleeuwen en kent continuïteit in de overgang van de volle naar de late middeleeuwen. In de late middeleeuwen neemt de densiteit van de sporen beduidend toe. Voor deze periode valt op dat gebouwplattegronden ontbreken. De afwezigheid van een gebouwplattegrond is mogelijk te verklaren, hetzij door een gewijzigde bouwtraditie, hetzij door een verplaatsing van de kern van de bewoning buiten de grenzen van het opgravingsvlak. Tenslotte treffen we op de overgang van de late naar de postmiddeleeuwen, enkel nog grachten en greppels aan. De afwezigheid van andere bewoningssporen is mogelijk te wijten aan de ontwikkeling van een woonkern ten (noord)oosten van zone II.

De bewoningsgeschiedenis en de evolutie in de indeling van het landschap op de site Lede - Kleine Kouterrede is uniek in zijn omgeving. Hoewel geen parallellen te vinden zijn in de directe omgeving, kaderen de resultaten van de opgraving in Lede – Kleine Kouterrede in een ruimere evolutie, die reeds is vastgesteld op meerdere sites binnen het werkingsgebied van SOLVA. De resultaten van het archeologisch onderzoek op de site Lede – Kleine Kouterrede verschaffen inzicht in het ontstaan en de evolutie van landschapsindeling. Voor deze en andere sites zien we dat de huidige kadastrale indeling telkens zijn oorsprong heeft in de late vroegmiddeleeuwse of volmiddeleeuwse situatie. In deze periodes is klaarblijkelijk de kiem gelegd voor een indeling van het landschap, gekenmerkt door symmetrie en axialiteit.